

М.И. Бакунов  
С.Б. Бирагов

ОЛИМПИАДНЫЕ  
ЗАДАЧИ  
ПО ФИЗИКЕ



МОСКВА  
ФИЗМАТЛИТ®  
2014

УДК 530.77  
ББК 28.3  
Б 19

Бакунов М.И., Бирагов С.Б. **Олимпиадные задачи по физике.** — 3-е изд. — М.: ФИЗМАТЛИТ, 2014. — 220 с. — ISBN 978-5-9221-1473-8.

В книге представлены 450 оригинальных задач, составленных авторами для областных, районных и других олимпиад по физике среди школьников Нижегородского региона. Приведены также задачи, специально разработанные для подготовки областной команды к олимпиадам более высокого уровня, и задачи-тесты для раннего отбора способных школьников. Значительная часть задач снабжена весьма подробными решениями, к остальным задачам даны указания и ответы.

Книга адресована школьникам, выбравшим физику своим основным предметом, абитуриентам, учителям физики средних школ, а также преподавателям общей физики высших учебных заведений.

## ОГЛАВЛЕНИЕ

Предисловие . . . . .	4
<b>1. Кинематика . . . . .</b>	<b>7</b>
<b>2. Динамика, законы сохранения . . . . .</b>	<b>26</b>
<b>3. Статика и гидростатика . . . . .</b>	<b>55</b>
<b>4. Газовые законы и термодинамика . . . . .</b>	<b>66</b>
<b>5. Электричество и магнетизм . . . . .</b>	<b>77</b>
<b>6. Механические и электрические колебания . . . . .</b>	<b>100</b>
Ответы и решения. . . . .	107

## Предисловие

Физические олимпиады, где школьникам предлагается решать сложные нестандартные задачи, играют важную роль в подготовке будущих физиков-исследователей. Для успешного участия в олимпиаде требуется не только абсолютно свободное владение материалом школьной программы, но и умение самостоятельно строить физические идеализации, применять адекватный математический аппарат, анализировать полученные результаты, в общем, творчески мыслить почти как физик-профессионал, к тому же еще и в условиях жёсткого ограничения по времени.

В настоящем сборнике представлены задачи, составленные авторами для физических олимпиад самого разного уровня — районных, областных, олимпиад для абитуриентов Нижегородского государственного университета и др., — проводившихся приблизительно за последние 20 лет в Нижегородской области. Кроме того, приведены задачи, которые были специально разработаны для подготовки областной команды к олимпиадам более высокого уровня, а также задачи-тесты, составленные для раннего отбора способных школьников.

Существует весьма обширная литература, посвященная олимпиадным задачам по физике. Главная причина, которая все же побуждала авторов каждый раз составлять новые задачи к олимпиадам (конечно, кроме захватывающе интересного самого процесса композиции задач), состояла в стремлении исключить фактор случайности на олимпиаде, когда предварительное знание решения той или иной задачи могло бы существенно повлиять на результаты и распределение мест. Желание поставить всех участников в равные условия, оценить в первую очередь именно интеллектуальные способности школьника в области идей и подходов к решению физических задач, а не простую осведомленность, вылилось в традицию готовить ежегодно 20–25 оригинальных задач. Кроме того, при подготовке нижегородских школьников к зональным, Всероссийским и международным олимпиадам зачастую требовалось проработать разделы, по которым ощущался недостаток уже опубликованных задач нужного уровня. В итоге примерно за 20 лет «сами собой» появились 450 задач, составившие данный сборник. Некоторые

из этих задач доставили чувство удовлетворения авторам в момент их составления, а некоторые нравятся и до сих пор. Надеемся, что какая-то часть задач доставит удовольствие и читателям.

При композиции олимпиадных задач существуют естественные ограничения, связанные как с рамками школьной программы по физике, так и с доступным школьнику математическим аппаратом. Поэтому составление новой интересной задачи является непростым творческим актом, а хорошие сборники олимпиадных задач, как правило, написаны достаточно большими авторскими коллективами. Несмотря на то, что данный сборник написан всего лишь двумя авторами, при его составлении удалось, как нам кажется, добиться того, что абсолютное большинство задач сборника не перекрывается с задачками других авторов. Придуманы физические системы и ситуации, которые ранее не рассматривались, в основе целого ряда задач лежат свежие идеи.

Неравномерное распределение задач в сборнике по темам является вполне естественным. Так, например, явное преобладание задач по механике объясняется не только важностью этого базового в физическом образовании раздела, но и возможностью предложить на олимпиаде задачи по механике учащимся различных классов. В некоторой степени на распределении задач по тематическому спектру сказались и личные вкусы авторов, чего трудно избежать при столь малом авторском коллективе.

Кроме тематического деления, задачи различаются и по уровню сложности. Есть сравнительно простые задачи, ориентированные на школьников, ещё только начинающих углубленные занятия физикой, есть и очень трудные, предназначенные для «профессионалов», принимающих участие в олимпиадах высшего уровня. Трудные задачи, значительная часть которых снабжена решениями, будут, на наш взгляд, полезны и учителям, ведущим факультативные занятия по физике, — некоторые разобранные задачи помогут лучшему пониманию традиционно сложных разделов курса физики. «Центры тяжести» сложных задач не совпадают: в одних — главная трудность состоит в умении правильно построить физическую идеализацию, в других — в преодолении математических проблем, в третьих — в сложности физического анализа полученных результатов.

Как работать с задачкой? Конечно, наибольшую пользу принесут попытки самостоятельного решения приведенных в сборнике задач. При этом не стоит отчаиваться, если решить задачу за разумное время не удастся. Понять идею задачи и разобраться в наиболее тонких моментах её решения можно, обратившись к указаниям и решениям, которыми снабжена значительная

часть задач. Разобравшись в одной задаче, стоит попытаться решить близкую по идее задачу (мы старались сгруппировать такие задачи). Часть задач преднамеренно оставлена без решений и снабжена только ответами, чтобы не лишать интереса тех, кто не может мучиться в поисках решения, имея его под рукой. Многие задачи сборника наверняка пригодятся учителям при проведении школьных туров физических олимпиад.

Авторы признательны коллегам по кафедре общей физики ННГУ, с которыми обсуждались некоторые тонкие моменты, затронутые в задачах, и особенно В. А. Скворцову, предложившему идеи двух задач.

*М. Бакунов, С. Бирагов*

# 1. КИНЕМАТИКА

**1.1.** Тренируясь, спортсмен взбегает вверх по лестнице эскалатора. Поднимаясь по неподвижному эскалатору, он преодолевает  $N_0$  ступенек, а по движущемуся вверх — в 1,5 раза меньше. Сколько ступенек преодолеет спортсмен, поднимаясь по эскалатору, который движется вниз?

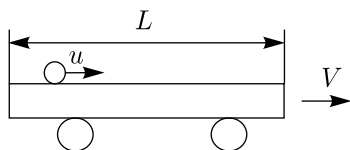
**1.2.** Поднимаясь по неподвижному эскалатору, человек преодолевает  $N_0$  ступенек. Сколько ступенек он преодолеет, поднимаясь по движущемуся вверх эскалатору, если скорость эскалатора  $V_1$ , а скорость человека относительно эскалатора  $V_2$ ?

**1.3.** Колонна бегущих спортсменов, имеющая длину  $L$ , движется с постоянной скоростью по обочине шоссе. Машина с тренером обгоняет колонну, двигаясь с втрое большей скоростью. Каждый спортсмен, с которым поравнялась машина, разворачивается и бежит в обратном направлении с прежней скоростью. Какой будет длина колонны, когда развернется последний спортсмен?

**1.4.** По сторонам шоссе в одном направлении двигаются две колонны спортсменов — колонна бегунов и колонна велосипедистов. У бегунов скорость 20 км/ч и интервал в колонне 20 м, а у велосипедистов — соответственно 40 км/ч и 30 м. С какой скоростью должен перемещаться по шоссе наблюдатель, чтобы каждый раз, когда его догоняет велосипедист, сам наблюдатель догонял бы очередного бегуна?

**1.5.** По сторонам шоссе в одном направлении двигаются две колонны спортсменов — колонна бегунов и колонна велосипедистов. У бегунов скорость 6 м/с и интервал в колонне 10 м, а у велосипедистов — соответственно 10 м/с и 20 м. Через какой промежуток времени мимо любого из бегунов один за другим проезжают велосипедисты? Через какой промежуток времени велосипедист, обогнав одного бегуна, догонит следующего?

**1.6.** Шарик катается по гладкой тележке длиной  $L$ , абсолютно упруго отражаясь от ее перед-



К задаче 1.6

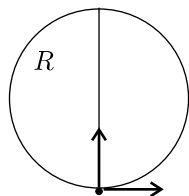
ней и задней стенок (см. рис.). Скорость шарика относительно тележки равна  $u$ , а скорость тележки относительно земли  $V$ . Построить график зависимости смещения шарика относительно земли от времени. Рассмотреть три случая:  $u = 2V$ ,  $u = V$ ,  $u = V/2$ .

**1.7.** Два велосипедиста выехали одновременно навстречу друг другу: один из пункта А в пункт В, другой — из В в А. Встретившись на расстоянии 9 км от пункта А, они продолжили движение. Каждый из них, доехав до пункта назначения, разворачивается и едет назад. Вторая встреча произошла на расстоянии 6 км от пункта В. Найти расстояние между пунктами А и В и отношение скоростей велосипедистов.

**1.8.** Два велосипедиста выехали одновременно навстречу друг другу: один из пункта А в пункт В, другой — из В в А. Встретившись на расстоянии 8 км от пункта А, они продолжили движение. Каждый из них, доехав до пункта назначения, разворачивается и едет назад. На обратном пути происходит вторая встреча велосипедистов. Найти интервал возможных расстояний от пункта В до места второй встречи.

**1.9.** Из двух городов А и В, находящихся на расстоянии  $S$ , навстречу друг другу одновременно выехали два автомобиля. Первый движется со скоростью  $V_1$ , а второй — со скоростью  $V_2$ . С момента, когда они встретились, первый поехал со скоростью  $V_2$ , а второй — со скоростью  $V_1$  (в прежних направлениях). Какое время понадобится первому, чтобы приехать в город В, а второму — в город А?

**1.10.** Длина круговой дорожки трека 360 м. Два велосипедиста ездят по треку во встречных направлениях со скоростями  $V_1 = 9$  м/с и  $V_2 = 15$  м/с. Через какой наименьший промежуток времени после встречи в некотором месте трека они снова встретятся в этом месте?



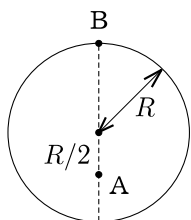
К задаче 1.11

**1.11.** Две частицы одновременно начинают двигаться из одной точки с постоянными и равными скоростями: одна — по диаметру, другая — по дуге окружности радиусом  $R$  (см. рис.). Найти максимальное расстояние между частицами в процессе движения. При решении ограничиться промежутком, равным времени прохождения частицей диаметра окружности.

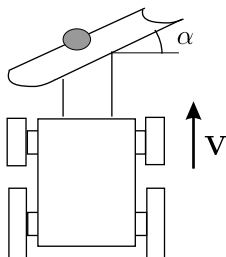
**1.12.** Внутри кольцевой дороги (примем ее за окружность радиусом  $R$ ) в точке А на расстоянии  $R/2$  от центра находится



автомобилист, который должен попасть в точку В кольцевой, лежащую на одном диаметре с точкой А (см. рис.). Зная, что внутри кольца он может ехать в любом направлении по прямой со скоростью  $V$ , а по кольцевой — со скоростью  $2V$ , автомобилист рассчитывает свой маршрут так, чтобы достичь точки В за наименьшее время. Чему равно это время?



К задаче 1.12



К задаче 1.16

**1.13.** Два автомобиля, двигаясь равномерно по взаимно перпендикулярным шоссе, удаляются друг от друга со скоростью, которая в 5 раз больше, чем скорость удаления при движении с теми же скоростями, но по одному шоссе. Во сколько раз отличаются скорости автомобилей?

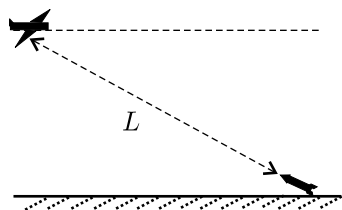
**1.14.** Два автомобиля сближаются, двигаясь равномерно: в первом случае — по одному шоссе, а во втором — приближаясь к перекрестку по двум взаимно перпендикулярным шоссе с теми же скоростями, что и в первом случае. В какое максимальное число раз скорость сближения автомобилей в первом случае может превысить эту скорость во втором?

**1.15.** Два автомобиля, двигаясь равномерно от перекрестка взаимно перпендикулярных шоссе, удаляются друг от друга со скоростью, которая в 5 раз больше, чем скорость их удаления при движении с теми же скоростями, но по одному шоссе. В некоторый момент времени более медленный автомобиль находился на расстоянии 60 м от перекрестка, а спустя 5 с — на расстоянии 210 м. На каком расстоянии от перекрестка будет находиться в эти моменты более быстрый автомобиль?

**1.16.** Бульдозер очищает шоссе, двигаясь вдоль него со скоростью  $V$ . Нож бульдозера, повернутый на угол  $\alpha$  (см. рис.), наезжает на кусок льда и начинает его перемещать. Найти скорость льда в поперечном к шоссе направлении. Трением льда о нож пренебречь.

**1.17.** После обнаружения на расстоянии  $L$  учебного самолета-мишени, летящего горизонтально со скоростью  $V$

в направлении зенитной пусковой установки, с земли произвели запуск ракеты (см. рис.). Система управления ракетой в ходе полета поддерживала вектор скорости ракеты направленным на мишень, а модуль скорости увеличивала, чтобы обеспечить постоянство скорости сближения ракеты и мишени, причем сразу после старта скорость ракеты равнялась скорости мишени  $V$ .



К задаче 1.17

Ракета сбила самолет точно над пусковой установкой. Сколько времени прошло от пуска до поражения цели? Чему равнялась скорость ракеты в момент, когда эта скорость была направлена вертикально вверх? Чему равнялась максимальная относительная скорость ракеты и самолета?

**1.18.** Электричка проходит мимо перрона станции с постоянной скоростью, и временной интервал от момента, когда кабина электрички поравнялась с началом перрона, до момента, когда хвост электрички прошел мимо конца перрона, составил 18 с. Другая электричка, движущаяся с постоянной скоростью во встречном направлении, проходит мимо этого перрона за 14 с. Какое время займет прохождение этих электричек мимо друг друга на дистанции (от момента, когда поравняются головы электричек, до момента, когда совместятся хвосты)? Длины электричек одинаковы и равны половине длины перрона.

**1.19.** Автомобиль, двигаясь равнозамедленно, за последовательные промежутки времени в 3 с и 2 с прошел отрезки АВ и ВС соответственно в 51 м и 24 м. Какой путь пройдет автомобиль от точки С до остановки?

**1.20.** Человек, выйдя из вагона метропоезда, пошел по ходу его движения со скоростью 4,5 км/ч. Через 2 секунды поезд начал двигаться с постоянным ускорением, и еще через 6 секунд хвост поезда поравнялся с человеком. В этот момент скорость поезда была в 10 раз больше скорости человека. На каком расстоянии от хвоста поезда человек вышел из вагона?

**1.21.** Расстояние между двумя автобусными остановками равно 400 м. Автобус, отойдя от остановки, разгоняется до максимальной скорости 36 км/ч, а перед следующей остановкой тормозится. Какой путь автобус прошел со скоростью 36 км/ч, если движение от одной остановки до другой заняло 1 мин, а разгон и торможение автобуса проходили при постоянных (не обязательно равных) ускорениях?

**1.22.** Первый поезд проходит станцию А на скорости 80 км/ч и 8 км идет равномерно. Затем, двигаясь равнозамедленно, он останавливается на станции В в 10 км от А. Через 3 мин после первого от станции А отошел второй поезд. Двигаясь равноускоренно, он разгоняется до некоторой скорости, затем движется равнозамедленно и прибывает на станцию В с нулевой скоростью через 10 минут после первого. Какой из поездов имел наибольшую скорость на перегоне? Чему она была равна?

**1.23.** Две электрички одновременно выходят навстречу друг другу от станций А и В. Первая электричка на  $1/3$  пути от А к В разгоняется с постоянным ускорением,  $1/3$  пути проходит равномерно и на последней  $1/3$  пути тормозится с тем же ускорением, что и в начале. Вторая электричка  $1/3$  времени своего движения от В до А разгоняется равноускоренно,  $1/3$  времени движется равномерно и  $1/3$  времени тормозится равнозамедленно до остановки. Скорости равномерного движения электричек были одинаковы и равны 70 км/ч. Найти расстояние между станциями, если первая электричка двигалась на 2 минуты дольше второй.

**1.24.** Частица, двигаясь равноускоренно по прямой, проходит два последовательных участка пути  $S_1$  и  $S_2$  за промежутки времени, равные соответственно  $t_1$  и  $t_2$ . Найти ускорение частицы.

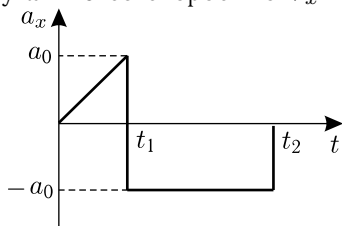
**1.25.** Тело начинает двигаться из состояния покоя прямолинейно с постоянным ускорением. В некоторый момент равноускоренное движение меняется на равнозамедленное. Как относятся величины ускорений на участках разгона и торможения, если пройденные пути одинаковы, а средние скорости отличаются в 1,5 раза?

**1.26.** Частица начинает двигаться из состояния покоя равноускоренно и прямолинейно. Достигнув максимальной скорости, она движется равнозамедленно до остановки. Длина участка торможения в два раза больше длины участка разгона. Найти отношение величин ускорений на участках разгона и торможения. Во сколько раз отличаются времена разгона и торможения?

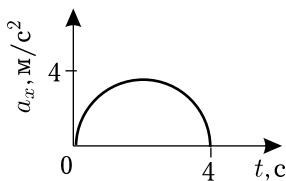
**1.27.** Частица начинает движение из состояния покоя и, двигаясь прямолинейно, проходит последовательно два равных отрезка, затрачивая на прохождение каждого по 2 с. Какой путь прошла частица за 4 с, если максимальная скорость частицы в процессе движения равнялась 20 м/с, а ускорение на каждой половине пути было постоянно?

**1.28.** В момент  $t = 0$  тело,двигающееся вдоль оси  $x$ , выходит из начала координат, имея начальную скорость  $V_{0x} = V_0$ . Зависимость ускорения тела  $a_x$  от времени приведена на рисунке. Значения  $a_0$  и  $t_1$ , указанные на рисунке, известны. Каким дол-

жен быть момент  $t_2$  «выключения» ускорения, чтобы тело прошло точку  $x = 0$  со скоростью  $V_x = -V_0$ ?

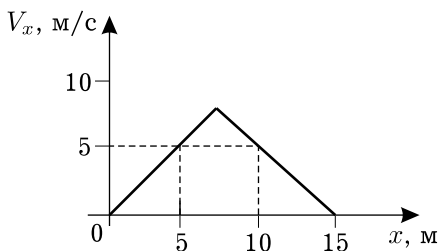


К задаче 1.28



К задаче 1.29

**1.29.** Частица начинает движение по оси  $x$  в момент  $t = 0$  с нулевой начальной скоростью. График зависимости проекции ускорения частицы  $a_x$  от времени имеет вид полуокружности (см. рис.). Найти значение проекции скорости  $V_x$  в момент  $t = 4$  с.



К задаче 1.30

**1.30.** На рисунке приведен график зависимости проекции скорости  $V_x$  от координаты  $x$ . Найти ускорение  $a_x$  в моменты времени, когда тело находится в точках с координатами  $x = 0$ ; 5 м; 10 м; 15 м.

**1.31.** Частица движется под действием постоянной силы по траектории  $y = 0,04 \cdot x^2$  ( $x, y$  — в метрах) и проходит точку  $x = 0$  со скоростью 10 м/с. Какой будет скорость частицы через 2 с после прохождения этой точки?

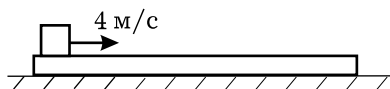
**1.32.** Частица начинает движение из точки  $x = 0$  в положительном направлении оси  $x$ . Координата  $x$  и скорость  $V_x$  частицы в ходе движения оказываются связанными соотношением  $x = AV_x^2 + B$ , где  $A = -2 \text{ с}^2/\text{м}$ ,  $B = 2$  м. Через какое время частица вернется в точку  $x = 0$ ?

**1.33.** Два тела, находящиеся в состоянии покоя, одновременно начинают прямолинейное равноускоренное движение. Ускорение первого тела в 2 раза больше ускорения второго. Через некоторое время ускорение первого тела мгновенно уменьшается в 2 раза, а ускорение второго — увеличивается в 2 раза. Новые значения ускорений сохраняются в течение того же промежутка

времени, что и первоначальные. Во сколько раз отличаются пути, пройденные телами?

**1.34.** Фиксируя гладкую доску под разными углами к горизонту, вверх по ней толкают шайбу каждый раз с одинаковой начальной скоростью  $5 \text{ м/с}$  и измеряют пройденный за  $2$  секунды путь. На основании расчета предскажите минимальное значение пути, которое будет получено в эксперименте. Считать, что угол наклона доски может меняться от  $0$  до  $90^\circ$  и шайба в течение рассматриваемого промежутка времени может опуститься ниже точки старта, не слетая с доски.

**1.35.** Вдоль лежащей на столе доски толкнули брусок с начальной скоростью  $4 \text{ м/с}$  (см. рис.). Из-за трения брусок начал тормозиться с ускорением  $3 \text{ м/с}^2$ , а доска — разгоняться с ускорением  $1 \text{ м/с}^2$ . Через некоторое время, когда скорости бруска и доски выровнялись, тела стали замедляться с одинаковым ускорением  $1 \text{ м/с}^2$ . Найти перемещения доски и бруска относительно стола с начала движения до полной остановки.



К задаче 1.35

**1.36.** Две частицы одновременно начинают равноускоренное движение вдоль одного направления из одной точки. Первая частица имеет начальную скорость  $V_0$  и ускорение  $a_1$ , а вторая — нулевую начальную скорость и ускорение  $a_2$ , причем  $a_2 > a_1$ . На какое максимальное расстояние первая частица обгонит вторую? Через какое время после начала движения вторая частица догонит первую?

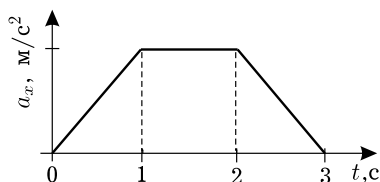
**1.37.** Две частицы, расположенные на оси  $x$  в точках  $x_1 = 0$  и  $x_2 = L$ , в момент времени  $t = 0$  начинают двигаться навстречу друг другу. Первая частица, стартующая из точки  $x_1$ , имеет начальную скорость  $V_0$  и постоянное ускорение  $a_{1x} = -a$ . Вторая движется равномерно. При каком минимальном значении скорости второй частицы они смогут оказаться в одной точке на оси? Считать, что  $L = V_0^2/a$ .

**1.38.** Две частицы, расположенные на оси  $x$  в точках  $x_1 = 0$  и  $x_2 = L$ , в момент  $t = 0$  начинают двигаться навстречу друг другу с равными по модулю начальными скоростями:  $V_{1x}(0) = V_0$ ,  $V_{2x}(0) = -V_0$ . Первая частица движется равномерно, вторая — с постоянным ускорением  $a_x = 4V_0^2/L$ . На каком минимальном расстоянии друг от друга окажутся частицы в процессе движения? В какой момент времени это произойдет?

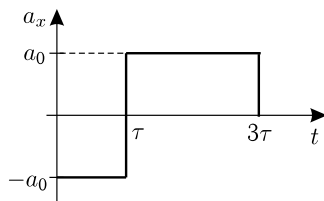
**1.39.** Из одной точки оси  $x$  одновременно выходят две частицы с начальными скоростями  $V_{1x}(0) = V_0$  и  $V_{2x}(0) = -V_0$  ( $V_0 > 0$ ). Ускорения частиц постоянны и равны  $a_{1x} = -a$  и  $a_{2x} = 2a$  ( $a > 0$ ). За какой промежуток времени частицы разойдутся на максимальное расстояние, прежде чем начнут сближаться? Чему равно это расстояние?

**1.40.** Из одной точки оси  $x$  в моменты времени  $t = 0$  и  $t = \tau$  выходят две частицы с начальными скоростями  $V_{1x}(0) = V_0$  и  $V_{2x}(\tau) = -V_0$  ( $V_0 > 0$ ). Ускорения частиц постоянны и равны  $a_{1x} = -a$  и  $a_{2x} = a$  ( $a > 0$ ). При каком значении  $\tau$  столкновение частиц произойдет в наиболее поздний момент времени? Найти этот момент времени.

**1.41.** Две частицы одновременно начинают движение навстречу друг другу с одинаковыми скоростями 2 м/с. Одна частица движется равномерно, а другая — с постоянным ускорением 1 м/с<sup>2</sup>, направленным против начальной скорости этой частицы. При каком наименьшем начальном расстоянии между частицами они не столкнутся в процессе движения?



К задаче 1.42



К задаче 1.43

**1.42.** Две частицы начинают движение вдоль оси  $x$  в момент  $t = 0$  без начальных скоростей. Ускорение первой постоянно, а второй — меняется по закону, приведенному на графике (см. рис.). Через 3 с скорости частиц оказались одинаковыми. Каково ускорение первой частицы? Чему равны пути, пройденные каждой частицей за вторую секунду и за весь промежуток в 3 с?

**1.43.** Две частицы начинают движение вдоль оси  $x$  в момент  $t = 0$ . Первая частица движется из точки  $x = 0$  в положительном направлении оси  $x$  с постоянной скоростью  $V$ . Движение второй частицы начинается из точки  $x = L$  без начальной скорости; характер зависимости ускорения этой частицы от времени приведен на рисунке. Чему равны величины  $a_0$  и  $\tau$ , если известно, что при  $t > 3\tau$  первая частица, не догнав вторую, будет двигаться на постоянном расстоянии  $L/2$  от неё?

**1.44.** Частица в момент  $t = 0$  начинает прямолинейное движение без начальной скорости с постоянным ускорением  $a$ . В моменты времени  $\tau$ ,  $2\tau$ ,  $3\tau$  и т. д. вектор ускорения частицы, оставаясь постоянным по модулю, мгновенно меняет направление на противоположное. Вторая частица, двигаясь равномерно прямолинейно вслед за первой, проходит точку старта первой частицы в момент времени  $2\tau$ . При какой наименьшей скорости своего движения вторая частица догонит первую в интервале времени от  $5\tau$  до  $7\tau$ ?

**1.45.** Камень брошен вертикально вверх из точки, находящейся на высоте 20 м над землей. Сколько времени находился камень в полете, если пройденный им путь равен 40 м? Ускорение свободного падения  $g \approx 10 \text{ м/с}^2$ .

**1.46.** Брошенное с земли вертикально вверх тело достигает максимальной высоты  $H$ . На какой высоте тело находилось в момент, равный половине времени подъёма?

**1.47.** Мяч, брошенный вертикально вверх с земли, проходит последние 5 метров участка подъёма за треть всего времени полета. Найти максимальную высоту подъёма мяча над землей.

**1.48.** Значения скорости брошенного вертикально с земли тела в конце первой и третьей секунд полета оказались одинаковыми. Чему равна максимальная высота подъёма тела?

**1.49.** С какой начальной скоростью  $V_0$  нужно бросить вертикально с поверхности земли камень, чтобы в течение секунды перед моментом удара о землю он пролетел две трети своего пути?

**1.50.** Какова максимальная высота подъёма брошенного вертикально вверх камня, если он находился в полете 4 с и за последнюю секунду пролетел половину пути? Сопротивлением воздуха пренебречь.

**1.51.** Из точки на высоте  $H$  над землей одно тело отпускают без начальной скорости, а другое — с некоторым запаздыванием бросают вертикально вверх со скоростью  $V_0$ . Каким должно быть это запаздывание, чтобы тела в процессе их полета (до падения одного из тел на землю) разошлись на максимальное расстояние? Чему равно это расстояние? Рассмотреть случаи  $V_0 > \sqrt{2gH}$  и  $V_0 < \sqrt{2gH}$  ( $g$  — ускорение свободного падения).

**1.52.** С интервалом времени  $\tau$  на землю падают с высоты  $H$  два тела. Нарисовать график зависимости от времени скорости первого тела относительно второго. Сопротивлением воздуха пренебречь. Удары тел о землю считать абсолютно неупругими.

**1.53.** Три ученика, живущие в одном доме, исследуют закономерности свободного падения тел. Двое из них, находящиеся на 4-м и 2-м этажах, выпускают из рук мячи в моменты времени, когда мимо них пролетает мяч, отпущенный без начальной скорости третьим учеником с 6-го этажа. В каком порядке мячи упадут на землю, если пренебрегать сопротивлением воздуха? Повлияет ли сопротивление воздуха на последовательность ударов мячей о землю?

**1.54.** Найти максимальное время полёта брошенного вертикально камня, если за последнюю секунду он пролетел половину пути.

**1.55.** Тело брошено вертикально вверх. В какое максимальное число раз путь, пройденный телом за первую секунду полёта, может превышать путь, пройденный за вторую секунду? При какой начальной скорости это достигается? Время полёта не меньше двух секунд.

**1.56.** Тело, брошенное вертикально вверх с некоторой высоты над землей, за первую половину времени нахождения в полёте прошло четверть общего пути. Найти отношение максимальной высоты подъёма тела над землёй к высоте, с которой оно было брошено.

**1.57.** Из одной точки с поверхности земли вертикально вверх бросили с некоторым запаздыванием два тела. Известно, что начальная скорость первого тела была  $V_0$ , второго  $2V_0/3$  и тела упали на землю одновременно. Каким было максимальное расстояние между телами?

**1.58.** Из точки, находящейся на высоте  $H$  над горизонтальным столом, падают с задержкой во времени два одинаковых мяча. Когда первый мяч пролетел расстояние  $H/2$ , начинает падение второй. Считая отскок от стола мгновенным и абсолютно упругим, найти высоту, на которой мячи столкнутся. На какой высоте мячи столкнутся повторно, если их первое соударение было центральным и абсолютно упругим.

**1.59.** Два шарика, находящиеся над горизонтальной плитой на высотах 0,45 м и 1,8 м, в момент времени  $t = 0$  отпускают без начальной скорости. Считая удары шариков о плиту абсолютно упругими и пренебрегая сопротивлением воздуха, построить график зависимости модуля относительной скорости (т.е. скорости одного шарика относительно другого) от времени. Построение провести на отрезке  $0 \leq t \leq 1,2$  с. Считать, что друг с другом шарики не сталкиваются и ускорение свободного падения  $g = 10 \text{ м/с}^2$ .



**1.60.** Два мяча одновременно роняют на пол с высот, отличающихся вдвое. Считая удары о пол абсолютно упругими, найти отношение путей, пройденных мячами за большое время (после большого числа отскоков). Траектории разнесены по горизонтали, и мячи не сталкиваются между собой в процессе движения.

**1.61.** Два мяча в момент  $t = 0$  бросают с высоты  $H$  над горизонтальным полом: один со скоростью  $\sqrt{2gH}$  вниз, другой с такой же скоростью вверх ( $g$  — ускорение свободного падения). Траектории разнесены по горизонтали, и мячи не сталкиваются между собой в процессе движения. В какие моменты времени разница путей, пройденных мячами, будет максимальна? Удары мячей о пол считать абсолютно упругими.

**1.62.** Кинетическая энергия тела, брошенного с земли, за 1 секунду полета достигла минимального значения, равного  $1/4$  её начальной величины. Найти дальность полета тела. Спротивлением воздуха пренебречь.

**1.63.** Найти начальную скорость тела, брошенного под углом к горизонту, если время его полета равно 2 с и максимальная высота подъёма равна дальности полета.

**1.64.** Тело, брошенное с земли в момент времени  $t = 0$  под углом  $\alpha$  к горизонту, оказалось в моменты времени  $t_1$  и  $t_2$  на одной и той же высоте. Найти перемещение тела за промежуток  $t_2 - t_1$ .

**1.65.** Тело, брошенное под углом к горизонту с начальной скоростью 10 м/с, находилось в полёте 2 с и в момент удара о землю имело скорость 14 м/с. Пренебрегая сопротивлением воздуха, найти высоту, с которой было брошено тело, и максимальную высоту подъёма тела над землей. Ускорение свободного падения считать равным 10 м/с<sup>2</sup>.

**1.66.** Какого максимального значения достигает в процессе полёта угловая скорость вращения вектора скорости тела, брошенного с начальной скоростью  $V_0$  под углом  $\alpha$  к горизонту?

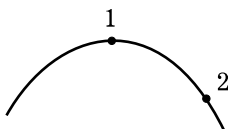
**1.67.** Камень дважды бросают с одинаковой начальной скоростью с поверхности земли. При этом дальности полётов также оказываются одинаковыми, а времена полётов отличаются в  $\sqrt{3}$  раз. Под какими углами был брошен камень?

**1.68.** Тело дважды бросили с одной и той же начальной скоростью под разными углами к горизонту. Дальность полёта в обоих случаях составила 30 м, а время полёта при первом броске равнялось 3 с. Каким было время полёта при втором броске?

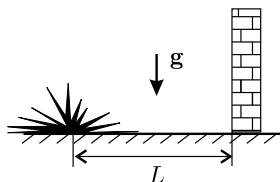
**1.69.** Камень дважды бросили с земли с одной начальной скоростью под разными углами к горизонту. Горизонтальная дальность полёта оказалось одинаковой и равной сумме максимальных высот подъёма камня. Под какими углами был брошен камень?

**1.70.** Выстрел из миномета произведен под углом  $75^\circ$  к горизонту. Мина, свободно летящая по параболической траектории, сначала удаляется от точки выстрела, потом в течение 10 с приближается, а затем снова удаляется. Чему равна начальная скорость мины? Ускорение свободного падения считать равным  $10 \text{ м/с}^2$ .

**1.71.** Тело движется в первом случае под действием силы тяжести, а в другом — по той же траектории с постоянной скоростью  $V$ . В верхней точке 1 для обоих вариантов движения скорости тела совпадают (см. рис.). Найти во втором случае ускорение тела в точках 1 и 2 (скорость направлена под углом  $45^\circ$  к горизонту). Ускорение свободного падения считать известным.

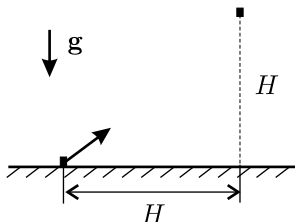


К задаче 1.71



К задаче 1.72

**1.72.** После разрыва гранаты на поверхности земли на расстоянии  $L$  от вертикальной стены (см. рис.) осколки гранаты полетели во все стороны с одинаковой скоростью  $V_0$ . Считая, что  $V_0 = \sqrt{2gL}$  ( $g$  — ускорение свободного падения), найти промежуток времени, через который осколки начнут попадать в стену, промежуток времени, в течение которого осколки ударяются о стену, и максимальную высоту области поражения стены осколками.

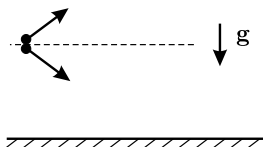


К задаче 1.73

**1.73.** В момент, когда один камень начинает падать с высоты  $H$ , другой бросают с поверхности земли из точки, удалённой от траектории первого на такое же расстояние  $H$  (см. рис.). При какой начальной скорости брошенный с земли камень перед столкновением с вертикально падающим будет иметь наименьшую скорость?

**1.74.** Два тела бросили одновременно из одной точки с одинаковыми скоростями, равными  $V_0$ . Одно тело бросили вертикально вверх, а другое — под некоторым углом к горизонту. Каким должен быть этот угол, чтобы расстояние между телами оказалось максимально возможным? Чему равно это максимальное расстояние? Считать, что при падении на землю скорость тела мгновенно гасится.

**1.75.** Два тела бросили одновременно из одной точки над землей с одинаковыми начальными скоростями. Векторы начальных скоростей лежат в одной вертикальной плоскости и составляют равные углы с горизонтальным направлением (см. рис.). Тела упали на землю с интервалом в 2 с на расстоянии 20 м друг от друга. Найти угол между векторами начальных скоростей. Ускорение свободного падения считать равным  $10 \text{ м/с}^2$ .



К задаче 1.75

**1.76.** После разрыва гранаты на высоте  $H$  над землей её осколки полетели во все стороны с одинаковой скоростью. Полетевшие горизонтально упали на землю на расстоянии  $H$  от эпицентра взрыва (проекция точки взрыва на поверхность земли). Под каким углом к горизонту полетели осколки, упавшие на землю на том же удалении  $H$  от эпицентра?

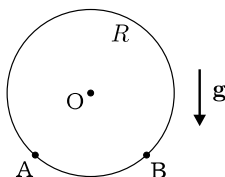
**1.77.** На склоне горы, составляющем угол  $\alpha$  с горизонтом, разорвалась граната. Осколки разлетаются радиально симметрично с начальной скоростью  $V_0$ . Через какое время последний осколок упадет на склон?

**1.78.** Мяч брошен параллельно наклонной плоскости, составляющей угол  $\alpha$  с горизонтом. Через какое время мяч ударится в плоскость, если известно, что перед ударом его скорость ориентирована горизонтально, составляет угол  $\alpha$  с плоскостью и равна  $V$ ?

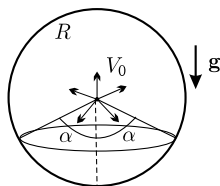
**1.79.** Из одной точки на склоне горы, составляющем угол  $\alpha$  с горизонтом, одновременно бросают два камня с одинаковой начальной скоростью  $V_0$ . На склон горы камни падают также одновременно, причем один — в точку бросания. На каком максимальном удалении от точки бросания может находиться точка падения другого камня на склон?

**1.80.** Из одной точки на склоне горы, составляющем угол  $30^\circ$  с горизонтом, бросают два камня с одинаковой начальной скоростью  $20 \text{ м/с}$ . Один бросают под некоторым углом вверх, другой — вниз под гору. На каком максимальном расстоянии друг от друга могут находиться точки падения камней на склон?

**1.81.** Небольшой шарик скачет внутри гладкой закрепленной сферы радиусом  $R$ , отражаясь абсолютно упруго от точек А и В, симметричных относительно вертикальной оси, проходящей через центр сферы О (см. рис.). Найти минимальную скорость шарика в процессе движения, если его траектория проходит через центр О. Нарисовать траекторию шарика и найти радиус кривизны траектории в верхней точке.



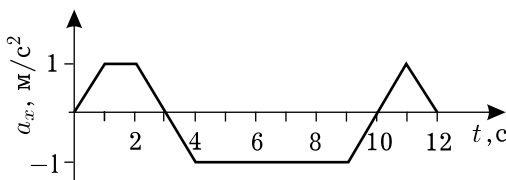
К задаче 1.81



К задаче 1.82

**1.82.** В результате взрыва сосуда, произошедшего в центре сферической камеры радиусом  $R$ , осколки симметрично разлетаются во все стороны с начальной скоростью  $V_0 = \sqrt{0,5gR}$  (см. рис.), где  $g$  — ускорение свободного падения. Пренебрегая сопротивлением воздуха, найти полярный угол  $\alpha$ , ограничивающий засыпанный осколками сегмент поверхности камеры.

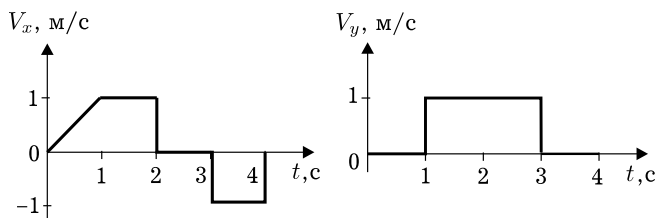
**1.83.** Частица движется в плоскости  $x, y$ . Ее скорость вдоль оси  $y$  постоянна и равна  $3 \text{ м/с}$ , а вдоль оси  $x$  — меняется. Начальное значение проекции скорости  $V_{0x}$  равно нулю, а зависимость ускорения  $a_x$  от времени представлена на рисунке. Найти максимальную скорость частицы.



К задаче 1.83

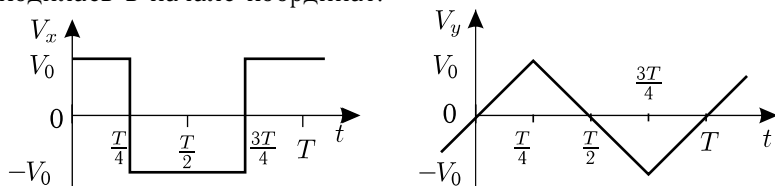
**1.84.** Частица движется в плоскости  $x, y$ . По графикам (см. рис.) зависимости от времени проекций скорости  $V_x$  и  $V_y$  найти путь, пройденный этой частицей за 4 секунды.

**1.85.** Частица совершает периодическое движение в плоскости  $x, y$ . Проекция ее скорости на оси  $x, y$  изменяются во времени так, как показано на рисунках. Нарисовать траекторию частицы. Найти радиус кривизны траектории в точке, которую



К задаче 1.84

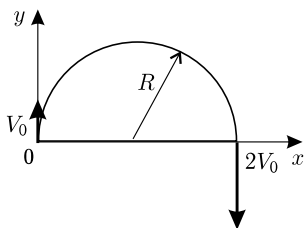
частица проходит в момент  $t = T/2$ . В момент  $t = 0$  частица находилась в начале координат.



К задаче 1.85

**1.86.** В задаче 1.85 найти максимальный радиус кривизны.

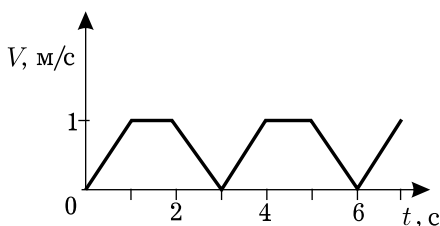
**1.87.** Материальная точка проходит половину окружности радиуса  $R$  с постоянным тангенциальным ускорением и при этом ее скорость нарастает от  $V_0$  до  $2V_0$ . Выбрав направление осей  $x$  и  $y$ , как показано на рисунке, найти средние по времени значения проекций  $a_{xcp}$ ,  $a_{ycp}$ ,  $V_{xcp}$ ,  $V_{ycp}$ .



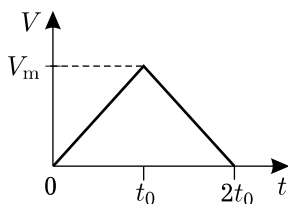
К задаче 1.87

**1.88.** Шарик совершает периодические колебания, двигаясь по дуге окружности радиусом 1 м. Скорость шарика меняется в соответствии с графиком, приведенным на рисунке. Найти максимальное ускорение шарика.

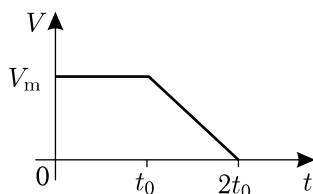
**1.89.** Частица движется по окружности, делая полный оборот за время  $2t_0$ . Скорость частицы меняется в соответствии с графиком, приведённым на рисунке. Построить график зависимости пути от времени. Найти промежуток времени, за который частица пройдет первую четверть окружности. Направив ось  $x$  по диаметру из начальной точки, найти средние за время  $t_0$  значения проекций ускорения и скорости  $a_{xcp}$  и  $V_{xcp}$ .



К задаче 1.88



К задаче 1.89



К задаче 1.90

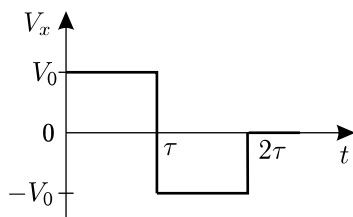
**1.90.** Ответить на вопросы задачи 1.89 для случая, когда график скорости частицы имеет вид, показанный на рисунке.

**1.91.** Декартовы координаты частицы меняются во времени следующим образом:  $x = A \cos \omega t$ ,  $y = A \sin \omega t$ ,  $z = A \omega t$ , где  $A$  и  $\omega$  — положительные константы. Какой путь пройдет частица за время  $t_0$ ?

**1.92.** Декартовы координаты частицы меняются во времени следующим образом:  $x(t) = A \cos \omega t$ ,  $y(t) = A \sin \omega t$ ,  $z(t) = A \omega t(1 - \omega t/2)$ , где  $A$  и  $\omega$  — положительные константы. Найти минимальный радиус кривизны траектории частицы.

**1.93.** Шарик на нити совершает колебания в вертикальной плоскости, отклоняясь в крайних положениях до уровня точки подвеса (нить горизонтальна). Чему равно минимальное значение полного ускорения шарика? Сопротивлением воздуха пренебречь, ускорение свободного падения  $g$  известно.

**1.94.** Шарик на нити совершает колебания в вертикальной плоскости, отклоняясь в крайних положениях на  $60^\circ$  от вертикали. Чему равно минимальное значение полного ускорения шарика? Сопротивлением воздуха пренебречь, ускорение свободного падения  $g$  известно.



К задаче 1.95

**1.95.** На горизонтальной доске длиной  $L$  лежит брусок. В момент времени  $t = 0$  доску приводят в движение в продольном направлении со скоростью  $V_x$ , график изменения которой во времени приведён на рисунке (ось  $x$  направлена вдоль доски).

Укажите область начальных положений бруска на доске, отку-

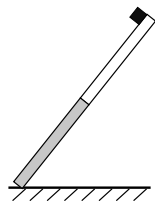
да он не соскользнет из-за движения доски. Считать выполненными следующие условия:  $V_0\tau = L/4$  и  $\tau = V_0/(\mu g)$ , где  $\mu$  — коэффициент трения между бруском и доской,  $g$  — ускорение свободного падения.

**1.96.** Если по резиновой шайбе, лежащей на столе, нанести удар в горизонтальном направлении, то она остановится через 2 с, пройдя 6 метров. Пусть теперь через время  $\tau$  после первого удара по шайбе наносится такой же повторный удар, но во встречном направлении. Постройте график зависимости  $S$  от  $\tau$ , где  $S$  — расстояние между точкой старта шайбы и точкой ее конечной остановки.

**1.97.** Шайба, скользящая с некоторой скоростью по гладкому горизонтальному столу, встречает на своем пути две шероховатые полосы равной ширины, ориентированные перпендикулярно вектору скорости шайбы. Коэффициент трения на первой полосе в два раза меньше, чем на второй. Как относятся времена прохождения шайбой полос, если после преодоления второй полосы шайба останавливается?

**1.98.** Шайба, скользящая по гладкому горизонтальному столу, встречает на своем пути шероховатый участок, состоящий из двух полос равной ширины, ориентированных перпендикулярно вектору скорости шайбы. Коэффициент трения на первой полосе в два раза меньше, чем на второй. После прохождения обеих полос шайба останавливается. Во сколько раз изменится время движения шайбы по шероховатому участку, если она преодолевает его в обратном направлении при той же начальной скорости?

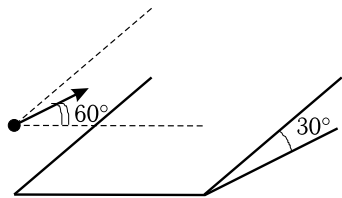
**1.99.** Две доски равной длины (одна шероховатая, другая гладкая) жестко скреплены торцами и наклонены под некоторым углом к горизонту (см. рис.). Брусок, помещенный в верхнюю точку составной доски, соскальзывает вниз, имея на гладком участке вдвое большее ускорение, чем на шероховатом. Найти отношение времен соскальзывания бруска по всей составной доске при двух ее положениях: в первом случае вверх гладкий участок, во втором — шероховатый. Угол наклона доски один и тот же.



К задаче 1.99

**1.100.** Кубик, пущенный вверх по шероховатой наклонной доске, вернулся в точку старта со скоростью, которая вдвое меньше начальной. Чему равно время подъема кубика, если время движения вверх-вниз равно 3 с?

**1.101.** Резиновую шайбу положили на наклонную плоскость с углом  $\alpha$  при основании. Шайба начинает скользить и, пройдя некоторое расстояние вниз, абсолютно упруго сталкивается со стенкой, которая перпендикулярна наклонной плоскости. После удара шайба вверх по плоскости проходит до остановки половину своего пути вниз. Найти коэффициент трения между плоскостью и шайбой.

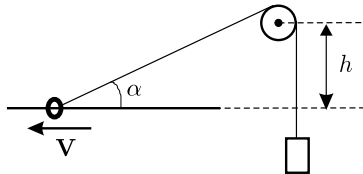


К задаче 1.102

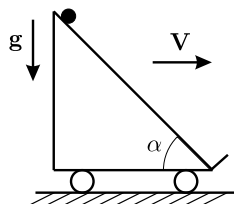
**1.102.** Наклонная грань клина составляет угол  $30^\circ$  с горизонтом. Параллельно этой грани под углом  $60^\circ$  к ребру клина брошен мяч (см. рис.). В момент удара о наклонную грань клина мяч имел скорость  $V$ , направленную горизонтально. Сколько времени мяч находился в полете?

**1.103.** Груз связан с кольцом идеальной нитью, переброшенной через блок. Кольцо скользит с постоянной скоростью  $V$  по горизонтальной спице, расположенной на  $h$  ниже блока (см. рис.). Найти ускорение груза в момент, когда угол между наклонной частью нити и спицей равен  $\alpha$ .

**1.104.** Массивная горка с углом  $\alpha$  при основании движется с постоянной скоростью  $V$  по горизонтальной поверхности (см. рис.). С вершины горки начинает соскальзывать без трения небольшое тело. Из-за абсолютно упругих ударов о стенку у основания горки тело повторяет свое движение вниз-вверх. Нарисовать траекторию тела относительно земли и найти радиус кривизны траектории в верхней точке.



К задаче 1.103



К задаче 1.104

**1.105.** В задаче 1.104 найти минимальный радиус кривизны траектории тела. Рассмотреть случаи, когда  $\sqrt{2gh} > V \cos \alpha$  и  $\sqrt{2gh} < V \cos \alpha$  ( $h$  — высота горки,  $g$  — ускорение свободного падения).



**1.106.** Лягушка, сидящая на ленте движущегося под углом  $45^\circ$  эскалатора, заметила впереди комара, зависшего на высоте  $H$  над лентой эскалатора (см. рис.). С какой минимальной скоростью относительно ленты должна прыгнуть лягушка, чтобы съесть комара? Каково при этом должно быть расстояние от точки прыжка до комара, если скорость ленты эскалатора  $V = 2\sqrt{gH}$ , где  $g$  — ускорение свободного падения?

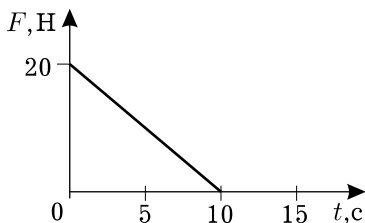
**1.107.** Колесо катится без проскальзывания по горизонтальной плоскости; ускорение центра колеса равно  $a_0$ . Найти ускорение верхней точки колеса в момент времени, когда ускорение нижней точки становится равным по величине ускорению центра  $a_0$ .

**1.108.** Диск радиусом  $R$  начинает качение без проскальзывания так, что ускорение центра диска остается постоянным. Найти точку диска, которая имеет нулевое ускорение в момент времени, когда центр диска сместился на расстояние  $S$ . Рассмотреть также частные случаи  $S = 0$ ,  $S = R/2$ .

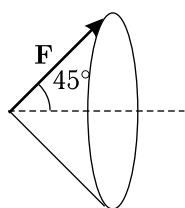
**1.109.** На движущейся со скоростью  $V$  ленте транспортера по окружности радиуса  $R$  бегают со скоростью  $V/2$  (относительно ленты) жучок. Найти минимальную и максимальную скорости жучка относительно неподвижной системы отсчета. На сколько смещается жучок в неподвижной системе отсчета за время, пока его скорость в этой системе возрастает от минимальной до максимальной? Какого максимального значения достигает в процессе движения угол между вектором скорости жучка в неподвижной системе отсчета и направлением движения ленты? Укажите точки окружности (траектория жучка на ленте), при пробегании через которые жучок имеет чисто тангенциальное ускорение в неподвижной системе.

## 2. ДИНАМИКА, ЗАКОНЫ СОХРАНЕНИЯ

**2.1.** Тело массой  $10\text{ кг}$  покоится на горизонтальной поверхности. Коэффициент трения между телом и поверхностью равен  $0,1$ . В момент времени  $t = 0$  к телу прикладывают горизонтальную силу, зависимость которой от времени представлена на рисунке. Найти скорость тела в следующие моменты времени:  $t = 5\text{ с}$ ,  $10\text{ с}$ ,  $15\text{ с}$ . Ускорение свободного падения считать равным  $10\text{ м/с}^2$ .



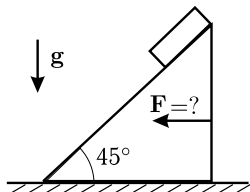
К задаче 2.1



К задаче 2.3

**2.2.** Частица массой  $m$  движется так, что ее декартовы координаты меняются следующим образом:  $x(t) = A\cos\omega t$ ,  $y(t) = A\sin\omega t$ ,  $z(t) = 2A\omega t$ . Найти результирующую силу, действующую на частицу, и путь, который эта частица проходит за время  $t$ . Величины  $\omega$  и  $A$  известны.

**2.3.** В момент времени  $t = 0$  на неподвижную частицу массой  $m$  начинает действовать сила, вектор которой, имея постоянный модуль  $F$ , равномерно вращается в пространстве, описывая конус с углом раскрытия  $45^\circ$  (см. рис.). Период обращения вектора  $\mathbf{F}$  по конусу равен  $T$ . Найти перемещение частицы к моменту  $t = T/2$ .

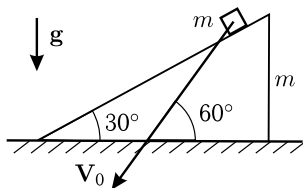


К задаче 2.4

**2.4.** Тело массой  $1\text{ кг}$  съезжает по гладкой поверхности клина той же массы (см. рис.). Угол при основании клина  $45^\circ$ , а коэффициент трения между клином и горизонтальным столом равен  $0,1$ . Какую наименьшую горизонтальную силу необходимо приложить к клину, чтобы удерживать его неподвижным?

**2.5.** Кубик массой  $m$  скользит по гладкой наклонной поверхности клина с массой  $2m$ , неподвижно лежащего на шероховатом горизонтальном столе. Угол при основании клина равен  $\alpha$ . При каком коэффициенте трения между столом и клином последний будет оставаться в покое?

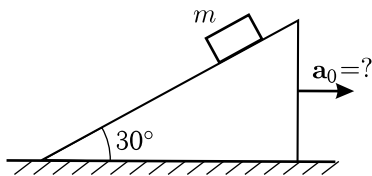
**2.6.** На гладком горизонтальном столе находится клин массой  $m$  с углом  $30^\circ$  при основании. По шероховатой наклонной поверхности клина соскальзывает брусок той же массы, причем его скорость относительно стола ориентирована под углом  $60^\circ$  (см. рис.) и равна  $V_0$ . Найти величину и направление импульса системы брусок-клин, а также силу трения между бруском и клином.



К задаче 2.6

**2.7.** На гладком горизонтальном столе находится клин с углом  $\alpha$  при основании. По шероховатой наклонной поверхности клина соскальзывает брусок, причем его скорость относительно стола ориентирована вертикально и равна  $V_0$ . Найти скорость клина и коэффициент трения между бруском и клином.

**2.8.** С каким ускорением  $a_0$  нужно двигать по горизонтали клин с углом при основании  $30^\circ$  (см. рис.), чтобы кубик массой  $m$  давил на клин с силой  $mg/2$  ( $g$  — ускорение свободного падения)? Трение между кубиком и клином отсутствует.



К задаче 2.8

**2.9.** Бусинка массой  $m$  надета на гладкое проволочное кольцо радиусом  $R$ , плоскость которого наклонена под углом  $30^\circ$  к горизонту. Кольцо жесткое и закреплено неподвижно. Какая сила действует со стороны кольца на бусинку в момент прохождения ею нижнего положения, если бусинка соскользнула без начальной скорости из верхней точки?

**2.10.** Бусинка массой  $m$  надета на закрепленное жесткое кольцо радиусом  $R$ , плоскость которого горизонтальна. В некоторый момент бусинке сообщают скорость  $V_0$ . Найти силу, действующую на бусинку со стороны кольца в два момента времени: сразу после начала движения и перед остановкой. Коэффициент трения между бусинкой и кольцом равен  $\mu$ .

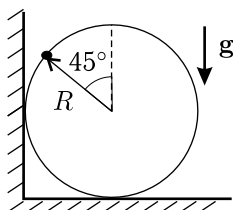
**2.11.** Шарик, висящий на нити длиной  $L$ , отклоняют до горизонтального положения нити и отпускают без начальной скорости. Максимальная сила натяжения, которую выдерживает

нить, равна действующей на шарик силе тяжести. На какой высоте над полом должна находиться точка подвеса, чтобы время движения шарика по параболе после разрыва нити было таким же, как и время его падения после разрезания нити в исходном вертикальном положении?

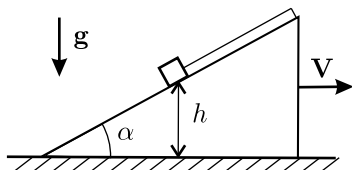
**2.12.** Гладкий шар массой  $M$  и радиусом  $R$  лежит на гладком горизонтальном столе. С вершины шара начинает свободно соскальзывать небольшое тело массой  $m$ . При каком отношении масс  $m/M$  тело оторвется от шара на высоте  $7R/4$  над столом?

**2.13.** Небольшой груз прикреплен к невесомому жесткому обручу радиусом  $R$ . Обруч удерживается в положении, показанном на рисунке. На каком расстоянии от своего первоначального положения груз коснется горизонтальной плоскости после освобождения обруча? Трением пренебречь.

**2.14.** Гладкий клин с углом при основании  $\alpha$  и прикрепленный к нему нитью на высоте  $h$  кубик двигают по горизонтальной поверхности со скоростью  $V$  (см. рис.). В некоторый момент нить пережигают, а клин продолжают двигать с прежней скоростью. Через какое время после пережигания нити кубик коснется горизонтальной поверхности? Какой должна быть скорость клина  $V$ , чтобы кубик коснулся горизонтальной поверхности, имея вертикально ориентированный вектор скорости?



К задаче 2.13



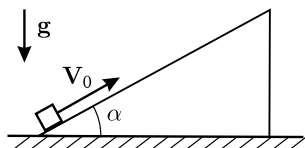
К задаче 2.14

**2.15.** Гладкий клин с углом при основании  $\alpha$  и прикрепленный к нему нитью кубик двигают по горизонтальной поверхности со скоростью  $V$  (см. рис. к задаче 2.14). В некоторый момент нить пережигают, а клин продолжают двигать с прежней скоростью. При какой начальной высоте кубика над горизонтальной поверхностью он в ходе дальнейшего движения пройдет через вершину параболической траектории? Чему равен радиус кривизны траектории в ее вершине?

**2.16.** Кубику сообщили скорость  $V_0$  вверх вдоль поверхности гладкого клина, находящегося на гладком горизонтальном столе (см. рис.). Угол при основании клина  $\alpha$ , массы кубика и клина

одинаковы. Через какое время кубик вернется в исходную точку на поверхности клина?

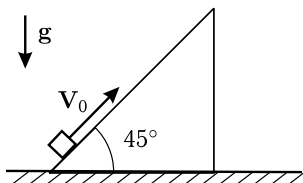
**2.17.** Кубик толкнули со скоростью  $V_0$  вверх вдоль поверхности гладкого клина, находящегося на гладком горизонтальном столе (см. рис. к задаче 2.16). Угол при основании клина равен  $\alpha$ , массы кубика и клина одинаковы. Считая, что кубик не переходит вершину клина, найти скорость кубика в момент его возврата на начальную высоту.



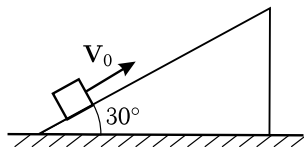
К задаче 2.16

**2.18.** Кубику сообщили скорость  $V_0$  вверх вдоль поверхности гладкого клина (см. рис. к задаче 2.16). Угол при основании клина равен  $\alpha$ , массы кубика и клина одинаковы, трение между клином и горизонтальной поверхностью стола отсутствует. Найти в неподвижной системе отсчета радиус кривизны траектории кубика в верхней точке. Считать, что кубик вершины клина не достигает.

**2.19.** Кубику сообщили скорость  $V_0$  вверх вдоль поверхности гладкого клина (см. рис.). Угол при основании клина равен  $45^\circ$ , массы кубика и клина одинаковы, трение между клином и горизонтальной поверхностью стола отсутствует. Найти наименьший радиус кривизны траектории кубика в неподвижной системе отсчета. Считать, что кубик вершины клина не достигает.



К задаче 2.19



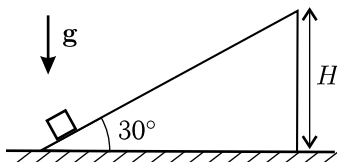
К задаче 2.20

**2.20.** Кубику сообщили скорость  $V_0$  вверх вдоль поверхности гладкого клина (см. рис.). Угол при основании клина  $30^\circ$ , массы кубика и клина одинаковы, трение между клином и горизонтальной поверхностью стола отсутствует. Какого минимального значения достигает скорость кубика при его скольжении по поверхности клина?

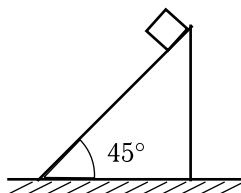
**2.21.** Кубик толкнули вверх вдоль поверхности гладкого клина, находящегося на гладком горизонтальном столе (см. рис.), так что в итоге кубик, перейдя через вершину, покидает клин.

Высота клина равна  $H$ , угол при основании  $30^\circ$ , массы кубика и клина одинаковы. При какой начальной скорости кубика конечная скорость клина будет максимальной? Чему равна эта максимальная скорость?

**2.22.** С каким горизонтальным ускорением нужно двигать гладкий клин с углом  $45^\circ$  при основании (см. рис.), чтобы время соскальзывания небольшого тела с вершины до основания клина оказалось вдвое больше, чем время соскальзывания по неподвижному клину?



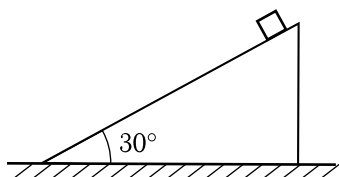
К задаче 2.21



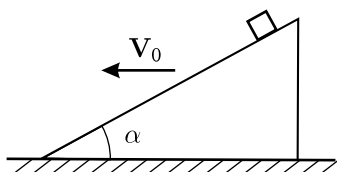
К задаче 2.22

**2.23.** С каким горизонтальным ускорением нужно двигать гладкий клин с углом  $30^\circ$  при основании (см. рис.), чтобы время соскальзывания небольшого тела с вершины до основания клина оказалось вдвое меньше, чем время соскальзывания по неподвижному клину?

**2.24.** На гладкую наклонную грань клина, находящегося на гладком горизонтальном столе, поместили брусок и сообщили обоим телам скорость  $V_0$  вдоль стола (см. рис.). Угол при основании клина равен  $\alpha$ , массы бруска и клина одинаковы. Найти радиус кривизны траектории бруска (в системе отсчета, связанной с Землей) в точке, через которую проходит брусок в момент остановки клина.



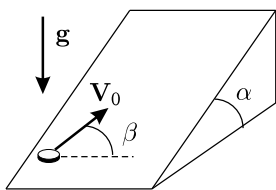
К задаче 2.23



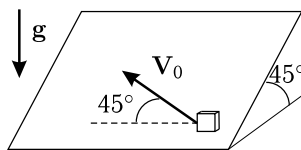
К задаче 2.24

**2.25.** Небольшую шайбу запускают вдоль наклонной грани неподвижного клина с углом  $\alpha$  при основании. Вектор  $V_0$  начальной скорости шайбы ориентирован под углом  $\beta$  к ребру клина (см. рис.). Найти радиус кривизны траектории шайбы в высшей точке, если коэффициент трения между шайбой и поверхностью клина равен  $\tan \alpha$ .

**2.26.** Небольшой кубик массой  $m$  запускают по поверхности гладкого клина той же массы, покоящегося на гладком горизонтальном столе. Начальная скорость кубика равна  $V_0$  и направлена под углом  $45^\circ$  к ребру двугранного угла клина, который также равен  $45^\circ$  (см. рис.). Найти силу реакции клина, действующую на кубик, и скорость кубика в высшей точке траектории. Через какое время кубик вернется на начальный уровень? Чему равен радиус кривизны траектории кубика в высшей точке? Считать, что за счет направляющих разрешено только поступательное движение клина в направлении, перпендикулярном его ребру.



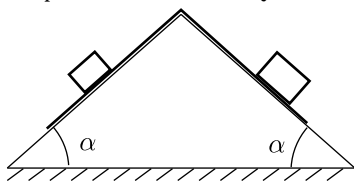
К задаче 2.25



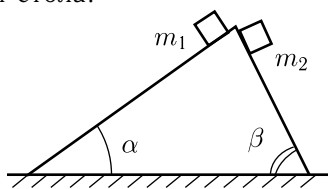
К задаче 2.26

**2.27.** Через вершину неподвижной гладкой призмы с равными углами  $\alpha$  при горизонтальном основании переброшена легкая лента. По разные стороны от вершины на ленту поставлены два бруска, массы которых отличаются в 2 раза (см. рис.). Считая коэффициент трения между лентой и обоими брусками одинаковым и равным  $\mu$ , найти ускорение ленты.

**2.28.** Невесомый клин с углами при основании  $\alpha$  и  $\beta$  находится на гладком горизонтальном столе (см. рис.). С вершины клина одновременно начинают соскальзывать без трения два небольших тела. При каком отношении их масс  $m_2/m_1$  эти тела одновременно достигнут поверхности стола?



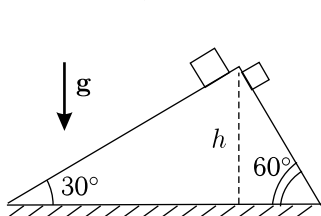
К задаче 2.27



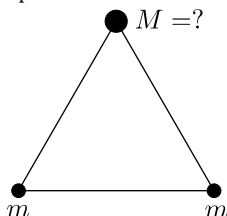
К задаче 2.28

**2.29.** Невесомый клин высотой  $h$  с углами при основании  $30^\circ$  и  $60^\circ$  находится на гладком горизонтальном столе (см. рис.). С вершины клина одновременно начинают соскальзывать без трения два небольших тела; скользящее по длинной грани имеет вдвое большую массу. На какой высоте над столом будет находиться «отставшее» тело, когда другое достигнет стола? На какое

расстояние сместится клин к этому моменту? Тела движутся в одной плоскости, так что клин не поворачивается.

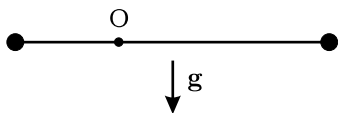


К задаче 2.29



К задаче 2.30

**2.30.** Три шарика, электрические заряды которых равны, связаны тремя нитями одинаковой длины и покоятся на гладкой горизонтальной поверхности (см. рис.). Массы двух шариков одинаковы и равны  $m$ . Нить, соединяющую эти два шарика, пережигают. При каких значениях массы  $M$  третьего шарика скорости шариков массой  $m$  будут максимальны в момент времени, когда все три шарика окажутся на одной прямой?



К задаче 2.31

**2.31.** К концам невесомого жёсткого стержня прикреплены небольшие шарики с одинаковой массой. Стержень может свободно вращаться в вертикальной плоскости вокруг горизонтальной оси  $O$ , которая делит стержень

в отношении 1:2 (см. рис.). Вначале стержень удерживают в горизонтальном положении, а затем освобождают. Найти ускорения шариков в самом начале вращения стержня.

**2.32.** Два шарика с одинаковой массой  $m$  закреплены на концах легкого стержня длиной  $L$ , который может вращаться вокруг горизонтальной оси  $O$  (см. рис. к задаче 2.31). Ось делит стержень в отношении 1:2. Вначале стержень удерживают в горизонтальном положении, а затем освобождают. Найти угол поворота стержня к моменту, когда вертикальная компонента силы действия стержня на ось равна  $2mg$ , где  $g$  — ускорение свободного падения. Чему в этот момент равна горизонтальная компонента силы действия стержня на ось?

**2.33.** Два груза с одинаковой массой  $m$  закреплены на концах легкого стержня, согнутого под прямым углом; стороны угла отличаются по длине в 2 раза (см. рис.). Через вершину угла перпендикулярно плоскости чертежа проходит горизонтальная ось вращения. Стержень удерживают в положении, указанном на рисунке, а затем отпускают.



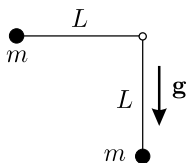
Определите силу, с которой стержень действует на ось вращения сразу после освобождения.



К задаче 2.33

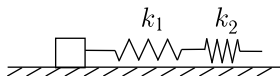
**2.34.** Два груза с одинаковой массой  $m$  закреплены на концах легкого стержня, согнутого под прямым углом; стороны угла равны  $L$  и  $2L$ . Через вершину угла перпендикулярно плоскости чертежа проходит горизонтальная ось вращения (см. рис. к задаче 2.33). Стержень удерживают в положении, указанном на рисунке, а затем отпускают. Найти угол поворота стержня, при котором достигается его максимальная угловая скорость, значение этой максимальной скорости, а также силу, с которой стержень действует на ось вращения в момент достижения максимальной угловой скорости.

**2.35.** Два шарика с одинаковой массой  $m$  закреплены на концах легкого стержня длины  $2L$ , согнутого в середине под прямым углом (см. рис.). Через вершину угла перпендикулярно плоскости чертежа проходит горизонтальная ось вращения. Стержень удерживают в положении, указанном на рисунке, а затем отпускают. Найти работу, совершённую силой действия стержня на нижний шарик к моменту достижения им максимальной скорости.



К задаче 2.35

**2.36.** На горизонтальном столе покоится кубик массой  $m$ , к которому прикреплены две соединённые последовательно невесомые пружины с коэффициентами упругости  $k_1$  и  $k_2$  (см. рис.). Какую наименьшую работу

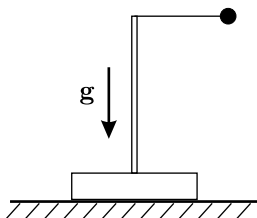


К задаче 2.36

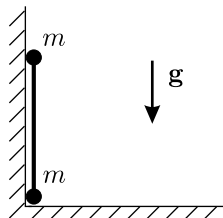
нужно совершить, чтобы, приложив силу к правому концу второй пружины, сдвинуть кубик? Коэффициент трения между кубиком и столом равен  $\mu$ , рассматривать только поступательное движение кубика.

**2.37.** Две шайбы, двигаясь с одинаковыми скоростями навстречу друг другу по гладкому горизонтальному столу, одновременно въезжают на шероховатую полосу, ориентированную перпендикулярно векторам скоростей шайб. Скорость шайбы достаточна для преодоления  $3/4$  ширины полосы. При каком соотношении масс шайб более легкая из них, испытав абсолютно упругое центральное соударение с тяжелой, выйдет за пределы шероховатой полосы?

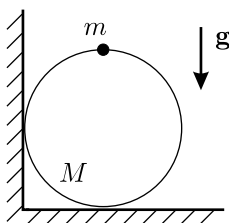
**2.38.** Брусок, к вертикальной стойке которого невесомой нитью прикреплен шарик, покоится на горизонтальном столе. Нить с шариком отклонили до горизонтального положения (см. рис.) и отпустили. Каким должен быть наименьший коэффициент трения между бруском и столом, чтобы при колебаниях шарика брусок оставался неподвижным? Отношение массы шарика к массе бруска равно  $\gamma$ . Считать, что при колебаниях шарик не задевает стойку.



К задаче 2.38



К задаче 2.39

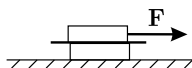


К задаче 2.40

**2.40.** Обруч массой  $M$  стоит в углу, образованном двумя гладкими плоскостями (см. рис.). К верхней точке обруча прикреплено небольшое тело массой  $m$ . Обруч выводят из равновесия, слегка повернув его по часовой стрелке. Найти зависимость силы давления обруча на вертикальную стенку от меняющегося в ходе последующего движения угла поворота обруча.

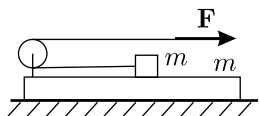
**2.41.** Вдоль доски, покоящейся на гладком горизонтальном столе, толкают с некоторой начальной скоростью брусок, масса которого равна массе доски. Пройдя по доске расстояние  $L$ , брусок перестает по ней скользить. Какое расстояние пройдет по этой доске брусок вдвое большей массы, сделанный из прежнего материала и запущенный с той же начальной скоростью?

**2.42.** На гладком горизонтальном столе лежат два бруска с равной массой  $m$ , между которыми находится легкий лист бумаги (см. рис.). Коэффициент трения между верхним бруском и листом равен  $\mu$ , между нижним бруском и листом  $2\mu$ . С какими ускорениями будут двигаться бруски, если к верхнему приложить горизонтальную силу  $F$ ?



К задаче 2.42

**2.43.** В системе, представленной на рисунке, массы доски и груза одинаковы и равны  $m$ , коэффициент трения между доской и столом  $\mu$ , а между доской и грузом  $3\mu$ . К идеальной нити, скреплённой с грузом и переброшенной через закреплённый на конце доски невесомый блок, приложена направленная горизонтально сила  $F$ . Определить значения силы, при которых доска будет скользить по столу, груз по доске.



К задаче 2.43

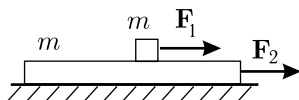
**2.44.** В системе, представленной на рисунке к задаче 2.43, массы доски и груза одинаковы и равны  $m$ , коэффициент трения между грузом и доской  $\mu$ , трение между доской и столом отсутствует. К идеальной нити, скреплённой с грузом и переброшенной через закреплённый на конце доски невесомый блок, приложена горизонтальная сила  $F$ . Найти силу трения, действующую на груз в отсутствие его проскальзывания по доске. Определить значение силы  $F^*$ , при котором начнется проскальзывание груза. Найти ускорение доски при  $F > F^*$ .

**2.45.** В системе, представленной на рисунке к задаче 2.43, массы доски и груза одинаковы и равны  $m$ , коэффициент трения между грузом и доской  $\mu$ , трение между доской и столом отсутствует. К идеальной нити, скреплённой с грузом и переброшенной через закреплённый на конце доски невесомый блок, прикладывают горизонтальную силу  $F = \mu mg$ , где  $g$  — ускорение свободного падения. Считая, что до приложения силы система покоилась, найти работу силы  $F$  за время  $t$  и количество тепла, выделившееся в системе за это время.

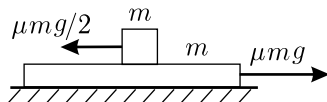
**2.46.** На гладком горизонтальном столе находится дощечка массой  $m$ , на которую положен брусок той же массы. Коэффициент трения бруска о дощечку равен  $\mu$ . Чему будет равна сила трения между дощечкой и бруском, если к ним приложить одинаково направленные горизонтальные силы  $F_1$  и  $F_2$  (см. рис.)?

**2.47.** На гладком горизонтальном столе находится дощечка массой  $m$ , на которую положен брусок той же массы. Коэффициент

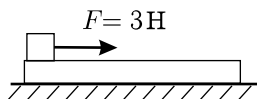
ент трения бруска о дощечку равен  $\mu$ . В момент времени  $t = 0$  к бруску и дощечке прикладывают противоположно направленные силы  $\mu mg/2$  и  $\mu mg$ , где  $g$  — ускорение свободного падения (см. рис.). Найти работы сил  $\mu mg/2$  и  $\mu mg$  за время  $t$ .



К задаче 2.46

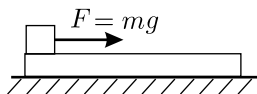


К задаче 2.47



К задаче 2.48

**2.48.** Доска массой 1 кг и длиной 1 м с шероховатой верхней поверхностью покоится на гладком горизонтальном столе. На левый конец доски ставят брусок той же массы и в течение 1 с действуют на него направленной вправо вдоль доски горизонтальной силой 3 Н. Какое количество теплоты выделится в системе, если коэффициент трения между бруском и доской равен 0,1? Ускорение свободного падения считать равным  $10 \text{ м/с}^2$ .



К задаче 2.49

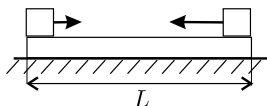
**2.49.** Доска массой  $m$  и длиной  $L$  с шероховатой верхней поверхностью покоится на гладком горизонтальном столе. На левый конец доски ставят брусок той же массы и в течение промежутка времени  $\tau$  действуют на него

вправо вдоль доски силой  $F$ , равной  $mg$ , где  $g$  — ускорение свободного падения (см. рис.). При каком коэффициенте трения между бруском и доской в системе выделится максимальное количество теплоты? Чему равно это максимальное количество теплоты?

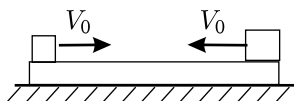
**2.50.** Доска длиной  $L$  с шероховатой верхней поверхностью покоится на гладком горизонтальном столе. С концов доски во встречных направлениях одновременно толкают два одинаковых кубика с отличающимися в три раза начальными скоростями (см. рис.). Абсолютно неупругое соударение кубиков происходит в момент остановки одного из них. В каком месте доски прекратится скольжение по ней кубиков, если масса доски вдвое больше массы кубика?

**2.51.** На доску с шероховатой верхней поверхностью, лежащую на гладком горизонтальном столе, поставили два бруска и сообщили им равные по абсолютной величине скорости  $V_0$  вдоль доски во встречных направлениях (см. рис.). Коэффициен-

ты трения брусков по доске одинаковы и равны  $\mu$ , масса одного бруска равна массе доски, масса другого вдвое больше. Найти максимальную скорость, которую набирает доска в процессе движения, а также перемещения брусков по доске. Считать, что доска имеет достаточную длину и бруски не сталкиваются между собой.

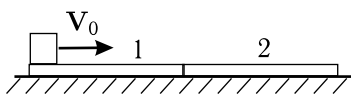


К задаче 2.50



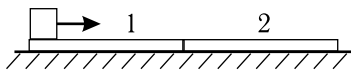
К задаче 2.51

**2.52.** Две одинаковые доски длиной  $L$  каждая лежат на гладком горизонтальном столе, соприкасаясь торцами (см. рис.). Брусок, масса которого равна массе доски, запускают вдоль досок с конца доски 1 с такой скоростью  $V_0$ , что он, проскользив по обеим доскам, остается на конце доски 2. Каким будет промежуток между торцами досок в момент остановки бруска на второй доске? Чему равен коэффициент трения между бруском и досками?



К задаче 2.52

**2.53.** Две одинаковые доски лежат на гладком горизонтальном столе, соприкасаясь торцами. Брусок, масса которого равна массе доски, запускают вдоль досок с конца доски 1 (см. рис.) с такой скоростью, что он, проскользив по обеим доскам, остается на конце доски 2. Какую часть второй доски пройдет до остановки на ней брусок с вдвое большей массой, запущенный так же, как и первый? Коэффициенты трения о доски для обоих брусков одинаковы.



К задаче 2.53

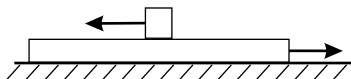
**2.54.** На доску поставили брусок и сообщили обоим телам одинаковую скорость  $V_0$  (см. рис.). На какое расстояние сместится брусок относительно доски, если его масса равна массе доски, коэффициент трения между бруском и доской  $\mu$ , а между доской и полом  $2\mu$ ? Считать, что брусок не соскальзывает с доски.

**2.55.** На горизонтальном столе находится доска, на которую положили брусок. Доске и бруску сообщили одинаковые по абсолютной величине и противоположные по направлению скорости (см. рис.). Коэффициент трения между бруском и доской в 4 раза превышает коэффициент трения между доской и столом.

При каком отношении масс бруска и доски перемещение бруска относительно стола окажется равным нулю?



К задаче 2.54

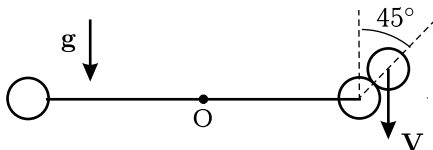


К задаче 2.55

**2.56.** Шайбе массой  $m_1$  сообщили начальную скорость  $V_0$  вдоль доски массой  $m_2$ , которая неподвижно плавала на поверхности озера. Проскользив расстояние  $S$  по доске, шайба остановилась на ней. Найти работу сил сухого трения между шайбой и доской, если известно, что максимальная скорость доски была  $V$ , а сила вязкого трения доски о воду пропорциональна скорости доски, причем коэффициент пропорциональности равен  $k$ .

**2.57.** В гладкую наклонную грань клина, лежащего на гладком горизонтальном столе, абсолютно упруго ударяется шарик, масса которого равна массе клина. Вектор скорости шарика параллелен плоскости стола и перпендикулярен ребру клина. При каком угле при основании клина ударное силовое действие на стол будет максимальным? Считать, что удар шарика не вызывает вращения клина и время соударения не зависит от угла при основании клина.

**2.58.** Два одинаковых шарика могут свободно вращаться на невесомом жестком стержне вокруг горизонтальной оси  $O$ , проходящей через его середину. Третий такой же шарик, падающий вертикально, абсолютно упруго соударяется с правым шариком (см. рис.). Скорость налетающего шарика равна  $V$ ; линия, проходящая в момент удара через центры шаров, наклонена под углом  $45^\circ$  к вертикали. Найти скорость налетевшего шарика после

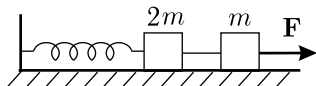


К задаче 2.58

удара, если перед столкновением шарик на стержне покоился и стержень был расположен горизонтально. Радиусы шариков малы по сравнению с длиной стержня.

**2.59.** Цилиндрическое ведро высотой  $H$  и радиусом  $R$ , наполненное до краев водой, начинают поднимать на веревке. Вода вытекает через малое отверстие в дне ведра. С какой силой надо тянуть веревку, чтобы скорость вытекания воды оставалась постоянной? Массой ведра и веревки пренебречь.

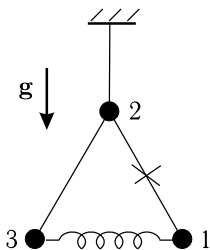
**2.60.** Два груза массами  $m$  и  $2m$ , лежащие на гладком горизонтальном столе, связаны невесомой нитью и прикреплены к стене пружиной (см. рис.).



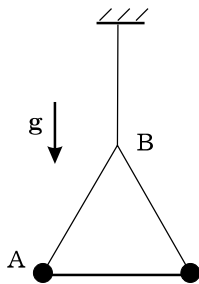
К задаче 2.60

Пружина растянута, поскольку к одному из грузов приложена горизонтальная сила  $F$ . В некоторый момент эту силу уменьшают в два раза. Найти силу натяжения нити сразу после уменьшения приложенной силы и в моменты, когда деформация пружины обращается в нуль.

**2.61.** Три шарика массой  $m$  каждый, расположенные в вершинах правильного треугольника и соединённые идеальными нитями и невесомой пружиной, подвешены на еще одной идеальной нити в поле силы тяжести (см. рис.). Найти силу упругости пружины. Нить, соединяющую шарики 1 и 2, пережигают. Какими будут сразу после пережигания нити ускорения первого, второго, третьего шариков?



К задаче 2.61

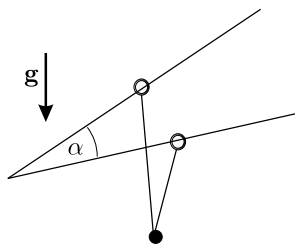


К задаче 2.62

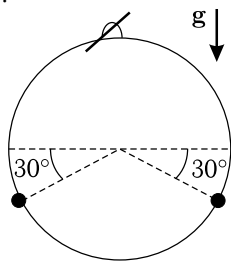
**2.62.** Невесомый жёсткий стержень длиной  $L$  с двумя одинаковыми шариками на концах подвешен горизонтально на двух нитях длины  $2L$  и  $L$ . Короткая нить  $AB$  соединяет один из шариков с серединой длинной нити (см. рис.). После пережигания нити  $AB$  стержень с шариками разгоняется в поле силы тяжести и освобождается от связи, обрывая длинную нить. Нить разрывается на пределе прочности, т.е. при небольшом уменьшении массы шариков разрыва бы не произошло. Через какое время после обрыва длинной нити стержень в первый раз примет

вертикальное положение? Коэффициент упругости стержня много больше коэффициента упругости нити.

**2.63.** Жёсткая гладкая проволока, согнутая под углом  $\alpha$ , расположена в горизонтальной плоскости. На проволоку надеты два одинаковых кольца, соединенные идеальной нитью длиной  $2L$ . На середине нити закреплен груз, масса которого равна массе кольца (см. рис.). В начальный момент кольца удерживают на одинаковых расстояниях от вершины угла. Каким должно быть это расстояние, чтобы сразу после освобождения колец их ускорение оказалось наибольшим? Чему равно это наибольшее ускорение?



К задаче 2.63



К задаче 2.64

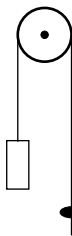
**2.65.** По наклонной грани клина, неподвижно стоящего на шероховатом горизонтальном столе, соскальзывает из верхней точки кубик массой  $m$ . Эта грань, ориентированная под углом  $\alpha$  к горизонту, состоит из трех участков: верхнего — гладкого, среднего — с коэффициентом трения  $\mu_1 = \operatorname{tg} \alpha$  и нижнего — с  $\mu_2 = 2 \operatorname{tg} \alpha$ . Длины верхнего и среднего участков равны  $L$ , нижнего —  $2L$ . Построить график зависимости от времени силы трения, действующей на клин со стороны стола и обеспечивающей неподвижность клина. Начальная скорость кубика равна нулю.

**2.66.** По наклонной грани клина, неподвижно стоящего на шероховатом горизонтальном столе, соскальзывает из верхней точки кубик массой  $m$ . Эта грань, ориентированная под углом  $\alpha$  к горизонту, состоит из двух участков длиной  $L$  каж-



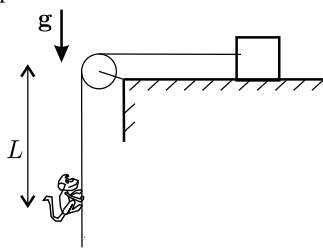
дый: верхнего — на котором коэффициент трения меняется по закону  $\mu = (x/L) \cdot \operatorname{tg} \alpha$  (ось  $x$  направлена вдоль наклонной грани клина, на вершине  $x = 0$ ) и нижнего — с  $\mu = \operatorname{tg} \alpha$ . Построить график зависимости от времени силы трения, действующей на клин со стороны стола и обеспечивающей неподвижность клина. Начальная скорость кубика равна нулю.

**2.67.** К левому концу идеальной нити, переброшенной через невесомый блок, подвешен груз, а на правом участке находится кольцо массой  $m$ , охватывающее нить (см. рис.). Максимальное значение силы трения покоя между кольцом и нитью равно  $0,8mg$ , где  $g$  — ускорение свободного падения. В каких пределах должно лежать значение массы груза, чтобы кольцо не скользило по нити?

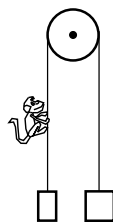


К задаче 2.67

**2.68.** На горизонтальном столе постоит груз, коэффициент трения между грузом и столом  $0,5$ . К грузу прикреплена переброшенная через блок веревка, на которой на расстоянии  $L$  от блока висит обезьяна, масса которой вдвое меньше массы груза (см. рис.). С некоторого момента обезьяна начинает подниматься вверх со скоростью  $u$  относительно веревки. Через какое время обезьяна доберется до блока? Считать, что груз блока не достигает. Массой веревки и блока, а также трением в оси блока пренебречь.



К задаче 2.68

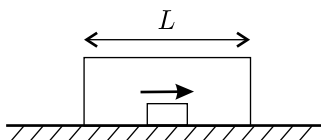


К задаче 2.69

**2.69.** К концам легкой нерастяжимой веревки длиной  $L$ , симметрично переброшенной через идеальный блок, подвешены гири, массы которых отличаются в два раза. На середине части веревки, к которой подвешена легкая гири, висит обезьяна с той же массой, что и эта гири (см. рис.). Первоначально система находилась в покое, затем обезьяна начинает карабкаться вверх со скоростью  $u$  относительно веревки. Через какое время обезьяна доберется до блока?

**2.70.** Через идеальный блок переброшена легкая нерастяжимая веревка так, что длины свешивающихся концов одинаковы. Две обезьяны, легкая и тяжелая (с вдвое большей массой), одновременно хватаются за концы веревки и начинают выбирать ее со скоростями соответственно  $u$  и  $2u$ . При какой длине веревки тяжелая обезьяна достигнет наибольшей высоты над землей в тот момент, когда легкая обезьяна доберется до блока?

**2.71.** Через невесомый блок переброшена однородная цепочка длиной  $3L$  и массой  $m$  так, что слева и справа от блока свисают куски равной длины, а наброшенная на блок часть цепочки имеет длину  $L$ . Трение в оси блока отсутствует. Из-за неустойчивости равновесия цепочка начинает съезжать вправо. С какой силой она будет действовать на блок в момент, когда длина правого конца составит  $3L/2$ ?



К задаче 2.72

**2.72.** В коробку, лежащую на шероховатом столе, поместили шайбу и толкнули ее перпендикулярно к двум стенкам коробки, находящимся на расстоянии  $L$  друг от друга (см. рис.). Массы коробки и шайбы равны, коэффициент трения между коробкой и столом  $\mu$ ,

трение между шайбой и коробкой отсутствует. Полагая удары шайбы о стенки абсолютно упругими, пренебрегая размером шайбы и учитывая, что результирующее перемещение коробки по столу составило  $9L/4$ , найти начальную скорость шайбы и число ударов шайбы о стенки коробки.

**2.73.** На противоположных концах легкой соломинки длиной  $L$ , лежащей на гладком горизонтальном столе, сидят два жука, массы которых отличаются в два раза. Жуки одновременно начинают ползти по соломинке навстречу друг другу с одинаковой скоростью  $u$  относительно соломинки. Через какой промежуток времени жуки встретятся? На сколько сместится соломинка за время движения жуков?

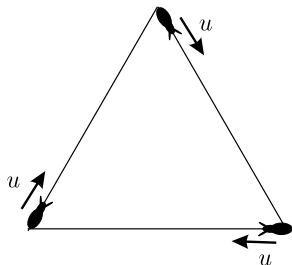
**2.74.** На конце соломинки длины  $L$ , лежащей на горизонтальном столе, сидит жук, масса которого равна массе соломинки. В некоторый момент жук начинает бежать по соломинке с постоянной относительно нее скоростью  $V$ . Найти скорость жука относительно земли в момент, когда он достигнет другого конца соломинки. На сколько к этому моменту сместится соломинка? Коэффициент трения соломинки по столу равен  $\mu$ .

**2.75.** На гладком горизонтальном столе лежит невесомое кольцо. На противоположных концах диаметра кольца сидят

два жука с одинаковой массой. Жуки одновременно начинают ползти по кольцу с равными скоростями  $u$  относительно кольца, сближаясь друг с другом. Какими будут скорости жуков относительно стола в момент, когда расстояние между жуками станет равным радиусу кольца? Какой будет в этот момент скорость центра кольца?

**2.76.** На гладком горизонтальном столе лежит невесомое кольцо радиусом  $R$ . На противоположных концах диаметра кольца сидят два жука, массы которых отличаются в два раза. Жуки одновременно начинают ползти по кольцу с равными скоростями  $u$  относительно кольца, сближаясь друг с другом. Через какое время жуки встретятся? Какой будет скорость «легкого» жука относительно стола непосредственно перед встречей? Каким было ускорение «легкого» жука сразу после начала движения?

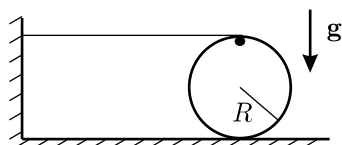
**2.77.** Правильный треугольник со стороной  $d$ , сделанный из невесомой жёсткой проволоки, лежит на гладком горизонтальном столе. По проволоке из вершин треугольника одновременно начинают бежать три жука равной массы с одинаковыми скоростями  $u$  относительно проволоки (см. рис.). Через какой промежуток времени после начала движения скорости жуков относительно стола обратятся в нуль? Чему равна в этот момент угловая скорость треугольника? Чему равно в этот момент ускорение жуков?



К задаче 2.77

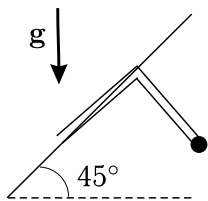
**2.78.** Невесомая жёсткая проволочка длины  $2a$ , согнутая в середине под прямым углом, лежит на гладком горизонтальном столе. По проволочке с ее концов одновременно начинают бежать два жука равной массы со скоростями  $u$  и  $2u$  относительно проволочки. Каким будет смещение каждого жука относительно стола к моменту их встречи? Каково минимальное значение скоростей жуков относительно стола в процессе движения? Каково максимальное значение скоростей жуков относительно стола? Каково смещение вершины прямого угла относительно стола за время движения жуков?

**2.79.** Невесомый отрезок тонкостенной трубы радиусом  $R$  с прикреплённой к внутренней поверхности сосредоточенной массой находится на гладкой горизонтальной поверхности. На трубу намотана идеальная нить, один конец которой



К задаче 2.79

прикреплен к трубе, а другой — к вертикальной стенке на высоте  $2R$  от горизонтальной поверхности (см. рис.). В начальный момент нить не провисает, труба неподвижна, а масса находится в верхней точке, слегка отклонившись от нее по часовой стрелке. Какое расстояние пройдет ось трубы к моменту, когда нить перестанет быть натянутой? Считать, что при движении ось трубы все время остается параллельной стенке. **2.80.** Через неподвижный блок переброшена длинная невесомая нить, к концам которой прикреплены гири и ведро с песком. Масса песка равна массе ведра и составляет половину массы гири. Вначале тела находятся в покое. Из небольшого отверстия в дне ведра в момент времени  $t = 0$  начинает равномерно высыпаться песок (за равные промежутки времени высыплются равные массы песка). Какую скорость будет иметь гиря в момент времени  $2t_0$ , если весь песок высыпался за время  $t_0$ ?



К задаче 2.81

**2.81.** Легкую жёсткую трубку согнули посередине под прямым углом, в месте сгиба просверлили отверстие и надели трубку на струну, натянутую под углом  $45^\circ$  к горизонту. На конце трубки закрепили груз (см. рис.) и толкнули трубку с грузом вниз вдоль струны. Чему равен коэффициент трения между трубкой и струной, если движение оказалось равномерным? Внутреннее сечение трубки слегка превышает сечение струны.

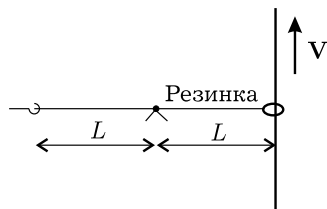


К задаче 2.82

**2.82.** На конец доски поместили груз с вдвое большей массой и толкнули оба тела со скоростью  $V_0$  по гладкому столу в направлении вертикальной стенки (см. рис.). Вектор скорости направлен вдоль доски и перпендикулярно стенке. Считая удар доски о стенку абсолютно упругим, а коэффициент трения между грузом и доской равным  $\mu$ , найти минимальную длину доски, при которой груз никогда не коснется стенки.

**2.83.** Кольцо, привязанное к неподвижному крючку с помощью связанных между собой шнура и резинки, может

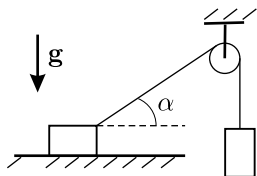
скользить без трения по прямой спице (см. рис.). Длина резинки в недеформированном состоянии и длина шнура одинаковы и равны  $L$ , расстояние от крючка до спицы  $2L$ . Кольцо двигают по спице с постоянной скоростью  $V$ . Считая, что при  $t = 0$  кольцо находилось на кратчайшем расстоянии от крючка, найти момент времени, в который скорость узелка составляет  $1/3$  от скорости кольца. Определить зависимость от времени силы, с которой нужно действовать на кольцо вдоль спицы для обеспечения его равномерного движения; работы этой силы. Коэффициент упругости резинки равен  $k$ .



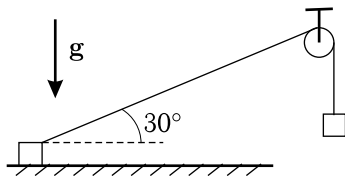
К задаче 2.83

**2.84.** Два одинаковых груза связаны идеальной нитью, переброшенной через блок, и удерживаются в положении, показанном на рисунке. Считая угол  $\alpha$  известным и пренебрегая трением груза о стол, найти ускорения грузов сразу после их освобождения.

**2.85.** Два груза связаны идеальной нитью, переброшенной через блок, и удерживаются в положении, показанном на рисунке. Подвешенный груз вдвое тяжелее груза, лежащего на гладком горизонтальном столе. После освобождения система приходит в движение. Какой угол будет составлять наклонная часть нити с горизонтом в момент отрыва груза от стола?

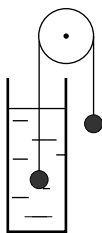


К задаче 2.84

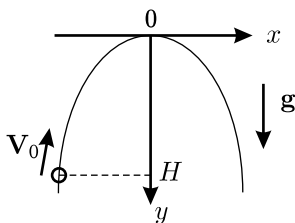


К задаче 2.85

**2.86.** Одинаковые шарики подвешены на идеальной нити, переброшенной через блок. Когда один из шариков погрузили в жидкость (см. рис.), шарики пришли в движение, которое вскоре стало равномерным со скоростью  $V_1$ . Считая силу трения, действующую на шарик в жидкости, пропорциональной скорости, найти, с какой установившейся скоростью  $V_2$  двигался бы шарик в жидкости, если бы оборвалась нить? Плотность материала шарика в два раза больше плотности жидкости.

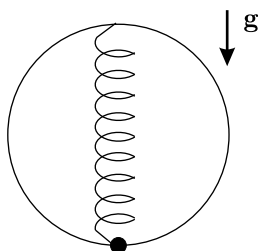


К задаче 2.86



К задаче 2.87

**2.87.** Гладкая жёсткая проволока согнута в форме параболы с уравнением  $y = kx^2$ , где  $k$  — известный коэффициент, и расположена в вертикальной плоскости (см. рис.). Бусинку, надетую на проволоку, запускают с начальной скоростью  $V_0$  из точки, расположенной на  $H$  ниже вершины параболы. При каком значении  $V_0$  проволока не будет действовать на бусинку в течение всего времени ее движения?



К задаче 2.88

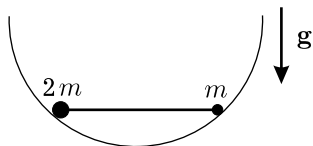
**2.88.** На неподвижное, ориентированное в вертикальной плоскости гладкое кольцо радиусом  $R$  надета бусинка. К бусинке, находящейся в нижней точке кольца, крепится невесомая пружина, другим концом скрепленная с верхней точкой кольца (см. рис.). Пружина растянута так, что бусинка давит на кольцо с силой, вдвое превышающей силу тяжести, действующую на бусинку. Из-за неустойчивости бусинка начинает сколь-

зить по кольцу, и ее скорость достигает максимума в тот момент, когда пройдена треть кольца. Чему равна длина недеформированной пружины?

**2.89.** Жёсткое непроводящее кольцо расположено в вертикальной плоскости и закреплено. В нижней точке кольца находится неподвижный заряд, а в верхней — надета на кольцо одноименно заряженная бусинка. Электрическая сила, действующая на бусинку со стороны нижнего заряда, в 1,5 раза превышает действующую на бусинку силу тяжести. Из-за неустойчивости положения равновесия бусинка начинает скользить по кольцу без трения. Какими будут углы поворота радиуса, проведенного из центра кольца к бусинке, когда ее скорость достигнет максимального значения и когда обратится в нуль?

**2.90.** Гантель в виде жёсткого невесомого стержня с шариками массой  $m$  и  $2m$  на концах удерживается в глад-

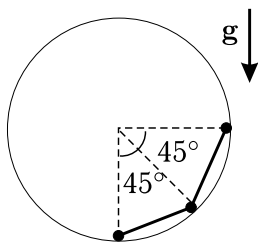
кой полусферической лунке в горизонтальном положении так, что шарики касаются поверхности лунки (см. рис.). Радиус лунки равен длине гантели. Каким будет ускорение центра стержня сразу после освобождения гантели? Какой при этом будет сила упругой деформации стержня?



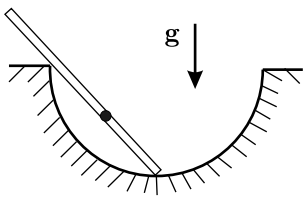
К задаче 2.90

**2.91.** Систему из трёх одинаковых шариков, соединённых невесомыми жёсткими стержнями, удерживают в покое в вертикальной плоскости так, что шарики касаются внутренней поверхности закреплённой сферы (см. рис.). Какими будут ускорения шариков сразу после их освобождения? Трение отсутствует.

**2.92.** В полусферическую лунку с твердой гладкой поверхностью помещена невесомая жёсткая линейка, опирающаяся на нижнюю точку и край лунки. Посередине между точками касания к линейке прикреплена точечная масса (см. рис.). Первоначально линейка удерживается в покое. Найти ускорение прикреплённой массы сразу после освобождения линейки.

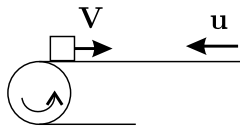


К задаче 2.91



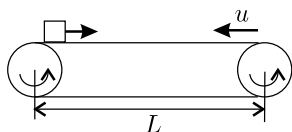
К задаче 2.92

**2.93.** Шайбу вытолкнули со скоростью  $V$  относительно земли на длинную горизонтальную ленту транспортёра, движущуюся во встречном направлении со скоростью  $u$  (см. рис.). Определить время нахождения шайбы на ленте, если коэффициент трения шайбы о ленту равен  $\mu$ . Как зависит результат от соотношения между  $V$  и  $u$ ?



К задаче 2.93

**2.94.** С какой скоростью относительно земли следует вытолкнуть шайбу на горизонтальную ленту транспортёра, движущуюся во встречном направлении со скоростью  $u = 0,8 \text{ м/с}$  (см. рис.), чтобы шайба находилась на ленте максимальное

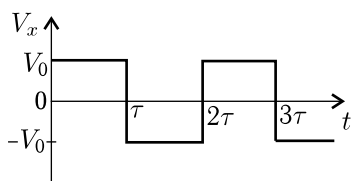


К задаче 2.94

время? Чему равно это время? Коэффициент трения шайбы о ленту  $\mu = 0,2$ , длина транспортера  $L = 4$  м.

**2.95.** На горизонтальную ленту транспортера, движущуюся со скоростью  $V$ , выталкивают перпендикулярно ленте коробку, сообщив ей относительно земли такую же скорость  $V$ . Найти наименьший радиус кривизны траектории, по которой коробка будет двигаться относительно земли. Коэффициент трения между коробкой и лентой равен  $\mu$ . Считать, что коробка остается на ленте.

**2.96.** На шероховатую ленту транспортера, движущуюся горизонтально, выталкивают коробку, сообщив ей относительно земли скорость, равную скорости ленты. При каком значении угла между векторами скоростей коробки и ленты смещение коробки поперек ленты будет максимальным? Выразить это максимальное смещение через скорость ленты  $V$  и коэффициент трения  $\mu$ . Считать, что коробка остается на ленте.



К задаче 2.97

**2.97.** Горизонтальная доска совершает периодическое движение в продольном направлении, так что ее скорость изменяется по закону, представленному на графике (ось  $x$  направлена вдоль доски). В какой момент из интервала времени  $0 \leq t \leq \tau$  следует

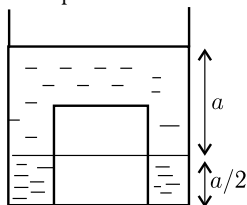
поставить на доску брусок с нулевой (относительно земли) начальной скоростью, чтобы его смещение (относительно земли) к моменту  $4\tau$  было максимальным по модулю? интервала При каком значении  $t$  из того же времени смещение будет минимальным по модулю? Считать, что выполнено соотношение  $V_0 = \mu g \tau$ , где  $g$  — ускорение свободного падения, и брусок с доски не сваливается.

**2.98.** На дне цилиндрического сосуда, в который налиты несмешивающиеся вода и масло, лежит куб со стороной  $a$ ; уровни воды и масла указаны на рисунке. Поперечное сечение сосуда равно  $3a^2$ . Какую наименьшую работу необходимо совершить, чтобы вытащить куб из жидкости? Плотность воды  $\rho$ , масла  $0,8\rho$ , плотность материала куба  $2\rho$ .

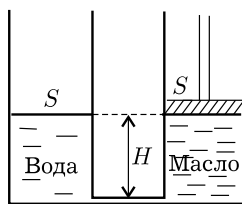
**2.99.** В двух одинаковых сообщающихся сосудах сечением  $S$ , соединённых внизу тонкой трубкой, находятся: в левом — вода, в правом — масло под поршнем (см. рис.). Какое количество теплоты выделится в системе, если масло медленно выдавить



поршнем в левый сосуд? Начальные высоты жидкостей одинаковы и равны  $H$ , плотности воды  $\rho_{\text{в}}$  и масла  $\rho_{\text{м}} = 0,8\rho_{\text{в}}$  известны. Трением поршня о стенки пренебречь.



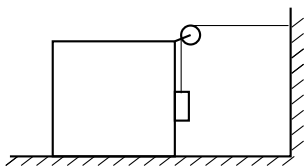
К задаче 2.98



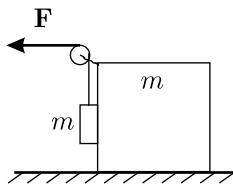
К задаче 2.99

**2.100.** В системе, представленной на рисунке, брусок, скреплённый со стеной идеальной нитью, скользит без трения по кубу, масса которого равна массе бруска. Нить переброшена через блок на ребре куба, ее участок от стены до блока горизонтален, трение между кубом и столом отсутствует. Определить ускорение куба.

**2.101.** В системе, представленной на рисунке, массы бруска и куба одинаковы и равны  $m$ , коэффициент трения между бруском и гранью куба  $\mu$  ( $\mu < 1$ ), трение между кубом и столом отсутствует. К идеальной нити, скреплённой с бруском и переброшенной через закреплённый на середине ребра невесомый блок, приложена горизонтальная сила  $F$ . Определить значение силы  $F^*$ , при котором начнется скольжение бруска вверх по грани куба. Найти ускорение бруска относительно земли при  $F > F^*$ . На какой высоте должен находиться брусок, чтобы при  $F = F^*$  куб не начал опрокидываться? Ребро куба равно  $a$ .



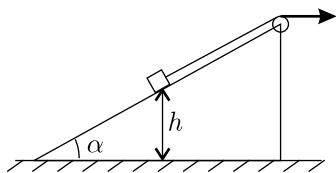
К задаче 2.100



К задаче 2.101

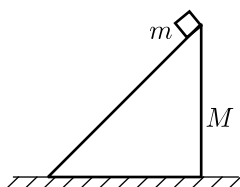
**2.102.** На покоящийся на гладком столе клин массой  $m$  с углом  $\alpha$  при основании положили на высоте  $h$  груз той же массы с привязанной к нему нитью (см. рис.) и начали тянуть нить с постоянной горизонтальной силой  $mg \sin \alpha$ , где  $g$  — ускорение свободного падения. Нить переброшена через закреплённый на ребре клина блок, трение между грузом и клином

отсутствует. Какой путь пройдет груз до касания со столом? С какой силой нить давит на блок? Через какой промежуток времени груз коснется стола?

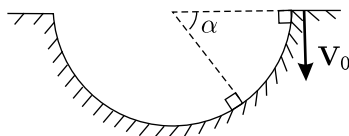


К задаче 2.102

призмы кладут небольшой кубик массой  $m$ . Считая, что трение между кубиком и призмой также отсутствует, определить отношение масс  $m/M$ , при котором соскальзывающий кубик не вызывает наклона призмы.

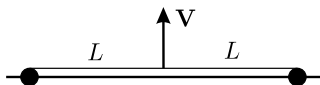


К задаче 2.103



К задаче 2.104

**2.104.** Шайба начинает скользить по шероховатой полу-сферической лунке радиусом  $R$ , имея на уровне центра направленную вниз скорость  $V_0 = \sqrt{gR}$ , где  $g$  — ускорение свободного падения. Найти зависимость коэффициента трения от угла  $\alpha$  (см. рис.), если известно, что до нижней точки шайба движется равномерно.



К задаче 2.105

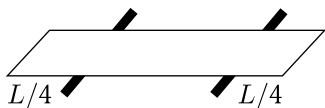
неподвижны, а нить вытянута вдоль спицы, середину нити начинают двигать прямолинейно с постоянной скоростью  $V$ , перпендикулярной спице (см. рис.). Найти зависимость от времени абсолютной величины приложенной к середине нити силы, обеспечивающей такое движение ее центральной точки.

**2.106.** Однородная доска длиной  $L$  лежит на двух шероховатых выступях, слегка возвышающихся над гладким горизонталь-

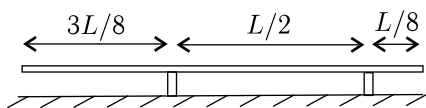
**2.103.** Три прямоугольных пластинки склеили так, что они образовали полую призму массой  $M$ , причем ее сечением является равнобедренный прямоугольный треугольник (см. рис.). Призма покоится на гладком горизонтальном столе. На середину верхнего ребра

**2.105.** Две бусинки с равными массами  $m$  надеты на гладкую горизонтальную спицу и соединены между собой идеальной нитью длиной  $2L$ . В начальный момент  $t = 0$ , когда бусинки

ным столом (см. рис.). Какую минимальную (ориентированную вдоль доски) скорость нужно ей сообщить, чтобы эта доска переехала оба шероховатых выступа? Коэффициент трения между доской и любым выступом равен  $\mu$ .



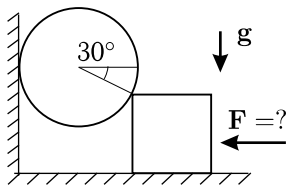
К задаче 2.106



К задаче 2.107

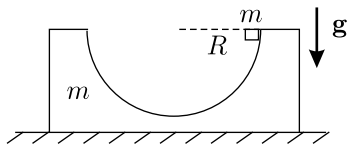
**2.107.** Доска длиной  $L$  лежит на двух выступах, одинаково возвышающихся над горизонтальным столом. Расстояние между выступами равно  $L/2$ , концы доски выходят за выступы на  $L/8$  и  $3L/8$  (см. рис.). Правый выступ шероховатый (коэффициент трения  $\mu$ ), левый — гладкий. Какую минимальную скорость нужно сообщить доске вправо, чтобы она сдвинулась на  $L/4$ ?

**2.108.** Найти горизонтально направленную силу  $\mathbf{F}$ , удерживающую гладкие куб и шар в прямом угле между гладкими полом и стенкой. Радиус, проведенный из центра шара в точку контакта, лежит в плоскости симметрии куба и составляет угол  $30^\circ$  с горизонтом (см. рис.). Массы куба и шара одинаковы и равны  $m$ . На какой высоте над полом следует прикладывать эту силу, чтобы куб не опрокинулся (ответ выразить через ребро куба  $d$ )? Каким будет ускорение куба через малый промежуток времени после «выключения» удерживающей силы? Считать, что сила взаимодействия куба и шара направлена перпендикулярно поверхности шара. Неустойчивость системы к поворотам вокруг вертикальной оси не учитывать.



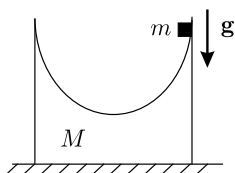
К задаче 2.108

**2.109.** Брусок массой  $m$  с выемкой в виде полуцилиндра покоится на гладком горизонтальном столе. Кубик той же массы отпускают без начальной скорости с уровня центра выемки так, что он начинает скользить без трения по ее поверхности (см. рис.). Чему будет равна скорость бруска в тот момент, когда кубик опустится на  $R/2$  относительно первоначального уровня? С какой силой кубик давит



К задаче 2.109

на брусок в момент прохождения нижней точки? В случае шероховатого стола при каком наименьшем коэффициенте трения между бруском и столом брусок будет оставаться неподвижным в процессе движения кубика? Считать, что кубик движется в центральном сечении бруска.

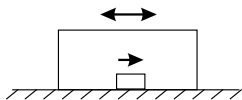


К задаче 2.110

ном отношении масс  $m/M$  основание бруска останется горизонтальным (брусок не начнет опрокидываться)? Каким должен быть коэффициент трения между бруском и столом, чтобы при искомом максимальном отношении масс брусок не стал скользить по столу?

**2.111.** Две одинаковые лягушки прыгают на доске, находящейся на гладком горизонтальном столе. В первом случае — одновременно и симметрично с противоположных концов доски, во втором — одновременно с одного конца с равными скоростями. Лягушки приземляются на противоположном конце доски, не мешая друг другу в полете. Считая, что суммарная масса лягушек равна массе доски и энергозатраты лягушек на прыжок каждый раз минимальны, найти отношение энергозатрат лягушек в двух случаях.

**2.112.** Резиновая шайба, плотно охватывающая вертикальную спицу, начинает скользить по ней вниз. После абсолютно упругого удара о горизонтальный стол, в который вмонтирована спица, шайба поднимается до половины начальной высоты. Во сколько раз отличаются времена движения вниз и вверх? Сколько времени шайба находилась в движении, если время до её первого удара равно  $t_0$ ?



К задаче 2.113

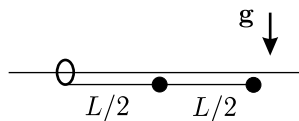
**2.113.** Массивная коробка с вертикальными стенками совершает гармонические колебания в горизонтальном направлении перпендикулярно двум стенкам. Шайба массой  $m$ , скользящая по гладкому дну коробки (см. рис.), периодически сталкивается с этими стенками и отражается от одной из них всегда со скоростью  $3V_0$ , а от другой — со скоростью  $V_0$ . Соударения абсолютно упругие и происходят в моменты, ко-

гда скорость коробки максимальна. Найти амплитуду скорости коробки и среднюю за большое время кинетическую энергию шайбы.

**2.114** По горизонтальной спице может скользить без трения кольцо, с которым идеальной нитью связан шарик. Система удерживается в положении, указанном на рисунке (нить горизонтальна). При каком соотношении масс кольца и шарика последний после освобождения системы достигает максимума скорости в нижней точке траектории?



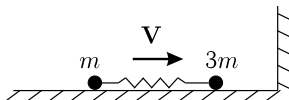
К задаче 2.114



К задаче 2.115

**2.116.** Невесомый стержень длиной  $L$  шарнирно соединён с невесомым кольцом, которое может скользить без трения по неподвижной горизонтальной спице. К центру и концу стержня прикреплены две одинаковые точечные массы  $m$ . Вначале стержень с массами удерживают горизонтально (см. рис. к задаче 2.115) и затем освобождают. Найти угловую скорость стержня в момент прохождения им вертикального положения. Чему равна сила действия кольца на спицу в этот момент?

**2.117.** Два шарика с известными массами  $m$  и  $3m$ , соединённые невесомой пружиной, движутся со скоростью  $V$



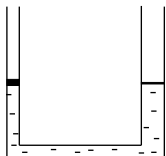
К задаче 2.117

по горизонтальной гладкой поверхности к абсолютно упругой стенке; вектор скорости направлен вдоль пружинки (см. рис.). Какого максимального значения достигает потенциальная энергия пружинки после отражения системы от стенки?

**2.118.** Гладкая жёсткая проволока согнута в форме синусоиды  $y = A \sin(kx)$ , где  $A = 1$  м,  $k = 1$  м<sup>-1</sup>; оси  $x$ ,  $y$  направлены соответственно горизонтально и вертикально. Надетая на проволоку бусинка массой  $m$  начинает скользить из точки с координатой

$x = \pi/4$  м. Найти силу давления проволоки на бусинку в моменты прохождения ею точек с координатами  $x_1 = 0$  и  $x_2 = -\pi/2$  м.

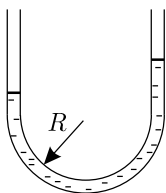
**2.119.** Показать, что при абсолютно упругом ударе (не обязательно центральном) гладких шаров сохраняется их относительная скорость.



К задаче 2.120

**2.120.** Две тонкие вертикальные трубки, имеющие равные высоты и вдвое отличающиеся сечения, соединены горизонтальной трубкой, длина которой равна высоте вертикальных. Трубки заполнены водой до половины высоты (см. рис.). Чтобы вытолкнуть застрявшую в более узкой трубке маленькую пробку, стали наливать воду в широкую. Когда вода полностью заполнила эту трубку, пробка лишь слегка сдвинулась. Тогда, не меняя количества налитой воды, решили вытолкнуть пробку, сообщая системе плавно нарастающее ускорение вправо. Чему равнялось ускорение в момент, когда пробка была выдавлена из трубки?

Когда вода полностью заполнила эту трубку, пробка лишь слегка сдвинулась. Тогда, не меняя количества налитой воды, решили вытолкнуть пробку, сообщая системе плавно нарастающее ускорение вправо. Чему равнялось ускорение в момент, когда пробка была выдавлена из трубки?



К задаче 2.121

**2.121.** В тонкой U-образной трубке, закреплённой в вертикальной плоскости (см. рис.), совершает колебания жидкость. Масса жидкости  $m$ , ее плотность  $\rho$ , сечение трубки  $S$ . При колебаниях верхние уровни жидкости не выходят за границы вертикальных прямолинейных участков трубки. Максимальная скорость жидкости в процессе колебаний равна  $V$ . Чему равно давление

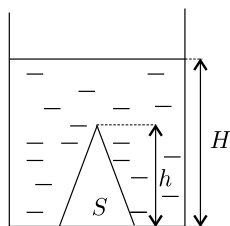
в нижней точке жидкости в момент, когда скорость жидкости равна нулю? Радиус закругления трубки  $R$ , атмосферное давление  $p_0$ , вязкостью жидкости пренебречь.

**2.122.** Однонаправленный разреженный (без столкновений между молекулами) поток газа падает по нормали на пластину площади  $S$ . Масса молекулы  $m$ , концентрация молекул в потоке  $N$ , абсолютные скорости молекул равномерно распределены в интервале от  $V$  до  $2V$ . Какую силу следует приложить к пластине, чтобы удерживать ее неподвижной в потоке? Какой станет сила давления потока на пластину в момент, когда пластина после освобождения разгонится до скорости  $3V/2$ ? Какого максимального значения достигает в процессе разгона пластины мощность силы давления газового потока? Считать, что молекулы отражаются от пластины абсолютно упруго.

### 3. СТАТИКА И ГИДРОСТАТИКА

**3.1.** В банку, заполненную до краев водой, помещают: в первом случае — сплошной кусочек алюминия массой 13,5 г, а в другом — лодочку, сделанную из этого кусочка, которая плавает в банке. Сколько воды перельется через край в первом и втором случаях? Плотность алюминия  $2700 \text{ кг/м}^3$ .

**3.2.** На дне сосуда, заполненного водой до уровня  $H$ , стоит конус высотой  $h$  и площадью основания  $S$  (см. рис.). С какой силой вода давит на боковую поверхность конуса? Плотность воды  $\rho$ , давление на поверхности воды  $p_0$ , объем конуса равен  $(1/3)hS$ .

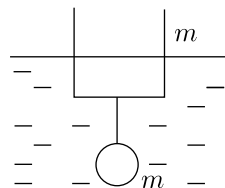


К задаче 3.2

**3.3.** Аквариум в форме куба с ребром  $a$  заполнен водой до половины. Найти максимальный размер ребра кубической льдины, которую можно поместить в аквариум без перелива воды через край. Плотность льда составляет 0,9 от плотности воды.

**3.4.** На дно сосуда высотой  $H$  поставили кусок льда цилиндрической формы. Оказалось, что при этом в сосуд можно налить столько же керосина, сколько и при полностью растаявшем льде. Найти высоту ледяного цилиндра. Плотности воды и льда считать известными.

**3.5.** Связанные нитью шар массой  $m$  и банка той же массы плавают в воде (см. рис.), при этом натяжение нити равно  $mg/2$ . Считая плотность воды  $\rho$  известной, найти объем шара и объем погруженной части банки. На сколько изменится вытесняемый банкой объем, если она будет плавать с шаром, положенным внутрь?



К задаче 3.5

**3.6.** В сосуде с водой плавает кусок льда с замороженной в него дробиной. Какую часть массы льда составляет масса дробины, если объем выступающего из воды льда (дробинка находится ниже уровня воды) равен объему дробины? В результате таяния льда оставшийся лед с замороженной дробиной

стал плавать, целиком погрузившись в воду. Во сколько раз объём растаявшего льда больше объема дробинки? Плотность воды равна  $1000 \text{ кг/м}^3$ , плотность льда  $900 \text{ кг/м}^3$ .

**3.7.** Один шар массой  $m$  равномерно всплывает в вязкой жидкости, а второй, имеющий равный с ним радиус и массу  $2m$ , равномерно погружается в этой жидкости с той же скоростью. Какой должна быть масса третьего шара того же радиуса, чтобы он в этой жидкости мог находиться во взвешенном состоянии?

**3.8.** С какой скоростью будут всплывать в вязкой жидкости два шара одинакового радиуса, связанные длинной нитью, если более легкий шар всплывает в ней со скоростью  $V_0$ , а более тяжелый имеет нулевую плавучесть (может находиться в этой жидкости в безразличном равновесии)? Считать, что сила сопротивления пропорциональна скорости шара.

**3.9.** Пустой цилиндрический сосуд с толстыми стенками и тонким дном плавает в воде вертикально, погрузившись до половины. Толщина стенок в 5 раз меньше его внутреннего радиуса. Какой объём воды нужно налить в сосуд, чтобы он затонул, если всего в него может вместиться 0,5 литра?

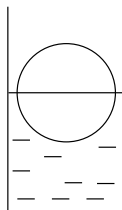
**3.10.** В цилиндрическом сосуде с водой плавает, погрузившись на половину своей высоты  $h$ , тонкостенный цилиндрический стакан. В стакан наливают некоторое количество масла, плотность которого составляет 0,8 от плотности воды. В результате уровень воды в сосуде повысился на  $h/4$ . Найти разницу между уровнем воды в сосуде и уровнем масла в стакане. Площадь дна сосуда в два раза больше площади дна стакана.

**3.11.** Пустой цилиндрический стакан с толстыми стенками и тонким дном плавает в цилиндрическом сосуде с водой, погрузившись на половину своей высоты  $h$ . В стакан наливают некоторое количество масла, плотность которого составляет 0,8 от плотности воды. В результате уровень воды в сосуде повысился на  $h/4$ . Найти разницу между уровнем воды в сосуде и уровнем масла в стакане. Толщина стенок стакана в 5 раз меньше его внутреннего радиуса, а внешнее сечение стакана в 2 раза меньше сечения сосуда.

**3.12.** В цилиндрический сосуд с площадью основания  $S$ , частично заполненный водой, пустили плавать шар объема  $V$  с полостью внутри, так что шар погрузился наполовину. На сколько повысился уровень воды в сосуде? Как изменится уровень воды в сосуде после заполнения полости ( $V_{\text{полости}} = 0,4V$ ) водой из этого же сосуда? Какая часть шара будет выступать из воды после заполнения полости?



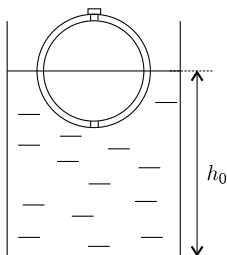
**3.13.** В цилиндрический сосуд с площадью основания  $4 \text{ дм}^2$  налита вода, в которой плавает, погружившись наполовину, шар объёмом  $4 \text{ дм}^3$ . Уровень воды на  $2 \text{ дм}$  не доходит до края сосуда (см. рис.). Какой объём воды можно долить в этот сосуд? Каким будет доливаемый объём, если вместо воды доливать масло с плотностью  $0,8$  от плотности воды?



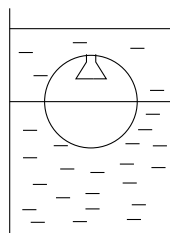
К задаче 3.13

**3.14.** В цилиндрическом сосуде с площадью основания  $S$ , заполненном водой до уровня  $h_0$  (см. рис.), плавает, погружившись до половины, шар объёма  $V$ . Внутри шара имеется полость, объём которой составляет  $3/4$  объёма шара. В оболочке шара проделаны два небольших отверстия, причем верхнее отверстие закрыто пробкой, из-за чего в полости шара нет воды. После того, как пробку вытащили, полость начала заполняться водой. Каким станет уровень воды в сосуде, когда полость заполнится наполовину, на  $2/3$ , полностью?

**3.15.** В сосуд с водой и налитым поверх нее слоем масла ( $\rho_{\text{масла}} = 0,8\rho_{\text{воды}}$ ) пустили плавать шар объёмом  $V$ , имеющий внутри полость. Через небольшое отверстие в верхней части оболочки шара в полость может поступать масло. Пока полость была свободна от масла, шар плавал, погружившись в воду до половины (см. рис.). После заполнения полости маслом шар стал плавать, полностью погружившись в воду и касаясь границы раздела жидкостей. Чему равен объём полости?

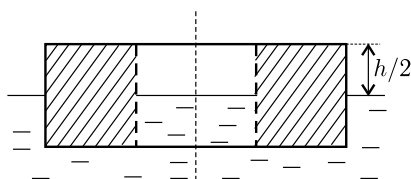


К задаче 3.14



К задаче 3.15

**3.16.** Деревянная цилиндрическая шайба высотой  $h$  с вертикальным соосным отверстием, радиус которого вдвое меньше радиуса шайбы, плавает в воде, погружившись до половины своей высоты (см. рис.). Утопив шайбу, отверстие

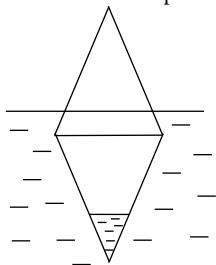


К задаче 3.16

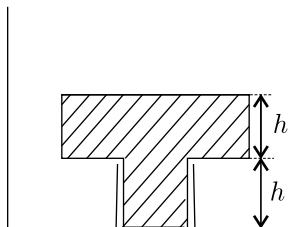
герметично закрывают сверху легкой тонкой пробкой. Какой будет высота выступающей над водой части шайбы, если после освобождения шайбы дать ей всплыть пробкой вверх?

**3.17.** Пустотелый буй, составленный из двух одинаковых тонкостенных конусов, плавает вертикально в воде, погрузившись до половины. Через образовавшуюся течь в полость буя поступает вода, и он начинает тонуть (см. рис.). Разница уровней воды снаружи и внутри буя сначала уменьшается, а затем растет. Пренебрегая толщиной стенок и считая объем буя равным  $V$ , найти объем воды, проникшей в буй к моменту, когда разница уровней воды снаружи и внутри буя станет минимальной. Считать, что воздух имеет возможность выходить из полости.

**3.18.** Тонкостенная трубка высотой  $h$  и поперечным сечением  $S$  вмонтирована в дно цилиндрического сосуда сечения  $4S$ . Трубка плотно заткнута сверху пробкой, состоящей из двух цилиндрических частей высотой  $h$  каждая (см. рис.). Поперечное сечение широкой части пробки  $3S$ , плотность пробки составляет 0,2 от плотности воды. При медленном наполнении сосуда водой пробка начинает смещаться вверх вслед за уровнем воды, когда этот уровень достигает верхней границы широкой части пробки. Какой объем воды можно налить в сосуд, если трубку заткнуть той же пробкой снизу, вставив ее до упора? Считать, что между широкой частью пробки и дном сосуда воздух проникает.



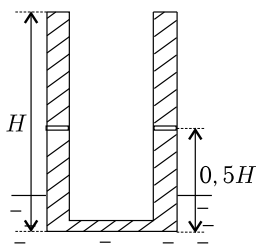
К задаче 3.17



К задаче 3.18

**3.19.** Цилиндрический сосуд плавает в воде в вертикальном положении, погрузившись на  $1/5$  своей высоты  $H$ . Толщина дна сосуда равна  $0,1H$ , площадь горизонтального сечения стенок

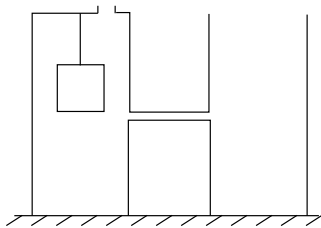
в 3 раза меньше площади дна сосуда. В стенках на половине высоты сосуда имеются небольшие горизонтальные отверстия (см. рис.). На сколько изменится глубина погружения сосуда, если треть его внутреннего объема заполнить водой? Какой станет глубина погружения, если в сосуд долить еще столько же воды?



К задаче 3.19

**3.20.** В дне открытого сверху тонкостенного цилиндрического сосуда просверлен тонкий канал. Когда сосуд пустили плавать в воду, он сразу погрузился до половины своей высоты, а затем затонул через 2 мин. в результате медленного заполнения водой через канал. Через какое время затонет точно такой же по размерам и с таким же отверстием сосуд, сделанный из материала втрое меньшей плотности? Считать, что скорость поступления воды через канал пропорциональна разности давлений на его концах и сосуда при погружении сохраняют вертикальную ориентацию.

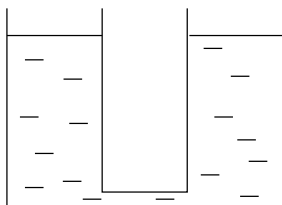
**3.21.** Два одинаковых цилиндрических сосуда на половине высоты соединены трубкой (см. рис.). Левый сосуд плотно закрыт крышкой с небольшим отверстием. Площадь дна каждого из цилиндров равна  $0,03 \text{ м}^2$ , высота —  $0,4 \text{ м}$ . К крышке левого сосуда подвешен на нити деревянный кубик с ребром в  $0,1 \text{ м}$ . Нижняя грань кубика находится на уровне трубки. В правый сосуд с момента времени



К задаче 3.21

$t = 0$  равномерно наливают воду со скоростью  $0,001 \text{ м}^3/\text{мин}$ . Нарисовать зависимость от времени давления воды на дно правого сосуда. Плотность воды —  $10^3 \text{ кг/м}^3$ , плотность дерева —  $600 \text{ кг/м}^3$ . Вклад атмосферного давления можно не учитывать.

**3.22.** В цилиндрическом сосуде с поперечным сечением  $S$  находятся при  $0^\circ \text{ С}$  вода и кусок льда массой  $m$ . В лед вложена нить, второй конец которой прикреплен ко дну цилиндра. В результате отвода тепла масса льда возросла вдвое. Найти наименьшее и наибольшее изменения  $\Delta h$  уровня воды в сосуде. Считать, что лед не касается ни дна, ни боковой поверхности цилиндра. Плотности воды  $\rho_{\text{в}}$  и льда  $\rho_{\text{л}}$  считать известными. Рассмотреть значения  $\Delta h$  обоих знаков.



К задаче 3.23

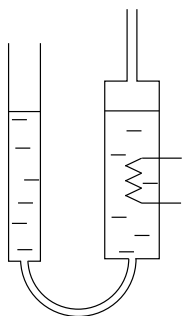
**3.23.** Два одинаковых цилиндрических сосуда соединены внизу горизонтальной трубкой (сообщающиеся сосуды). В сосуды налили воду при  $0^\circ\text{C}$  (см. рис.) и от левого стали отводить тепло, так что в нем сверху образовалась пробка льда цилиндрической формы. Верхняя плоскость ледяной пробки

осталась на начальном уровне воды (лед примерз к стенкам), а нижняя граница до соединительной трубки не дошла. Найти вертикальную составляющую силы, действующей на лед со стороны стенок, если его масса равна  $m$ . Плотности воды и льда считать известными.

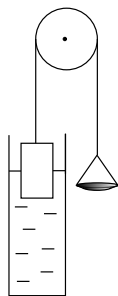
**3.24.** Шар плавает в жидкости, погрузившись в нее на 95%. На сколько следует повысить температуру системы, чтобы шар погрузился в жидкость полностью? Считать, что нагрев идет медленно и температуры жидкости и шара все время равны. Коэффициент линейного расширения материала шара  $10^{-4}\text{град}^{-1}$ , коэффициент объемного расширения жидкости  $10^{-3}\text{град}^{-1}$ .

**3.25.** В сообщающиеся сосуды цилиндрической формы, поперечные сечения которых отличаются в 3 раза, налита жидкость. Широкий сосуд закрыт сверху заглушкой, соединяется с атмосферой через тонкую трубку (см. рис.) и заполнен жидкостью на 97% своего объема. Считая, что объем жидкости зависит от температуры по закону  $V_2 = V_1[1 + \alpha(t_2 - t_1)]$ , где  $V_1$  и  $V_2$  — значения объема соответственно при температурах  $t_1$  и  $t_2$ ,  $\alpha = 10^{-3}\text{град}^{-1}$ , оценить повышение температуры в узком сосуде, если широкий нагрели на  $60^\circ$ . Объем соединительной и сечение вертикальной трубок пренебрежимо малы. Теплоемкостью, теплопроводностью и расширением сосудов и трубок, а также капиллярными эффектами пренебречь.

**3.26.** Тело цилиндрической формы, наполовину погруженное в воду, и массивная чашка уравновешены на идеальной нити, переброшенной через блок (см. рис.). Высота цилиндра  $h$ , его сечение  $S$ , сечение цилиндрического сосуда с водой  $2S$ . На чашку начинают понемногу насыпать песок, и цилиндр медленно смещается вверх. Какая масса песка будет на чашке к моменту, когда весь цилиндр окажется над водой? На сколько при этом опустится чашка? Плотность воды считать известной.

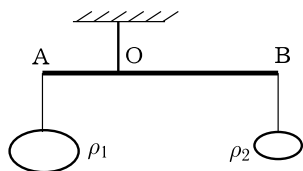


К задаче 3.25



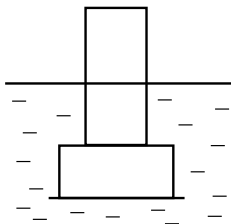
К задаче 3.26

**3.27.** Два тела уравновешены на невесомом стержне АВ с отношением плеч  $AO:OB = 1:2$  (см. рис.). После того, как тела полностью погрузили в воду, для сохранения равновесия стержня их пришлось поменять местами. Найти плотности тел  $\rho_1$  и  $\rho_2$ , если  $\rho_2/\rho_1 = 2,5$ . Плотность воды считать известной.

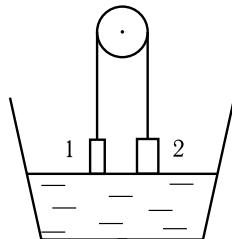


К задаче 3.27

**3.28.** Сосуд, состоящий из двух цилиндров сечениями  $S$  и  $2S$  (см. рис.) и имеющий приставное дно, погружают в воду и фиксируют на определенной глубине. Объем широкой части сосуда равен 0,2 л. Когда в сосуд осторожно налили 0,3 л воды, его приставное дно отвалилось. Если вместо воды в сосуд поместить гирьку массой 0,3 кг, то в каком месте следует ее поставить на приставное дно, чтобы оно отвалилось? Плотность воды  $1000 \text{ кг/м}^3$ .



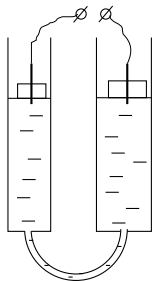
К задаче 3.28



К задаче 3.29

**3.29.** Два цилиндра с равными массами, соединённые переброшенной через блок идеальной нитью, висят на одном уровне, касаясь поверхности воды в сосуде (см. рис.). Высоты цилиндров одинаковы и равны  $h$ . Плотность первого цилиндра в два раза

больше плотности второго и в четыре раза больше плотности воды. С момента времени  $t = 0$  в сосуд начинают доливать воду, так что ее уровень медленно поднимается с постоянной скоростью  $V$ . Построить графики зависимостей от времени силы натяжения нити и скорости движения цилиндров.

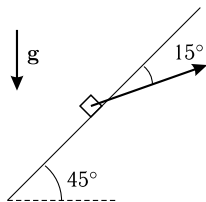


К задаче 3.30

**3.30.** Ртуть, частично заполняющая два цилиндрических стеклянных сосуда с сечениями  $S$  и  $2S$ , соединённых резиновой трубкой, используется как часть электрической цепи (см. рис.). Подводящие провода пропущены через легкие поплавки и слегка погружены в ртуть. На сколько изменится сопротивление цепи, если узкий цилиндр приподнять на высоту  $h$ ? Считать, что ртуть не переливается полностью из одного цилиндра в другой и не выливается через край. Удельное сопротивление

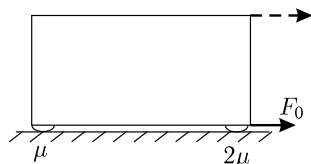
ртути  $\rho$  считать известным.

**3.31.** Два динамометра подвешены вертикально за крючки пружин. У первого динамометра масса пружины равна  $20\text{ г}$ , а масса пластмассовой пластинки с делениями много меньше. У второго – масса пластинки с делениями равна  $50\text{ г}$  и много больше массы его пружины. Найти показания динамометров.



К задаче 3.32

**3.32.** Шероховатая плоскость наклонена под углом  $45^\circ$  к горизонту. Оказалось, что минимальная сила, необходимая для удержания тела массой  $m$  на этой плоскости, должна быть направлена под углом  $15^\circ$  к ней (см. рис.). Найти значение этой минимальной силы и коэффициент трения тела о плоскость.

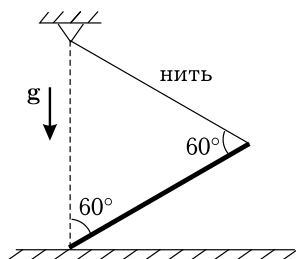


К задаче 3.33

**3.33.** Чемодан длиной  $L$  и высотой  $h$ , имеющий небольшие выступы внизу (см. рис.), можно сдвинуть с места, приложив к нему в нижней точке горизонтальную силу  $F_0$ . Какой горизонтальной силой можно сдвинуть чемодан, если приложить ее не к нижней, а к верхней точке? Коэффициенты

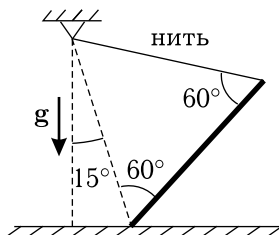
трения между выступами и полом равны  $\mu$  и  $2\mu$  (см. рис.),  $4\mu h < L$ . Считать, что чемодан не смещается в поперечном к плоскости рисунка направлении.

**3.34.** Палочка, привязанная за один конец невесомой нитью, а другим — опирающаяся на пол, находится в равновесии в положении, указанном на рисунке. При каком коэффициенте трения между палочкой и полом возможно это равновесие? Неустойчивость по отношению к поворотам вокруг вертикальной оси не рассматривать.



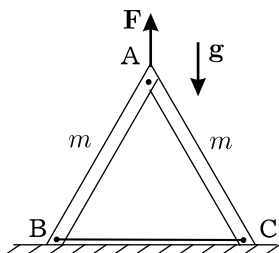
К задаче 3.34

**3.35.** Палочка, привязанная за один конец невесомой нитью, а другим — опирающаяся на пол, находится в равновесии в положении, указанном на рисунке. При каком коэффициенте трения между палочкой и полом возможно это равновесие? Неустойчивость по отношению к выходу палочки из плоскости чертежа не рассматривать.

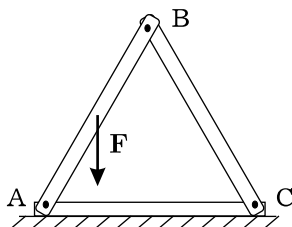


К задаче 3.35

**3.36.** Расположенный в вертикальной плоскости правильный треугольник ABC состоит из двух планок массой  $m$  каждая и скрепляющей их нити BC. В вершине треугольника A планки соединены шарнирно, нижними концами опираются на гладкий горизонтальный стол, и к точке A приложена направленная вертикально вверх сила  $F$  (см. рис.). Найти натяжение нити при  $F = mg/2$  и значение  $F$ , при котором натяжение нити станет равным нулю.

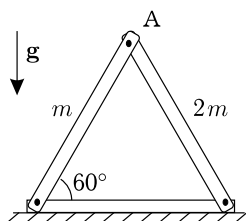


К задаче 3.36



К задаче 3.37

**3.37.** Три одинаковые невесомые планки, соединенные шарнирно и расположенные в вертикальной плоскости, опираются на гладкий горизонтальный стол (см. рис.). К середине планки AB приложена направленная вниз сила  $F$ . Найти абсолютную величину сил, растягивающих планку AC.

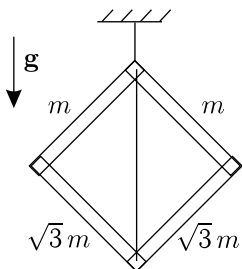


К задаче 3.38

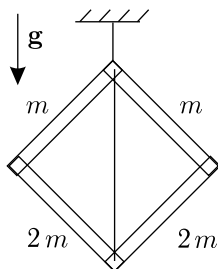
**3.38.** Правильный треугольник, изготовленный из трех шарнирно соединённых линеек, прислонили к вертикальной стене и поставили на горизонтальный стол. Найти силу взаимодействия наклонных линеек в шарнире А (см. рис.), если их массы равны  $m$  и  $2m$ .

**3.39.** Конструкция в виде квадрата из четырех шарнирно соединенных жестких стержней подвешена за одну из вершин (см. рис.). Найти силу натяжения нити, скрепляющей противоположные вершины квадрата. Массы стержней указаны на рисунке.

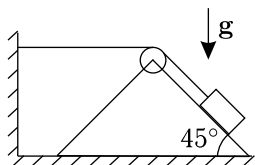
**3.40.** Конструкция в виде квадрата из четырех шарнирно соединенных жестких стержней подвешена за одну из вершин (см. рис.). Найти силу натяжения нити, скрепляющей противоположные вершины квадрата. Массы стержней указаны на рисунке.



К задаче 3.39



К задаче 3.40



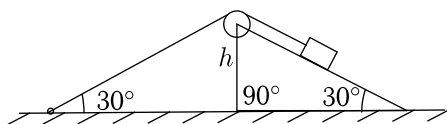
К задаче 3.41

**3.41.** Прикрепленная к стенке и переброшенная через блок нить удерживает груз на гладкой грани призмы (см. рис.). Пренебрегая массами нити, блока и призмы, а также трением в оси блока, найти, при каком коэффициенте трения между призмой и горизонтальной поверхностью призма не будет двигаться.

Грань, на которой находится груз, составляет угол  $45^\circ$  с основанием, участок нити между стенкой и блоком горизонтален.

**3.42.** Прикрепленная к горизонтальному столу и переброшенная через блок нить удерживает груз на гладкой грани клина (см. рис.). Грань, на которой находится груз, а также участок

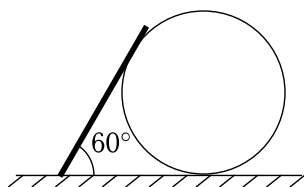




К задаче 3.42

нити между столом и блоком составляют углы  $30^\circ$  с плоскостью стола. Вертикальная грань клина имеет высоту  $h$ . Пренебрегая массами нити, блока и призмы, а также трением в оси блока, найти, при каком коэффициенте трения между столом и клином последний не будет скользить. При какой минимальной длине нити не начнется опрокидывание клина?

**3.43.** На горизонтальном шероховатом столе покоится цилиндр. На цилиндр опирается наклоненная под углом  $60^\circ$  к горизонту доска (см. рис.), масса которой равна массе цилиндра, а длина равна его диаметру. Считая, что коэффициент трения во всех трех точках соприкосновения одинаков, найти его наименьшее значение, при котором обеспечивается равновесие системы.



К задаче 3.43

**3.44.** Тяжелая цепочка, переброшенная через невесомый блок, начинает проворачивать его, когда длины свешивающихся концов отличаются на  $0,2$  общей длины цепочки. Эту же цепочку перебрасывают через блок симметрично. Какую часть цепочки следует отделить от одного из концов, чтобы снова вызвать проворачивание блока? Считать, что цепочка не проскальзывает по блоку и сила трения в оси блока пропорциональна весу цепочки.

**3.45.** Как известно, гравитационное поле внутри однородной гравитирующей сферы равно нулю. Как направлено гравитационное поле тонкого однородного кольца в точке, находящейся «внутри» кольца, т.е. в плоскости кольца на расстоянии от центра, меньшем радиуса кольца?

## 4. ГАЗОВЫЕ ЗАКОНЫ И ТЕРМОДИНАМИКА

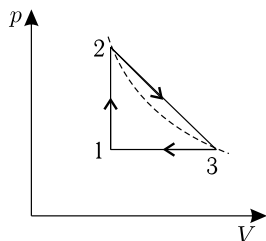
**4.1.** Два тела с теплоёмкостями  $C_1$  и  $C_2$  имеют температуру  $20^\circ\text{C}$ . Если первое тело нагреть до  $100^\circ\text{C}$  и затем привести в контакт со вторым, то установится температура  $80^\circ\text{C}$ . Какая температура установится, если до  $100^\circ\text{C}$  нагреть не первое, а второе тело и затем привести в контакт с первым?

**4.2.** Три тела с одинаковыми массами и одинаковыми удельными теплоёмкостями нагреты до разных температур. Если первое тело привести в тепловой контакт со вторым телом, то устанавливается температура  $T_1$ . Если первое тело привести в контакт не со вторым, а с третьим телом, то установится температура  $T_2$ . Если же в контакт привести второе и третье тела с их первоначальными температурами, то устанавливается температура  $T_3$ . Какой будет установившаяся температура, если в тепловой контакт привести все три тела с их первоначальными температурами?

**4.3.** Медный шарик, нагретый до  $50^\circ\text{C}$ , после погружения в прорубь за 10 с охладился до  $25^\circ\text{C}$ . За сколько секунд охладится до  $25^\circ\text{C}$  медный цилиндр, имеющий ту же массу и ту же начальную температуру? Высота цилиндра равна его радиусу.

**4.4.** Длинный цилиндрический проводник, по которому идет электрический ток, охлаждается потоком жидкости. Во сколько раз изменится перепад температуры на границе проводник-жидкость, если радиус проводника увеличить в два раза, не изменяя его длину и приложенное к нему напряжение? Считать, что теплоотдача пропорциональна перепаду температур, а удельное сопротивление материала проводника не зависит от температуры.

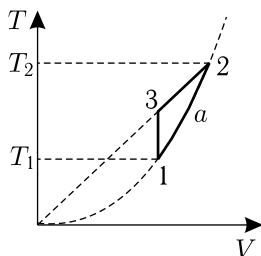
**4.5.** Один моль идеального газа совершает цикл, состоящий из изохоры 1–2, участка 2–3 с линейной зависимостью давления от объёма и изобары 3–1 (см. рис.). Точки 2 и 3 лежат на одной изотерме, отношение максимального и минимального объёмов



К задаче 4.5

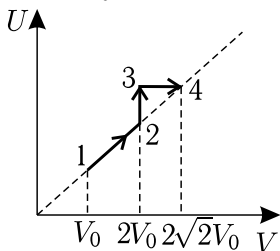
равно 2, максимальная температура больше температуры на изотерме на  $\Delta T$ . Найти работу газа за цикл.

**4.6.** Одноатомный идеальный газ переходит из состояния 1 в состояние 2 в одном случае по кривой 1-а-2, которая является участком параболы  $T = \alpha V^2$ , а в другом — по двум прямым отрезкам: 1-3 и 3-2 (см. рис.). Какое количество теплоты получил газ при переходе 1-3-2, если при переходе 1-а-2 к этому газу подведено 2200 Дж тепла?  $T_1 = 250$  К,  $T_2 = 360$  К.

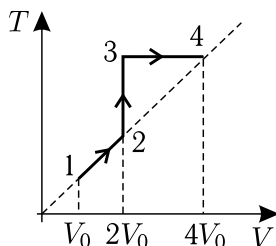


К задаче 4.6

**4.7.** Внутренняя энергия и объем идеального газа изменялись в соответствии с приведенным графиком (см. рис.). На каком из участков 1-2, 2-3 или 3-4 совершенная газом работа максимальна?



К задаче 4.7

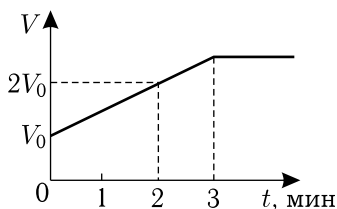
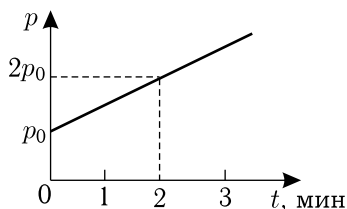


К задаче 4.8

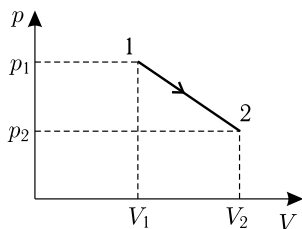
**4.9.** Один моль идеального одноатомного газа нагревают так, что его теплоёмкость в ходе процесса остается постоянной и равной  $2R$  ( $R$  — молярная газовая постоянная). Во сколько раз возрастает объем газа, если его абсолютная температура увеличивается вдвое?

**4.10.** Давление  $p$  и объем  $V$  одного моля идеального одноатомного газа изменяются во времени так, как показано на графиках (см. рис.). Нарисовать график зависимости от времени теплоёмкости газа.

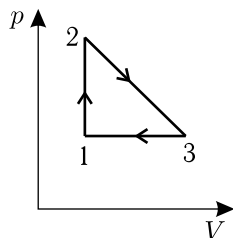
**4.11.** При переходе из состояния 1 в состояние 2 давление и объем одного моля одноатомного идеального газа изменяются так, как показано на рисунке, причем  $p_2 = p_1/2$  и  $V_2 = 2V_1$ . Найти зависимость теплоёмкости газа  $C$



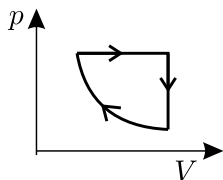
К задаче 4.10



К задаче 4.11



К задаче 4.13



К задаче 4.14

от объёма  $V$  и построить соответствующий график.

**4.12.** Процесс расширения идеального одноатомного газа от объёма  $V_1$  до объёма  $V_2 = 2V_1$  представлен на плоскости  $p, V$  отрезком прямой (см. рис. к задаче 4.11). При каком наименьшем отношении давлений  $p_2/p_1$  газ в ходе процесса все время получает тепло от внешних тел?

**4.13.** Один моль идеального газа совершает цикл, состоящий из изохоры 1–2, участка 2–3 с линейной зависимостью давления от объёма и изобары 3–1 (см. рис.). Отношение максимального и минимального объёмов равно 3, максимального и минимального давлений равно 2, а разность максимальной и минимальной температур равна  $\Delta T$ . Найти работу газа за цикл.

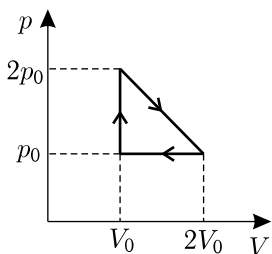
**4.14.** Идеальный одноатомный газ совершает цикл, состоящий из изобары, изохоры и изотермы (см. рис.). Подведённое к газу на изобарном участке количество теплоты равно 15 Дж, а работа газа за цикл 5 Дж. Найти работу газа на изотермическом участке.

**4.15.** Какое количество теплоты одноатомный идеальный газ получает от более нагретых тел и отдает менее нагретым за

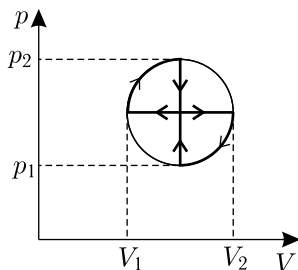
один цикл, показанный на рисунке?

**4.16.** В тепловой машине в качестве рабочего вещества используется одноатомный идеальный газ. Цикл машины на плоскости  $p, V$  представляет собой обход второго и четвертого

квадрантов круга (см. рис.). Крайние значения  $p_1$ ,  $p_2 = 2p_1$ ,  $V_1$  и  $V_2 = 2V_1$  заданы. Найти работу машины за один цикл и ее КПД.



К задаче 4.15

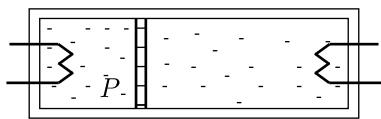


К задаче 4.16

**4.17.** Найти максимальную работу, которую может совершить за один цикл 1 моль идеального газа, если допустимый интервал изменения температуры — от 300 К до 400 К, а объёма — от 0,02 м<sup>3</sup> до 0,06 м<sup>3</sup>. При решении можно использовать миллиметровую бумагу для графической оценки работы.

**4.18.** В горизонтальной трубе сечением  $S$ , закрытой с торцов, находится одноатомный газ, разделённый на 2 части теплонепроницаемым поршнем, который может свободно перемещаться в трубе. Начальное давление газа равно  $p$ . На сколько сместится поршень, если через левый торец к газу подвести количество теплоты  $Q$ , а через правый — такое же количество теплоты  $Q$  отвести? Боковые стенки трубы тепло не пропускают.

**4.19.** Горизонтально расположенный теплоизолированный цилиндрический сосуд объёмом  $V$  заполнен гелием и разделён на две части в отношении 1:2 теплонепроницаемым поршнем, который может перемещаться без



К задаче 4.19

трения (см. рис.). Температура газа в обеих частях сосуда одинакова. К газу в левой и правой частях одновременно начинают подводить тепло с помощью двух нагревателей. Какова мощность нагревателя в правой части, если мощность левого равна  $P$  и при нагреве поршень не смещается? На сколько изменится давление в сосуде, если левый нагреватель отдал газу количество теплоты  $Q$ ?

**4.20.** Расположенный горизонтально цилиндрический сосуд заполнен гелием и разделён на две равные части закреплённым массивным поршнем. В частях сосуда находятся один и два моля

газа при одинаковой температуре. После освобождения поршень начинает скользить без трения по стенкам цилиндра. Найти отношение объёмов частей сосуда в момент, когда поршень достигнет максимальной скорости. Считать, что изменение параметров газа в каждой части сосуда происходит по адиабатическому закону  $pV^{5/3} = \text{const}$ .

**4.21.** В цилиндрическом сосуде находится идеальный газ, отделённый от окружающей среды невесомым поршнем. Между поршнем и стенками сосуда имеется трение. В начальном состоянии газ имеет объём  $V_0$ , температуру  $T_0$  и давление, равное давлению окружающей среды. При нагревании газа поршень начинает смещаться, когда температура газа возрастает до значения  $1,2T_0$ . После достижения температуры  $2T_0$  нагрев прекращают, и газ остывает до исходной температуры  $T_0$ . Изобразить описанный процесс на плоскости  $T, V$ .

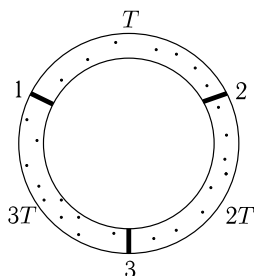
**4.22.** Цилиндрический сосуд расположен горизонтально и разделён на две части поршнем, который может скользить по стенкам без трения. В частях сосуда находятся равные количества одноатомного газа при различных начальных температурах. Стенки сосуда теплоизолированы, поршень слабо проводит тепло. В результате установления теплового равновесия объём меньшей части газа увеличился в полтора раза. Чему равно отношение прошедшего через поршень количества теплоты к внутренней энергии газа во всем сосуда? Теплоёмкостью поршня и стенок сосуда пренебречь.

**4.23.** Теплоизолированный цилиндрический сосуд заполнен идеальным одноатомным газом и разделён на две части легким поршнем, который слабо проводит тепло и может свободно перемещаться вдоль сосуда. В начальном состоянии объём и температура газа в одной части вдвое меньше, чем в другой. Через некоторое время из-за теплообмена температура менее нагретого газа возросла на  $\Delta T$ . На сколько при этом уменьшилась температура более нагретого газа? За какое (большее или меньшее) время произошло бы увеличение температуры менее нагретого газа на ту же величину  $\Delta T$  в случае теплообмена при закреплённом поршне?

**4.24.** Теплоизолированный цилиндрический сосуд разделён на две части легким поршнем, который слабо проводит тепло и может свободно перемещаться вдоль сосуда. В одной части сосуда находится 10 г гелия при температуре 500 К, а в другой — 3 г водорода при температуре 400 К. Какая равновесная температура установится в сосуде? Во сколько раз изменится давление? Какова теплоёмкость каждого газа в начале процесса

выравнивания температур? Теплоёмкостью поршня и стенок сосуда пренебречь.

**4.25.** В горизонтально расположенном тороидальном сосуде с теплоизолирующими стенками находятся 11 молей идеального одноатомного газа, разделённого на три части поршнями, которые могут скользить по стенкам сосуда без трения. В начальном состоянии объёмы между любыми двумя поршнями одинаковы, а температуры газа в отсеках тороида равны  $T$ ,  $2T$  и  $3T$  (см. рис.). Считая, что поршень 1 тепло не проводит, найти, сколько тепла пройдет через поршни 2 и 3 при установлении в сосуде термодинамического равновесия.

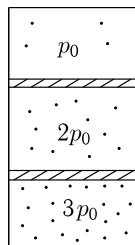


К задаче 4.25

**4.26.** Расположенный вертикально цилиндрический сосуд высотой  $H$  разделён на две равные части тонким массивным поршнем, который может скользить по стенкам без трения. В частях сосуда находятся равные количества одноатомного газа при температурах, отличающихся в два раза. Стенки сосуда теплоизолированы, поршень проводит тепло. На сколько сдвинется поршень после выравнивания температур в сосуде? Теплоёмкостью поршня и стенок сосуда пренебречь.

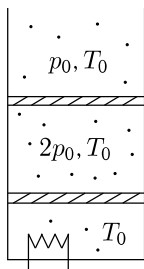
**4.27.** Вертикально расположенный цилиндрический сосуд объёмом  $V$  заполнен идеальным газом и разделён на две части поршнем массой  $m$ , который может скользить по стенкам без трения. Из-за просачивания газа из нижнего отсека в верхний давление над поршнем возросло от  $p_0$  до  $2p_0$ . Считая, что температура газа поддерживалась постоянной, найти, на сколько опустился поршень и какое количество теплоты было отведено от газа.

**4.28.** Вертикально расположенный цилиндрический сосуд объёмом  $V$  заполнен идеальным газом и первоначально разделён на три равные части двумя поршнями, которые могут скользить по стенкам без трения. Давления в отсеках равны  $p_0$ ,  $2p_0$  и  $3p_0$  (см. рис.), а температура одинакова. Из-за просачивания газа через нижний поршень (верхний - газ не пропускает) происходит смещение поршней. Считая, что температура газа поддерживалась постоянной, найти,



К задаче 4.28

во сколько раз в итоге изменился объём газа над верхним поршнем и какое количество теплоты отвели от газа.

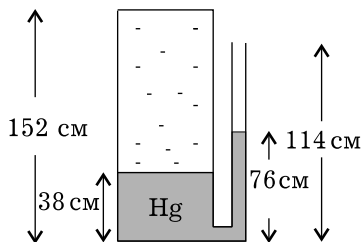


К задаче 4.29

**4.29.** В вертикально расположенном цилиндрическом сосуде с теплоизолированными стенками и дном в двух «отсеках» находится по одному молю идеального одноатомного газа (см. рис.). Газы разделены между собой и отделены от атмосферы двумя одинаковыми теплопроводящими поршнями площади  $S$ , которые могут скользить без трения. В начальном состоянии система находится в термодинамическом равновесии при температуре  $T_0$ , давление газа в верхнем отсеке в два раза больше атмосферного давления  $p_0$ . Находящемуся в нижнем

отсеке газу с помощью электронагревателя сообщили количество теплоты  $Q_1$ . Считая, что за время работы нагревателя тепло не успевает просочиться через нижний поршень, найти максимальное расстояние между поршнями в ходе последующего теплообмена. Известно, что к моменту достижения максимальной температуры газом в верхнем отсеке в атмосферу (через верхний поршень) ушло количество теплоты  $Q_2$ .

**4.30.** Расположенный горизонтально цилиндрический сосуд разделён на две части тонким подвижным поршнем. В поршне имеется клапан, открывающийся при определенной разнице давлений газа в частях сосуда и закрывающийся при меньшей разнице. Первоначально поршень разделяет цилиндр на две равные части, в которых находится одинаковое количество газа при давлении  $p_0$ . Поршень начали медленно перемещать вдоль сосуда, поддерживая температуру газа постоянной. В момент, когда поршень сместили на  $1/8$  длины цилиндра, клапан открылся. Найти давления в частях сосуда к моменту времени, когда смещение поршня станет равным  $1/4$  длины цилиндра.



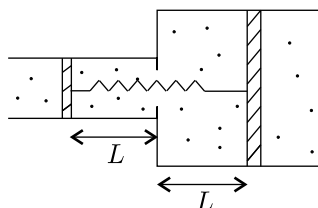
К задаче 4.31

**4.31.** Расположенный вертикально цилиндрический сосуд радиусом 20 см и высотой 152 см заполнен ртутью (до уровня 38 см) и одноатомным газом (см. рис.). Сообщающаяся с сосудом тонкая трубка высотой 114 см частично заполнена ртутью (до уровня 76 см) и открыта в атмосферу. Атмосферное давление равно 76 см ртутного стол-



ба (примерно  $10^5$  Па). Какое количество теплоты следует подвести к газу, чтобы вытеснить ртуть из сосуда? Потерями тепла на нагревание ртути и стенок сосуда пренебречь.

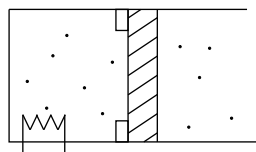
**4.32.** Две горизонтальные трубы с сечениями  $S$  и  $2S$  герметично соединены между собой и открыты с других концов в атмосферу (см. рис.). Поршни, связанные пружиной с жёсткостью  $k$ , могут скользить в трубах без трения и вначале расположены на расстояниях  $L$  от места соединения труб, а между поршнями находится



К задаче 4.32

1 моль идеального одноатомного газа. В месте соединения имеется стопор, препятствующий переходу меньшего поршня в трубу большого сечения. В результате сообщения газу некоторого количества теплоты поршни смещаются, и длина пружины увеличивается до  $5L/2$ . Каким станет давление газа между поршнями? На сколько изменится температура газа? Какое количество теплоты подвели к газу? Атмосферное давление равно  $p_0$ . Теплоёмкостью поршней, пружины и труб пренебречь.

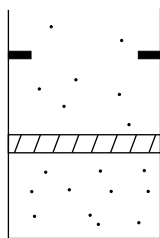
**4.33.** Одноатомный газ находится в цилиндрическом сосуде и отделён от окружающей среды поршнем (см. рис.), который может скользить без трения в цилиндре. Начальное давление газа в 3 раза меньше внешнего давления, поршень удерживается упорами. Газу сообщают количество теплоты, которое в 6 раз больше внутренней энергии газа в начальном состоянии. Во сколько раз увеличится объём газа?



К задаче 4.33

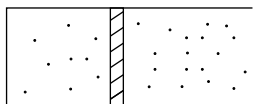
Поршень и стенки сосуда не проводят тепло.

**4.34.** В вертикально расположенном цилиндрическом сосуде находится идеальный одноатомный газ, отделённый от атмосферы тяжёлым поршнем, который может скользить без трения по стенкам сосуда. Имеющиеся на стенках сосуда упоры допускают увеличение объёма газа не более чем вдвое (см. рис.). Начальное давление под поршнем в два раза превышает атмосферное. Газу медленно (квазистатически) сообщают количество теплоты, в три раза превышающее на-



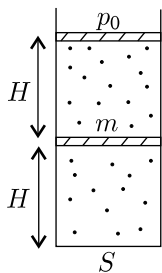
К задаче 4.34

чальную внутреннюю энергию газа  $U_1$  и после этого располагают сосуд горизонтально. Какое количество теплоты нужно отвести от газа (при новой ориентации сосуда), чтобы вернуть газ к начальному объёму? Теплоёмкостью поршня и стенок пренебречь.



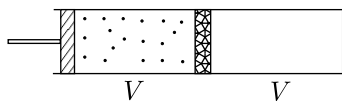
К задаче 4.35

К задаче 4.35. Когда газу (через торец цилиндра) сообщили количество теплоты  $Q$ , составляющее половину его начальной внутренней энергии, поршень слегка сдвинулся. Во сколько раз увеличится объём газа, если ему сообщить еще такое же количество теплоты  $Q$ ? Какое количество теплоты нужно отвести от газа, чтобы вернуть поршень в начальное положение? Теплоёмкостью и теплопроводностью поршня и стенок пренебречь, сила трения не зависит от положения поршня.



К задаче 4.36

К задаче 4.36. Вертикально расположенный теплоизолированный цилиндрический сосуд с поперечным сечением  $S$  заполнен идеальным одноатомным газом, отделённым от атмосферы невесомым, не проводящим тепло поршнем. Другой поршень массой  $m$  делит газ на два равных объёма  $S \cdot H$  (см. рис.). Оба поршня могут скользить без трения по стенкам. Из-за неплотного контакта между стенками сосуда и массивным поршнем происходит медленное просачивание газа. На сколько сместится невесомый верхний поршень в результате установления равновесия в системе? Атмосферное давление равно  $p_0$ . Теплоёмкости сосуда и поршней не учитывать.



К задаче 4.37

К задаче 4.37. Теплоизолированный цилиндрический сосуд, закрытый с одной стороны поршнем, разделён на две равные части с объёмом  $V$  теплонепроницаемой пористой перегородкой. Пространство между поршнем и перегородкой заполнили идеальным одноатомным газом при температуре  $T$ , вторую половину сосуда откачали (см. рис.). В ходе просачивания газа через перегородку поршень передвигают так, чтобы обеспечить

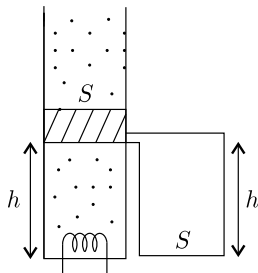
4.35. Одноатомный газ находится в горизонтально расположенном цилиндрическом сосуде и отделён от окружающей среды поршнем (см. рис.). Между цилиндром и поршнем есть трение, начальное давление газа равно внешнему давлению.

4.36. Вертикально расположенный теплоизолированный цилиндрический сосуд с поперечным сечением  $S$  заполнен идеальным одноатомным газом, отделённым от атмосферы невесомым, не проводящим тепло поршнем. Другой поршень массой  $m$  делит газ на два равных объёма  $S \cdot H$  (см. рис.). Оба поршня могут скользить без трения по стенкам. Из-за неплотного контакта между стенками сосуда и массивным поршнем происходит медленное просачивание газа. На сколько сместится невесомый верхний поршень в результате установления равновесия в системе? Атмосферное давление равно  $p_0$ . Теплоёмкости сосуда и поршней не учитывать.

4.37. Теплоизолированный цилиндрический сосуд, закрытый с одной стороны поршнем, разделён на две равные части с объёмом  $V$  теплонепроницаемой пористой перегородкой.

неизменность давления газа под поршнем. Каким станет объём газа между поршнем и перегородкой к моменту выравнивания давлений по обе стороны от перегородки? Какой при этом будет температура газа между поршнем и перегородкой, в другой части сосуда? Теплоёмкостью сосуда и перегородки пренебречь.

**4.38.** В вертикально расположенном, открытом сверху в атмосферу цилиндрическом сосуде с поперечным сечением  $S$  под поршнем массой  $m$  находится идеальный одноатомный газ. Поршень может скользить без трения по стенкам и в начальном положении находится на высоте  $h$ , перекрывая небольшую трубку, соединяющую сосуд с откачанным резервуаром объёмом  $h \cdot S$  (см. рис.). Какое количество теплоты должен выделить электронагреватель, помещенный в газ, чтобы поршень поднялся до высоты  $2h$ ? Потерями тепла в окружающую среду, а также теплоёмкостями стенок и поршня пренебречь. Тепло подводится настолько медленно, что после подъема поршня выше трубки температура газа одинакова во всех точках газового объёма. Атмосферное давление равно  $p_0$ .



К задаче 4.38

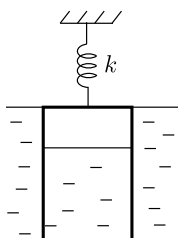
Потерями тепла в окружающую среду, а также теплоёмкостями стенок и поршня пренебречь. Тепло подводится настолько медленно, что после подъема поршня выше трубки температура газа одинакова во всех точках газового объёма. Атмосферное давление равно  $p_0$ .

**4.39.** В цилиндрическом сосуде находятся  $\nu$  молей идеального одноатомного газа, отделённого от атмосферы легким поршнем. Давление и температура атмосферного воздуха равны  $p_0$  и  $T_0$  соответственно, температура газа  $2T_0$ . Газ и атмосферу используют в качестве нагревателя и холодильника тепловой машины Карно. Какую максимальную работу может совершить тепловая машина? Найти изменение внутренней энергии газа и работу атмосферы над газом при совершении машиной максимальной работы. При расчете работы машины площадь криволинейной трапеции можно найти приближенно (используя бумагу в клетку или заменив гиперболу отрезком прямой). Прямой теплообмен газа с атмосферой отсутствует; трением между поршнем и стенками пренебречь.

**4.40.** Оценить плотность насыщенного водяного пара, если его давление составляет половину атмосферного.

**4.41.** В помещении с температурой  $100^\circ\text{C}$  и давлением  $10^5$  Па горизонтально расположен цилиндрический сосуд с поршнем, масса и площадь которого равны  $10\text{ кг}$  и  $10^{-2}\text{ м}^2$ . Поршень отделяет от окружающего воздуха объём  $5 \cdot 10^{-3}\text{ м}^3$ , заполненный водяным паром. Стенки сосуда проводят тепло, а поршень может

скользить без трения. Чему равна масса пара? Каким станет объём пара под поршнем, если цилиндр поставить вертикально поршнем вверх? На сколько следовало бы повысить температуру пара в цилиндре, чтобы после изменения ориентации сосуда объём пара остался прежним?



К задаче 4.42

**4.42.** Длинная тонкостенная труба, заваренная крышкой с одного торца, плавает в вертикальном положении в резервуаре с водой закрытым концом вверх. К крышке прикреплена пружина, второй конец которой закреплён неподвижно (см. рис.). В начальном положении температура воды равна  $20^\circ\text{C}$ , пружина не деформирована, верхний конец трубы расположен вровень с поверхностью воды. Известны атмосферное давление  $p_0 = 10^5 \text{ Па}$ , коэффициент упругости пружины  $k = 10^4 \text{ Н/м}$ , поперечное сечение трубы  $S = 0,001 \text{ м}^2$ . В результате нагревания воды в резервуаре до  $100^\circ\text{C}$  объём воздуха в трубе увеличился в 2,5 раза. Найти массу трубы. Плотность воды  $\rho = 10^3 \text{ кг/м}^3$ , ускорение свободного падения  $g = 10 \text{ м/с}^2$ . Давлением насыщенных паров при  $20^\circ\text{C}$  пренебречь.

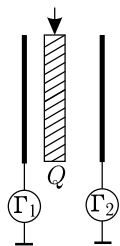
**4.43.** В цилиндрический стакан налита газированная вода, в которой равномерно по объёму происходит выделение пузырьков газа. Считая, что каждую секунду в единице объёма воды образуется  $\mu$  одинаковых пузырьков и все они с постоянной скоростью  $V$  поднимаются вверх, найти зависимость концентрации пузырьков  $N(x)$  от координаты  $x$ , которая отсчитывается вверх от дна стакана.

## 5. ЭЛЕКТРИЧЕСТВО И МАГНЕТИЗМ

**5.1.** Радиусы двух concentрических проводящих сфер отличаются в 4 раза. Заряд сферы меньшего радиуса равен  $q$  ( $q > 0$ ). Какой положительный заряд следует поместить на внешнюю сферу, чтобы ее потенциал стал равным разности потенциалов между сферами?

**5.2.** Радиусы двух concentрических проводящих сфер отличаются в 3 раза. Заряд сферы меньшего радиуса равен  $q$  ( $q > 0$ ), а ее потенциал равен нулю. Найти заряды на внешней и внутренней сторонах сферы большего радиуса.

**5.3.** Обкладки конденсатора соединены с землей через гальванометры  $\Gamma_1$  и  $\Gamma_2$  (см. рис.). Какие заряды пройдут через гальванометры, если между обкладками вставить заряженную металлическую пластину? Заряд пластины  $Q > 0$ , толщина ее в четыре раза меньше расстояния между обкладками, а расстояние от первой обкладки до пластины равно толщине пластины.

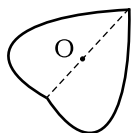


К задаче 5.3

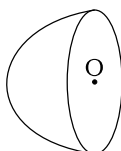
**5.4.** Проводящий шар радиуса  $R$  симметрично окружен шаровым проводящим слоем с внутренним и внешним радиусами  $2R$  и  $3R$ . Шар и слой несут электрические заряды  $2q$  и  $-q$  соответственно. В промежутке между проводниками на расстоянии  $3R/2$  от центра системы расположен точечный заряд  $q$ . Найти разность потенциалов между шаром и слоем.

**5.5.** Тонкое равномерно заряженное кольцо согнуто по диаметру на  $90^\circ$  (см. рис.). Во сколько раз изменится напряженность электрического поля в середине диаметра (точка  $O$ ), если весь заряд кольца равномерно распределить по одной из половин кольца?

**5.6.** Во сколько раз изменится напряженность электрического поля в центре равномерно заряженной полусферы (точка  $O$  на рисунке), если ее радиус увеличить вдвое при сохранении полного заряда полусферы; при сохранении поверхностной плотности заряда?



К задаче 5.5



К задаче 5.6

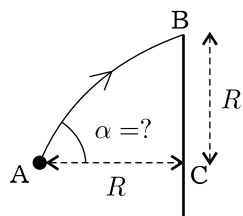
**5.7.** Точечный заряд  $q$  внесли в однородное электрическое поле напряженностью  $\mathbf{E}_0$ . Найти разность потенциалов между двумя точками, в которых напряженность результирующего электрического поля направлена вдоль  $\mathbf{E}_0$  и равна по абсолютной величине  $E_0/2$  и  $3E_0/2$ .

**5.8.** Точечный заряд  $q$  внесли в однородное электрическое поле напряженностью  $\mathbf{E}_0$ . Найти радиус окружности, в точках которой напряженность результирующего электрического поля направлена под углом  $45^\circ$  к  $\mathbf{E}_0$  и равна  $\sqrt{2} E_0$ .

**5.9.** Точечный заряд  $q$  внесли в однородное электрическое поле напряженностью  $\mathbf{E}_0$ . Найти радиус окружности, на которой напряженность результирующего электрического поля равна  $E_0/2$  и ориентирована перпендикулярно вектору  $\mathbf{E}_0$ .

**5.10.** Два равных по модулю разноименных точечных заряда расположены на расстоянии  $2d$  друг от друга в однородном электрическом поле напряженности  $\mathbf{E}_0$ . Найти модули зарядов, если напряженность результирующего электрического поля равна нулю на окружности радиусом  $d$ . Каким станет геометрическое место точек с нулевым полем при уменьшении величины каждого заряда в 4 раза и сохранении их расположения в поле  $\mathbf{E}_0$ ?

**5.11.** В однородное электрическое поле напряженностью  $\mathbf{E}_0$  внесли равномерно заряженную сферу радиусом  $R$ . Найти заряд сферы, если максимальный угол между векторами напряженности результирующего поля и поля  $\mathbf{E}_0$  равен  $30^\circ$ . Считать, что после внесения сферы в поле  $\mathbf{E}_0$  распределение заряда на ней не изменилось.



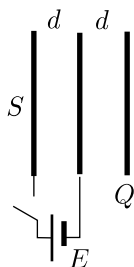
К задаче 5.12

**5.12.** Бесконечная равномерно заряженная прямая нить А расположена на расстоянии  $R$  от плоскости, которая также заряжена равномерно (см. рис.). Заряд, приходящийся на единицу длины нити, положителен и равен  $\lambda$ , заряд единицы площади плоскости отрицателен и равен  $-\sigma$ . Точка В находится вблизи плоскости и слева от нее на расстоянии  $R$  от перпендикуляра АС.

Под каким углом  $\alpha$  к перпендикуляру АС выходит силовая линия, проходящая через точку В?

**5.13.** Какую работу совершат электрические силы, если плоский конденсатор ёмкостью  $C$ , заряженный до разности потенциалов  $U$ , вдвинуть в короткозамкнутый конденсатор вдвое меньшей ёмкости (с той же площадью пластин)?

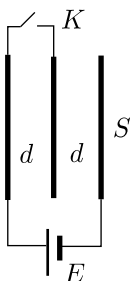
**5.14.** Три одинаковые металлические пластины площадью  $S$  расположены параллельно на расстоянии  $d$  друг от друга ( $d$  мало по сравнению с поперечными размерами пластин). Заряд крайней правой пластины равен  $Q$  ( $Q > 0$ ), две другие не заряжены. Замыкая ключ, к двум пластинам подключают батарею (см. рис.); при этом оказалось, что электрическая энергия системы не изменилась. Найти ЭДС батареи и работу, совершённую батареей при перезарядке пластин.



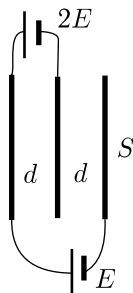
К задаче 5.14

**5.15.** Три одинаковые металлические пластины площадью  $S$  расположены параллельно на расстоянии  $d$  друг от друга ( $d$  мало по сравнению с поперечными размерами пластин). Крайние пластины подключены к батарее с ЭДС  $E$ , ключ  $K$  разомкнут (см. рис.). Какое количество теплоты выделится после замыкания ключа?

**5.16.** Три одинаковые металлические пластины площадью  $S$  расположены параллельно на расстоянии  $d$  друг от друга ( $d$  мало по сравнению с поперечными размерами пластин) и подключены к батареям с ЭДС  $E$  и  $2E$  (см. рис.). Какую работу совершит внешняя сила при смещении средней пластины на  $d/2$  вправо при фиксированном положении крайних пластин?



К задаче 5.15

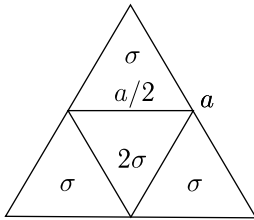


К задаче 5.16

**5.17.** Известно, что ёмкость тонкого металлического диска радиусом  $R$  равна  $8\epsilon_0 R$ . Какую работу нужно совершить, чтобы

наложить друг на друга два таких диска, заряженных зарядом  $q$  каждый и первоначально разнесенных на бесконечное расстояние?

**5.18.** Тонкая непроводящая пластина в форме правильного треугольника со стороной  $a$  заряжена неравномерно (см. рис.): внутренняя часть пластины в виде правильного треугольника со стороной  $a/2$  заряжена с поверхностной плотностью  $2\sigma$ , а внешняя часть — с поверхностной плотностью  $\sigma$  ( $\sigma > 0$ ).



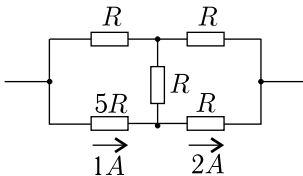
К задаче 5.18

Во сколько раз изменится потенциал в центре пластины, если исходный заряд распределить по ней равномерно?

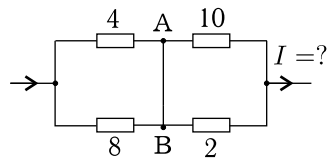
**5.19.** Имеются две уединенные непроводящие сферы радиусом  $R$ . На одной половине первой сферы равномерно распределен поверхностный заряд с плотностью  $2\sigma$ , а на другой половине — с плотностью  $5\sigma/3$ . На половинах второй сферы плотности зарядов равны  $\sigma/3$  и  $2\sigma/3$ . На сколько отличаются электрические энергии сфер?

**5.20.** В цепи, приведённой на рисунке, даны токи через два резистора. Найти токи через остальные резисторы.

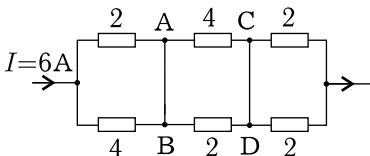
**5.21.** Значения сопротивлений резисторов, из которых собран участок цепи (см. рис.), приведены в омах, сопротивление переключки АВ пренебрежимо мало. Найти ток  $I$  во внешней цепи, если через переключку АВ протекает ток 3 А.



К задаче 5.20



К задаче 5.21

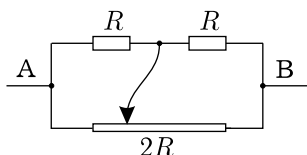


К задаче 5.22

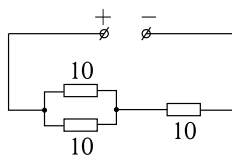
**5.22.** Через участок цепи, приведенный на рисунке, протекает ток 6 А. Значения сопротивлений резисторов, из которых собран участок, даны в омах, сопротивления переключек АВ и CD пренебрежимо малы. Найти токи в переключках и напряжение на участке AC.



**5.23.** Участок АВ электрической цепи состоит из двух резисторов одинакового сопротивления  $R$  и отрезка высокоомной проволоки с сопротивлением  $2R$ . Подвижный контакт, который можно перемещать по проволоке, соединен со средней точкой участка из двух резисторов (см. рис.). Найти минимальное и максимальное значения сопротивления участка АВ в зависимости от положения подвижного контакта. Сопротивлением соединительных проводов пренебречь.



К задаче 5.23

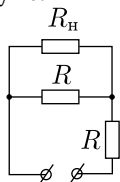


К задаче 5.24

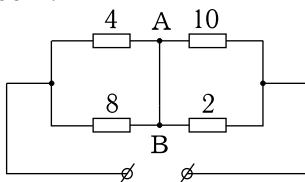
**5.24.** Цепь собрана из трех одинаковых резисторов сопротивлением 10 Ом каждый и подключена к источнику постоянного напряжения (см. рис.). После того, как при неизменном напряжении источника одно из сопротивлений увеличили, в некотором участке цепи произошло возрастание тока на 20 процентов. На сколько ом увеличили сопротивление?

**5.25.** В цепи, представленной на рисунке, сопротивления  $R$  резисторов заданы, напряжение на зажимах постоянно. При каком сопротивлении нагрузки  $R_n$  в ней будет выделяться максимальная мощность?

**5.26.** Значения сопротивлений резисторов, из которых собрана цепь (см. рис.), приведены в омах, сопротивление переключки АВ пренебрежимо мало. Переключка перегорает, когда ток в ней достигает значения 12 А. При каком минимальном напряжении источника переключка перегорит? Во сколько раз изменится выделяемая в цепи мощность, если напряжение источника увеличить от 103 В до 105 В?



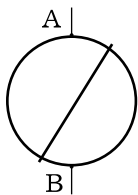
К задаче 5.25



К задаче 5.26

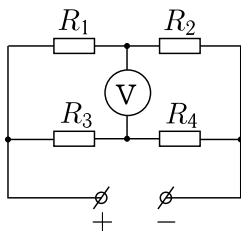
**5.27.** К кольцу, свернутому из куска проволоки с сопротивлением 2 Ом, в противоположных точках диаметра АВ подводится напряжение 10 В. По кольцу, вращаясь вокруг

его центра, может скользить перемычка (см. рис.), имеющая пренебрежимо малое сопротивление. Проволока кольца и перемычка выдерживают одинаковый предельный ток 20 А. Какой максимальной мощности, выделяемой на участке АВ, можно добиться, поворачивая перемычку? Какой угол при этом будет составлять перемычка с диаметром АВ?



К задаче 5.27

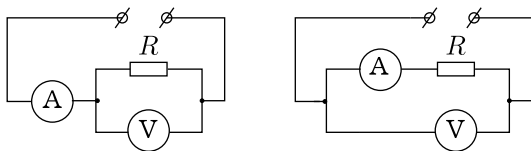
**5.28.** Имеется источник питания напряжением 18 В и три вольтметра. При подключении к источнику последовательно соединенных 1-го и 2-го вольтметров они показали напряжения 6 и 12 В соответственно. При подключении к источнику всех трех последовательно соединенных вольтметров 3-й показал 7,2 В. Каковы будут показания каждого из вольтметров, если 2-й и 3-й соединить параллельно, последовательно с ними включить 1-й и получившуюся из вольтметров цепь подключить к источнику?



К задаче 5.29

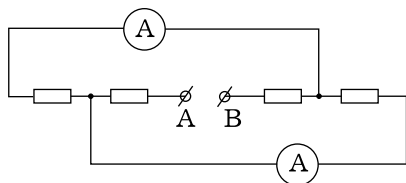
**5.29.** В схеме, представленной на рисунке, сопротивления резисторов  $R_1$  и  $R_2$  равны, и вольтметр показывает нулевое напряжение (ток через него равен нулю). После того, как резистор  $R_3$  и вольтметр поменяли местами, токи в резисторах  $R_1$  и  $R_2$  не изменились, а вольтметр стал показывать напряжение 5 В. Найти соотношение между сопротивлениями  $R_3$  и  $R_4$  и напряжение источника питания.

**5.30.** На рисунках приведены два варианта подключения амперметра и вольтметра для измерения тока через резистор сопротивлением  $R$  и напряжения на этом резисторе. При неизменном напряжении внешнего источника показания вольтметра в двух случаях отличаются вдвое, а амперметра — в 1,5 раза. Найти сопротивления амперметра и вольтметра.

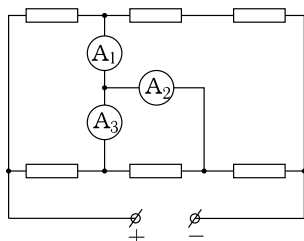


К задаче 5.30

**5.31.** В схеме, приведённой на рисунке, два резистора имеют сопротивления по  $30\text{ Ом}$  и два — по  $60\text{ Ом}$ ; сопротивления амперметров пренебрежимо малы. После подключения к точкам А и В источника постоянного напряжения токи через амперметры оказались различными, причем меньший равен  $1\text{ А}$ . Каково напряжение источника?

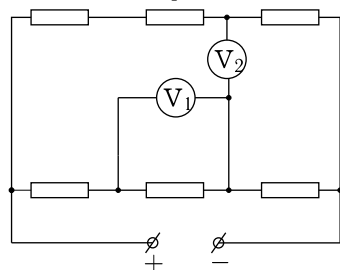


К задаче 5.31

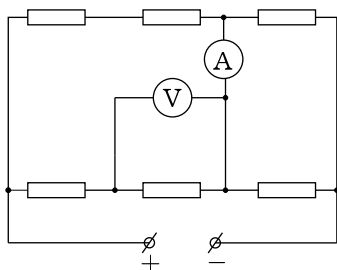


К задаче 5.32

**5.33.** В цепи, представленной на рисунке, сопротивления резисторов одинаковы и малы по сравнению с сопротивлениями вольтметров, напряжение на зажимах  $120\text{ В}$ . Найти показания вольтметров.



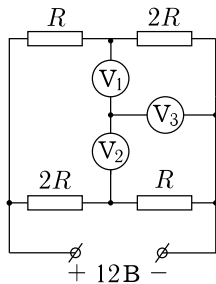
К задаче 5.33



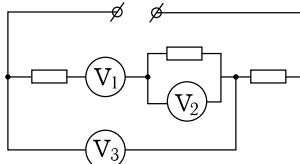
К задаче 5.34

**5.35.** Найти показания вольтметров, включенных в изображенную на рисунке цепь, если вольтметры одинаковые, их сопротивления много больше сопротивлений остальных элементов цепи и напряжение на зажимах цепи  $12\text{ В}$ .

**5.36.** Цепь, собранную из трех одинаковых резисторов и трех одинаковых вольтметров (см. рис.), подключили к источнику постоянного напряжения. Показания 1-го и 2-го вольтметров оказались отличающимися в два раза, а 3-й вольтметр показал напряжение 5 В. Чему равно напряжение источника?

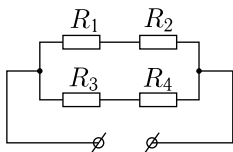


К задаче 5.35

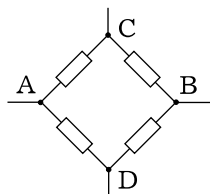


К задаче 5.36

**5.37.** При замыкании на резистор сопротивлением  $R = 5 \text{ Ом}$  батарея дает ток в цепи 1 А, а при коротком замыкании ток равен 6 А. Какую наибольшую мощность во внешней цепи можно получить от этой батареи?



К задаче 5.38



К задаче 5.39

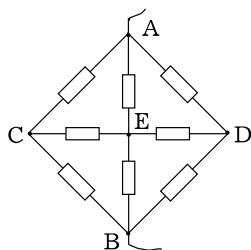
**5.38.** В цепи, изображенной на рисунке,  $R_1 = R_3$  и  $R_2 = R_4$ . При подключении цепи к сети в ней выделяется мощность  $P$ , причем на сопротивлениях  $R_1$ ,  $R_3$  выделяется в 2 раза большая мощность, чем на  $R_2$ ,  $R_4$ . Какая мощность будет выделяться в цепи, если сопротивления  $R_1$  и  $R_4$  поменять местами?

**5.39.** Цепь, показанная на рисунке, составлена из резисторов с неизвестными номиналами. При подключении внешней сети к паре точек А и С или паре В и D в цепи выделяется одна и та же мощность  $P$ . При подключении же к паре точек В и С или паре А и D в цепи выделяется мощность  $2P$ . Какая мощность выделится при подключении сети к паре С и D?

**5.40.** Цепь, показанная на рисунке к задаче 5.39, составлена из резисторов с неизвестными номиналами. При поочередном подключении напряжения к точкам А и В, С и D, В и С в цепи выделялась мощность  $P$ . При подключении того же напряжения

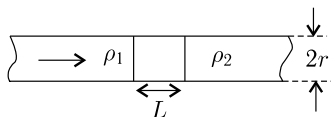
к точкам А и С или В и D в цепи выделялась мощность  $2P$ . Какая мощность выделится при подключении напряжения к точкам А и D?

**5.41.** В схеме, приведённой на рисунке, все резисторы имеют одинаковые номиналы, источник напряжения подключен к точкам А и В. Токи, протекающие через резисторы, близки к предельно допустимым, и в некоторый момент перегорает резистор АЕ. Во сколько раз уменьшится мощность, выделяющаяся в схеме? Через некоторое время вслед за АЕ перегорает резистор AD. Какой резистор перегорит следующим? В случае, если вторым перегорит резистор BD, какой перегорит следующим?



К задаче 5.41

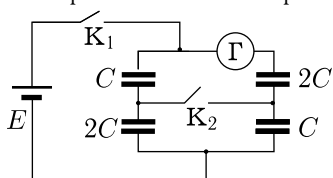
**5.42.** Цилиндрический проводник радиусом  $r$  состоит из двух однородных участков с удельными сопротивлениями  $\rho_1$  и  $\rho_2$  и соединяющего их неоднородного участка длиной  $L$  (см. рис.). Какая тепловая мощность выделяется в неоднородном участке, если напряжение на единицу длины проводника с удельным сопротивлением  $\rho_1$  равно  $U_1$  и удельное сопротивление неоднородного участка линейно меняется от  $\rho_1$  до  $\rho_2$ ?



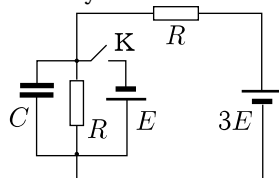
К задаче 5.42

**5.43.** В схеме, приведённой на рисунке, конденсаторы первоначально не заряжены, а ключи  $K_1$  и  $K_2$  разомкнуты. Какой заряд пройдет через гальванометр после замыкания ключа  $K_1$ ? Какой заряд пройдет через этот гальванометр, если ключ  $K_1$  разомкнуть, а затем замкнуть ключ  $K_2$ ?

**5.44.** Найти изменение заряда на конденсаторе в результате замыкания ключа К в схеме, приведённой на рисунке. Внутренние сопротивления батарей считать равными нулю.



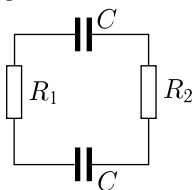
К задаче 5.43



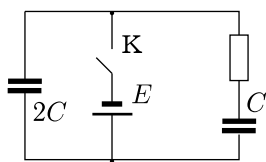
К задаче 5.44

**5.45.** Два одинаковых плоских конденсатора ёмкостью  $C$  имеют заряды  $q_0$ . Расстояние между пластинами нижнего конденсатора быстро увеличивают в два раза. Пренебрегая кинетической энергией пластин, найти совершенную при этом работу. Сколько тепла выделится в итоге в каждом из резисторов, если  $R_2 = 2R_1$ ?

**5.46.** В схеме, приведённой на рисунке, известны ёмкости конденсаторов и ЭДС батареи. Вначале конденсаторы не заряжены, а ключ  $K$  разомкнут. Какое количество теплоты выделится в цепи после замыкания ключа  $K$ ? Какая часть этого количества выделится внутри батареи? Считать, что внутреннее сопротивление батареи много меньше сопротивления резистора.



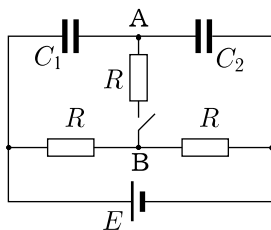
К задаче 5.45



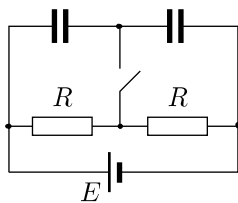
К задаче 5.46

**5.47.** Какой ток потечет через участок  $AB$  в цепи, приведённой на рисунке, сразу после замыкания ключа? ЭДС батареи  $E = 36$  В,  $R = 200$  Ом, ёмкость второго конденсатора в два раза больше ёмкости первого, внутреннее сопротивление батареи пренебрежимо мало.

**5.48.** В схеме, приведённой на рисунке,  $R = 6$  Ом,  $E = 12$  В, ёмкость одного конденсатора в два раза больше ёмкости другого. Пренебрегая внутренним сопротивлением батареи, найти ток через батарею сразу после замыкания ключа.



К задаче 5.47

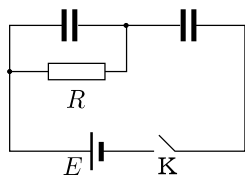


К задаче 5.48

**5.49.** В схеме, приведённой на рисунке, ЭДС батареи  $E$ , сопротивление резистора  $R$ , ёмкости конденсаторов одинаковы, внутреннее сопротивление батареи пренебрежимо мало. Вначале конденсаторы разряжены, ключ  $K$  разомкнут. Найти ток через

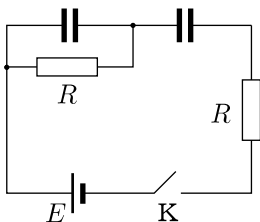
резистор сразу после замыкания ключа, а также токи через резистор и батарею в момент, когда напряжение на одном из конденсаторов станет равным  $3E/4$ .

**5.50.** В схеме, приведённой на рисунке, резисторы имеют одинаковое сопротивление  $R$ , ЭДС батареи равна  $E$ , а ее внутреннее сопротивление пренебрежимо мало. Вначале конденсаторы разряжены, ключ  $K$  разомкнут. После замыкания ключа напряжение на одном из конденсаторов сначала растет, достигает в некоторый момент максимального значения  $U$ , а затем убывает. Чему равнялись в указанный момент напряжение на втором конденсаторе и ток через батарею?

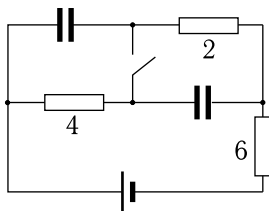


К задаче 5.49

**5.51.** В схеме, приведённой на рисунке, значения сопротивлений указаны в омах, ЭДС батареи 12 В, ее внутреннее сопротивление пренебрежимо мало. Перед замыканием ключа цепь находится в стационарном состоянии, когда токи отсутствуют. Найти токи через батарею и через перемычку сразу после замыкания ключа.



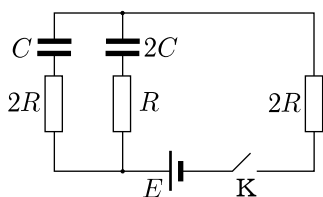
К задаче 5.50



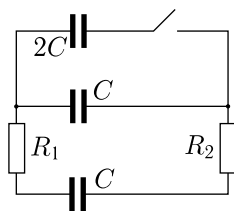
К задаче 5.51

**5.52.** В схеме, приведённой на рисунке, ёмкости конденсаторов, сопротивления резисторов и ЭДС батареи заданы, внутреннее сопротивление батареи пренебрежимо мало. Перед замыканием ключа  $K$  конденсаторы были разряжены. Какие токи пойдут через резисторы сразу после замыкания ключа? Какую работу совершит батарея за все время зарядки конденсаторов? Какое количество теплоты выделится в каждом из резисторов за время зарядки?

**5.53.** В схеме, изображенной на рисунке,  $R_1 = 2R_2$ , ёмкости конденсаторов  $C$  и  $2C$ , их заряды равны  $q$ , причем полярность одинакова. Какое количество теплоты выделится в каждом из резисторов после замыкания ключа?



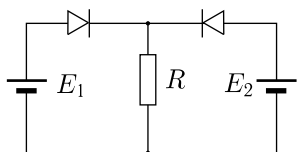
К задаче 5.52



К задаче 5.53

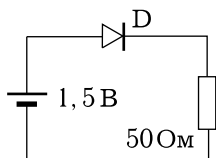
**5.54.** В схеме, изображенной на рисунке к задаче 5.53,  $R_1 = 2R_2$ , ёмкости конденсаторов равны  $C$  и  $2C$ . Верхний конденсатор не заряжен, а нижние заряжены до разности потенциалов  $U$ . Какое количество теплоты выделится в каждом из резисторов после замыкания ключа?

**5.55.**  $N$  одинаковых конденсаторов ёмкостью  $C$  соединены последовательно в кольцо, разомкнутое ключом в одном месте. Заряды конденсаторов равны  $q_1, q_2, \dots, q_N$  (под зарядом конденсатора понимается заряд на той пластине, которая встречается первой при обходе кольца в одном направлении). Какое количество теплоты выделится в соединительных проводах после замыкания ключа?



К задаче 5.56

При каком значении  $R$  выделяющаяся на резисторе мощность будет максимальной? Чему равна максимальная мощность?



К задаче 5.57

**5.56.** Схема, приведенная на рисунке, состоит из двух одинаковых диодов, двух батарей с  $E_1 = 0,8$  В,  $E_2 = 1,6$  В и резистора сопротивлением  $R$ . Сопротивление диодов прямому току равно 4 Ом, обратному — бесконечно; внутренние сопротивления батарей равны нулю. При ка-

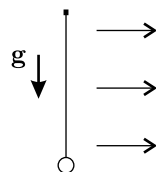
**5.57.** Найти ток в схеме, изображенной на рисунке, если вольтамперная характеристика диода  $D$  (т.е. зависимость тока через диод  $I$  от напряжения на нем  $V$ ) описывается формулой  $I = 10^{-2} \cdot V^2$ , где ток выражен в амперах, а напряжение — в вольтах. ЭДС батареи и сопротивление резистора приведены на рисунке, внутреннее сопротивление батареи пренебрежимо мало.

**5.58.** Два шарика с равными массами и одинаковыми электрическими зарядами находятся в поле тяжести на одной вертикали на расстоянии  $h$  друг от друга. Нижний шарик за-



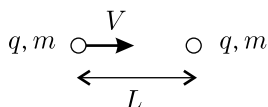
креплен, а верхний после освобождения начинает падать. На расстоянии  $h/2$  от закрепленного шарика скорость падающего обращается в нуль. Найти начальное ускорение (сразу после освобождения) и максимальную скорость падающего шарика. Ускорение свободного падения  $g$ .

**5.59.** Заряженный шарик массой  $m$ , прикрепленный идеальной нитью к неподвижной точке, помещен в горизонтально направленное однородное электрическое поле. Электрическая сила вдвое превышает силу тяжести. Шарик удерживается в нижнем положении (см. рис.), затем освобождается. Какой угол нить составит с горизонтом в момент наивысшего подъема шарика? Чему будет равна сила натяжения нити в этот момент?



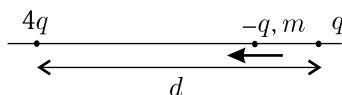
К задаче 5.59

**5.60.** Две частицы массой  $m$  каждая, имеющие одинаковые заряды  $q$ , удерживаются на расстоянии  $L$  друг от друга. После освобождения одной из частиц другую начинают двигать с постоянной скоростью  $V$  в направлении освобожденной. Найти наименьшее расстояние, до которого сблизятся частицы, и работу внешней силы к моменту сближения до этого минимального расстояния.



К задаче 5.60

**5.61.** Точечные заряды  $4q$  и  $q$  закреплены на расстоянии  $d$  друг от друга (см. рис.). Какую наименьшую скорость следует сообщить частице с зарядом  $-q$  и массой  $m$ , находящейся на расстоянии  $d/6$  от заряда  $q$ , чтобы, двигаясь вдоль прямой, проходящей через закрепленные заряды, она достигла заряда  $4q$ ?

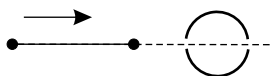


К задаче 5.61

**5.62.** Частица массой  $m$  с зарядом  $q > 0$  совершает равномерное вращение по окружности радиусом  $R$  в поле неподвижного электрического диполя с моментом  $p$ . Найти период обращения частицы.

**5.63.** На каком расстоянии от центра равномерно заряженного кольца радиусом  $R$  на его ось симметрии следует поместить незаряженную пылинку, чтобы действующая на нее кулоновская сила была максимальной?

Указание. Пылинку можно считать диполем, наведенным полем кольца. Сила, действующая на диполь в электрическом поле, зависит от степени неоднородности поля.



К задаче 5.64

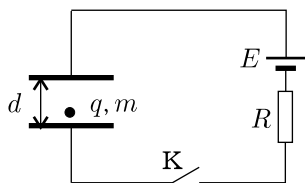
**5.64.** Два шарика равной массы  $m$ , имеющие одинаковые электрические заряды  $q$ , соединены невесомым непроводящим стержнем длиной  $L$  и движутся из бесконечности в направлении закрепленной за-

ряженной сферы по прямой, которая проходит через центр сферы и два небольших отверстия (размер больше диаметра шариков) в ее поверхности (см. рис.). Сфера непроводящая, заряд распределен по ней равномерно, радиус сферы в 4 раза меньше длины стержня. Диэлектрическая проницаемость стержня равна единице. Сила натяжения стержня в момент, когда его центр совпал с центром сферы, оказалась вдвое больше силы натяжения на бесконечном удалении от сферы. Чему равен заряд сферы? Во сколько раз сила натяжения стержня в момент прохождения одним из шариков центра сферы будет превышать значение этой силы на бесконечности? Какой должна быть начальная скорость шариков на бесконечности, чтобы они пролетели сквозь сферу?

**5.65.** Обкладки плоского конденсатора ориентированы горизонтально и замкнуты накоротко. Площадь обкладок  $S$ , расстояние между ними  $d$ . В пространство между обкладками на расстоянии  $d/4$  над нижней обкладкой внесли тонкую проводящую пластинку той же площади. Масса и заряд пластинки равны  $m$  и  $q$ . Какую минимальную направленную вверх скорость следует сообщить пластинке, чтобы в процессе движения она достигла уровня на  $d/4$  выше исходного?

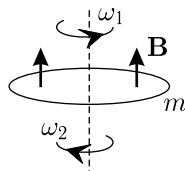
**5.66.** Под действием внешнего источника в центре плоского конденсатора с зарядами на пластинах  $+Q$  и  $-Q$  мгновенно создается тонкий ионизованный слой, состоящий из электронов и ионов. При каком суммарном заряде ионов (электронов) произойдет полное разделение электронного и ионного слоев? Считая, что заряд образовавшихся ионов равен  $Q$ , найти кинетическую энергию электронного слоя в момент достижения им положительно заряженной пластины конденсатора. Площадь пластин конденсатора  $S$ , расстояние между ними  $d$ . Тепловым движением образовавшихся при ионизации заряженных частиц и их взаимодействием с нейтральным газом, находящимся между пластинами конденсатора, пренебречь.

**5.67.** Между пластинами плоского конденсатора, включенного в цепь, показанную на рисунке, находится в покое частица с массой  $m$  и зарядом  $q$ . Через время  $t$  после замыкания ключа скорость частицы стала равной  $V$ . Чему равен в этот момент заряд  $Q$  конденсатора? Расстояние  $d$  между пластинами задано; влиянием силы тяжести и перераспределением зарядов на пластинах из-за действия заряда  $q$  самой частицы пренебречь.



К задаче 5.67

**5.68.** Тонкое равномерно заряженное кольцо массой  $m$  вращается в однородном магнитном поле с индукцией  $B$  вокруг оси симметрии, параллельной магнитному полю (см. рис.). При одном направлении вращения разрыв кольца происходит при угловой скорости  $\omega_1$ , при вращении в обратном направлении — при скорости  $\omega_2$ . Найти заряд кольца. Собственным магнитным полем вращающегося кольца пренебречь.



К задаче 5.68

**5.69.** Частица с удельным зарядом  $q/m$ , разогнанная до скорости  $V$ , влетает вдоль оси  $x$  в полупространство  $x > 0$ , где создано направленное вдоль оси  $z$  магнитное поле с индукцией  $\mathbf{B}(x) = \mathbf{B}_0 x/L$ ,  $\mathbf{B}_0$  и  $L$  — известные константы. На какую максимальную глубину частица проникнет в область, занятую полем?

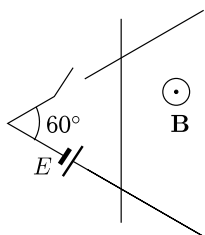
**5.70.** Индукция  $\mathbf{B}_0$  однородного магнитного поля направлена вдоль оси  $x$ . Напряженность однородного электрического поля имеет только  $x$ -компоненту и изменяется во времени по гармоническому закону:  $E_x = E_0 \cos \omega t$ . Частица массой  $m$  с зарядом  $q > 0$  влетает со скоростью  $\mathbf{V}_0 \perp Ox$  в область, занятую полями. Найти максимальное удаление частицы от точки влёта, если частота электрического поля  $\omega = qB_0/m$ . Влиянием силы тяжести пренебречь.

**5.71.** В область взаимно перпендикулярных однородных электрического и магнитного полей с напряженностью  $\mathbf{E}$  и индукцией  $\mathbf{B}$  помещают заряженную частицу массой  $m$ . Какой максимальной кинетической энергии периодически достигает частица при движении в этих полях, если ее начальная скорость равнялась нулю? Считать, что  $E \ll cB$ , где  $c$  — скорость света, т.е. движение нерелятивистское. Влиянием силы тяжести пренебречь.

**5.72.** Напряженность  $\mathbf{E}$  и индукция  $\mathbf{B}$  однородных электрического и магнитного полей ориентированы антипараллельно. В область, занятую полями, под углом  $\alpha$  к вектору  $\mathbf{B}$  ( $0 < \alpha < \pi/2$ ) со скоростью  $V_0$  влетает частица массой  $m$  с зарядом  $q > 0$ . Найти минимальный радиус кривизны траектории частицы. Силу тяжести не учитывать.

**5.73.** Нерелятивистская заряженная частица движется в однородных скрещенных электрическом и магнитном полях с напряженностью  $\mathbf{E}$  и индукцией  $\mathbf{B}$  ( $\mathbf{E} \perp \mathbf{B}$ ) так, что некоторые точки пространства она проходит дважды с равными и противоположными по направлению скоростями. Какова минимальная скорость прохождения этих точек? Какую наименьшую скорость имеет частица, двигаясь по указанной траектории?

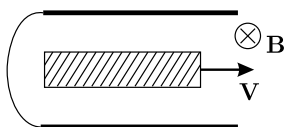
**5.74.** Частица с зарядом  $q$  влетает в область взаимно перпендикулярных однородных электрического и магнитного полей с напряженностью  $\mathbf{E}$  и индукцией  $\mathbf{B}$ . Считая, что в этой области на частицу действует также сила вязкого трения  $\mathbf{F} = -h\mathbf{V}$  ( $h$  — положительная константа), найти установившуюся скорость частицы.



К задаче 5.75

**5.75.** Электрическая цепь в виде правильного треугольника состоит из согнутого горизонтального провода, ключа, батареи и перемычки длиной  $\ell_0$  и массой  $m$ , сделанной из материала провода (см. рис.). Перемычка расположена симметрично, ее замыкающая часть равна  $\ell_0/2$ . Цепь находится в однородном вертикальном магнитном поле  $\mathbf{B}$ . В момент времени  $t = 0$  замыкается ключ, и перемычка начинает скользить без трения по согнутому проводу. Считая, что сопротивление единицы длины провода равно  $R_1$ , ЭДС батареи  $E$ , а ее внутреннее сопротивление пренебрежимо мало, найти момент времени  $t$ , когда цепь разомкнется. ЭДС индукции и самоиндукции пренебречь.

Считая, что сопротивление единицы длины провода равно  $R_1$ , ЭДС батареи  $E$ , а ее внутреннее сопротивление пренебрежимо мало, найти момент времени  $t$ , когда цепь разомкнется. ЭДС индукции и самоиндукции пренебречь.



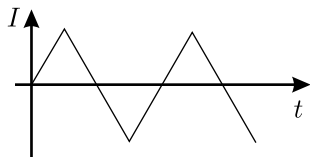
К задаче 5.76

**5.76.** Плоский конденсатор, замкнутый проводником, помещен в однородное магнитное поле  $\mathbf{B}$ , параллельное обкладкам (см. рис.). Через конденсатор перпендикулярно  $\mathbf{B}$  пролетает со скоростью  $\mathbf{V}$  металлическая пластина, толщина которой в 3 раза меньше расстояния между обкладками. Пренебрегая краевыми эффектами, найти плотности зарядов, инду-

которой в 3 раза меньше расстояния между обкладками. Пренебрегая краевыми эффектами, найти плотности зарядов, инду-

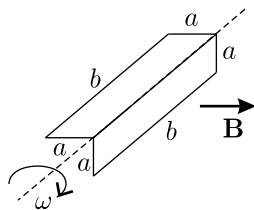
цированных на обкладках в момент, когда пластина полностью «перекрывает» конденсатор.

**5.77.** Рядом с проводом, ток в котором изменяется во времени по пилообразному закону (см. рис.), расположен проводящий виток. Нарисовать качественный график зависимости индукционного тока в витке от времени. Как изменится этот график, если включить идеальный диод: а) в цепь провода; б) в цепь витка? Идеальный диод не пропускает ток в одном направлении и не оказывает сопротивления току противоположного направления.



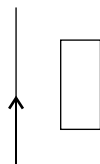
К задаче 5.77

**5.78.** Согнутая под прямым углом проволоочная рамка вращается с угловой частотой  $\omega$  вокруг линии перегиба в однородном магнитном поле индукции  $\mathbf{B}$  (см. рис.). Вектор  $\mathbf{B}$  перпендикулярен оси вращения. Сопротивление рамки равно  $R$ , а ее размеры указаны на рисунке. Пренебрегая индуктивностью рамки, найти максимальное значение индукционного тока в ней. При какой ориентации рамки достигается максимальное значение тока?



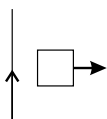
К задаче 5.78

**5.79.** Прямой провод, ток в котором поддерживается постоянным, и прямоугольная проводящая рамка расположены в одной плоскости (см. рис.). Если рамку повернуть на  $180^\circ$  вокруг дальней от провода стороны, то по рамке пройдет заряд  $q_1$ . Если рамку, не поворачивая, сместить из исходного положения так, что ближняя сторона займет место дальней, то прошедший по рамке заряд будет  $q_2$ . Какой заряд пройдет по рамке, если из исходного положения рамку повернуть на  $90^\circ$  вокруг оси, параллельной проводу и проходящей через центр рамки?



К задаче 5.79

**5.80.** При удалении проволоочной рамки с постоянной скоростью от провода с током в бесконечность (см. рис.) в рамке выделяется некоторое количество теплоты. Во сколько раз изменится выделившаяся теплота, если рамку удалять



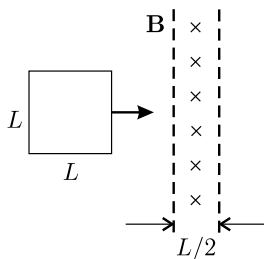
К задаче 5.80

с вдвое большей скоростью? Считать, что ток в проводе поддерживается постоянным. Индуктивностью рамки пренебречь.

**5.81.** При возрастании магнитного потока, пронизывающего проволочную рамку, от  $\Phi_0$  до  $2\Phi_0$  по закону  $\Phi(t) = \Phi_0(1 + t/\tau)$ , в ней выделяется некоторое количество теплоты. Во сколько раз изменится выделившееся в рамке тепло, если параметр  $\tau$  увеличить в 2 раза, а пределы изменения потока оставить прежними? Индуктивностью рамки пренебречь.

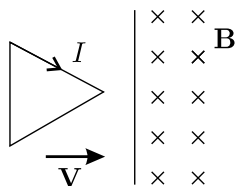
**5.82.** Плоскость тонкого проволочного кольца радиусом  $R$  перпендикулярна линиям индукции однородного магнитного поля  $\mathbf{B}$ . Индуктивность кольца  $L$ , сопротивление  $R$ . Какое количество теплоты выделится в кольце, если его быстро перевернуть на  $180^\circ$ ? Какой заряд при этом пройдет по кольцу?

**5.83.** Проволочная рамка охватывает катушку, подключенную к батарее через реостат с полным сопротивлением  $R$ . Когда сопротивление реостата уменьшили от  $R$  до  $2R/3$ , по рамке прошел заряд  $q$ . Какой заряд пройдет по рамке, если сопротивление реостата уменьшить от  $2R/3$  до  $R/3$ ? Сопротивлением катушки, батареи и подводящих проводов пренебречь.



К задаче 5.84

**5.84.** Квадратная проволочная рамка со стороной  $L$  налетает на область пространства в виде слоя толщиной  $L/2$ , где создано однородное магнитное поле с индукцией  $\mathbf{B}$ , перпендикулярной плоскости рамки (см. рис.). Масса рамки  $m$ , ее сопротивление  $R$ . С какой минимальной скоростью должна налетать рамка, чтобы полностью выйти из слоя с другой стороны? Индуктивностью рамки пренебречь, считать ориентацию рамки неизменной.

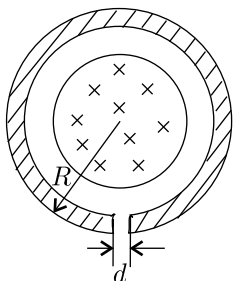


К задаче 5.85

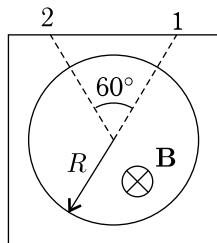
**5.85.** Проволочная рамка массой  $m$ , имеющая форму правильного треугольника со стороной  $a$ , налетает со скоростью  $\mathbf{V}$  на полупространство, где создано однородное магнитное поле с индукцией  $\mathbf{B}$ , перпендикулярной плоскости рамки (см. рис.). В рамке поддерживается постоянный ток  $I$  (направление тока указано на рисунке). Какой станет скорость рамки после того, как она окажется полностью в полупространстве с полем?

**5.86.** Квадратная рамка из проволоки, двигаясь вдоль оси  $x$  со скоростью  $V_0$ , влетает в полупространство  $x > 0$ , занятое направленным вдоль оси  $z$  неоднородным магнитным полем  $B_z(x) = B_0(1 + \alpha x)$ ,  $\alpha > 0$ . Две стороны рамки параллельны оси  $x$ , а плоскость рамки сохраняет перпендикулярную к оси  $z$  ориентацию. На какое расстояние рамка проникнет в область, занятую полем, если даны масса рамки  $m$  и сторона  $b$  и известно, что к моменту, когда магнитное поле будет пересекать всю плоскость рамки, в ней выделяется столько же тепла, сколько и при последующем движении до полной остановки? Чему равно сопротивление рамки? При расчете пренебречь индуктивностью рамки и считать, что  $\alpha b \ll 1$ .

**5.87.** Проводящее кольцо радиусом  $R$  с небольшим разрезом шириной  $d$  симметрично охватывает длинный соленоид (см. рис.), индукция магнитного поля в котором линейно изменяется во времени. Считая толщину кольца много меньше  $R$  и много больше  $d$ , найти отношение напряженностей двух электрических полей — кулоновского и вихревого — внутри разреза.

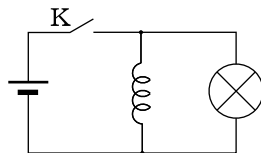


К задаче 5.87



К задаче 5.88

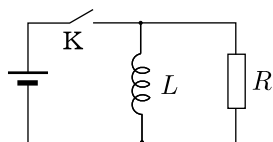
**5.88.** Проводящая квадратная рамка симметрично охватывает соленоид радиусом  $R$ . Магнитное поле внутри соленоида направлено за чертеж и линейно нарастает во времени:  $B = \alpha t$ . Пренебрегая магнитным полем вне соленоида, найти возникающую из-за разделения зарядов в рамке разность потенциалов между точками 1 и 2, равноудаленными от вершин квадрата (см. рис.).



К задаче 5.89

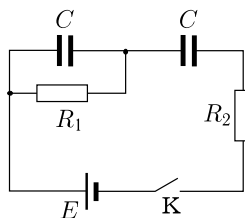
**5.89.** В схеме, приведённой на рисунке, при замкнутом ключе  $K$  на лампе выделяется мощность 50 Вт, а на катушке — 150 Вт. Какая мощность будет выделяться в лампе сразу после размыкания

ключа? Сопротивлением батареи пренебречь, а сопротивление лампы считать не зависящим от накала.



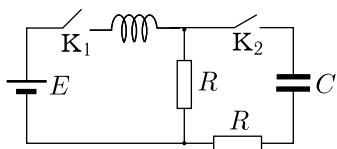
К задаче 5.90

**5.90.** В схеме, приведённой на рисунке, катушку индуктивностью  $L$  и резистор сопротивлением  $R$  подключили к батарее, на некоторое время замкнув ключ  $K$ . В течение какого времени был замкнут ключ, если после его размыкания в резисторе выделилось в пять раз большее количество теплоты, чем за время, пока ключ был замкнут? Внутренним сопротивлением батареи и омическим сопротивлением катушки пренебречь.



К задаче 5.91

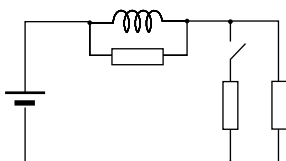
**5.91.** В схеме, приведённой на рисунке, ЭДС батареи  $E$ , ёмкости конденсаторов одинаковы и равны  $C$ , внутреннее сопротивление батареи пренебрежимо мало. Вначале конденсаторы разряжены, ключ  $K$  разомкнут. Найти количество теплоты, которое выделится после замыкания ключа в каждом из резисторов, для двух предельных случаев:  $R_1 \gg R_2$  и  $R_1 \ll R_2$ .



К задаче 5.92

**5.92.** В схеме, приведённой на рисунке, ключи  $K_1$  и  $K_2$  вначале были разомкнуты, а конденсатор не заряжен. Через некоторое время после замыкания ключа  $K_1$ , когда ток через катушку стал равен  $E/(2R)$ , замыкают ключ  $K_2$ .

Чему равнялось напряжение на катушке непосредственно перед замыканием ключа  $K_2$  и сразу после замыкания? Сопротивлением катушки и внутренним сопротивлением батареи пренебречь.



К задаче 5.93

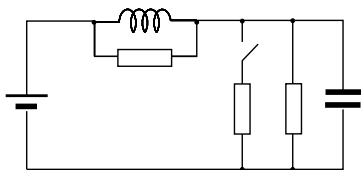
**5.93.** В схеме, изображённой на рисунке, ЭДС батареи 12 В, сопротивления всех резисторов одинаковы и равны 4 Ом, омическое сопротивление катушки и внутреннее сопротивление батареи пренебрежимо малы. Перед замыканием ключа цепь находится в стационарном состоянии, когда токи постоянны.



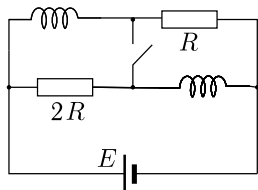
Указать токи во всех резисторах сразу после замыкания ключа и через большой промежуток времени после замыкания.

**5.94.** В схеме, изображенной на рисунке, ЭДС батареи 12 В, сопротивления всех резисторов одинаковы и равны 4 Ом, омическое сопротивление катушки и внутреннее сопротивление батареи пренебрежимо малы. Указать токи во всех резисторах при разомкнутом ключе, сразу после его замыкания и через большой промежуток времени после замыкания.

**5.95.** В схеме, приведённой на рисунке, значения сопротивлений отличаются вдвое, ЭДС батареи  $E$ , внутреннее сопротивление батареи и омические сопротивления катушек пренебрежимо малы. Перед замыканием ключа цепь находится в стационарном состоянии, когда токи постоянны. Найти ток через батарею и напряжения на катушках сразу после замыкания ключа.

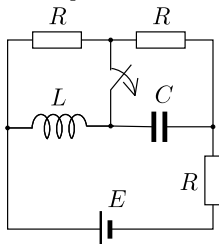


К задаче 5.94

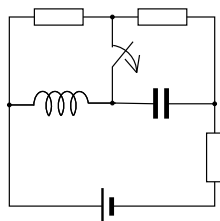


К задаче 5.95

**5.96.** В схеме, приведённой на рисунке,  $R = 2\text{ Ом}$ ,  $C = 10\text{ мкФ}$ ,  $L = 1\text{ мГн}$ ,  $E = 12\text{ В}$ . Внутреннее сопротивление батареи и омическое сопротивление катушки индуктивности пренебрежимо малы. Во сколько раз отличаются энергии, запасенные в катушке и конденсаторе при замкнутом ключе перемычки? Найти ток через батарею сразу после размыкания ключа. Найти энергию, которая будет запасена в конденсаторе через большой промежуток времени после размыкания ключа.



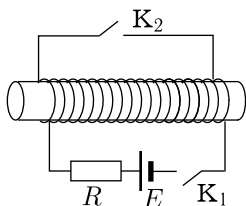
К задаче 5.96



К задаче 5.97

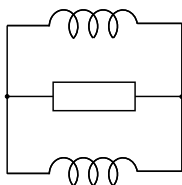
**5.97.** В схеме, приведённой на рисунке, все резисторы одинаковы, ЭДС батареи равна 12 В, а внутреннее сопротивление батареи и омическое сопротивление катушки индуктивности

пренебрежимо малы. Перед размыканием ключа цепь находится в стационарном состоянии, когда токи постоянны. Найти напряжение на катушке сразу после размыкания ключа.



К задаче 5.98

**5.98.** Две одинаковые катушки намотаны на один каркас. Первая через ключ  $K_1$  может включаться в цепь с сопротивлением  $R$  и ЭДС  $E$  (см. рис.). Вторая через ключ  $K_2$  может замыкаться накоротко. Вначале ключи разомкнуты. Через некоторое время после замыкания ключа  $K_1$ , когда ток через сопротивление  $R$  достигает значения  $0,5E/R$ , замыкают ключ  $K_2$ . Какими после этого будут токи в катушках? Каким станет ток во второй катушке, если ключ  $K_1$  разомкнуть?



К задаче 5.99

**5.99.** В цепи, представленной на рисунке, индуктивности катушек одинаковы, а их активное сопротивление равно нулю. В цепи циркулирует постоянный ток. Из одной катушки резко вынимают сердечник, уменьшая тем самым её индуктивность вдвое. После установления тока сердечник очень медленно вдвигают обратно в катушку. Какая доля первоначальной энергии тока выделится в виде тепла на резисторе?

**5.100.** Неоновая лампа  $L$  через сопротивление  $R = 1000 \text{ Ом}$  подключена к источнику (см. рис. 1), напряжение которого  $V_{\text{ист}}$  меняется во времени по закону, представленному на рис. 2.

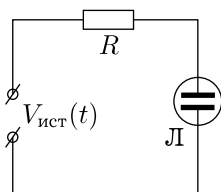


Рис. 1

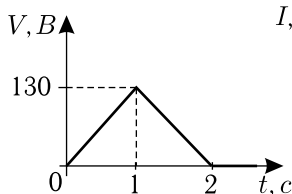


Рис. 2

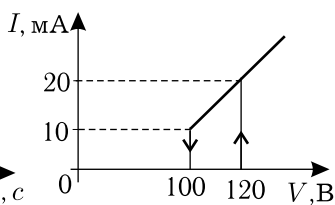


Рис. 3

К задаче 5.100

Вольтамперная характеристика лампы (т.е. зависимость тока через лампу от напряжения на ней) дана на рис. 3. При уве-

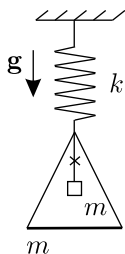
личении напряжения  $V$  на лампе она зажигается (начинает пропускать ток) при  $V = 120$  В, с уменьшением  $V$  лампа гаснет при  $V = 100$  В. Построить график зависимости тока через лампу от времени. Найти полный заряд, прошедший через нее.

**5.101.** Для уменьшения средней мощности, выделяемой на включенной в сеть переменного тока лампе, последовательно с ней поставили диод. Прямое сопротивление диода много меньше сопротивления лампы, а обратное — равно сопротивлению лампы. Во сколько раз изменилась средняя за период мощность, выделяемая в лампе?

**5.102.** Слой плазмы (ионизованного газа) поместили в однородное электрическое поле, напряженность которого  $E_0$  перпендикулярна слою. Чему равна концентрация электронов плазмы, если смещение электронов относительно ионов (после затухания возникших колебаний) равно  $x$ ? На какой частоте будут происходить малые колебания «электронного» слоя относительно «ионного» после выключения поля  $E_0$ ? Заряд и масса электрона известны. Считать, что массивные ионы не участвуют в колебаниях.

**5.103.** Плазменный шар (сгусток ионизованного газа) поместили в однородное электрическое поле напряженностью  $E_0$ . В результате смещения электронов плазмы относительно ионов напряженность электрического поля внутри шара обратилась в нуль. Чему равно максимальное значение напряженности результирующего электрического поля вне шара? На какой частоте могут происходить малые колебания «электронного» шара относительно «ионного», если концентрация электронов равна  $N$ ?

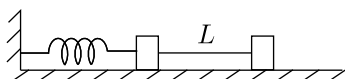
## 6. МЕХАНИЧЕСКИЕ И ЭЛЕКТРИЧЕСКИЕ КОЛЕБАНИЯ



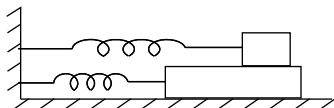
К задаче 6.1

**6.1.** К пружине жесткости  $k$  прикреплена чашка массой  $m$  и подвешен на нити кусок пластилина той же массы (см. рис.). После пережигания нити соударение пластилина с чашкой происходит в момент, когда пружина оказывается недеформированной. Считая соударение абсолютно неупругим, найти амплитуду последующих колебаний чашки с прилипшим пластилином на пружине.

**6.2.** Два груза с равными массами, соединенные идеальной нитью длиной  $L$ , расположены на гладком горизонтальном столе. Один из грузов прикреплен к стенке невесомой пружиной (см. рис.). На какое расстояние следует сместить грузы вправо (растянув пружину), чтобы в ходе последующего движения эти грузы остановились после их абсолютно неупругого соударения?



К задаче 6.2

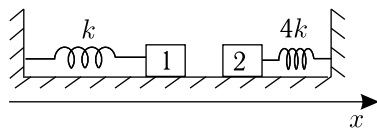


К задаче 6.3

**6.3.** Брусок массой  $m$  находится на дощечке той же массы, лежащей на гладком горизонтальном столе. Тела прикреплены к вертикальной стенке пружинами жесткостью  $k$  каждая (см. рис.), коэффициент трения между бруском и дощечкой равен  $\mu$ . В начальном положении прикрепленная к бруску пружина растянута на  $\mu mg/k$  ( $g$  — ускорение свободного падения), нижняя пружина недеформирована, тела удерживаются неподвижными. Найти амплитуду и период колебаний бруска, а также действующую на брусок силу трения после освобождения тел.

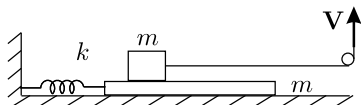
**6.4.** Два груза с равными массами  $m$  находятся на гладком горизонтальном столе и прикреплены к стенкам пружинами с коэффициентами упругости  $k$  и  $4k$  (см. рис.). Грузы одновременно приводят в колебательное движение вдоль оси  $x$ :

первый — толкают влево, второй — отпускают, предварительно сжав пружину. Максимальные кинетические энергии грузов равны  $E_0$ . До какого минимального расстояния сблизятся грузы в процессе колебаний, если расстояние между ними при недеформированных пружинах равно  $2\sqrt{2E_0/k}$ ? Через какое время после начала колебаний достигается это минимальное расстояние?

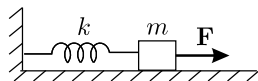


К задаче 6.4

**6.5.** Груз массой  $m$ , находящийся на гладком горизонтальном столе, прикреплен к стенке пружиной с жесткостью  $k$  и совершает колебания с амплитудой  $A_0$ . В момент, когда пружина максимально растянута, включается на  $1/2$  периода постоянная сила  $F_0$ , приложенная к телу и направленная к стенке. Чему будет равна максимальная скорость груза после выключения силы  $F_0$ ? Чему будет равна максимальная скорость груза после пяти таких включений и выключений силы  $F_0$ ?



К задаче 6.6

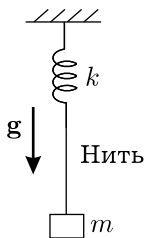


К задаче 6.7

**6.6.** На доску массой  $m$ , лежащую на гладком столе и скрепленную со стеной пружиной с жесткостью  $k$ , положили брусок той же массы, к которому привязана горизонтальная нить (см. рис.). В некоторый момент нить начали выбирать с постоянной скоростью  $V$ . Считая, что коэффициент трения между доской и бруском равен  $\mu$ , найти перемещение доски до ее первой остановки.

**6.7.** Тело массой  $m$  лежит на гладком горизонтальном столе и прикреплено к стенке недеформированной пружиной с жесткостью  $k$  (см. рис.). К телу прикладывают постоянную горизонтальную силу  $F$ , направленную от стенки. Сколько времени должна действовать сила, чтобы максимальное смещение тела от начального положения равнялось  $F/k$ ?

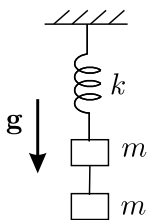
**6.8.** Груз массой  $m$ , подвешенный к потолку с помощью нити и пружины с жесткостью  $k$  (см. рис.), смещают вниз от положения равновесия на  $2mg/k$  и освобождают. Какой путь пройдет груз при его первом движе-



К задаче 6.8

нии вверх? Считать, что нить достаточно длинная, так что груз не наталкивается на пружину.

**6.9.** Подвешенный к потолку на пружине шарик совершает гармонические колебания с амплитудой  $A$ . Не останавливая колебаний шарика, снизу подносят упруго отражающую горизонтальную плоскость. На каком расстоянии от положения равновесия нужно поместить эту плоскость, чтобы последовательные удары шарика о плоскость происходили через промежутки времени, составляющие  $2/3$  периода исходных гармонических колебаний?



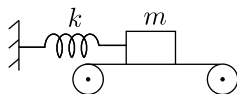
К задаче 6.10

**6.10.** Два груза с одинаковыми массами  $m$ , связанные невесомой нитью, прикрепляют к висющей пружине с жёсткостью  $k$  и отпускают (см. рис.). Максимальная сила натяжения, которую выдерживает нить, равна  $3mg/2$ . Найти максимальное удлинение пружины.

**6.11.** На доске массой  $M$ , покоящейся на гладкой горизонтальной поверхности и прикреплённой к стене пружиной с жёсткостью  $k$ , сидит собака массой  $m$  (см. рис.). В некоторый момент собака начинает бежать по доске по направлению к стене с постоянной относительно доски скоростью  $V$ . На сколько собака приблизится к стене к моменту первого максимального сокращения пружины?

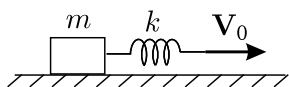


К задаче 6.11



К задаче 6.12

**6.12.** Груз массой  $m$ , прикрепленный к стене недеформированной пружиной с жёсткостью  $k$ , находится на неподвижной ленте транспортера (см. рис.). Коэффициент трения между лентой и грузом равен  $\mu$ . С момента времени  $t = 0$  скорость ленты начинает возрастать по закону  $V = at$ . Найти амплитуду возникших колебаний груза.

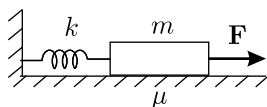


К задаче 6.13

**6.13.** На горизонтальном столе находится груз массой  $m$ , к которому прикреплена пружина с жёсткостью  $k$  (см. рис.). Коэффициент трения между грузом и столом  $\mu$ . С некоторого момента свободный конец пружины начал двигать с постоянной скоростью  $V_0$ .

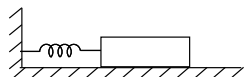
Каких максимальных значений будут достигать в процессе движения скорость груза и упругая сила?

**6.14.** Тело массой  $m$  лежит на горизонтальном столе и прикреплено к стенке пружиной жесткостью  $k$  (см. рис.). Коэффициент трения между телом и столом  $\mu$ , в начальном положении пружина недеформирована. К телу прикладывают постоянную горизонтальную силу  $F$ , направленную от стенки. Нарисовать график зависимости конечного (когда тело остановится) растяжения пружины  $\Delta L$  от абсолютной величины силы  $F$ .



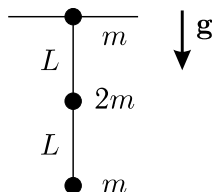
К задаче 6.14

**6.15.** Кусок льда, прикрепленный пружиной к стенке, совершает колебания на гладкой горизонтальной плоскости (см. рис.). Из-за таяния масса льда уменьшилась вдвое. Как при этом изменилась амплитуда колебаний? Считать, что таяние происходит медленно, а образующаяся вода не препятствует колебаниям.



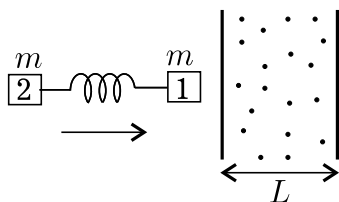
К задаче 6.15

**6.16.** Три шарика массами  $m$ ,  $2m$  и  $m$  соединены идеальными нитями длиной  $L$  каждая (см. рис.). Верхний шарик нанизан на горизонтальную спицу и может скользить по ней без трения. Найти гармоническую горизонтальную силу, которую следует приложить к шарiku на спице для того, чтобы обеспечить вертикальную ориентацию верхней нити при колебаниях нижнего шарика с амплитудой  $\alpha_0$  угла отклонения его подвеса ( $\alpha_0 \ll 1$ ). На каких частотах могут происходить малые колебания в данной системе, если к верхнему шарiku горизонтальную силу не прикладывать?



К задаче 6.16

**6.17.** Два груза с равными массами  $m$  соединены идеальной пружиной и движутся с некоторой скоростью по гладкой части горизонтального стола. Вектор скорости направлен вдоль пружины, которая остается недеформированной до «наезда» первого груза на шероховатую полосу (за полосой стол снова становится гладким). Полоса

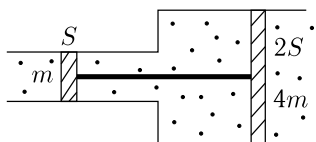


К задаче 6.17

ориентирована перпендикулярно скорости грузов и имеет ширину  $L$  (см. рис.). Коэффициент трения между первым грузом и шероховатым участком равен  $\mu$ , второй груз по всей поверхности стола движется без трения. При каких значениях жесткости пружины начальная скорость грузов, необходимая для преодоления ими полосы, будет минимальной? Чему равно это минимальное значение скорости?

**6.18.** По наклонной грани клина, неподвижно стоящего на шероховатом горизонтальном столе, соскальзывает из верхней точки кубик массой  $m$ . Эта грань, ориентированная под углом  $\alpha$  к горизонту, состоит из двух участков длиной  $L$  каждый: верхнего — на котором коэффициент трения меняется по закону  $\mu = (x/L) \operatorname{tg} \alpha$  (ось  $x$  направлена вдоль наклонной грани клина, на вершине  $x = 0$ ) и нижнего — с  $\mu = (x/L - 1) \operatorname{tg} \alpha$ . Построить график зависимости от времени силы трения, действующей на клин со стороны стола и обеспечивающей неподвижность клина. Начальная скорость кубика равна нулю.

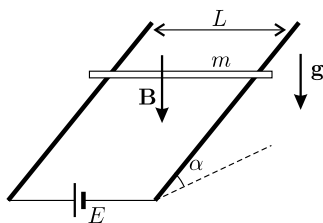
Указание. Наиболее простое решение получается на основе аналогии между движением кубика на участке с переменным коэффициентом трения и колебаниями груза на пружине.



К задаче 6.19

**6.19.** В двух горизонтальных трубах с сечениями  $S$  и  $2S$ , герметично соединённых между собой и открытых с других концов в атмосферу, находятся два поршня массами  $m$  и  $4m$  (см. рис.). Между поршнями, которые жёстко связаны невесомым стержнем длиной  $L$ ,

находится идеальный газ. Поршни могут скользить в трубах без трения и в начальном положении отстоят от места соединения труб на  $L/2$ . Найти период малых колебаний поршней вдоль труб, считая, что температура газа между поршнями не меняется. Атмосферное давление равно  $p_0$ .



К задаче 6.20

**6.20.** Две параллельные шины с погонным сопротивлением  $\lambda$  расположены на расстоянии  $L$  друг от друга в плоскости, наклоненной под углом  $\alpha$  к горизонту, и подключены к батарее с ЭДС  $E$ . По шинам может скользить без трения перпендикулярная к ним перемычка массой  $m$  (см. рис.). Проводящий

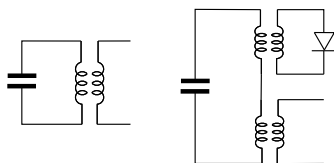


контур пронизывается вертикальным магнитным полем с индукцией  $\mathbf{B}$ . Пренебрегая сопротивлением горизонтальных участков контура (в том числе и внутренним сопротивлением батареи), найти равновесное положение переключки. Каким будет период малых колебаний переключки, если ее слегка сдвинуть от этого положения? Индукционными явлениями пренебречь.

**6.21.** В колебательном контуре без потерь амплитуда заряда на конденсаторе равна  $10^{-7}$  Кл. Известно, что в ходе колебаний за промежутки времени  $10^{-6}$  с заряд конденсатора изменился на  $10^{-7}$  Кл. При каком минимальном значении амплитуды тока в контуре это возможно?

**6.22.** В контур с известными значениями индуктивности  $L$  и ёмкости  $C$ , колебания в котором отсутствовали, в момент времени  $t = 0$  последовательно включается ЭДС, изменяющаяся по закону  $E(t) = E_0 \cos \frac{2t}{\sqrt{LC}}$ . Какого максимального значения будет достигать заряд на конденсаторе?

**6.23.** При подключении конденсатора, заряженного до некоторого напряжения, к трансформатору с разомкнутой вторичной обмоткой (см. левый рисунок) в цепи возникают колебания с периодом  $T_0$  и амплитудой тока  $I_0$ . Нарисовать график за-



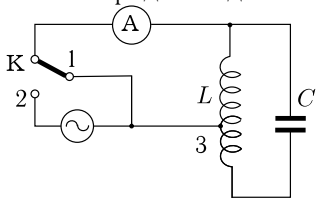
К задаче 6.23

висимости от времени тока в первичных обмотках двух таких трансформаторов, подключенных последовательно к этому конденсатору с тем же начальным зарядом. У одного из трансформаторов вторичная обмотка по-прежнему разомкнута, а у другого — замкнута на идеальный диод (см. правый рисунок). Прямое сопротивление диода равно нулю, обратное — бесконечности, взаимного магнитного потока между трансформаторами нет.

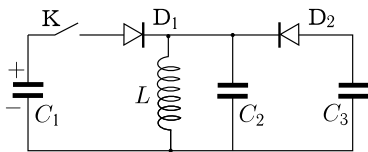
**6.24.** В цепи, приведённой на рисунке, ёмкость конденсатора равна  $C$ , индуктивность катушки  $L$ , вывод 3 сделан из середины катушки, ключ  $K$  находится в положении 1. Колебания в цепи отсутствуют. Перебросив ключ  $K$  в положение 2, в цепь включили генератор синусоидальной ЭДС амплитудой  $E_0$ . Через некоторое время амперметр переменного тока снова показывает нуль. Найти частоту генератора и амплитуду заряда на конденсаторе.

**6.25.** В схеме, приведенной на рисунке, ёмкости всех конденсаторов одинаковы и равны  $C$ , индуктивность катушки  $L$ . Сопротивление диодов прямому току пренебрежимо мало, обратному — бесконечно велико. В исходном состоянии заряжен

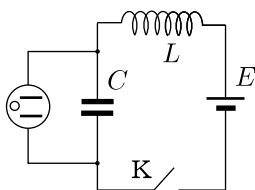
только конденсатор  $C_1$  — до заряда  $q_0$  (полярность указана на рисунке). Ключ  $K$  замыкают. Нарисовать график зависимости от времени заряда конденсатора  $C_2$ .



К задаче 6.24



К задаче 6.25



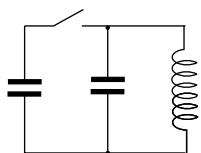
К задаче 6.26

**6.26.** В схеме с известными ёмкостью  $C$ , индуктивностью  $L$  и ЭДС  $E$  параллельно конденсатору подключена неоновая лампа (см. рис.), напряжения зажигания и гашения которой равны соответственно  $3E/2$  и  $E/2$ . Сопротивление горячей лампы можно считать равным нулю, а погашенной — бесконечности. В момент времени  $t = 0$  замыкается

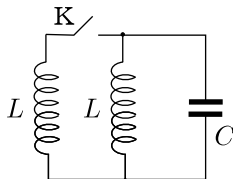
ключ  $K$ . Построить график зависимости заряда конденсатора от времени и найти средний за большое время ток через батарею. До замыкания ключа конденсатор не был заряжен.

**6.27.** В колебательном контуре (см. рис.) происходят колебания с амплитудой тока  $I_0$ . В момент, когда ток в контуре был равен  $0,5I_0$ , замыкая ключ, к конденсатору контура подключили такой же незаряженный. Какой стала амплитуда тока в контуре?

**6.28.** В колебательном контуре с заданными индуктивностью  $L$  и ёмкостью  $C$  происходят колебания с амплитудой тока  $I_0$ . В момент, когда ток в контуре был равен максимальному значению, замыкая ключ  $K$ , параллельно катушке подключают такую же катушку (см. рис.). Через какое время после подключения второй катушки заряд на конденсаторе достигнет максимального значения? Чему равно это максимальное значение?



К задаче 6.27



К задаче 6.28

## ОТВЕТЫ И РЕШЕНИЯ

В ряде случаев для краткости решений (ответов) задач, данные которых приведены в численном виде, формулы записаны в смешанном «численно-буквенном» виде. При этом необходимо иметь в виду, что числа в этих формулах могут иметь размерности.

**1.1.** Спортсмен преодолевает  $2N_0$  ступенек.

**1.2.** Человек преодолеет  $N_0 V_2 / (V_1 + V_2)$  ступенек.

**1.3.** Колонна будет иметь длину  $2L$ .

Указание. Скорость машины относительно бегущих в исходном направлении спортсменов равна  $2V$ , где  $V$  — скорость спортсменов. Поэтому время разворота колонны составит  $L/(2V)$ . За это время первый развернувшийся пробежит  $L/2$  в обратном направлении, а последний развернувшийся пробежит  $L/2$  в исходном направлении. Поскольку перед началом разворотов первого и последнего разделяла дистанция  $L$ , длина новой колонны будет  $L + L/2 + L/2 = 2L$ .

Возможно и более короткое решение. За время разворота колонны первый развернувшийся спортсмен удалится от машины на расстояние  $4V \cdot L/(2V) = 2L$ . Это и будет длина развернувшейся колонны.

**1.4.** Пусть  $V$  — скорость, с которой наблюдатель движется по шоссе. Тогда его скорость относительно любого бегуна равна  $(V - 20)$  км/ч, а скорость любого велосипедиста относительно наблюдателя составляет  $(40 - V)$  км/ч. Бегунов наблюдатель догоняет через промежутки времени

$$\Delta t_1 = \frac{0,02}{V - 20},$$

а велосипедисты догоняют наблюдателя через

$$\Delta t_2 = \frac{0,03}{40 - V}.$$

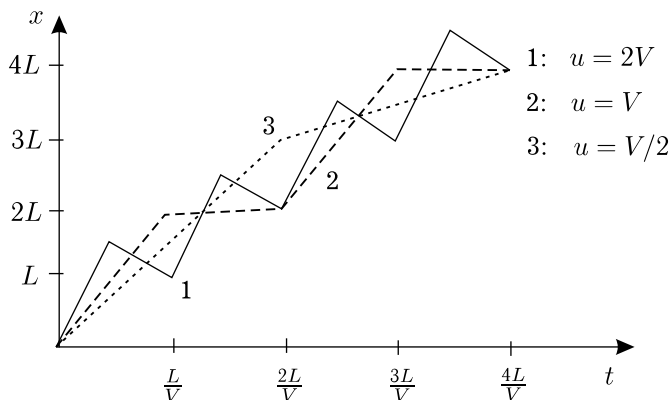
По условию задачи, промежутки времени  $\Delta t_1$  и  $\Delta t_2$  должны быть равными:

$$\frac{0,02}{V - 20} = \frac{0,03}{40 - V},$$

откуда  $V = 28$  км/ч.

**1.5.** Велосипедисты проезжают мимо бегуна через 5 с. Велосипедист догонит следующего бегуна через 2,5 с.

**1.6.** Искомый график см. на рисунке. При построении графика предполагалось, что в момент времени  $t = 0$  шарик и левая стенка тележки имеют координату  $x = 0$ .



К задаче 1.6

**1.7.** Расстояние между пунктами А и В составляет 21 км. Отношение скоростей равно  $V_A/V_B = 3/4$ .

**1.8.** Ключом к решению задачи является понимание того факта, что суммарный путь, пройденный велосипедистами с момента их выезда до первой встречи (расстояние АВ), в два раза меньше суммарного пути, пройденного между первой и второй встречами. В силу постоянства скоростей велосипедистов каждый из них от момента старта до первой встречи проходит вдвое меньший путь, чем он же от первой встречи до второй. Поэтому, обозначая точки первой и второй встреч соответственно через С и D, можно записать уравнение, связывающее пути, пройденные, например, первым велосипедистом

$$2AC = CB + BD = AB - AC + BD.$$

Подставляя сюда значение AC, равное 8 км, получаем

$$BD = 24 - AB.$$

Это равенство следует дополнить очевидным ограничением

$$0 < BD < AB.$$

Из записанных условий находим двойное неравенство, которому должно удовлетворять расстояние АВ между пунктами:

$$12 < AB < 24.$$

Используя формулу, связывающую  $BD$  и  $AB$ , получаем возможный интервал расстояний от точки второй встречи до пункта  $B$ :

$$0 < BD < 12 \text{ км.}$$

**1.9.** Автомобили достигнут пунктов назначения одновременно через время  $t = 2S/(V_1 + V_2)$ .

**1.10.** Велосипедисты встретятся через 2 мин.

**1.11.** В процессе движения расстояние между частицами достигает максимального значения  $L_{\max} = R\sqrt{\frac{\pi^2}{4} - \pi + 2} \approx 1,15R$ .

**1.12.** Наименьшее время равно  $1,5R/V$ .

**1.13.** Скорость более медленного автомобиля составляет  $3/4$  от скорости более быстрого.

Указание. Скорость удаления автомобилей при движении по взаимно перпендикулярным шоссе будет постоянной только при совпадении скорости удаления с относительной скоростью. Последнее достигается в том случае, когда вектор относительной скорости направлен вдоль прямой, соединяющей автомобили.

**1.14.** В первом случае, при движении автомобилей по одному шоссе, максимальная скорость сближения равна сумме скоростей автомобилей  $U_{\text{I max}} = V_1 + V_2$ . Во втором случае, при движении по взаимно перпендикулярным шоссе, минимальная скорость сближения  $U_{\text{II min}}$  имеет место в ситуации, когда более быстрый автомобиль, например второй, проходит перекресток, а более медленный, пусть первый, еще приближается к перекрестку. При этом  $U_{\text{II min}} = V_1$ . Таким образом, отношение  $U_{\text{I max}}/U_{\text{II min}} = (V_1 + V_2)/V_1$  и может быть сколь угодно большим при  $V_1 \ll V_2$ .

**1.15.** Более быстрый автомобиль будет находиться на расстояниях 80 м и 280 м.

**1.16.** Скорость куска льда в поперечном к шоссе направлении равна  $V \sin \alpha \cos \alpha$ .

Указание. Вектор скорости куска льда направлен перпендикулярно ношу бульдозера.

**1.17.** От пуска до поражения цели прошло время  $0,5(\sqrt{5} - 1)L/V$ . Скорость ракеты в момент движения в вертикальном направлении равнялась  $0,5(\sqrt{5} + 1)V$ . Максимальная относительная скорость ракеты и самолета равнялась  $V\sqrt{(5 + \sqrt{5})/2}$ .

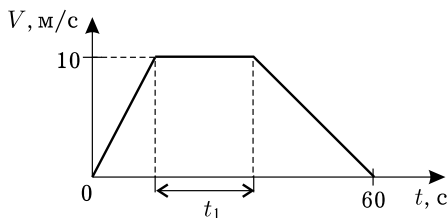
**1.18.** Прохождение электричек мимо друг друга займет 5,25 с.

**1.19.** Обозначив начальную скорость и ускорение автомобиля через  $V_0$  и  $a$ , составим два уравнения:

$$V_0 t_1 - \frac{at_1^2}{2} = 51 \text{ м}, \quad (V_0 - at_1) t_2 - \frac{at_2^2}{2} = 24 \text{ м},$$

где  $t_1$  и  $t_2$  — соответственно 3 с и 2 с. Из данной системы уравнений находим  $V_0 = 20 \text{ м/с}$  и  $a = 2 \text{ м/с}^2$ . Полный путь автомобиля до остановки равен  $V_0^2/(2a) = 100 \text{ м}$ , а искомое расстояние составляет  $100 - (51 + 24) = 25 \text{ м}$ .

**1.20.** Человек вышел из вагона на расстоянии 27,5 м от хвоста поезда.



К задаче 1.21

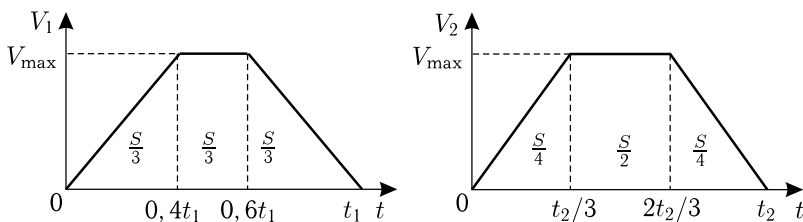
**1.21.** Проще всего дать графическое решение задачи. Построим возможный график зависимости скорости автобуса от времени. При построении учтено, что максимальная скорость равна 10 м/с (36 км/ч), а полное время движения между остановками равно 60 с. Неизвестный отрезок времени  $t_1$ , на котором автобус равномерно движется со своей максимальной скоростью, может быть легко найден из площади трапеции:

$$S = 400 \text{ м} = 10 \left( \frac{t_1 + 60}{2} \right),$$

откуда  $t_1 = 20 \text{ с}$  и путь  $S_1$ , пройденный на скорости 36 км/ч, равен 200 м.

**1.22.** Наибольшую скорость имел первый поезд, она равнялась 80 км/ч.

**1.23.** Задачу легко решить, если построить графики зависимостей скоростей  $V_{1,2}(t)$  для первой и второй электричек (см. рисунки).



К задаче 1.23

Получившиеся равнобедренные трапеции имеют равные площади (электрички проходят одинаковые расстояния  $S$ ) и равные высоты (одинаковы максимальные скорости электричек). Кроме того, на рисунках указаны площади двух треугольников и прямоугольника, из которых составляется каждая трапеция. Для первой трапеции площади треугольников и прямоугольника равны по условию, откуда, как следствие, получаются моменты  $0,4t_1$  и  $0,6t_1$ , в которые меняется характер движения первой электрички.

Из равенства путей (и площадей трапеций) получаем первое уравнение:

$$\frac{1}{2}V_{\max}(t_1 + 0,2t_1) = \frac{1}{2}V_{\max}(t_2 + \frac{1}{3}t_2). \quad (1)$$

Второе уравнение получается из соотношения между временами движения электричек (в минутах):

$$t_1 = t_2 + 2. \quad (2)$$

Из уравнений (1) и (2) можно найти, например, время движения первой электрички:

$$t_1 = 20 \text{ мин} = \frac{1}{3} \text{ часа},$$

откуда

$$S = \frac{1}{2}V_{\max}(t_1 + 0,2t_1) = \frac{1}{2} \cdot 70 \cdot \left(\frac{6}{15}\right) = 14 \text{ км}.$$

**1.24.** Обозначив начальную скорость и ускорение соответственно как  $V_0$  и  $a$ , для двух последовательных отрезков пути имеем, что

$$S_1 = V_0 t_1 + \frac{at_1^2}{2},$$

$$S_2 = (V_0 + at_1)t_2 + \frac{at_2^2}{2}.$$

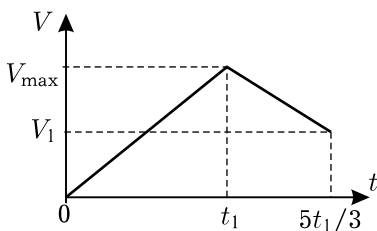
Поделив первое соотношение на  $t_1$ , а второе на  $t_2$ , после вычислений исключаем  $V_0$ :

$$\frac{S_2}{S_2} - \frac{S_1}{t_1} = at_1 + \frac{at_2}{2} - \frac{at_1}{2}.$$

Из этого уравнения легко находится ускорение:

$$a = \frac{2(S_2 t_1 - S_1 t_2)}{t_1 t_2 (t_1 + t_2)}.$$

**1.25.** Задачу легко решить, построив график зависимости скорости тела от времени. Поскольку пути, пройденные на участках разгона и торможения одинаковы, одинаковы и площади под графиком на этих участках (площадь треугольника равна площади трапеции). Выразим средние скорости  $V_{1\text{ср}}$  и  $V_{2\text{ср}}$  на участках разгона и торможения через максимальную скорость  $V_{\text{max}}$



К задаче 1.25

и конечную  $V_1$ :  $V_{1\text{ср}} = V_{\text{max}}/2$ ,  $V_{2\text{ср}} = (V_{\text{max}} + V_1)/2$ . Поскольку средние скорости, по условию, отличаются в 1,5 раза, можно  $V_1$  выразить через  $V_{\text{max}}$ :  $V_1 = V_{\text{max}}/2$ . Так как пути разгона и торможения одинаковы, а средние скорости отличаются в 1,5 раза, то во столько же раз отличаются

отрезки времен, когда идёт разгон и торможение (это отражено и на графике). Выражая величины ускорений  $a_1$  и  $a_2$  на участках разгона и торможения, находим их отношение:

$$\frac{a_1}{a_2} = \frac{V_{\text{max}}}{t_1} \left( \frac{V_{\text{max}} - V_1}{2/3 t_1} \right)^{-1} = \frac{4}{3}.$$

**1.26.** Ускорение разгона в 2 раза больше ускорения торможения, а время разгона в 2 раза меньше.

**1.27.** Очевидно, что частица останавливается в конце четвертой секунды. Следовательно, средняя скорость за все время движения составляет 10 м/с, а пройденный путь равен 40 м.

**1.28.**  $t_2 = \frac{3}{2}t_1 + \frac{2V_0}{a_0}.$

**1.29.**  $V_x = 4\pi$  м/с.

**1.30.** Представим проекцию ускорения  $a_x$  в виде отношения приращения проекции скорости  $\Delta V_x$  к соответствующему интервалу времени  $\Delta t$ :  $a_x = \Delta V_x / \Delta t$ . Умножив и поделив правую часть этого соотношения на  $\Delta x$ , получим для  $a_x$  выражение вида

$$a_x = V_x \frac{\Delta V_x}{\Delta x}.$$

Взяв значения  $V_x$  и  $\Delta V_x / \Delta x$  из графика, данного в условии задачи, находим:  $a_x(0) = 0$ ,  $a_x(5) = 5 \text{ м/с}^2$ ,  $a_x(10) = -5 \text{ м/с}^2$ ,  $a_x(15) = 0$ . Заметим, что в точках  $x = 0$  и  $x = 15 \text{ м}$  производная  $\Delta V_x / \Delta x$  не определена (функция  $V_x(x)$  имеет излом). Однако, из-за обращения в нуль скорости  $V_x$  значения ускорения в этих точках также равны нулю.



**1.31.** Частица будет иметь скорость  $\sqrt{356}$  м/с  $\approx 18,9$  м/с.

**1.32.** Частица вернется через 8 с.

Указание. Данная в условии связь координаты и скорости соответствует движению с постоянным ускорением. Сопоставляя эту связь с формулой  $V_x^2 - V_{0x}^2 = 2a_x \Delta x$ , находим  $a_x = -0,25$  м/с<sup>2</sup>,  $V_{0x} = 1$  м/с. **1.33.** Пройденный первым телом путь в  $7/5$  раза больше, чем пройденный вторым телом.

**1.34.** Минимальный путь равен  $10(\sqrt{2} - 1) \approx 4$  м.

**1.35.** Перемещения доски и бруска относительно стола равны 1 м и 3 м соответственно.

**1.36.** Максимальное расстояние, на которое первая частица обгонит вторую, равно  $\frac{V_0^2}{2(a_2 - a_1)}$ . Вторая частица догонит первую через время  $\frac{2V_0}{a_2 - a_1}$ .

Указание. В момент времени  $t_1$ , когда первая частица удалится от второй на максимальное расстояние, скорости частиц станут равными, т. е.  $V_0 + a_1 t_1 = a_2 t_1$ . Выражая отсюда  $t_1$ , находим максимальное расстояние по формуле

$$S_{\max} = V_0 t_1 + \frac{a_1 t_1^2}{2} - \frac{a_2 t_1^2}{2}.$$

Время  $t_2$ , через которое вторая частица догонит первую, находим из условия

$$V_0 t_2 + \frac{a_1 t_2^2}{2} = \frac{a_2 t_2^2}{2}.$$

**1.37.** Частицы смогут оказаться в одной точке, если скорость второй частицы не меньше, чем  $V_0(\sqrt{2} - 1)$ .

Указание. Один из способов решения — приравнять координаты частиц в момент времени  $t$  и наложить условие совпадения корней получившегося квадратного уравнения для  $t$ .

**1.38.** Частицы окажутся на минимальном расстоянии  $L/2$  в момент времени  $L/(2V_0)$ .

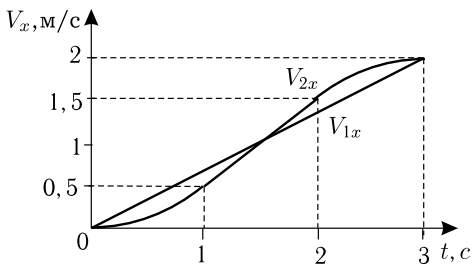
**1.39.** Частицы разойдутся на максимальное расстояние  $2V_0^2/(3a)$ .

**1.40.**  $\tau = \sqrt{2} \frac{V_0}{a}$ , столкновение происходит в момент времени  $t = \tau + \frac{V_0}{a} = (1 + \sqrt{2}) \frac{V_0}{a}$ .

Указание. Наиболее позднее столкновение произойдет в точке, где вторая частица максимально смещена в отрицательном направлении оси  $x$ .

**1.41.** Наименьшее начальное расстояние равно 8 м.

**1.42.** Для решения задачи целесообразно построить графики зависимости скоростей частиц от времени. При этом воспользуемся тем, что нахождение зависимости скорости  $V_x(t)$  по графику  $a_x(t)$  аналогично задаче отыскания зависимости  $x(t)$  по графику  $V_x(t)$ . Построение начнем со второй частицы, график  $a_x(t)$  для которой приведён в условии задачи. График  $V_{2x}(t)$  состоит из участков двух парабол (на первой и третьей секундах), которые одинаковы, но перевернуты, и отрезка прямой (на второй секунде). Ход этого графика легко понять, если, пользуясь ука-



К задаче 1.42

занной выше аналогией, представлять его как график  $x(t)$ , построенный по графику  $V_x(t)$ , который копирует данный в условии график  $a_x(t)$ .

Значение скорости  $V_{2x}$  в любой момент времени находится как площадь под соответствующим участком графика  $a_x(t)$ : например, в момент  $t = 1$  с скорость  $V_{2x} = 0,5$  м/с, в момент  $t = 2$  с скорость  $V_{2x} = 1,5$  м/с, в момент  $t = 3$  с скорость  $V_{2x} = 2$  м/с. Легко построить и график  $V_{1x}(t)$ . Это прямая (т. к.  $a_1 = \text{const}$ ), проведенная из начала координат в конечную точку графика  $V_{2x}(t)$  (см. рис.). По наклону этого графика находим, что

$$a_{1x} = \frac{2}{3} \text{ м/с}^2.$$

Для нахождения путей частиц используем то, что они движутся только в положительном направлении оси  $x$ , и за любой промежуток времени пройденный каждой частицей путь равен площади под соответствующим участком графика ее скорости  $V_x(t)$ . Таким образом, легко видеть, что пути, пройденные за вторую секунду, одинаковы для обеих частиц. Этот путь равен площади трапеции под любым из графиков:

$$S = \frac{1}{2} (0,5 + 1,5) \cdot 1 = \frac{1}{2} \left( \frac{2}{3} + \frac{4}{3} \right) \cdot 1 = 1 \text{ м}.$$

Путь, пройденный частицами за три секунды, также одинаков, что легко видеть из хода графиков. Его следует найти для первой частицы (площадь треугольника), таким же будет и путь второй частицы:

$$S_{\text{общ}} = \frac{1}{2} \cdot 2 \cdot 3 = 3 \text{ м.}$$

**1.43.** Построим график  $V_x(t)$  для второй частицы (см. рис.). Из графика видно, что скорость этой частицы при  $t \geq 3\tau$  равна  $a_0\tau$ . Поскольку при  $t \geq \tau$  расстояние между частицами не меняется, то  $a_0\tau = V$ . Используя график  $V_x(t)$ , выразим координату  $x_2$  второй частицы в момент  $t = 3\tau$  через  $a_0$  и  $\tau$ :

$$x_2 = L - \frac{a_0\tau^2}{2}.$$

В этот же момент координата  $x_1$  первой частицы равна  $3V\tau$ . Учитывая, что с момента  $t = 3\tau$  расстояние между частицами постоянно и равно  $L/2$ , приходим к уравнению

$$L - \frac{a_0\tau^2}{2} - 3V\tau = \frac{L}{2}.$$

Подставляя в это уравнение соотношение  $a_0\tau = V$ , находим

$$\tau = \frac{L}{7V}, \quad a_0 = \frac{7V^2}{L}.$$

**1.44.** Наименьшая скорость равна  $(\sqrt{22} - 4) a\tau$ .

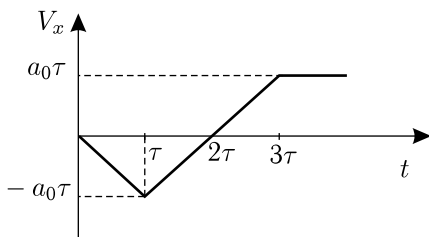
**1.45.** Из условия задачи ясно, что от точки бросания до верхней точки камень проходит 10 м (и 30 м пролетает вниз от высшей точки до земли). Следовательно, времена подъёма  $t_1$  и  $t_2$  находятся из соотношений:

$$h_1 = \frac{gt_1^2}{2}, \quad h_2 = \frac{gt_2^2}{2},$$

где  $h_1 = 10$  м и  $h_2 = 30$  м. Таким образом, полное время полёта камня равно:

$$t_1 + t_2 = \sqrt{\frac{2h_1}{g}} + \sqrt{\frac{2h_2}{g}} \approx 3,9 \text{ с.}$$

**1.46.** Тело находилось на высоте  $3H/4$ .



К задаче 1.43

**1.47.** Максимальная высота подъёма мяча над землей равна 11,25 м.

**1.48.** Поскольку в конце первой и третьей секунд скорость летящего по вертикали тела оказалась одинаковой по модулю, в эти два момента тело было на одной высоте от земли (это ясно хотя бы из закона сохранения энергии). Следовательно, полёт до верхней точки траектории от момента бросания занимает 2 секунды (1 секунда до указанной в условии высоты плюс еще 1 секунда до высшей точки). Тогда максимальная высота подъёма  $h_{\max}$  равна

$$h_{\max} = g \frac{2^2}{2} \approx 20 \text{ м},$$

где ускорение свободного падения  $g \approx 10 \text{ м/с}^2$ .

**1.49.**  $V_0 = g\sqrt{3}/(\sqrt{3} + 1) \approx 6,2 \text{ м/с}$ , где ускорение свободного падения  $g \approx 9,8 \text{ м/с}^2$

**1.50.** Понятно, что тело было брошено вверх из точки, находящейся на некоторой высоте над землей. Обозначим через  $h$  и  $t$  соответственно начальную высоту тела над землей и время его подъёма от начальной до наивысшей точки. Учитывая, что максимальная высота подъёма тела над землей равна  $h + gt^2/2$ , где  $g$  — ускорение свободного падения, а время падения с этой высоты до земли составляет  $(4 - t)$  с, получаем уравнение

$$h + \frac{gt^2}{2} = \frac{g(4 - t)^2}{2}.$$

Второе уравнение составим, исходя из условия, что за первые 3 с полёта тело пролетело половину своего полного пути:

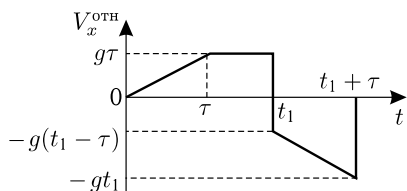
$$\frac{gt^2}{2} + \frac{g(3 - t)^2}{2} = \frac{1}{2} (h + gt^2).$$

Из системы двух уравнений находим начальную высоту  $h = 4g \approx 40 \text{ м}$  и время подъёма тела от начальной до наивысшей точки  $t = 1 \text{ с}$ . Максимальная высота тела над землей равна  $h_{\max} = h + gt^2/2 \approx 45 \text{ м}$ .

**1.51.** При  $V_0 > \sqrt{2gH}$  запаздывание должно равняться нулю, а максимальное расстояние между телами равно  $V_0\sqrt{2H/g}$ . При  $V_0 < \sqrt{2gH}$  запаздывание должно равняться  $\sqrt{2H/g} - V_0/g$ , а максимальное расстояние между телами равно  $H + V_0^2/(2g)$ .

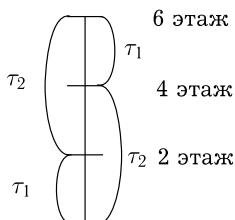
Указание. Расстояние между телами достигает максимума в момент, когда тело, падающее без начальной скорости, коснется земли.

**1.52.** График зависимости относительной скорости  $V_{x\text{отн}}$  (ось  $x$  направлена вниз) от времени представлен на рисунке. Здесь  $t_1 = \sqrt{2H/g}$  — момент падения первого тела, где  $g$  — ускорение свободного падения.



К задаче 1.52

**1.53.** Вначале решим задачу, пренебрегая сопротивлением воздуха. Ясно, что мяч, отпущенный с 6-го этажа, упадет на землю первым, поскольку на высотах 4-го и 2-го этажей, где два других мяча только начинают движение, он уже имеет скорость; ускорения же всех мячей одинаковы. Далее, обозначим время падения 1-го мяча с 6-го до 4-го этажа через  $\tau_1$ , а с 6-го до 2-го — через  $\tau_2$  (см. рис.). Время падения до земли 2-го мяча, отпущенного с 4-го этажа, очевидно, также равно  $\tau_2$ , а время падения до земли 3-го мяча, отпущенного со 2-го этажа, равно  $\tau_1$ . Считая, что 1-й мяч начал движение с 6-го этажа в момент  $t = 0$ , находим, что 2-й мяч начал движение в момент  $t = \tau_1$  и ударится о землю в момент времени  $t = \tau_1 + \tau_2$ , а 3-й мяч начал движение в момент  $t = \tau_2$  и ударится о землю в момент  $t = \tau_2 + \tau_1$ . Таким образом, 2-й и 3-й мячи упадут на землю одновременно.



К задаче 1.53

Рассмотрим теперь влияние сопротивления воздуха. Понятно, что первым по-прежнему ударится о землю «запускающий» мяч, отпущенный с 6-го этажа. Одновременность ударов о землю двух других мячей не нарушится. Действительно, хотя промежутки времени  $\tau_1$ ,  $\tau_2$  и возрастут, однако, удары этих мячей о землю по-прежнему произойдут в один момент времени  $t = \tau_1 + \tau_2$ .

**1.54.** Очевидно, камень должен быть брошен вверх с некоторой высоты над землей. Действительно, при этом вторую половину пути камень проходит разогнавшись, т.е. имея большую, чем на первой половине, среднюю скорость. Пусть  $t_1$  — время полёта до верхней точки, а  $t_2$  — время падения от этой точки до середины пути. Тогда

$$\frac{gt_1^2}{2} + \frac{gt_2^2}{2} = gt_2t_3 + \frac{gt_3^2}{2},$$

где  $t_3 = 1$  с, а  $g$  — ускорение свободного падения. Выразим отсюда время  $t_1$ :

$$t_1 = \sqrt{2t_2t_3 + t_3^2 - t_2^2}.$$

Чтобы время полёта было максимально, должна быть максимальна и сумма

$$t_1 + t_2 = t_2 + \sqrt{2t_2t_3 + t_3^2 - t_2^2}.$$

Приравнивая к нулю производную от этого выражения по  $t_2$ , получаем

$$1 + \frac{t_3 - t_2}{\sqrt{2t_2t_3 + t_3^2 - t_2^2}} = 0,$$

откуда, подставляя  $t_3 = 1$  с, находим  $t_2 = 2$  с. Тогда из выражения для  $t_1$  получаем, что  $t_1 = 1$  с, а общее максимальное время равно 4 секундам. Такое время полёта достигается при бросании камня вверх с высоты  $h \approx 40$  м с начальной скоростью  $v_0 \approx 10$  м/с.

**1.55.** Ясно, что отношение  $L_1/L_2$  расстояний, пройденных вертикально брошенным телом соответственно за первую и вторую секунды полёта, достигает максимума, примерно равного 4, в том случае, когда время подъёма тела до верхней точки близко к 1,5 с. Действительно, если это время точно равно 1,5 с, то тело имеет минимальную среднюю скорость на второй секунде полёта, так что  $L_2$  минимально. Однако, сделав время подъёма несколько больше 1,5 с, можно выиграть в отношении  $L_1/L_2$  за счет большего роста  $L_1$  в сравнении с  $L_2$ .

Перейдем теперь к строгому решению задачи. Обозначим через  $t$  интервал времени в начале второй секунды, затраченный на подъём (в момент  $t + 1$  тело достигает верхней точки). Для путей  $L_1$  и  $L_2$  имеем выражения

$$L_1 = g(t + 0,5), \quad L_2 = g(t^2 - t + 0,5),$$

где  $g$  — ускорение свободного падения. Для удобства анализа исследуем обратное отношение

$$\frac{L_2}{L_1} = t - \frac{3}{2} + \frac{5}{2(2t + 1)},$$

которое представим в виде

$$\frac{L_2}{L_1} = \frac{\sqrt{5}}{2} \left[ \frac{2(t + 0,5)}{\sqrt{5}} + \frac{\sqrt{5}}{2(t + 0,5)} \right] - 2.$$

Минимальное значение выражения в квадратных скобках равно 2 (согласно неравенству Коши) и достигается при

$t = (\sqrt{5} - 1)/2$  (этот же результат можно получить, исследуя отношение  $L_2/L_1$  на минимум с помощью производной). Таким образом, максимальное значение отношения  $L_1/L_2$  составляет

$$\left(\frac{L_1}{L_2}\right)_{\max} = \frac{1}{\sqrt{5} - 2} \approx 4,24$$

и достигается при времени подъёма  $(\sqrt{5} + 1)/2 \approx 1,62$  с, что соответствует начальной скорости  $V_0 = g(\sqrt{5} + 1)/2 \approx 15,9$  м/с.

**1.56.** Обозначим время подъёма тела до верхней точки через  $t_1$ , а время падения от верхней точки до земли через  $t_2$ . Тогда соотношение, указанное в условии задачи, можно записать в виде

$$\frac{gt_1^2}{2} + \frac{g\left(\frac{t_2 + t_1}{2} - t_1\right)^2}{2} = \frac{1}{4} \left( \frac{gt_1^2}{2} + \frac{gt_2^2}{2} \right),$$

где  $g$  — ускорение свободного падения. Данное соотношение выполняется в двух случаях: при  $t_1 = 0$  и  $t_1 = t_2/2$ . Учитывая, что максимальная высота  $H = \frac{gt_2^2}{2}$ , а начальная высота  $h = \frac{g(t_2^2 - t_1^2)}{2}$ , находим для отношения высот  $H/h$  два значения: 1 и  $4/3$ .

**1.57.** Время запаздывания равнялось  $2V_0/(3g)$ , где  $g$  — ускорение свободного падения. Максимальным расстояние между телами было в момент начала движения второго тела и составляло  $4V_0^2/(9g)$ .

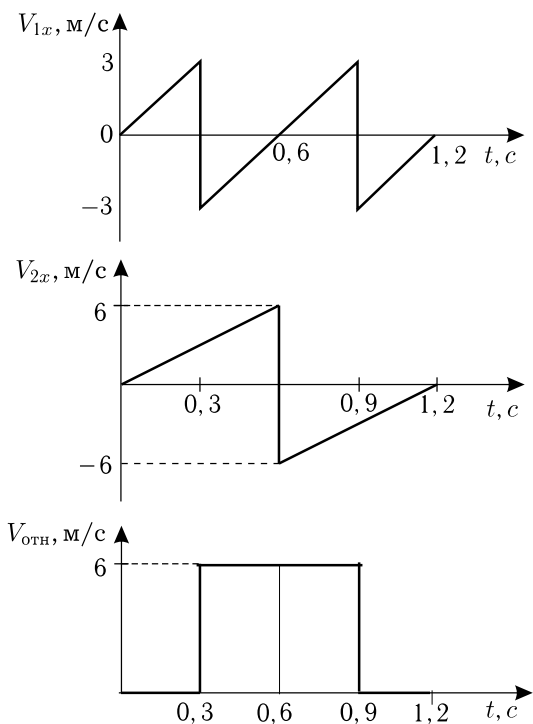
**1.58.** Первый раз мячи столкнутся на высоте, равной  $\frac{H(4\sqrt{2} - 1)}{8} \approx 0,58H$ , а второй раз — на высоте  $7H/8$ .

Указание. Проще всего решать задачу путем построения графиков зависимостей от времени скоростей мячей. По первым двум точкам пересечения графиков можно определить моменты рассматриваемых столкновений. При построении графиков следует учесть, что в результате абсолютно упругого центрального удара двух одинаковых мячей происходит обмен скоростями.

**1.59.** Для построения искомого графика модуля относительной скорости шариков построим вначале графики проекций скоростей каждого из шариков на ось  $x$ , которую направим вертикально вниз (см. рис.). При построении учтено, что времена падения  $t_1$  и  $t_2$  первого и второго шариков (до удара о плиту)

равны  $t_1 = \sqrt{\frac{2h_1}{g}} = 0,3$  с,  $t_2 = \sqrt{\frac{2h_2}{g}} = 0,6$  с, где  $h_1 = 0,45$  м и  $h_2 = 1,8$  м, а ускорение свободного падения  $g$  принято равным  $10$  м/с<sup>2</sup>. По графикам проекций скоростей  $V_{1x}(t)$  и  $V_{2x}(t)$

строим график  $V_{\text{отн}}(t) = |V_{1x}(t) - V_{2x}(t)|$ . Вертикальный участок при  $t = 0,6$  с отражает тот факт, что при абсолютно упругом ударе скорость шарика меняет направление, проходя через нулевое значение.



К задаче 1.59

**1.60.** После большого числа подскоков мяч, упавший с большей высоты, пройдет в  $\sqrt{2}$  больший путь.

**1.61.** Разница путей, пройденных мячами, максимальна в моменты времени  $(2n + 1) 2\sqrt{\frac{H}{g}}$ ,  $n = 0, 1, 2, \dots$

**1.62.** Легко понять, что минимум кинетической энергии достигается в высшей точке траектории, когда обращается в нуль вертикальная компонента скорости брошенного тела. Поскольку при полёте в поле силы тяжести горизонтальная компонента скорости  $V_{\text{гор}}$  сохраняется, можно записать:

$$m \frac{V_{\text{гор}}^2}{2} = \frac{1}{4} m \frac{(V_{\text{гор}}^2 + V_{0\text{верт}}^2)}{2},$$



где  $V_{0\text{верт}}$  — начальное значение вертикальной проекции скорости. Отсюда следует, что  $V_{\text{гор}} = \frac{1}{\sqrt{3}} V_{0\text{верт}}$ . Из условия, что через 1 секунду вертикальная скорость обратилась в нуль, находим

$$0 = V_{0\text{верт}} - g \cdot 1 \text{ с},$$

где  $g$  — ускорение свободного падения, откуда

$$V_{0\text{верт}} = g \cdot 1 \text{ с} \approx 10 \text{ м/с}.$$

Учитывая найденную выше связь  $V_{\text{гор}}$  и  $V_{0\text{верт}}$ , а также то, что весь полёт длится 2 секунды, находим дальность  $L$ :

$$L = V_{\text{гор}} t_{\text{пол}} \approx \frac{20}{\sqrt{3}} \approx 12 \text{ м}.$$

**1.63.** Начальная скорость тела равна  $g\sqrt{17}/4$ , где  $g$  — ускорение свободного падения.

**1.64.** Приравнивая высоты в моменты времени  $t_1$  и  $t_2$ , находим начальную скорость тела  $V_0 = g(t_1 + t_2)/(2 \sin \alpha)$ , где  $g$  — ускорение свободного падения. Перемещение  $\mathbf{S}$  за промежуток  $t_2 - t_1$  направлено по горизонтали и равно  $S = V_0(t_2 - t_1) \cos \alpha = g(t_2^2 - t_1^2)/2 \operatorname{ctg} \alpha$ .

**1.65.** Тело было брошено с высоты 4,8 м. Максимальная высота подъёма тела над землей равнялась 7,7 м.

**1.66.** Нормальное ускорение  $a_n$  можно записать в виде  $a_n = \omega V$ , где  $V$  — модуль скорости тела, а  $\omega$  — угловая скорость вращения вектора скорости. Отсюда  $\omega = a_n/V$  и максимальна в высшей точке траектории, где  $a_n$  максимально и равно ускорению свободного падения  $g$ , а  $V$  — минимальна и равна  $V_0 \cos \alpha$ . Таким образом,  $\omega_{\max} = g/(V_0 \cos \alpha)$ .

**1.67.** Пусть  $V_0$  — начальная скорость камня,  $\alpha$  — угол, под которым его бросили, а  $g$  — ускорение свободного падения. Тогда время полёта  $t$  и дальность полёта  $L$  будут даваться выражениями

$$t = \frac{2V_0 \sin \alpha}{g},$$

$$L = (V_0 \cos \alpha) t = \frac{2V_0^2}{g} \sin \alpha \cos \alpha.$$

Если  $\alpha_1$  и  $\alpha_2$  — искомые углы (пусть  $\alpha_1$  — меньший из них), то по условию задачи

$$\frac{2V_0 \sin \alpha_1}{g} \sqrt{3} = \frac{2V_0 \sin \alpha_2}{g},$$

$$\frac{2V_0^2 \sin \alpha_1 \cos \alpha_1}{g} = \frac{2V_0^2 \sin \alpha_2 \cos \alpha_2}{g}.$$

Проведя сокращения в этих равенствах, найдем, что

$$\sqrt{3} \sin \alpha_1 = \sin \alpha_2, \quad (1)$$

$$\cos \alpha_1 = \sqrt{3} \cos \alpha_2. \quad (2)$$

Из системы уравнений (1)–(2) можно получить значение, например,  $\sin \alpha_1$ . Поделим равенство (2) на  $\sqrt{3}$ , возведем в квадрат равенства (1) и (2) и сложим левые и правые части:

$$3 \sin^2 \alpha_1 + \frac{\cos^2 \alpha_1}{3} = 1.$$

Учитывая, что  $\cos^2 \alpha_1 = 1 - \sin^2 \alpha_1$ , получаем уравнение для  $\sin \alpha_1$ :

$$3 \sin^2 \alpha_1 - \frac{1}{3} \sin^2 \alpha_1 = \frac{2}{3},$$

откуда

$$\sin \alpha_1 = \frac{1}{2}$$

и  $\alpha_1 = 30^\circ$ . Тогда

$$\sin \alpha_2 = \frac{\sqrt{3}}{2}$$

и  $\alpha_2 = 60^\circ$ .

**1.68.** Время полёта при втором броске было 2 с.

**1.69.** Камень был брошен под углами  $15^\circ$ ,  $75^\circ$ .

**1.70.** Начальная скорость мины

$$V_0 = \frac{10g}{\sqrt{9 \sin^2 75^\circ - 8}} \approx 156 \text{ м/с},$$

где  $g$  — ускорение свободного падения.

Указание. В момент, когда удаление мины сменяется приближением (и наоборот), радиус-вектор, проведенный из точки выстрела к мине, перпендикулярен вектору скорости мины.

**1.71.** Поскольку в обоих случаях тело движется по одинаковым траекториям, а в первом случае движение его происходит в поле силы тяжести, значит траекториями тела являются две одинаковые параболы с вершинами в верхней точке (см. рис. — точка 1). Воспользуемся выражением для нормального ускорения  $a_n$ :

$$a_n = \frac{V^2}{R},$$

где  $V$  — скорость тела, а  $R$  — радиус кривизны траектории.

Рассмотрим первый случай — движение под действием силы тяжести. В точке 1 нормальное ускорение  $a_{n1}$  равно ускорению свободного падения  $g$ , поскольку в этой точке полное ускорение совпадает с нормальным. В точке 2 нормальное ускорение  $a_{n2}$  может быть найдено путем проектирования полного ускорения  $g$  на нормаль:

$$a_{n2} = \frac{V_2^2}{R_2} = g \cos 45^\circ = g \frac{\sqrt{2}}{2}.$$

Учитывая, что при движении в поле силы тяжести сохраняется горизонтальная компонента скорости (она равна скорости  $V_1$  в точке 1), находим, что

$$V_2 = \frac{V_1}{\cos 45^\circ} = V_1 \sqrt{2}.$$

Таким образом,

$$a_{n2} = 2 \frac{V_1^2}{R_2} = g \frac{\sqrt{2}}{2}. \quad (1)$$

Рассмотрим теперь второй вариант движения — движение по параболе с постоянной скоростью. В этом случае ускорение тела будет иметь только нормальную составляющую. Обозначим ускорение тела в точках 1 и 2 через  $a'_1$  и  $a'_2$  соответственно. Поскольку в точке 1, по условию, в обоих вариантах движения скорости совпадают, а радиусы кривизны из-за эквивалентности парабол вообще равны для любой пары эквивалентных точек, то

$$a'_1 = \frac{V_1^2}{R_1} = a_{n1} = g.$$

Для точки 2 имеем:

$$a'_2 = \frac{(V'_2)^2}{R_2} = \frac{V_1^2}{R_2}. \quad (2)$$

Сравнивая выражения (1) и (2), находим окончательный результат:

$$a'_2 = g \frac{\sqrt{2}}{4}.$$

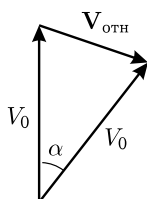
**1.72.** Осколки начнут попадать в стену через время  $2 \sin 15^\circ \sqrt{2L/g}$ . Промежуток времени, в течение которого осколки ударяются о стену, равен  $2\sqrt{L/g}$ . Максимальная высота области поражения стены осколками равна  $3L/4$ .

**1.73.** Наименьшая скорость перед столкновением у брошенного с земли камня будет при начальной скорости  $\sqrt{\sqrt{2}gH}$ .

**1.74.** Для решения задачи удобно использовать вектор относительной скорости. Пока оба тела находятся в полёте, этот вектор остается постоянным и равным  $2V_0 \sin(\alpha/2)$  (см. рис.), где  $\alpha$  — угол между векторами скорости брошенных тел в начальный момент. Ясно, что пока оба тела находятся в полёте, расстояние  $L$  между ними линейно нарастает со временем. В момент падения наклонно брошенного тела на землю это расстояние достигает значения

$$L = 2V_0 \frac{2V_0 \cos \alpha}{g} \sin \frac{\alpha}{2} = \frac{4V_0^2}{g} \left( \cos^2 \frac{\alpha}{2} - \sin^2 \frac{\alpha}{2} \right) \sin \frac{\alpha}{2},$$

где  $g$  — ускорение свободного падения.



К задаче 1.74

Исследуем данное выражение на максимум. Взяв производную по  $\alpha/2$  и приравняв ее к нулю, находим, что  $L$  достигает максимального значения

$$L^* = \frac{8V_0^2}{3g\sqrt{6}}$$

при  $\alpha = \alpha^*$ , где  $\sin(\alpha^*/2) = 1/\sqrt{6}$ , т. е. при  $\alpha^* \approx 48^\circ$ . Для полного анализа зада-

чи необходимо проверить, куда движется вертикально брошенное тело в момент падения тела, брошенного под углом  $\alpha^*$  к вертикали. Сравнивая время полёта вертикально брошенного тела до высшей точки  $t_1 = V_0/g$  с полным временем полёта тела, брошенного под углом  $\alpha^*$ ,  $t_2 = 2(V_0/g) \cos \alpha^* = 4V_0/3g$ , находим, что  $t_1 < t_2$ . Таким образом, вертикально брошенное тело движется вниз, и дальше расстояние между телами будет только убывать.

**1.75.** Угол между векторами начальных скоростей был равен  $90^\circ$ .

**1.76.** Осколки полётели под углом  $45^\circ$ .

**1.77.** Последним, через время  $t = 2V_0/(g \cos \alpha)$ , упадет осколок, полётевший перпендикулярно склону горы ( $g$  — ускорение свободного падения).

**1.78.** Поскольку в процессе полёта горизонтальная составляющая скорости сохраняется, то в начальный момент горизонтальная составляющая скорости мяча равна  $V$ , а вертикальная составляющая скорости —  $V \operatorname{tg} \alpha$ . Тогда время полёта мяча находим как  $t = \frac{V}{g} \operatorname{tg} \alpha$ , где  $g$  — ускорение свободного падения.

**1.79.** На расстоянии  $\frac{4V_0^2}{g} \sin \alpha$ , где  $g$  — ускорение свободного падения.

**1.80.** В системе отсчёта с началом в точке бросания, горизонтальной осью  $x$  (направлена «внутрь» горы) и вертикальной осью  $y$  координаты камня, брошенного вверх, выражаются формулами

$$x = V_0 t \cos \alpha, \quad y = V_0 t \sin \alpha - gt^2/2$$

( $\alpha$  — угол между  $\mathbf{V}_0$  и осью  $x$ ,  $g$  — ускорение свободного падения). Отсюда следует, что

$$x^2 + y^2 + gyt^2 + g^2 t^4/4 = V_0^2 t^2.$$

Обозначая дальность полёта вдоль горы через  $L_1$  и выражая координаты точки падения по формулам  $x = L_1 \cos 30^\circ$ ,  $y = L_1 \sin 30^\circ$ , получим из этого уравнения соотношение вида

$$g^2 t^4/4 + (gL_1 \sin 30^\circ - V_0^2) t^2 + L_1^2 = 0.$$

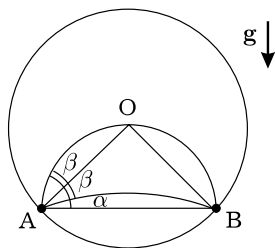
Рассматривая данное уравнение как биквадратное относительно  $t$  и учитывая, что для максимальной дальности полёта  $L_{1\max}$  два корня этого уравнения должны совпасть, приравниваем дискриминант уравнения к нулю:

$$(gL_{1\max} \sin 30^\circ - V_0^2)^2 - g^2 L_{1\max}^2 = 0,$$

откуда находим  $L_{1\max} = V_0^2/[g(1 + \sin 30^\circ)]$ . Для тела, брошенного вниз, аналогично получаем  $L_{2\max} = V_0^2/[g(1 - \sin 30^\circ)]$ . Максимальное расстояние между точками падения равно  $L_{1\max} + L_{2\max}$ , что для данных задачи составляет примерно 109 м.

**1.81.** Обозначим через  $\alpha$  и  $\beta$  углы, которые скорость шарика, отскочившего от сферы в точке А, образует соответственно с горизонтом и радиусом ОА (см. рис.). Поскольку дальности полёта шарика по горизонтали для обеих парабол одинаковы, имеем равенство

$$\sin 2\alpha = \sin[2(\alpha + 2\beta)].$$



К задаче 1.81

В этом равенстве учтено, что при абсолютно упругом ударе о гладкую поверхность угол падения равен углу отражения. Учтём далее, что из того же равенства следует очевидное соотношение для аргументов синуса:  $2(\alpha + 2\beta) = \pi - 2\alpha$ , откуда  $\alpha + \beta = \pi/4$ .

Последнее равенство показывает, что радиусы ОА и ОВ образуют углы  $45^\circ$  с горизонтом, то есть скорости шарика, летящего по верхней параболе, вблизи А и В ориентированы под углом  $\alpha$  к вертикали. Учтём теперь, что верхняя парабола проходит через центр сферы. Приравнивая время подъёма от точки В до центра О и время перемещения по горизонтали от В до центральной плоскости, имеем  $\frac{R2\sqrt{2}}{2V\cos\alpha} = \frac{R\sqrt{2}}{2V\sin\alpha}$ , то есть  $2\sin\alpha = \cos\alpha$ . Таким образом,  $\sin\alpha = 1/\sqrt{5}$ ,  $\cos\alpha = 2/\sqrt{5}$ . Скорость шарика в низших точках траектории можно найти из закона сохранения энергии:  $V^2\cos^2\alpha = 2gR\sqrt{2}/2$ , что даёт значение  $V = \frac{\sqrt{gR}}{2} \sqrt[4]{50}$ . Минимальная скорость у шарика будет в момент прохождения им точки О:  $V_{\min} = V\sin\alpha = \frac{\sqrt{gR}}{\sqrt[4]{8}}$ . Радиус кривизны в верхней точке верхней параболы равен  $R_1 = \frac{(V\sin\alpha)^2}{g} = \frac{R}{2\sqrt{2}}$ . Радиус кривизны в верхней точке нижней параболы равен  $R_2 = (V\cos\alpha)^2/g = R\sqrt{2}$ .

**1.82.**  $\alpha = 60^\circ$ .

**1.83.** Изменение проекции скорости  $V_x$  со временем численно равно площади под графиком  $a_x(t)$ . Максимальное значение модуля  $V_x$  может достигаться только в один из трех моментов: 3 с, 10 с или 12 с. Учитывая, что  $V_x(0) = 0$ , находим:  $V_x(3) = 2$  м/с,  $V_x(10) = -4$  м/с и  $V_x(12) = -3$  м/с. Таким образом, полная скорость  $V = \sqrt{V_x^2 + V_y^2}$  достигает максимального значения 5 м/с в момент времени 10 с.

**1.84.** Общий путь, пройденный частицей за 4 секунды, можно найти как сумму путей, пройденных за первую, вторую, третью и четвертую секунды. Как видно из графиков проекций скорости, в течение первой секунды частица движется только по оси  $x$ , причем равноускоренно. Поэтому путь  $S_1$ , пройденный за первую секунду, равен

$$S_1 = V_{x\text{cp}} \cdot 1 \text{ м/с} = \frac{1}{2} V_{x\text{max}} \cdot 1 \text{ м/с} = 0,5 \text{ м}$$

( $V_{x\text{max}} = 1$  м/с). В течение второй секунды частица движется равномерно со скоростью  $V_2$ , равной

$$V_2 = \sqrt{V_x^2 + V_y^2} = \sqrt{2} \text{ м/с}.$$

Путь  $S_2$ , пройденный за вторую секунду, равен

$$S_2 = \sqrt{2} \text{ м/с} \cdot 1 \text{ с} = \sqrt{2} \text{ м.}$$

Путь, пройденный за третью секунду, когда частица движется только вдоль оси  $y$ , равен

$$S_3 = 1 \text{ м/с} \cdot 1 \text{ с} = 1 \text{ м.}$$

За четвертую секунду частица проходит путь

$$S_4 = 1 \text{ м/с} \cdot 1 \text{ с} = 1 \text{ м.}$$

Общий путь равен

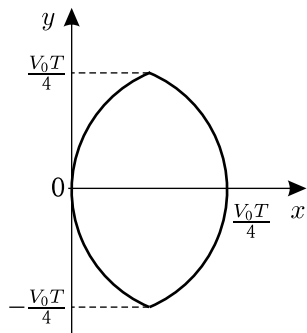
$$S_1 + S_2 + S_3 + S_4 \approx 3,9 \text{ м.}$$

**1.85.** Построим вначале траекторию частицы. Для этого необходимо записать зависимости  $x(t)$  и  $y(t)$ , затем исключить время  $t$  и выразить  $x$  через  $y$ . В результате получим траекторию в виде двух состыкованных парабол (см. рис.): левой — с уравнением

$$x = \frac{2y^2}{V_0 T}$$

и правой — с уравнением

$$x = \frac{V_0 T}{4} - \frac{2y^2}{V_0 T}.$$



К задаче 1.85

По левой параболе частица движется в течение первой и последней четвертей периода  $T$ , а по правой — второй и третьей четвертей. В момент времени  $t = T/2$ , для которого требуется найти радиус кривизны траектории, частица пересекает ось  $x$  в точке  $V_0 T/4$ . В этот момент скорость частицы равна  $V_0$  ( $V_x = 0, V_y = -V_0$ ), а ускорение равно  $4V_0/T$  ( $a_x = -4V_0/T, a_y = 0$ ) и является нормальным. Тогда из формулы для нормального ускорения следует, что радиус кривизны траектории в момент времени  $t = T/2$  равен  $R = V_0 T/4$ . Из рисунка видно, что радиус кривизны будет таким же и в начале координат.

**1.86.** Из рисунка к решению задачи 1.85 ясно, что максимальными радиусы кривизны будут на участках парабол, смыкающихся к точкам излома траектории (в самих этих точках радиус не определен). Например, в момент времени  $t \approx T/4$   $V_x = V_0, V_y = V_0$ , и, следовательно, полная скорость равна  $V_0\sqrt{2}$  и направлена под углом  $45^\circ$  к любой из осей. Ускорение частицы

в этот момент равно  $4V_0/T$  и направлено вдоль оси  $x$ . Проектируя ускорение на направление скорости, находим нормальное ускорение  $a_n = a_x \cos 45^\circ = 2\sqrt{2} V_0/T$ . Выражая радиус кривизны через  $a_n$  и полную скорость, получаем

$$R_{\max} = \frac{V_0 T}{\sqrt{2}}.$$

**1.87.** Поскольку движение точки происходит с постоянным тангенциальным ускорением, скорости в конце и в начале полуокружности связаны соотношением

$$(2V_0)^2 - V_0^2 = 2a_\tau S,$$

где  $a_\tau$  — тангенциальное ускорение, а  $S$  — пройденный путь ( $S = \pi R$ ). Находя из данного соотношения  $a_\tau$ , определяем время движения по полуокружности:

$$t = \frac{2V_0 - V_0}{a_\tau} = \frac{2\pi R}{3V_0}.$$

Средние значения проекций искомых величин находятся из формул

$$\begin{aligned} a_{x\text{ ср}} &= \frac{\Delta V_x}{t} = \frac{0 - 0}{t} = 0, \\ a_{y\text{ ср}} &= \frac{\Delta V_y}{t} = \frac{-2V_0 - V_0}{t} = -\frac{9V_0^2}{2\pi R}, \\ V_{x\text{ ср}} &= \frac{\Delta x}{t} = \frac{2R}{t} = \frac{3V_0}{\pi}, \\ V_{y\text{ ср}} &= \frac{\Delta y}{t} = \frac{0 - 0}{t} = 0. \end{aligned}$$

**1.88.** Для определения полного ускорения шарика найдем нормальное и тангенциальное ускорения. Тангенциальное ускорение  $a_\tau$  постоянно по величине на участках разгона и торможения и равно  $1 \text{ м/с}^2$ . Нормальное ускорение  $a_n$  тем больше, чем больше скорость шарика. Его максимальное значение составляет  $1 \text{ м/с}^2$ . Полное ускорение шарика  $a = \sqrt{a_\tau^2 + a_n^2}$ , очевидно, будет максимальным в моменты времени, бесконечно близкие к промежуткам равномерного движения. В эти моменты тангенциальное ускорение еще остается равным  $1 \text{ м/с}^2$ , а нормальное ускорение уже практически достигает максимума (тоже  $1 \text{ м/с}^2$ ). Таким образом,  $a_{\max} = \sqrt{2} \text{ м/с}^2$ .

**1.89.** Поскольку на промежутке времени  $0 < t < t_0$  частица имеет постоянное тангенциальное ускорение  $a_\tau = V_m/t_0$ , а на промежутке времени  $t_0 < t < 2t_0$  такое же по абсо-



лютной величине, но противоположное по знаку тангенциальное ускорение, график зависимости пути от времени представляет собой две состыкованные параболы (см. рис.). Касательные к параболом в моменты  $t = 0$  и  $t = 2t_0$  ориентированы горизонтально (скорость в эти моменты равна нулю). Для нахождения времени  $t_1$ , за которое частица проходит первую четверть окружности воспользуемся формулой

$$\frac{1}{4} V_m t_0 = \frac{a_\tau t_1^2}{2}.$$

Учитывая, что  $a_\tau = V_m/t_0$ , находим  $t_1$ :

$$t_1 = \frac{t_0 \sqrt{2}}{2}.$$

Найдем теперь средние значения проекций  $a_x$  и  $V_x$  (ось  $x$  направлена по диаметру из начальной точки)

за первые  $t_0$  секунд. Поскольку в начале и в конце промежутка  $0 < t < t_0$  проекция  $V_x$  равна нулю, находим

$$a_{xcp} = 0.$$

Смещение по оси  $x$  за  $t_0$  секунд равно диаметру окружности. Поэтому

$$V_{xcp} = \frac{V_m t_0}{\pi t_0} = \frac{V_m}{\pi}.$$

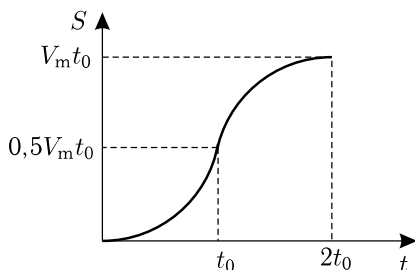
**1.90.** Первую четверть окружности частица пройдет за время  $3t_0/8$ , а  $a_{xcp} = -\frac{V_m \sqrt{3}}{2t_0}$ ,  $V_{xcp} = \frac{9V_m}{8\pi}$ .

**1.91.** Учитывая, что проекции скорости частицы являются производными от соответствующих декартовых координат по времени, т. е.  $V_x = x'$ ,  $V_y = y'$ ,  $V_z = z'$ , находим

$$V_x = -\omega A \sin \omega t, \quad V_y = \omega A \cos \omega t, \quad V_z = \omega A.$$

По известным проекциям скорости находим ее модуль:

$$\begin{aligned} V &= \sqrt{V_x^2 + V_y^2 + V_z^2} = \\ &= \sqrt{(\omega A)^2 (\sin^2 \omega t + \cos^2 \omega t) + (\omega A)^2} = \omega A \sqrt{2}. \end{aligned}$$



К задаче 1.89

Таким образом, частица движется с постоянной скоростью и, следовательно, путь, пройденный ею за время  $t_0$ , равен  $S = Vt_0 = \omega A\sqrt{2}t_0$ .

**1.92.** Найдем компоненты скорости и ускорения точки путем дифференцирования по времени ее координат:

$$\begin{aligned} V_x &= -\omega A \sin \omega t, & V_y &= \omega A \cos \omega t, & V_z &= \omega A(1 - \omega t), \\ a_x &= -\omega^2 A \cos \omega t, & a_y &= -\omega^2 A \sin \omega t, & a_z &= -\omega^2 A. \end{aligned}$$

Из полученных формул находим скорость и ускорение:

$$\begin{aligned} V &= \sqrt{V_x^2 + V_y^2 + V_z^2} = \omega A \sqrt{1 + (1 - \omega t)^2}, \\ a &= \sqrt{a_x^2 + a_y^2 + a_z^2} = \omega^2 A \sqrt{2}. \end{aligned}$$

Полное ускорение точки можно выразить также через нормальное  $a_n$  и тангенциальное  $a_\tau$  ускорения:

$$a = \sqrt{a_n^2 + a_\tau^2}.$$

В момент  $t_1 = 1/\omega$  скорость точки  $V$  достигает минимума, равного  $\omega A$  (см. формулу для  $V(t)$ ), а нормальное ускорение  $a_n$  — максимума, равного  $a$  (поскольку полное ускорение постоянно, а тангенциальное ускорение в этот момент обращается в нуль). Следовательно, в этот момент радиус кривизны траектории точки принимает минимальное значение

$$R_{\min} = \frac{V_{\min}^2}{a} = \frac{(\omega A)^2}{\omega^2 A \sqrt{2}} = \frac{A}{\sqrt{2}}.$$

**1.93.** Обозначая угол между нитью и вертикалью в произвольный момент через  $\alpha$ , из закона сохранения энергии находим выражение для нормального ускорения шарика  $a_n$ :

$$a_n = 2g \cos \alpha.$$

Из второго закона Ньютона находим тангенциальное ускорение  $a_\tau$ :

$$a_\tau = g \sin \alpha.$$

Таким образом, полное ускорение равно

$$a = \sqrt{a_n^2 + a_\tau^2} = g \sqrt{1 + 3 \cos^2 \alpha}.$$

Легко понять, что минимум полного ускорения будет при  $\alpha = \pi/2$ , когда  $\cos \alpha = 0$  и  $a_{\min} = g$ .

**1.94.** Обозначив длину нити через  $L$ , найдем из закона сохранения энергии нормальное ускорение  $a_n$ :

$$a_n = \frac{V^2}{L} = 2g \left( \cos \alpha - \frac{1}{2} \right).$$

В данном соотношении через  $\alpha$  обозначен угол между нитью и вертикалью в произвольный момент времени и учтено, что  $\cos 60^\circ = 1/2$ . Тангенциальное ускорение шарика в момент, когда нить с вертикалью образует угол  $\alpha$ , равно  $g \sin \alpha$ . При этом полное ускорение шарика  $a$  находим по формуле

$$\begin{aligned} a &= \sqrt{a_\tau^2 + a_n^2} = g \sqrt{\sin^2 \alpha + 4 \left( \cos \alpha - \frac{1}{2} \right)^2} = \\ &= g \sqrt{3 \cos^2 \alpha - 4 \cos \alpha + 2}. \end{aligned}$$

Рассматривая подынтегральное выражение как параболическую функцию  $\cos \alpha$ , находим абсциссу вершины параболы и минимальное значение ускорения  $a$ :  $\cos \alpha = 2/3$ ,  $a_{\min} = g\sqrt{2/3}$ .

**1.95.** Поскольку интерес представляет только кинематическая часть задачи (динамика здесь очень простая), данная задача отнесена к кинематике. Свяжем подвижную ось  $x'$  с доской, направив её вдоль неподвижной оси  $x$  (вправо). Начало подвижной оси поместим на левом краю доски. В промежутке времени  $0 \leq t \leq \tau$  скорость кубика в подвижной системе координат изменяется от  $-V_0$  до нуля. Действительно, ускорение кубика относительно доски (и земли) равно  $\mu g$ , и за время  $\tau$  кубик как раз перестанет скользить: по условию  $V_0 = \mu g \tau$ . За промежуток времени  $\tau$  кубик сдвинется к левому краю на расстояние

$$S_1 = \mu g \tau^2 / 2 = V_0 \tau / 2 = L / 8.$$

Чтобы кубик не соскользнул с левого края, его начальная координата  $x'_0$  должна удовлетворять неравенству

$$x'_0 > L/8.$$

Рассмотрим теперь промежуток времени  $\tau < t < 2\tau$ . В момент  $t = \tau$  скорость доски мгновенно изменяется от  $+V_0$  до  $-V_0$ . Скорость кубика относительно земли в этот момент равна  $V_0$ . Следовательно, начальная скорость кубика относительно доски на интервале  $\tau < t < 2\tau$  будет  $2V_0$ . Смещение кубика вправо по доске за данный промежуток времени равно

$$S_2 = 2V_0 \tau - \frac{\mu g \tau^2}{2} = \frac{3}{8} L.$$

Чтобы не соскользнуть с правого края, необходимо, чтобы конечная координата кубика  $x'$  ( $x' = x'_0 - L/8 + 3L/8$ ) была меньше  $L$ :

$$x'_0 - L/8 + 3L/8 < L.$$

В итоге для начальной координаты  $x'_0$  кубика на доске получаем

$$L/8 < x'_0 < 3L/4.$$

**1.96.** Используя известные формулы для равнопеременного движения, составим уравнения для нахождения начальной скорости и ускорения шайбы:  $V_0^2 = 2a \cdot 6$ ;  $V_0 = 2a$ . Отсюда находим:  $V_0 = 6$  м/с,  $a = 3$  м/с<sup>2</sup>. Путь  $S_1$ , пройденный шайбой за время  $\tau$  ( $\tau \leq 2$  с), равен  $S_1 = V_0\tau - a\tau^2/2$ . Поскольку начальная скорость после повторного удара равна  $a\tau$ , встречный путь  $S_2$  до остановки равен  $S_2 = a\tau^2/2$ . Расстояние между точкой старта шайбы и точкой ее конечной остановки равно  $S_1 - S_2 = V_0\tau - a\tau^2$ . Если  $\tau > 2$  с, то  $S_1 - S_2 = 0$ . Таким образом, искомый график состоит из участка параболы ( $0 \leq \tau < 2$  с) и горизонтальной прямой ( $\tau > 2$  с).

**1.97.** Время прохождения второй полосы в  $(\sqrt{1,5} + 1)$  раз больше.

**1.98.** Время движения увеличится в  $\frac{\sqrt{6} + \sqrt{2}}{2(\sqrt{6} - 1)} \approx 1,33$  раз.

**1.99.** Время соскальзывания бруска во втором случае в  $\frac{\sqrt{6} + \sqrt{2}}{2(\sqrt{6} - 1)} \approx 1,33$  раз больше, чем в первом.

**1.100.** Из условия задачи ясно, что средняя скорость при подъёме в 2 раза больше средней скорости на участке спуска. Действительно, оба этапа движения (подъём и спуск) являются равнопеременными, а в этом случае средняя скорость, как известно, равна среднему арифметическому начального и конечного значений:

$$V_{1cp} = \frac{V + 0}{2} = \frac{V}{2} \quad (\text{подъём}),$$

$$V_{2cp} = \frac{0 + V/2}{2} = \frac{V}{4} \quad (\text{спуск}).$$

Поскольку пройденные вверх и вниз пути одинаковы, а средние скорости отличаются в 2 раза, время подъёма  $t_1$  будет вдвое меньше времени движения  $t_2$  вниз по доске:

$$t_1 = \frac{t_2}{2}.$$

Поскольку  $t_1 + t_2 = 3$  с, то  $t_1 = 1$  с.

**1.101.** Поскольку движение шайбы по наклонной плоскости происходит с постоянным ускорением (вниз — равноускоренное, вверх — равнозамедленное), легко связать пройденный шайбой путь и время ее движения с помощью средней скорости, которая для равнопеременного движения равна среднему арифметическому начального и конечного значений:

$$L = \frac{V}{2}t_1, \quad (1)$$

$$\frac{L}{2} = \frac{V}{2}t_2. \quad (2)$$

В соотношении (1), которое описывает движение вниз,  $V$  и  $t_1$  — соответственно конечная скорость шайбы (перед ударом о стенку) и время ее движения; поскольку начальная скорость шайбы равнялась нулю, средняя скорость оказалась равной  $V/2$ . Соотношение (2) описывает скольжение шайбы вверх до остановки. Здесь учтено, что удар шайбы о стенку абсолютно упругий, и обратный путь, пройденный вверх до остановки, вдвое меньше пути вниз. Поделив левые и правые части равенств (1) и (2), находим связь времен движений вниз и вверх:  $t_1 = 2t_2$ .

Поскольку изменения скорости при движении вниз и вверх численно равны, то ускорения  $a_1$  и  $a_2$  для этих этапов движения также отличаются вдвое:

$$a_1 = a_2/2. \quad (3)$$

Из второго закона Ньютона можно выразить  $a_1$  и  $a_2$  через коэффициент трения  $\mu$  и угол  $\alpha$ :

$$a_1 = g(\sin \alpha - \mu \cos \alpha), \quad (4)$$

$$a_2 = g(\sin \alpha + \mu \cos \alpha). \quad (5)$$

С учетом соотношения (3) из выражений (4) и (5) находим  $\mu$ :

$$\mu = \frac{1}{3} \operatorname{tg} \alpha.$$

Замечание. Соотношение (3) между ускорениями легко также получить и с помощью хорошо известной формулы кинематики:

$$V_x^2 - V_0^2 = 2a_x S_x.$$

**1.102.** Разложим начальную скорость  $V_0$  на две взаимно перпендикулярные составляющие: одну — параллельную ребру клина ( $V_0 \cos 60^\circ$ ), другую — перпендикулярную ребру клина ( $V_0 \sin 60^\circ$ ). В процессе полёта не меняются первая составляющая

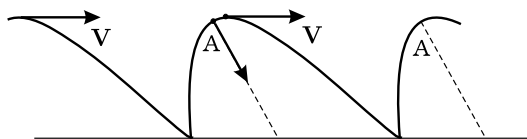
и горизонтальная проекция второй ( $V_0 \sin 60^\circ \cos 30^\circ$ ). Поэтому  $V^2 = V_0^2 \cos^2 60^\circ + V_0^2 \sin^2 60^\circ \cos^2 30^\circ$ , откуда  $V_0 = \frac{4V}{\sqrt{13}}$ . За время полёта вертикальная составляющая ( $V_0 \sin 60^\circ \sin 30^\circ$ ) обращается в нуль, следовательно, время полёта

$$t = \frac{V_0 \sin 60^\circ \sin 30^\circ}{g} = \sqrt{\frac{3}{13}} \frac{V}{g},$$

где  $g$  — ускорение свободного падения.

**1.103.** Ускорение груза в указанный момент равно  $\frac{V^2}{h} \sin^3 \alpha$ .

**1.104.** Динамическая часть задачи элементарна: ускорение тела как в неподвижной системе отсчёта, так и в инерциальной системе отсчёта, связанной с горкой, равно  $g \sin \alpha$  и направлено под углом  $\alpha$  к горизонту (вдоль горки). Известно, что при движении с постоянным ускорением ( $\mathbf{a} = \text{const}$ ) траекторией тела является парабола, ось симметрии которой параллельна вектору ускорения  $\mathbf{a}$ .



К задаче 1.104

На рисунке изображена траектория тела в неподвижной системе, состоящая из участков парабол. Представлен случай,

когда  $\sqrt{2gh} > V \cos \alpha$ , где  $h$  — высота горки, и тело при движении проходит вершины парабол, обозначенные на рисунке буквами А. В высших (по отношению к земле) точках парабол скорость тела равна скорости горки  $V$  и направлена горизонтально. Отыскивая нормальное ускорение тела в верхней точке (вертикальную проекцию  $\mathbf{a}$ ), находим радиус кривизны траектории  $R = V^2 / (g \sin^2 \alpha)$ .

**1.105.** При выполнении неравенства  $\sqrt{2gh} > V \cos \alpha$  радиус кривизны будет минимальным в вершинах участков парабол, по которым движется тело в неподвижной системе координат (см. предыдущую задачу). В вершинах парабол скорость тела перпендикулярна плоскости горки (вдоль которой направлено ускорение тела) и равна  $V \sin \alpha$ . Поскольку в вершинах нормальное ускорение тела равно  $g \sin \alpha$ , то

$$R_{\min} = \frac{V^2 \sin \alpha}{g}.$$

При выполнении обратного неравенства  $\sqrt{2gh} < V \cos \alpha$  траектория тела состоит из участков парабол, не содержащих вершин. В этом случае радиус кривизны минимален в точках, наиболее близких к вершинам, т.е. сразу после отражения от стенки, и равен

$$R_{\min} = \frac{V^2}{g \sin^2 \alpha} [\sin^2 \alpha + (1 - p)^2 \cos^2 \alpha]^{3/2},$$

где  $p = \sqrt{2gh} / (V \cos \alpha)$ .

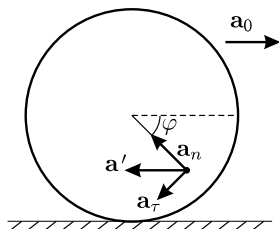
**1.106.** Минимальная скорость лягушки равна  $\sqrt{gH}$ , расстояние от точки прыжка до комара должно равняться  $\sqrt{5}H$ .

**1.107.** В системе отсчёта, связанной с центром колеса, все точки колеса движутся по окружностям. В отсутствие проскальзывания тангенциальное ускорение точек обода равно ускорению центра колеса относительно земли. Нормальное ускорение точек обода для указанного в условии момента времени также равно по величине ускорению центра. Следовательно, ускорение верхней точки колеса относительно земли в рассматриваемый момент равно векторной сумме направленного вертикально вниз нормального ускорения  $a_0$  и горизонтального ускорения  $2a_0$  (складывается из ускорения центра колеса и тангенциального ускорения относительно центра) и составляет по величине  $\sqrt{5}a_0$ .

**1.108.** Решение задачи удобно провести, рассматривая движение произвольной точки диска в системе координат, которая сама движется поступательно и начало которой находится в центре диска. Считаем, что диск движется горизонтально. Любая точка диска относительно этой системы движется по окружности с постоянным тангенциальным ускорением. Причём, если ускорение центра диска равно  $\mathbf{a}_0$ , то тангенциальное ускорение  $\mathbf{a}_\tau$  точки на диске равно

$$a_\tau = a_0 r / R, \quad (1)$$

где  $r$  — радиус окружности, описываемой этой точкой. Соотношение (1) непосредственно следует из условия качения без проскальзывания. Кроме тангенциального, у точек диска будет и нормальное ускорение  $a_n$ , направленное к центру диска. Пусть к рассматриваемому моменту диск, начав равноускоренное движение, находится в движении  $t$  секунд.



К задаче 1.108

Тогда скорость  $V$  точки диска в подвижной системе равна  $V = a_\tau t = a_0 r t / R$  и  $a_n = V^2 / r = 2a_0 r S / R^2$ , где  $S = a_0 t^2 / 2$  — путь, пройденный центром диска за время  $t$ .

Полное ускорение  $\mathbf{a}'$  точки на диске в подвижной системе равно  $\mathbf{a}' = \mathbf{a}_\tau + \mathbf{a}_n$ . Ускорение  $\mathbf{a}$  этой же точки в неподвижной системе выражается суммой  $\mathbf{a} = \mathbf{a}' + \mathbf{a}_0$ . На рисунке показаны векторы ускорений искомой точки и ускорение  $\mathbf{a}_0$  центра диска (см. рис.). Из этого рисунка качественно ясно, где нужно искать точку с нулевым ускорением  $\mathbf{a}$ : правее и ниже центра диска. Введём угол  $\varphi$  между радиусом-вектором искомой точки и горизонтальным направлением. Тогда

$$a_n \sin \varphi = a_\tau \cos \varphi, \quad (2)$$

$$a_n \cos \varphi + a_\tau \sin \varphi = a' = a_0. \quad (3)$$

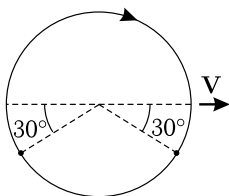
Соотношение (2) отражает факт горизонтальности  $\mathbf{a}'$ , а соотношение (3) — равенство модулей ускорений  $\mathbf{a}'$  и  $\mathbf{a}_0$ . Из (2) выражаем  $\operatorname{tg} \varphi$ :

$$\operatorname{tg} \varphi = \frac{a_\tau}{a_n} = \frac{R}{a_0 t^2} = \frac{R}{2S}.$$

Перепишем соотношение (3) в виде

$$a_n + a_\tau \operatorname{tg} \varphi = a_0 / \cos \varphi = a_0 \sqrt{1 + \operatorname{tg}^2 \varphi}$$

и подставим в него выражение для  $a_n$ . В итоге получим искомое расстояние точки с нулевым ускорением от центра диска:



К задаче 1.109

$$r = \frac{R^2}{\sqrt{R^2 + 4S^2}}.$$

**1.109.** Минимальная скорость жучка  $V/2$ , максимальная  $3V/2$ . Смещение жучка в неподвижной системе отсчёта равно  $2R\sqrt{1 + \pi^2}$ . Максимальный угол между вектором скорости жучка в неподвижной

системе отсчёта и направлением движения ленты равен  $30^\circ$ . Искомые точки расположены как указано на рисунке.

Указание. Угол между вектором скорости жучка в неподвижной системе отсчёта и направлением движения ленты достигает максимального значения в моменты, когда тройка векторов (скорость ленты, скорость жучка относительно ленты и его скорость относительно земли) образует прямоугольный треугольник.



\* \* \*

**2.1** В момент  $t = 5$  с скорость тела равнялась 2,5 м/с. В два других момента времени скорость равнялась нулю.

**2.2.** Дифференцированием находим компоненты скорости:  $V_x = -\omega A \sin \omega t$ ,  $V_y = \omega A \cos \omega t$ ,  $V_z = 2\omega A$ , а затем ускорения:  $a_x = -\omega^2 A \cos \omega t$ ,  $a_y = -\omega^2 A \sin \omega t$ ,  $a_z = 0$ . Поскольку модуль скорости  $V = \sqrt{5}\omega A$  постоянен, путь  $S$  частицы за время  $t$  равен  $S = \sqrt{5}\omega A t$ . Результирующая сила, действующая на частицу, по второму закону Ньютона равна

$$F = ma = m\omega^2 A.$$

$$\mathbf{2.3.} \quad \frac{\sqrt{2} F T^2}{4m\pi^2} \sqrt{1 + \frac{\pi^2}{4} + \left(\frac{\pi^2}{4}\right)^2}.$$

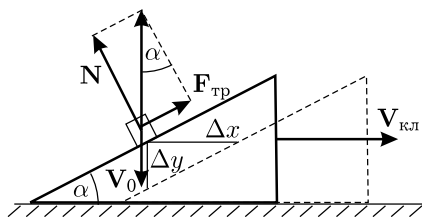
**2.4.** Наименьшая сила равна  $0,5mg(1 - 3\mu) \approx 3,5$  Н.

**2.5.** Коэффициент трения  $\mu$  должен удовлетворять условию  $\mu \geq \frac{\sin \alpha \cos \alpha}{2 + \cos^2 \alpha}$ .

**2.6.** Импульс системы брусок-клин равен  $mV_0$  и направлен под углом  $60^\circ$  к горизонту вправо (симметрично относительно вертикали по отношению к импульсу бруска). Сила трения равна  $0,5mg$ .

Указание. Поскольку вектор скорости бруска направлен более круто, чем наклонная грань клина, ясно, что клин движется вправо. Из кинематической связи скоростей бруска и клина следует, что скорость клина равна  $V_0$ . Из равенства нулю суммы действующих на брусок сил можно найти силу трения.

**2.7.** Из геометрии задачи следует, что смещение бруска на  $\Delta y$  вниз сопровождается смещением клина вправо на  $\Delta x = \Delta y \operatorname{ctg} \alpha$  (см. рис.). Поскольку брусок движется вертикально вниз со скоростью  $V_0$ , клин смещается вправо со скоростью  $V_{\text{кл}} = V_0 \operatorname{ctg} \alpha$ .



К задаче 2.7

Из отсутствия у бруска ускорения следует, что сумма действующих на брусок сил равна нулю, т. е.  $N = mg \cos \alpha$  и  $F_{\text{тр}} = mg \sin \alpha$  ( $g$  — ускорение свободного падения). Поскольку при скольжении  $F_{\text{тр}} = \mu N$ , находим коэффициент трения  $\mu = \operatorname{tg} \alpha$ .

**2.8.** Напишем второй закон Ньютона для кубика в проекции на ось  $x$ , перпендикулярную наклонной плоскости клина ( $g$  — ускорение свободного падения):

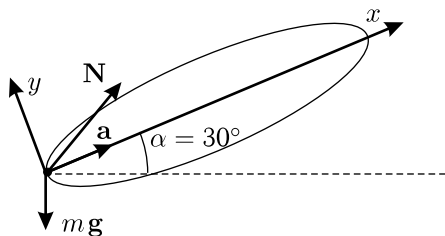
$$ma_x = N - mg \cos \alpha.$$

Учитывая кинематическую связь, т. е. то, что кубик не отрывается от клина в процессе движения, свяжем проекцию ускорения кубика  $a_x$  с ускорением клина  $a_0$ :

$$a_x = -a_0 \sin \alpha.$$

Подставляя эту формулу в первое соотношение и используя, что  $N = mg/2$ , находим ускорение клина:

$$a_0 = g(\sqrt{3} - 1).$$



К задаче 2.9

**2.9.** Напишем 2-й закон Ньютона для бусинки:

$$m\mathbf{a} = m\mathbf{g} + \mathbf{N},$$

где  $\mathbf{N}$  — сила, действующая со стороны кольца,  $\mathbf{g}$  — ускорение свободного падения. В нижней точке ускорение бусинки направлено к центру кольца, так как тангенциальное ускоре-

рение здесь равно нулю. Проектируя векторное уравнение на оси  $x$  (направленную по диаметру кольца) и  $y$  (перпендикулярную плоскости кольца), см. рис., выражаем компоненты силы  $\mathbf{N}$ :

$$N_x = m \frac{V^2}{R} + mg \sin \alpha,$$

$$N_y = mg \cos \alpha.$$

Скорость бусинки в нижней точке найдем из закона сохранения энергии (трения нет):

$$V^2 = 2g(2R \sin \alpha) = 4gR \sin \alpha.$$

Подставляя  $V^2$  в выражение для  $N_x$  и учитывая, что  $\alpha = 30^\circ$ , имеем для  $N$ :

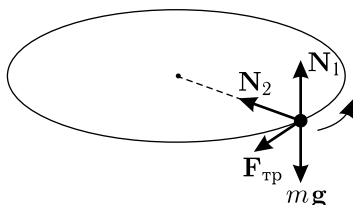
$$N = \sqrt{N_x^2 + N_y^2} = mg \sqrt{\left(\frac{5}{2}\right)^2 + \left(\frac{\sqrt{3}}{2}\right)^2} = mg\sqrt{7}.$$

**2.10.** Укажем силы, действующие на движущуюся бусинку (см. рис.). Упругая сила со стороны кольца представлена в виде двух векторов  $\mathbf{N}_1$  и  $\mathbf{N}_2$ . Сила  $\mathbf{N}_1$  уравнивает силу тяжести ( $g$  — ускорение свободного падения):

$$\mathbf{N}_1 = m\mathbf{g},$$

а сила  $\mathbf{N}_2$  обеспечивает центростремительное ускорение бусинки:

$$\mathbf{N}_2 = \frac{mV^2}{R}.$$



К задаче 2.10

Кроме упругой силы, на бусинку со стороны кольца действует также сила трения скольжения  $\mathbf{F}_{\text{тр}}$ , равная

$$F_{\text{тр}} = \mu \sqrt{N_1^2 + N_2^2}.$$

Поскольку векторы  $\mathbf{N}_1$ ,  $\mathbf{N}_2$  и  $\mathbf{F}_{\text{тр}}$  взаимно перпендикулярны, то полная сила, действующая на бусинку со стороны кольца, определяется формулой

$$\begin{aligned} F &= \sqrt{N_1^2 + N_2^2 + F_{\text{тр}}^2} = \sqrt{(1 + \mu^2) (N_1^2 + N_2^2)} = \\ &= m \sqrt{(1 + \mu^2) \left( g^2 + \frac{V^4}{R^2} \right)}. \end{aligned}$$

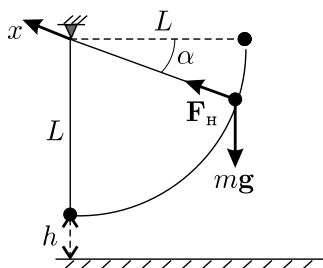
Подставляя в полученное выражение значения скорости  $V = V_0$  и  $V \approx 0$ , находим значения силы  $F$  сразу после старта и перед остановкой:

$$F = m \sqrt{(1 + \mu^2) \left( g^2 + \frac{V_0^4}{R^2} \right)}, \quad F \approx mg \sqrt{(1 + \mu^2)}.$$

**2.11.** Обозначим через  $h$  расстояние от неподвижно висящего шарика до пола. Тогда после перерезания нити в исходном положении шарик пролетит расстояние  $h$  за время  $t$ , которое определится из формулы

$$h = \frac{gt^2}{2}, \tag{1}$$

где  $g$  — ускорение свободного падения. По условию время полёта шарика после обрыва нити в случае запуска из отклоненного состояния должно быть таким же.



К задаче 2.11

Напишем второй закон Ньютона для шарика на нити, движущегося по окружности:

$$m\mathbf{a} = \mathbf{F}_H + m\mathbf{g},$$

где  $m$  — масса шарика, а  $\mathbf{F}_H$  — сила натяжения нити. Проектируя это уравнение на ось  $x$ , направленную к точке подвеса, находим, что

$$m \frac{V^2}{L} = F_H - mg \sin \alpha. \quad (2)$$

Из закона сохранения энергии ( $\mathbf{F}_H$  не совершает работу, так как перпендикулярна к скорости) следует, что

$$\frac{mV^2}{2} = mgL \sin \alpha. \quad (3)$$

Исключая  $V^2$  из выражений (2) и (3), находим зависимость силы натяжения от угла:

$$F_H = 3mg \sin \alpha.$$

Поскольку нить выдерживает максимальное натяжение  $mg$ , ее разрыв произойдет при угле  $\alpha$ , синус которого равен  $1/3$  (строго говоря, при незначительном превышении этого значения). Подставляя найденное значение синуса в формулу (3), находим скорость шарика в момент обрыва нити:

$$V_1 = \sqrt{\frac{2}{3}gL}.$$

Учитывая направление скорости  $\mathbf{V}_1$  (по касательной), легко найти ее вертикальную компоненту:

$$V_{1v} = \sqrt{\frac{2}{3}gL} \cdot \cos \alpha = \sqrt{\frac{2}{3}gL} \cdot \sqrt{\frac{8}{9}} = \frac{4\sqrt{gL}}{3\sqrt{3}}.$$

После разрыва нити шарик пролетит по вертикали до удара об пол расстояние

$$S = L(1 - \sin \alpha) + h = \frac{2}{3}L + h.$$

Движение шарика по вертикали будет описываться формулой

$$S = V_{1v}t + \frac{gt^2}{2}. \quad (4)$$

Подставляя в формулу (4) выражения для  $S$  и  $V_{1B}$ , находим, что

$$\frac{2}{3}L + h = \frac{4\sqrt{gL}}{3\sqrt{3}}t + \frac{gt^2}{2}.$$

Учитывая, что время полёта  $t$  в формулах (1) и (4) одинаково, получаем для него

$$t = \sqrt{\frac{L}{g}} \cdot \frac{\sqrt{3}}{2}.$$

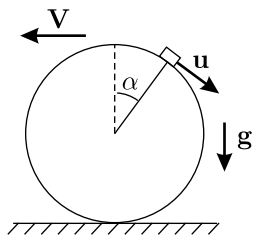
Следовательно, высота  $h$  равна

$$h = \frac{gt^2}{2} = \frac{3}{8}L,$$

а точка подвеса должна находиться над полом на высоте

$$h + L = \frac{11}{8}L.$$

**2.12.** Наиболее изящное решение задачи получается в специально подобранной подвижной (но инерциальной!) системе координат. Заметим, прежде всего, что шар не будет вращаться, так как моменты действующих на него сил равны нулю относительно оси, проходящей перпендикулярно чертежу через центр шара. Таким образом, шар будет двигаться поступательно и ускоренно влево (см. рис.) под действием горизонтальной компоненты силы со стороны тела  $m$ . Обозначим скорость шара в момент отрыва через  $V$ . Выберем подвижную инерциальную систему координат, которая также движется влево со скоростью  $V$ , т.е. со скоростью шара, оторвавшегося от тела. Поскольку система координат инерциальная, то в ней выполняются законы Ньютона и законы сохранения. В этой системе условие отрыва запишется следующим образом:



К задаче 2.12

$$\frac{mu^2}{R} = mg \cos \alpha, \quad (1)$$

где  $u$  — скорость тела в подвижной системе отсчета в момент отрыва от шара. Сохранение горизонтальной компоненты импульса системы «шар-тело» приводит к равенству

$$(m + M)V = mu \cos \alpha. \quad (2)$$

В левой части соотношения (2) записан импульс системы «шар-тело» в начальном состоянии, когда тело и шар покоились относительно земли (но двигались со скоростью  $V$  относительно подвижной системы координат). В правой части стоит горизонтальная проекция импульса тела в момент отрыва (когда шар в подвижной системе остановился). Закон сохранения механической энергии выражается равенством

$$\frac{(m+M)V^2}{2} + mgR(1 - \cos \alpha) = \frac{mu^2}{2}. \quad (3)$$

Учитывая, что в момент отрыва  $\cos \alpha = 3/4$ , и исключая радиус  $R$ , из соотношений (1) и (3) получаем

$$\frac{(m+M)V^2}{2} = \frac{mu^2}{6}. \quad (4)$$

Отсюда с учетом равенства (2) находим отношение  $m/M$ :

$$\frac{m}{M} = \frac{16}{11}.$$

Приведём кратко другой способ решения задачи. Записывая законы сохранения энергии и проекции импульса в неподвижной системе отсчета, выразим скорость шара  $V$  в произвольный момент времени до отрыва тела через угол  $\alpha$ :

$$V^2 = \frac{2gR(1 - \cos \alpha)m/M}{(1 + m/M)(1 + (1 + m/M)\operatorname{tg}^2 \alpha)}. \quad (5)$$

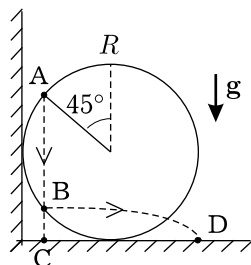
В момент отрыва тела скорость шара и, следовательно, квадрат этой скорости достигают максимального значения, поскольку после отрыва тела шар перестаёт разгоняться силой давления со стороны тела. Поэтому в момент отрыва производная  $\frac{d(V^2)}{dt} = 0$ . Учитывая, что  $\frac{d(V^2)}{dt} = \frac{d(V^2)}{d\alpha} \frac{d\alpha}{dt}$  и  $\frac{d\alpha}{dt} = \frac{u}{R} \neq 0$ , приходим к условию  $\frac{d(V^2)}{d\alpha} = 0$  в момент отрыва. Дифференцируя соотношение (5) по углу  $\alpha$ , получаем уравнение для искомого отношения масс  $m/M$ :

$$1 + (1 + m/M)\operatorname{tg}^2 \alpha - (1 - \cos \alpha)(1 + m/M)2/\cos^3 \alpha = 0.$$

Подставляя сюда  $\cos \alpha = 3/4$  и  $\operatorname{tg}^2 \alpha = 7/9$ , находим, что  $m/M = 16/11$ .

**2.13.** Так как обруч невесом, то после освобождения системы ни со стороны стенки, ни со стороны пола на обруч не будут действовать силы, и груз будет падать с ускорени-

ем свободного падения  $g$ . Это легко понять, поскольку, если бы силы возникали, их моменты приводили бы к бесконечно большому угловому ускорению обруча относительно оси, проходящей через точку прикрепления к нему груза. Когда груз долетит, поворачивая обруч, до точки В (см. рис.), произойдет ударное взаимодействие груза через обруч со стенкой и полом. Действующие со стороны стенки и пола ударные силы будут равны по абсолютной величине и пройдут через центр обруча (только в момент удара становится существенным, что нет трения). Поскольку удар абсолютно упругий, значение скорости из-за удара не меняется. Ударные силы не могут изменить и тангенциальную к обручу компоненту скорости груза, нормальная же компонента изменяет свое направление на обратное. В результате после удара скорость груза в точке В будет направлена горизонтально. Дальнейшее его движение можно рассматривать как полёт горизонтально брошенного тела, поскольку сила со стороны пола будет возникать лишь в моменты касания груза с полом. Расчет расстояния от точки А до точки D первого касания груза с полом не представляет сложностей:



К задаче 2.13

$$AD = \sqrt{AC^2 + CD^2}, \quad AC = R \left( 1 + \frac{\sqrt{2}}{2} \right), \quad CD = Vt,$$

$$V = \sqrt{2gR\sqrt{2}}, \quad t = \sqrt{R(2 - \sqrt{2})/g}, \quad \text{AD} = R\sqrt{5\sqrt{2} - 2}, 5.$$

**2.14.** Кубик коснется горизонтальной поверхности через промежуток времени  $t = \frac{1}{\sin \alpha} \sqrt{\frac{2h}{g}}$ . Вектор скорости кубика в момент касания будет вертикальным при  $V = \sqrt{2gh} \cos \alpha$ .

**2.15.** Кубик пройдет через вершину параболы до удара о горизонтальную поверхность, если его начальная высота  $h$  над этой поверхностью удовлетворяет неравенству

$$h > \frac{V^2 \cos^2 \alpha}{2g},$$

где  $g$  — ускорение свободного падения. Радиус кривизны в вершине параболы равен  $(V^2/g) \sin \alpha$ .

**2.16.** Рассмотрим вначале движение центра масс системы. Поскольку внешние силы действуют только по вертикали, горизонтальная компонента скорости центра масс остаётся постоянной и равной  $0,5V_0 \cos \alpha$ . К моменту  $t$  возвращения кубика в исходную точку на клине смещение  $S$  (см. рис.) центра масс будет равно смещению клина (и кубика):

$$S = 0,5V_0 t \cos \alpha. \quad (1)$$

Из второго закона Ньютона для кубика следует, что ускорение кубика  $a_x$  вдоль неподвижной оси  $x$ , параллельной поверхности клина, равно  $-g \sin \alpha$ . Поэтому координата  $x_1$  кубика в момент его возврата в точку старта на клине равна

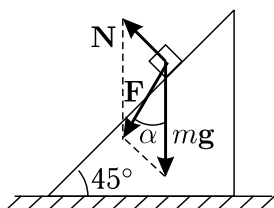
$$x_1 = V_0 t - (g \sin \alpha) t^2 / 2. \quad (2)$$

Из рисунка ясно, что  $x_1 = S \cos \alpha$ . С учетом этого из выражений (1) и (2) находим, что

$$t = \frac{V_0 (1 + \sin^2 \alpha)}{g \sin \alpha}.$$

**2.17.** В момент возврата на начальную высоту скорость кубика направлена вертикально вниз и равна  $V_0 \sin \alpha$ .

**2.18.** Радиус кривизны в верхней точке равен  $\frac{V_0^2 (1 - \sin^4 \alpha)}{8g \sin^2 \alpha}$ .



К задаче 2.19

**2.19.** Записывая второй закон Ньютона для кубика и клина и связывая ускорения этих тел кинематической связью (см. решение задачи 2.8), нетрудно получить выражение для силы нормального давления  $N$ , действующей на кубик:  $N = mg\sqrt{2}/3$ . Удобно найти далее результирующую силу  $\mathbf{F} = m\mathbf{g} + \mathbf{N}$ . Из рисунка легко определяются её вертикальная и горизонтальная компоненты:

$$F_{\text{верт}} = mg - N \frac{\sqrt{2}}{2} = \frac{2}{3} mg,$$

$$F_{\text{гор}} = \frac{\sqrt{2}}{2} N = \frac{1}{3} mg.$$



Следовательно, сила  $F$  и угол  $\alpha$  между силой  $\mathbf{F}$  и вертикалью определяются выражениями

$$F = \sqrt{F_{\text{верт}}^2 + F_{\text{гор}}^2} = \frac{\sqrt{5}}{3}mg,$$

$$\sin \alpha = \frac{F_{\text{гор}}}{F} = \frac{\sqrt{5}}{5}.$$

Поскольку результирующая сила  $\mathbf{F}$  постоянна, кубик движется по параболе. Наименьший радиус кривизны траектории будет в вершине параболы, где скорость кубика минимальна, а нормальное ускорение максимально. Действительно, в вершине параболы у кубика остаётся только перпендикулярная к силе  $\mathbf{F}$  скорость (которая в процессе движения вообще не меняется), и его нормальное ускорение здесь равно полному ускорению. Найдём перпендикулярную к  $\mathbf{F}$  скорость кубика:

$$V_{\perp} = V_0 \sin(45^\circ - \alpha) = V_0 \frac{\sqrt{2}}{2} \frac{1}{\sqrt{5}} = \frac{V_0}{\sqrt{10}}.$$

Тогда минимальный радиус кривизны  $\rho_{\min}$  равен

$$\rho_{\min} = \frac{V_{\perp}^2}{a} = \frac{3V_0^2}{10\sqrt{5}g}.$$

**2.20.** Минимальная скорость кубика равна  $\frac{V_0}{2}\sqrt{\frac{3}{7}}$ .

**2.21.** Максимальная конечная скорость клина равна  $\sqrt{3gH/5}$  и достигается при начальной скорости кубика  $4\sqrt{gH/5}$  (в этом случае скорость кубика относительно клина в момент схода практически равна нулю).

**2.22.** Из второго закона Ньютона для тела следует, что проекция его ускорения на неподвижную ось, параллельную наклонной плоскости клина, *не зависит* от ускорения клина и равна  $g \sin 45^\circ$ , где  $g$  — ускорение свободного падения. Из условия неотрывности тела от клина следует равенство проекций ускорений тела и клина на неподвижную ось, перпендикулярную наклонной плоскости клина. Обозначив ускорение клина через  $b$ , записываем эту проекцию как  $b \cos 45^\circ$ . Две указанные проекции ускорения тела на взаимно перпендикулярные оси определяют полный вектор ускорения тела. Рассмотрим далее движение тела вдоль вертикальной оси. Вдоль этой оси пройденный путь одинаков при неподвижном и горизонтально движущемся клине. Из условия, что времена движения отличаются вдвое, следует, что ускорение вдоль вертикальной

оси при подвижном клине в 4 раза меньше. Таким образом,  $g \sin 45^\circ \cos 45^\circ - b \cos 45^\circ \sin 45^\circ = (1/4)g \sin 45^\circ \cos 45^\circ$ . Отсюда находим  $b = (3/4)g$ . Задачу можно решить и другими способами, например, в неинерциальной системе отсчета, связанной с клином, или отыскивая смещение тела вдоль неподвижной оси, параллельной наклонной плоскости клина.

**2.23.** Время соскальзывания по неподвижному клину с длиной наклонной грани  $L$  равно  $[2L/(g \sin 30^\circ)]^{1/2} = 2(L/g)^{1/2}$ , где  $g$  — ускорение свободного падения. Можно заметить, что это время вдвое больше времени свободного падения тела с высоты  $L \sin 30^\circ = L/2$ . Таким образом, нужно двигать клин вправо с ускорением  $g \operatorname{ctg} 30^\circ = g\sqrt{3}$ , чтобы тело падало с ускорением  $g$ , едва касаясь клина.

**2.24.** Радиус кривизны траектории  $R$  выражается через скорость  $V$  и нормальное ускорение бруска  $a_n$  по формуле  $R = V^2/a_n$ . В момент остановки клина скорость бруска направлена вдоль наклонной грани и равна  $2V_0/\cos \alpha$  (что следует из сохранения горизонтальной проекции импульса). Нормальное ускорение бруска равно  $a_n = (mg \cos \alpha - N)/m$ , где  $N = mg \cos \alpha / (1 + \sin^2 \alpha)$  — сила реакции клина,  $g$  — ускорение свободного падения. В итоге получаем

$$R = \frac{4V_0^2 (1 + \sin^2 \alpha)}{g \sin^2 \alpha \cos^3 \alpha}.$$

**2.25.** Радиус кривизны равен  $\frac{V_0^2 (1 - \sin^2 \beta)^2}{g \sin \alpha}$  ( $g$  — ускорение свободного падения).

**2.26.** Сила реакции клина равна  $mg\sqrt{2}/3$  ( $g$  — ускорение свободного падения). Скорость кубика в высшей точке траектории равна  $3V_0/4$ . Кубик вернется на начальный уровень через время  $1,5V_0/g$ . Радиус кривизны траектории кубика в высшей точке равен  $\frac{81}{32\sqrt{11}} \frac{V_0^2}{g}$ .

$$\mathbf{2.27.} \text{ Ускорение ленты } a = \begin{cases} g \sin \alpha - \frac{1}{2} \mu g \cos \alpha, & \mu < \frac{4}{3} \operatorname{tg} \alpha; \\ \frac{1}{3} g \sin \alpha, & \mu > \frac{4}{3} \operatorname{tg} \alpha, \end{cases}$$

где  $g$  — ускорение свободного падения.

Указание. Учесть, что груз большей массы по ленте скользить не будет.

**2.28.** Укажем силы, действующие на грузы (см. рис.). Поскольку клин невесомый, горизонтальные проекции сил  $\mathbf{N}_1$

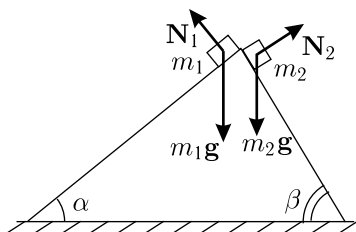
и  $\mathbf{N}_2$ , действующих на клин со стороны грузов, должны компенсироваться:

$$N_1 \sin \alpha = N_2 \sin \beta. \quad (1)$$

Напишем для каждого груза второй закон Ньютона:

$$m_1 \mathbf{a}_1 = m_1 \mathbf{g} + \mathbf{N}_1,$$

$$m_2 \mathbf{a}_2 = m_2 \mathbf{g} + \mathbf{N}_2,$$



К задаче 2.28

где  $g$  — ускорение свободного падения. Проектируя эти уравнения на вертикальную ось  $y$  и учитывая, что  $a_{1y} = a_{2y} = a_y$  (иначе грузы достигнут стола не одновременно), получаем

$$m_1 a_y = m_1 g - N_1 \cos \alpha,$$

$$m_2 a_y = m_2 g - N_2 \cos \beta.$$

Исключая отсюда  $a_y$ , находим еще одно уравнение связи между силами  $N_1$  и  $N_2$ :

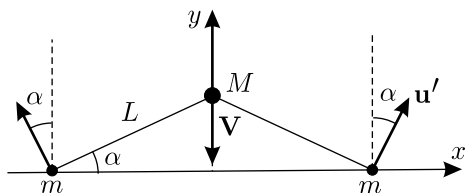
$$\frac{N_1}{m_1} \cos \alpha = \frac{N_2}{m_2} \cos \beta. \quad (2)$$

Из системы уравнений (1), (2) получаем (поделив одно равенство на другое) искомое отношение масс:

$$m_2/m_1 = \operatorname{tg} \alpha / \operatorname{tg} \beta.$$

**2.29.** «Отставшее» (более тяжелое) тело будет находиться на высоте  $h/\sqrt{3}$ . Клин сместится на расстояние  $h/\sqrt{3}$  вправо.

**2.30.** Рассмотрим движение заряженных шариков в некоторый момент времени после пережигания нити (см. рис.). Пусть  $\mathbf{V}$  и  $\mathbf{u}$  — соответственно скорости шарика массой  $M$  и правого шарика массой  $m$  в неподвижной системе отсчета, а  $\mathbf{u}'$  — скорость правого шарика в движущейся системе отсчета, связанной с центральным шариком  $M$ . Тогда



К задаче 2.30

$$u' \sin \alpha = u_x, \quad (1)$$

$$u' \cos \alpha - V = u_y \quad (2)$$

(угол  $\alpha$  указан на рисунке). Выразим из соотношений (1) и (2)  $\operatorname{tg} \alpha$ :

$$\operatorname{tg} \alpha = \frac{u_x}{u_y + V}. \quad (3)$$

Воспользуемся далее законом сохранения импульса:

$$MV = 2mu_y.$$

Обозначая  $2m/M$  через  $\mu$  и подставляя в формулу (3) вместо  $V$  величину  $\mu u_y$ , выразим  $\operatorname{tg} \alpha$  через  $u_x$  и  $u_y$ :

$$\operatorname{tg} \alpha = \frac{u_x}{u_y(1 + \mu)}. \quad (4)$$

Напишем теперь закон сохранения механической энергии:

$$\frac{mu^2}{2} + \frac{mu^2}{2} + \frac{MV^2}{2} = \left( \frac{q^2}{L} - \frac{q^2}{2L \cos \alpha} \right) \frac{1}{4\pi\epsilon_0},$$

где  $L$  — длина нити, а  $\epsilon_0$  — электрическая постоянная. Поскольку  $V = \mu u_y$  и  $u^2 = u_x^2 + u_y^2$ , можно с помощью соотношения (4) выразить  $V^2$  через  $\alpha$  и  $u^2$ :

$$V^2 = \frac{\mu^2 u^2}{1 + (1 + \mu)^2 \operatorname{tg}^2 \alpha}.$$

Подставляя данное выражение в закон сохранения энергии, получаем для  $u^2$  формулу

$$u^2 = \frac{q^2}{4\pi\epsilon_0 mL} \frac{1 - \frac{1}{2 \cos \alpha}}{1 + \frac{\mu}{1 + (1 + \mu)^2 \operatorname{tg}^2 \alpha}}.$$

Для исследования данного выражения на экстремум удобно вместо угла  $\alpha$  ввести новую переменную  $\eta = 1/\cos \alpha$ . Тогда формула для  $u^2$  примет вид

$$u^2 = \frac{q^2}{8\pi\epsilon_0 mL(1 + \mu)} \frac{(2 - \eta) \left[ 1 + (1 + \mu)^2 (\eta^2 - 1) \right]}{1 + (1 + \mu) (\eta^2 - 1)}.$$

В процессе движения шариков аргумент  $\eta$  функции  $u^2(\eta)$  сначала убывает от начального значения, равного двум (при  $\alpha = 60^\circ$ ), до единицы (при  $\alpha = 0$ ), а затем снова начинает возрастать. Функция  $u^2(\eta)$ , в зависимости от значения параметра  $\mu$ , может либо монотонно нарастать при уменьшении аргумента  $\eta$ , либо иметь максимум на интервале  $1 < \eta < 2$  (в этом можно убедиться, строя графики зависимости  $u^2(\eta)$  при различных значениях  $\mu$ ).

Чтобы найти значения параметра  $\mu$ , при которых максимум функции  $u^2(\eta)$  достигается при  $\eta = 1$  (т. е. когда  $\alpha = 0$  и все шарики расположены на одной прямой), продифференцируем  $u^2(\eta)$  по  $\eta$ , приравняем производную к нулю и затем, полагая  $\eta = 1$ , получим уравнение для  $\mu$ :

$$-1 + 2(1 + \mu)^2 - 2(1 + \mu) = 0. \quad (5)$$

Решая уравнение (5) и выбирая положительный корень, находим

$$\mu = \frac{\sqrt{3} - 1}{2} \approx 0,35.$$

При  $\mu$ , меньших найденного значения, функция  $u^2(\eta)$  также имеет максимум в точке  $\eta = 1$ , но производная этой функции в данной точке уже не равняется нулю (например, в пределе  $\mu \rightarrow 0$  функция  $u^2(\eta)$  линейно зависит от  $\eta$ ). Таким образом, максимум скорости шариков массой  $m$  достигается при  $\alpha = 0$  (все шарики расположены на одной прямой) в том случае, когда

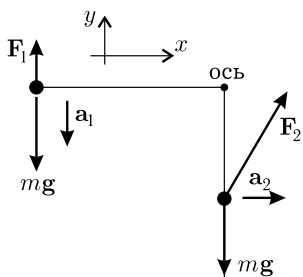
$$0 \leq \frac{2m}{M} \leq \frac{\sqrt{3} - 1}{2}. \quad (6)$$

Примечание. В известном задачнике Савченко (Задачи по физике / Под ред. О. Я. Савченко. 2-е изд. М.: Наука. 1988) рассматривается движение системы трех заряженных шариков с равными массами. Приведённый в задачнике ответ подразумевает, что максимум скорости шариков достигается в тот момент, когда все шарики расположены на одной прямой ( $\alpha = 0$  в наших обозначениях). Как ясно из приведенного выше решения, данный ответ является ошибочным, поскольку при  $M = m$  неравенство (6) не выполняется и максимум скорости крайних шариков достигается не при  $\alpha = 0$ . При равных массах шариков в момент, когда все шарики располагаются на одной прямой ( $\alpha = 0$ ), центральный шарик имеет максимальную скорость, а скорости крайних шариков имеют локальный минимум.

**2.31.** Ускорения ближнего (к оси) и дальнего шариков равны соответственно  $g/5$  и  $2g/5$ , где  $g$  — ускорение свободного падения.

**2.32.** Радиусы окружностей, по которым движутся шарики, отличаются вдвое, поэтому тангенциальное и нормальное, а значит, и полное ускорение шарика, движущегося по окружности большего радиуса, в любой момент времени в два раза больше ускорения другого шарика; векторы полных ускорений шариков всегда противоположны. В интересующий нас момент

времени векторы полных ускорений, очевидно, горизонтальны, откуда для любого шарика следует связь между его нормальным  $a_n$  и тангенциальным  $a_\tau$  ускорениями:  $a_n \sin \alpha = a_\tau \cos \alpha$ , где  $\alpha$  — угол поворота стержня. Находя угловую скорость стержня  $\omega$  из закона сохранения энергии, определяем нормальные ускорения шариков:  $(2/5)g \sin \alpha$  и  $(4/5)g \sin \alpha$ . Тангенциальные ускорения шариков находим, записывая второй закон Ньютона для каждого шарика в проекции на тангенциальное направление и учитывая, что из-за невесомости стержня тангенциальные упругие силы, действующие на шарик, отличаются вдвое. В итоге для тангенциальных ускорений получаем значения  $(1/5)g \cos \alpha$  и  $(2/5)g \cos \alpha$ . Тангенс угла поворота стержня находим как  $\operatorname{tg} \alpha = a_\tau / a_n = 1/\sqrt{2}$ , т. е.  $\alpha \approx 35^\circ$ . Горизонтальная компонента силы в этот момент равна  $(3/5)mg \sin \alpha \cos \alpha$ .



К задаче 2.33

**2.33.** Сразу после освобождения скорости шариков близки к нулю и поэтому ускорения шариков являются тангенциальными. Первый шарик (тот, что находился на уровне оси) после освобождения движется по окружности вдвое большего радиуса, чем второй, и поэтому в любой момент его скорость, а значит и тангенциальное ускорение, в два раза больше соответствующих величин для другого шарика.

Таким образом, в начальный момент в два раза отличаются и полные ускорения:

$$a_1 = 2a_2. \quad (1)$$

Указав силы, действующие на шарик (см. рис.), и записывая в проекциях на оси  $x$ ,  $y$  второй закон Ньютона для каждого из шариков, получим ещё три уравнения:

$$ma_1 = mg - F_1, \quad (2)$$

$$ma_2 = F_{2x}, \quad (3)$$

$$0 = F_{2y} - mg. \quad (4)$$

Пятое уравнение получается из условия невесомости стержня. Поскольку масса стержня равна нулю, к нему нельзя приложить вращательный момент конечной величины. Поэтому

$$F_{2x} = 2F_1. \quad (5)$$

Из системы (1)–(5) находим, что

$$F_1 = mg/5, \quad F_{2x} = 2mg/5, \quad F_{2y} = mg.$$

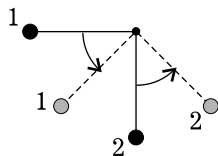
Результирующая сила  $F_0$ , действующая на стержень со стороны шариков, равна

$$F_0 = \sqrt{\left(\frac{2}{5}mg\right)^2 + \left(\frac{6}{5}mg\right)^2} = 2mg\sqrt{\frac{2}{5}}.$$

Поскольку стержень невесом, то с такой же силой и стержень действует на ось.

**2.34.** Максимальное значение угловой скорости стержня  $\sqrt{0,4(\sqrt{5}-1)g/L}$  достигается при угле поворота, тангенс которого равен 2. Сила, с которой стержень в этот момент действует на ось, равна  $2mg(2 - 1/\sqrt{5})$ .

**2.35.** Скорость шариков максимальна при прохождении системой положения равновесия, в котором оба шарика оказываются на одном уровне. В этот момент центр масс шариков, находящийся на середине соединяющей шарiki линии, занимает нижнее положение. Записывая закон сохранения механической энергии в виде (потенциальная энергия шариков отсчитывается от начального положения нижнего шарика)



К задаче 2.35

$$2mV_{\max}^2/2 + 2mgL(1 - 1/\sqrt{2}) = mgL,$$

находим максимальную скорость шариков:

$$V_{\max} = [gL(\sqrt{2} - 1)]^{1/2}.$$

Работа, совершенная силой действия стержня на нижний шарик, равна приращению механической энергии этого шарика, т.е.

$$A = mV_{\max}^2/2 + mgL(1 - 1/\sqrt{2}) = mgL/2.$$

**2.36.** Наименьшая внешняя сила, которая может обеспечить поступательное движение кубика, равна  $\mu mg / \sqrt{1 + \mu^2}$ . Сила такой величины сдвинет кубик только при условии, что она направлена под определенным углом  $\alpha$  к горизонту ( $\operatorname{tg} \alpha = \mu$ ). При этом деформации первой и второй пружин соответственно будут

$$\Delta x_1 = \frac{\mu mg}{k_1 \sqrt{1 + \mu^2}}, \quad \Delta x_2 = \frac{\mu mg}{k_2 \sqrt{1 + \mu^2}}.$$

Потенциальная энергия сжатых пружин равна

$$W_{\text{пот}} = \frac{(\mu mg)^2}{2(1 + \mu^2)} \left( \frac{1}{k_1} + \frac{1}{k_2} \right),$$

она и определяет минимальную работу внешней силы.

**2.37.** Отношение масс должно быть меньше  $4\sqrt{2} - 5 \approx 0,7$ .

**2.38.** Рассмотрим произвольный момент времени, когда нить образует с горизонтом некоторый угол  $\alpha$ . Из второго закона Ньютона для шарика с учетом сохранения энергии находим силу натяжения нити:  $F_n = 3mg \sin \alpha$  где  $m$  — масса шарика. Брусочек остается неподвижным, следовательно, сила трения компенсирует горизонтальную проекцию силы натяжения:  $F_{\text{тр}} = 3mg \sin \alpha \cos \alpha$ . Поскольку  $F_{\text{тр}} \leq \mu N$ , а сила нормального давления  $N$  равна  $mg(3 \sin^2 \alpha + 1/\gamma)$ , то

$$\mu \geq \frac{3\gamma \sin \alpha \cos \alpha}{1 + 3\gamma \sin^2 \alpha}.$$

Данное соотношение еще не дает решения, поскольку в правую часть входит произвольный угол  $\alpha$ . Необходимо найти максимум правой части и уже затем определить  $\mu$ . Вместо стандартной процедуры взятия производной по  $\alpha$  и приравнивания ее к нулю возможен более простой способ — несложным преобразованием сделать максимум правой части самоочевидным:

$$\begin{aligned} \frac{3\gamma \sin \alpha \cos \alpha}{1 + 3\gamma \sin^2 \alpha} &= \frac{3\gamma}{\frac{1}{\sin \alpha \cos \alpha} + 3\gamma \operatorname{tg} \alpha} = \frac{3\gamma}{\frac{1}{\operatorname{tg} \alpha} + (3\gamma + 1) \operatorname{tg} \alpha} = \\ &= \frac{3\gamma}{\sqrt{3\gamma + 1} \left( \frac{1}{\operatorname{tg} \alpha \sqrt{3\gamma + 1}} + \operatorname{tg} \alpha \sqrt{3\gamma + 1} \right)}. \end{aligned}$$

Минимальное значение выражения в скобках, где стоит сумма взаимобратных положительных величин, равно 2. Следовательно,

$$\mu \geq \frac{3\gamma}{2\sqrt{3\gamma + 1}}.$$

**2.39.** Сила давления достигает максимального значения  $\frac{mg}{2} \sin \beta (3 \cos \beta - 2)$ , где  $\cos \beta = \frac{1 + \sqrt{19}}{6}$ , т. е. примерно  $0,15mg$ .



**2.40.** Сила давления обруча  $N$  зависит от угла поворота  $\varphi$  следующим образом:

$$N = \frac{m^2 g}{m + M} (3 \cos \varphi - 2) \sin \varphi, \quad \varphi \leq \arccos(2/3).$$

При  $\varphi > \arccos(2/3)$  сила  $N = 0$  (обруч не касается стенки).

**2.41.** Брусок пройдет расстояние  $2L/3$ .

**2.42.** Бруски движутся с одинаковыми ускорениями  $F/(2m)$ , если  $F < 2\mu mg$ . При  $F > 2\mu mg$  ускорение верхнего бруска равно  $F/m - \mu g$ , а нижнего  $\mu g$  ( $g$  — ускорение свободного падения).

Указание. Следует учесть, что из-за невесомости листа силы трения, действующие на него со стороны брусков, равны по величине (и противоположны по направлению) и каждая из них не превышает  $\mu mg$ .

**2.43.** Доска скользит по столу при  $F > 2\mu mg$ . Груз скользит по доске при  $F > \frac{8}{3}\mu mg$ , где  $g$  — ускорение свободного падения.

**2.44.** В отсутствие проскальзывания сила трения равна  $3F/2$ . Проскальзывание груза начнется при критическом значении силы  $F^* = (2/3)\mu mg$ , где  $g$  — ускорение свободного падения. Ускорение доски при  $F > F^*$  равно  $2F/m - \mu g$ .

**2.45.** Работа силы равна  $A = m(\mu gt)^2$ , количество теплоты  $Q = m(\mu gt)^2/2$ .

Указание. При решении важно учесть, что на доску через блок действует сила  $2F$ .

**2.46.** В отсутствие проскальзывания бруска по дощечке, т. е. при  $|F_1 - F_2| < 2\mu mg$  ( $g$  — ускорение свободного падения), сила трения равна  $|F_1 - F_2|/2$ . При наличии проскальзывания, т. е. при  $|F_1 - F_2| > 2\mu mg$ , сила трения равна  $\mu mg$ .

**2.47.** Работа силы  $\mu mg/2$  равна  $-m(\mu gt)^2/16$ , а силы  $\mu mg$  равна  $m(\mu gt)^2/8$ .

Указание. Вначале следует убедиться, что брусок не будет проскальзывать по дощечке.

**2.48.** В системе выделится  $0,75$  Дж теплоты.

**2.49.** Максимальное количество теплоты равно

$$Q = \frac{0,5mgL}{1 + 2L/(g\tau^2)}$$

и выделяется при коэффициенте трения

$$\mu = \frac{0,5}{1 + 2L/(g\tau^2)}.$$

**2.50.** Скольжение кубиков по доске прекратится на расстоянии  $L/12$  от ее левого конца.

Указание. До столкновения кубиков доска остается неподвижной, а кубики проходят расстояния  $L/6$  и  $5L/6$ . Из закона сохранения импульса следует, что сразу после соударения скорость «слипшихся» кубиков будет равна меньшей из начальных скоростей. Далее доска будет разгоняться с ускорением  $\mu g$  ( $\mu$  — коэффициент трения,  $g$  — ускорение свободного падения), а бруски тормозиться с тем же по величине ускорением. Скольжение прекратится, когда скорости доски и кубиков относительно земли станут одинаковыми.

**2.51.** Максимальная скорость, которую набирает доска, равна  $V_0/2$ . Перемещение тяжелого бруска по доске равно  $V_0^2/(4\mu g)$ , а легкого  $7V_0^2/(8\mu g)$ , где  $g$  — ускорение свободного падения.

**2.52.** Промежуток между торцами досок будет равен  $L/2$ . Коэффициент трения равен  $V_0^2/(7gL)$ ,  $g$  — ускорение свободного падения.

**2.53.** Брусек пройдет четвертую часть второй доски.

**2.54.** Брусек сместится относительно доски на расстояние  $V_0^2/(3\mu g)$ , где  $g$  — ускорение свободного падения.

**2.55.** Отношение массы бруска к массе доски должно быть равно  $1 - 2/\sqrt{5}$ .

**2.56.** Работа сил сухого трения равна

$$\frac{km_1S(V^2 - V_0^2)}{2[kS + m_1V_0 - (m_1 + m_2)V]}.$$

Указание. При решении задачи следует учесть, что максимальная скорость доски  $V$  достигается в момент остановки шайбы на доске. Смещение доски  $L$  к этому моменту находится из теоремы об изменении импульса системы «шайба-доска»:  $L = [m_1V_0 - (m_1 + m_2)V]/k$ .

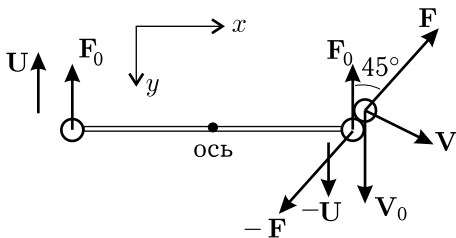
**2.57.** Воздействие будет максимальным при угле  $\arctg(\sqrt{2}/2) \approx 35^\circ$ .

**2.58.** Обозначим скорости шариков сразу после удара следующим образом (см. рис.):  $U$  — скорость шариков, скрепленных со стержнем,  $V$  — скорость налетевшего шарика. Из закона сохранения энергии (удар абсолютно упругий) следует равенство

$$2U^2 + V^2 = V_0^2. \quad (1)$$

Рассмотрим упругие силы, действующие на шарики в процессе ударного взаимодействия (из-за кратковременности взаимодействия силами тяжести пренебрегаем). Силы взаимодействия

налетающего и правого шариков  $\mathbf{F}$  и  $-\mathbf{F}$  направлены вдоль линии, проходящей через центры этих шариков (см. рис.). Перпендикулярные к стержню компоненты сил, действующих на шарики со стороны стержня, равны между собой вследствие невесомости стержня (на рисунке обозначены через  $F_0$ ). Поскольку упругие силы меняются в процессе удара, под  $F$  и  $F_0$  понимаем средние за время удара  $\Delta t$  значения этих сил.



К задаче 2.58

Изменения импульсов левого и правого шариков, а также  $x$ - и  $y$ -компонент импульса налетевшего шарика (оси см. на рис.), записываются через импульсы упругих сил следующим образом ( $m$  — масса шарика):

$$mU = F_0\Delta t, \quad (2)$$

$$mU = \left( F \frac{\sqrt{2}}{2} - F_0 \right) \Delta t, \quad (3)$$

$$mV_x = F \frac{\sqrt{2}}{2} \Delta t, \quad (4)$$

$$mV_y - mV_0 = -F \frac{\sqrt{2}}{2} \Delta t. \quad (5)$$

Исключая из выражений (2)–(5) импульсы сил, выражаем компоненты вектора скорости налетевшего шарика:

$$V_x = 2U, \quad V_y = V_0 - 2U.$$

Возводя эти соотношения в квадрат и складывая их, получаем

$$V^2 = V_0^2 + 8U^2 - 4V_0U.$$

Используя равенство (1), отсюда находим

$$V = \frac{\sqrt{17}}{5} V_0.$$

**2.59.** Вербку надо тянуть с силой  $F = \rho\pi R^2 H(g + a_0)$ , где  $g$  — ускорение свободного падения,  $a_0$  — ускорение ведра в начальный момент времени ( $a_0 \geq 0$ ), а  $\rho$  — плотность воды.

**2.60.** Сразу после уменьшения приложенной силы в два раза грузы под действием силы упругости пружины  $F_{\text{упр}} = F$  и си-

лы  $F/2$  приобретут ускорение  $a = (F_{\text{упр}} - F/2)/(3m) = F/(6m)$ . Применяя второй закон Ньютона к любому из грузов, находим, что сила натяжения нити в этот момент равна  $2F/3$ .

В ходе колебательного движения грузов сила  $F_{\text{упр}}$  (и деформация пружины) обращается в нуль в их крайнем левом положении. Ускорение грузов при этом направлено вправо и равно  $a = (F/2)/(3m) = F/(6m)$ . Применяя 2-ой закон Ньютона к любому из грузов, находим, что сила натяжения нити равна  $F/3$ .

**2.61.** Сила упругости равна  $mg/\sqrt{3}$ . Ускорения первого, второго и третьего шариков соответственно равны  $2g/\sqrt{3}$ ,  $4g/(5\sqrt{3})$ ,  $2g/(5\sqrt{3})$ .

**2.62.** Стержень примет вертикальное положение через промежуток времени  $\frac{8\pi}{15(\sqrt{15} - \sqrt{3} - 2)}\sqrt{\frac{L}{g}} \approx 4,46\sqrt{\frac{L}{g}}$ .

**2.63.** Расстояние от вершины угла должно быть равно  $\frac{L\sqrt{2}}{\sin \frac{\alpha}{2} \sqrt{2 + \sin^2 \frac{\alpha}{2}}}$ . При этом достигается наибольшее значение ускорения колец, равное  $0,5g/\sqrt{2}$ .

**2.64.** Ускорение бусинки, которую освободили, равно  $\frac{\sqrt{21}}{5}g$ , ускорение другой бусинки равно  $3g/5$ .

**2.65.** График зависимости проекции силы трения на горизонтальную ось от времени приведен на рисунке ( $t_1 = \sqrt{2L/(g \sin \alpha)}$ ), где  $g$  — ускорение свободного падения.

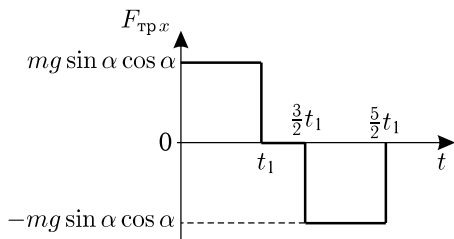
**2.66.** Зависимость силы трения от времени описывается формулой

$$F_{\text{тр}} = \begin{cases} F_m \cos \frac{\pi t}{2t_0}; & 0 < t < t_0, \\ 0; & t > t_0, \end{cases}$$

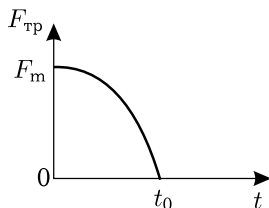
где  $F_m = mg \sin \alpha \cos \alpha$ ,  $t_0 = 0,5\pi\sqrt{L/(g \sin \alpha)}$ ,  $g$  — ускорение свободного падения. График приведен на рисунке.

**2.67.** Масса груза должна быть меньше  $2m/3$ .

**2.68.** Обезьяна доберется до блока через время  $L/u + u/(4g)$ , если  $L > 7u^2/(4g)$ , и через время  $\frac{6u}{g} \left( \sqrt{1 + \frac{4gL}{9u^2}} - 1 \right)$ , если  $L < 7u^2/(4g)$ .



К задаче 2.65



К задаче 2.66

**2.69.** Обезьяна доберется до блока через время  $L/(3u)$ .

**2.70.** При длине веревки  $15u^2/g$ ,  $g$  — ускорение свободного падения.

**2.71.** Сила, действующая со стороны цепочки на блок, в указанный момент будет равна  $\frac{mg}{9} \sqrt{49 + \frac{4}{\pi^2}}$ ,  $g$  — ускорение свободного падения.

**2.72.** Начальная скорость шайбы равнялась  $3\sqrt{\mu g L}$ ,  $g$  — ускорение свободного падения. Шайба ударилась о стенки коробки 5 раз.

Указание. Следует учитывать, что ускорение коробки при ее скольжении по столу равно  $2\mu g$ . Кроме того, из законов сохранения импульса и энергии вытекает, что шайба и коробка при соударении обмениваются скоростями, т.е. относительно земли движутся либо шайба (равномерно), либо коробка (равнозамедленно).

**2.73.** Жуки встретятся через промежуток времени  $L/(2u)$ . За это время соломинка сместится на  $L/6$ .

**2.74.** Соломинка перестанет двигаться по столу раньше, чем жук пробежит всю ее длину, при  $V < \sqrt{2\mu g L}$ ,  $g$  — ускорение свободного падения. Скорость жука на конце соломинки равна  $V$  при  $V \leq \sqrt{2\mu g L}$  и  $V/2 + (\mu g L)/V$  при  $V \geq \sqrt{2\mu g L}$ . Смещение соломинки равно  $V^2/(8\mu g)$  при  $V \leq \sqrt{2\mu g L}$  и  $(L/2)(1 - \mu g L/V^2)$  при  $V \geq \sqrt{2\mu g L}$ .

**2.75.** Скорости жуков относительно стола равны  $u\sqrt{3}/2$ . Скорость центра кольца равна  $u/2$ .

**2.76.** Жуки встретятся через промежуток времени  $0,5\pi R/u$ . Скорость легкого жука будет  $4u/3$ . Ускорение легкого жука было  $4u^2/(3R)$ .

**2.77.** Скорости жуков относительно стола обратятся в нуль в момент, когда каждый жук пройдет половину стороны тре-

угольника, т.е. через время  $d/(2u)$ . В этот момент угловая скорость треугольника равна  $2\sqrt{3}u/d$ , а ускорение жуков равно  $2\sqrt{3}u^2/d$ .

**2.78.** Каждый жук к моменту встречи сместится на  $a/\sqrt{2}$ . Минимальная скорость жуков относительно стола равна  $u/2$ , а максимальная равна  $3u/2$ . Вершина угла сместится на  $\frac{a}{3}\sqrt{\frac{11}{2}}$ .

**2.79.** Ось трубы пройдет расстояние  $\pi R$ .

**2.80.** Гиля будет иметь скорость  $gt_0 [4 \ln(4/3) - 1/4]$ ,  $g$  — ускорение свободного падения. Поскольку ускорение гири нелинейно зависит от времени, для получения этого результата необходимо интегрирование. С хорошей точностью численное значение выражения в квадратных скобках может быть найдено и без интегрирования — путем подсчета на миллиметровой бумаге площади под графиком зависимости ускорения гири от времени.

**2.81.** Коэффициент трения равен  $1/3$ .

**2.82.** Длина доски должна быть больше  $3V_0^2/(4\mu g)$ ,  $g$  — ускорение свободного падения.

**2.83.** Скорость узелка составит  $1/3$  от скорости кольца в момент времени  $t = \sqrt{2}L/V$ . Сила должна зависеть от времени по закону  $F = kVt \left(1 - \frac{2L}{\sqrt{4L^2 + V^2t^2}}\right)$ , а работа — по закону  $A = \frac{k}{2} (\sqrt{4L^2 + V^2t^2} - 2L)^2$ .

**2.84.** Записывая второй закон Ньютона для каждого из тел и учитывая, что проекции ускорений тел на нить равны (нить нерастяжима), находим эти ускорения:

$$a_1 = g \frac{\cos \alpha}{1 + \cos^2 \alpha}, \quad a_2 = g \frac{\cos^2 \alpha}{1 + \cos^2 \alpha}.$$

**2.85.** В момент отрыва нить составляет угол  $45^\circ$  с горизонтом.

**2.86.**  $V_2 = V_1$ .

**2.87.** Проволока не будет действовать на бусинку только в том случае, когда форма этой проволоки совпадет с траекторией брошенной под углом к горизонту свободной бусинки. Напишем известные формулы

$$H = \frac{V_0^2 \sin^2 \alpha}{2g}, \quad L = \frac{2V_0^2 \sin \alpha \cos \alpha}{g}$$

для высоты  $H$  и дальности полёта  $L$  тела, брошенного со скоростью  $V_0$  под углом  $\alpha$  к горизонту. После исключения угла  $\alpha$  получаем соотношение

$$V_0^2 = \frac{L^2 g}{8H} + 2gH.$$

Учитывая, что  $L = 2x = 2\sqrt{H/k}$ , окончательно находим

$$V_0 = \sqrt{g \left( \frac{1}{2k} + 2H \right)}.$$

**2.88.** Длина недеформированной пружины равна  $R/2$ .

**2.89.** Скорость бусинки достигает максимума при угле поворота  $\alpha \approx 49^\circ$  ( $\cos \alpha = \sqrt[3]{\frac{9}{2}} - 1$ ). Бусинка остановится при  $\alpha \approx 69^\circ$  ( $\cos \frac{\alpha}{2} = \frac{-1 + \sqrt{7}}{2}$ ).

**2.90.** Ускорение центра стержня будет  $g\sqrt{3}/12$ . Сила упругой деформации (стержень сжат) равна  $mg4\sqrt{3}/9$ .

Указание. Учесть, что сразу после освобождения гантели ускорения шариков должны иметь одинаковые проекции на направление стержня. Ускорение центра стержня равно любой из этих проекций. Из-за невесомости стержня силы, действующие на него со стороны шариков, должны быть направлены вдоль стержня и равны друг другу по величине.

**2.91.** В начальный момент ускорения шариков направлены по касательной к поверхности сферы (нормальные ускорения равны нулю) и равны по абсолютной величине (шарики связаны жесткими стержнями). Записывая второй закон Ньютона для каждого шарика в проекции на касательное направление и складывая эти три уравнения (при этом силы упругости стержней взаимно уничтожаются из-за невесомости последних), находим ускорение любого из шариков:

$$a = \frac{g}{3} \left( 1 + \frac{\sqrt{2}}{2} \right).$$

**2.92.** Ускорение прикрепленной массы будет равно  $g/\sqrt{10}$ .

Указание. Считать, что сила реакции со стороны края лунки направлена перпендикулярно линейке, а сила реакции лунки в нижней точке направлена вертикально вверх.

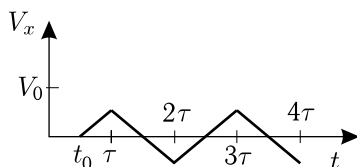
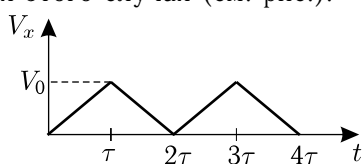
**2.93.** Время нахождения шайбы на ленте равно  $2V/(\mu g)$ , если  $V \leq u$ , и  $(V + u)^2/(2\mu g u)$ , если  $V > u$ . Здесь  $g$  — ускорение свободного падения.

**2.94.** Шайбу следует вытолкнуть с начальной скоростью 4 м/с. При этом время нахождения шайбы на ленте будет максимальным и равным 7,2 с. (При вычислениях ускорение свободного падения полагалось равным  $10 \text{ м/с}^2$ .)

**2.95.** Наименьший радиус кривизны равен  $V^2/(2\mu g)$ ,  $g$  — ускорение свободного падения.

**2.96.** Угол между векторами скоростей коробки и ленты должен быть равен  $2 \arccos(1/\sqrt{3}) \approx 109,5^\circ$ . При этом смещение коробки поперек ленты будет максимальным и равным  $4V^2/(3\sqrt{3}\mu g)$ ,  $g$  — ускорение свободного падения.

**2.97.** Ускорение бруска в любой момент времени равно  $\mu g$  и в моменты, кратные  $\tau$ , его направление меняется на противоположное. Смещение бруска к моменту  $4\tau$  будет максимальным в том случае, если брусок поставить на доску в момент  $t = 0$ . Это ясно из графика зависимости скорости бруска от времени для этого случая (см. рис.).



К задаче 2.97

Смещение бруска будет минимальным (равным нулю), если его поставить на доску в момент  $t_0 = 2(2 - \sqrt{3})\tau$ . В этом случае на графике  $V_x(t)$  площадь четырех одинаковых треугольников в положительной области равна по абсолютному значению площади трех одинаковых треугольников в отрицательной области.

**2.98.** Наименьшая работа соответствует медленному вытаскиванию куба до положения, когда его нижняя грань будет находиться вровень с верхней границей масла. Эта работа равна увеличению потенциальной энергии системы «куб-масло-вода» в поле силы тяжести Земли:

$$A = W_{\text{п}2} - W_{\text{п}1}.$$

Чтобы найти  $W_{\text{п}2} - W_{\text{п}1}$ , рассчитаем, на какую высоту нужно поднять куб и на сколько при этом опустятся центры тяжести воды и масла. После вытаскивания куба на дне сосуда будет слой воды толщины  $d_{\text{в}} = a/3$ , которая находится из условия сохранения объема воды

$$d_{\text{в}} 3a^2 = \frac{a}{2}(3a^2 - a^2).$$



Толщина слоя масла  $d_m$  после вытаскивания куба находится из аналогичного уравнения

$$d_m 3a^2 = \frac{a}{2} 3a^2 + \frac{a}{2} (3a^2 - a^2)$$

и равна  $d_m = 5a/6$ .

Толщина слоя всей жидкости после вытаскивания куба будет равна

$$d = d_b + d_m = \frac{a}{3} + \frac{5a}{6} = \frac{7a}{6},$$

на такую высоту и следует поднять куб. Тогда увеличение его потенциальной энергии составит

$$2\rho g a^3 d = \frac{7}{3} \rho g a^4,$$

где  $g$  — ускорение свободного падения. Центр тяжести воды опустится на

$$\Delta h_b = \frac{a}{4} - \frac{1}{2} d_b = \frac{a}{4} - \frac{a}{6} = \frac{a}{12},$$

а ее потенциальная энергия уменьшится на величину ( $g$  — ускорение свободного падения)

$$\rho g 3a^2 \frac{a}{3} \Delta h_b = \rho g \frac{a^4}{12}.$$

Найдем теперь уменьшение потенциальной энергии масла. До вытаскивания куба потенциальная энергия (отсчитываемая от дна сосуда) равнялась

$$0,8\rho g \left( 3a^2 \frac{a}{2} \frac{5a}{4} + 2a^2 \frac{a}{2} \frac{3a}{4} \right) = 2,1\rho g a^4.$$

После извлечения куба потенциальная энергия масла будет равна

$$0,8\rho g 3a^2 \frac{5a}{6} \frac{3a}{4} = 1,5\rho g a^4.$$

Таким образом, потенциальная энергия масла уменьшится на  $0,6\rho g a^4$ . Суммируя (с учетом знака) изменения потенциальных энергий отдельных частей системы (куба, воды, масла), находим необходимую работу:

$$A = \frac{7}{3} \rho g a^4 - \frac{1}{12} \rho g a^4 - 0,6\rho g a^4 = 1,65\rho g a^4.$$

**2.99.** Выделившееся количество теплоты равно  $(\rho_b - \rho_m)gSH^2$ ,  $g$  — ускорение свободного падения.

**2.100.** Ускорение куба равно  $g/3$ ,  $g$  — ускорение свободного падения.

**2.101.**  $F^* = mg/(1 - \mu/2)$ ,  $g$  — ускорение свободного падения. При  $F > F^*$  ускорение бруска относительно земли равно  $a = \sqrt{F^2/(4m)^2 + (F/F^* - 1)^2} g$ . Чтобы куб не начал опрокидываться, брусок должен находиться на высоте  $h > a(1 + \mu/2)$  над столом.

**2.102.** Груз пройдет путь  $h/\cos \alpha$ . Нить давит на блок с силой  $2mg \sin \alpha \sin(\alpha/2)$ . Груз коснется стола через промежуток времени  $\sqrt{\frac{2h}{g} \frac{1 + \sin^2 \alpha}{\cos \alpha \sin^2 \alpha}}$ .

**2.103.** Запишем условие равенства моментов сил, стремящихся повернуть призму по часовой стрелке и в противоположном направлении относительно оси, проходящей вдоль ребра прямого угла призмы,  $g$  — ускорение свободного падения.

$$\frac{1 + \sqrt{2}}{2 + \sqrt{2}} Mg \left(1 + \frac{m}{2M + m}\right) \frac{L}{2} = \frac{mMg}{2M + m} L,$$

где  $L$  — длина катета прямоугольного треугольника, получающегося в сечении призмы. Равенство моментов написано для критического положения, когда кубик  $m$  находится на вершине призмы и призма близка к опрокидыванию, т.е. давит на стол только ребром прямого угла. Для искомого отношения масс в итоге получаем:

$$\frac{m}{M} = 1 + \sqrt{2}.$$

**2.104.** Записывая второй закон Ньютона в проекции на ось, направленную к центру лунки, находим силу нормальной реакции:  $N = mg(1 + \sin \alpha)$ . Подставляя это выражение в уравнение второго закона Ньютона в проекции на касательное направление  $mg \cos \alpha = \mu N$  (где учтено, что тангенциальное ускорение равно нулю), находим искомую зависимость

$$\mu = \frac{\cos \alpha}{1 + \sin \alpha}.$$

**2.105.** Рассмотрим произвольный момент времени  $t$ , когда нити составляют угол  $\alpha$  со спицей. Очевидно, что  $\sin \alpha = Vt/L$ . Из условия нерастяжимости нити следует, что скорость бусинки  $V_1$  равна  $V \tan \alpha$ . Перейдем в инерциальную систему координат, которая движется вместе со средней точкой нити. В этой системе скорость бусинки  $V_2$  перпендикулярна нити и равна по модулю  $\sqrt{V^2 + V_1^2} = V/\cos \alpha$ . Записывая второй закон Ньютона

для бусинки в проекции на нить, имеем

$$m \frac{V_2^2}{L} = T - N \sin \alpha,$$

где  $m$  — масса бусинки,  $T$  — сила натяжения нити, а  $N$  — сила реакции спицы. Учитывая, что в направлении, перпендикулярном спице, силы, действующие на бусинку, скомпенсированы, т. е.  $T \sin \alpha = N$ , получаем

$$m \frac{V_2^2}{L} = T \cos^2 \alpha.$$

Отсюда  $T = \frac{mV^2}{L \cos^4 \alpha}$ . Поскольку  $F = 2T \sin \alpha$ , окончательно находим

$$F = \frac{2mV^3 L^2 t}{(L^2 - V^2 t^2)^2}.$$

**2.106.** Работа сил трения до момента, когда доска съедет с одного из выступов, равна  $A_1 = -\mu mgL/4$ , где  $m$  — масса доски, а  $g$  — ускорение свободного падения. Обозначим через  $x$  смещение центра тяжести доски относительно последнего выступа, на который доска продолжает опираться. Тогда сила реакции выступа  $N$  равна  $N = mgL/(L + 2x)$ , а сила трения со стороны выступа равна  $F_{\text{тр}} = \mu mgL/(L + 2x)$ . Вычисляя приближенно площадь под графиком  $F_{\text{тр}}(x)$  на интервале  $0 < x < L/2$ , находим работу этой силы:  $A_2 \approx -0,346\mu mgL$ . Из условия, что минимальная кинетическая энергия доски должна равняться модулю суммарной работы сил трения  $|A_1 + A_2|$ , находим  $V_{\min} \approx \sqrt{1,192\mu gL}$ .

**2.107.** Минимальная скорость равна  $0,5\sqrt{\mu gL}$ ,  $g$  — ускорение свободного падения.

**2.108.** Удерживающая сила, равная  $mg\sqrt{3}$ , должна быть приложена выше  $(1 - 0,5\sqrt{3})d$ . Ускорение куба будет равным  $\sqrt{3}g/4$ .

**2.109.** Скорость бруска будет равна  $\sqrt{gR/14}$ . Кубик давит на брусок с силой  $5mg$ . Наименьший коэффициент трения равен  $3/4$ .

**2.110.** Максимальное отношение масс, при котором брусок еще не начнет опрокидываться, равно

$$\left(\frac{m}{M}\right)_{\max} = \frac{2}{3(\sqrt{5} - 1)} \approx 0,54.$$

Чтобы при этом брусок не начал скользить, коэффициент трения должен быть не меньше 0,5.

**2.111.** Во втором случае энергозатраты лягушек в  $\sqrt{2}$  раз меньше.

**2.112.** Время движения вниз в два раза больше. Полное время движения шайбы равно  $3t_0/(2 - \sqrt{2})$ .

**2.113.** Амплитуда скорости коробки равна  $V_0$ . Средняя кинетическая энергия шайбы равна  $3mV_0^2/2$ .

**2.114.** Шарик достигает максимальной скорости в нижней точке траектории, если масса кольца превышает массу шарика более, чем в  $\sqrt{3} + 1$  раз.

**2.115.** Скорости точечных масс одинаковы и равны  $\sqrt{3gL/2}$ . Скорость кольца в три раза больше.

Указание. Из сохранения горизонтальной проекции импульса системы следует, что при вертикальной ориентации стержня скорости точечных масс равны и противоположны. Движение стержня в этот момент можно представить как вращение вокруг неподвижной точки, находящейся посередине между массами. Сравнение расстояний от центра вращения до кольца и точечных масс показывает, что скорость кольца в три раза больше скорости любой из масс.

**2.116.** Из закона сохранения импульса в проекции на горизонтальную ось следует, что при прохождении стержнем вертикального положения скорости масс равны по величине и противоположны по направлению. Абсолютную величину скорости любой из масс находим из закона сохранения энергии:  $V = \sqrt{(3/2)gL}$ . Рассматривая далее вращение стержня вокруг неподвижного в этот момент центра масс (находится посередине между массами), находим угловую скорость стержня  $\omega = 4V/L = \sqrt{24g/L}$ . Для нахождения силы, действующей на спицу, перейдем в систему отсчета, связанную с кольцом. В рассматриваемый момент времени эта система отсчета является инерциальной. Поскольку в неподвижной системе отсчета кольцо в этот момент имеет скорость  $\omega 3L/4 = 3V$ , то скорость центра масс в системе отсчета, связанной с кольцом, тоже равна  $3V$ . Из уравнения движения центра масс  $2m(3V)^2/(3L/4) = F - 2mg$  находим, что сила  $F$ , действующая со стороны спицы на кольцо, равна  $F = 38mg$ . По третьему закону Ньютона с такой же силой кольцо действует на спицу.

**2.117.** В результате абсолютно упругого удара шарика массой  $3m$  о стенку его скорость меняет направление на противоположное. Центр массы системы после удара будет двигаться от

стенки с постоянной скоростью

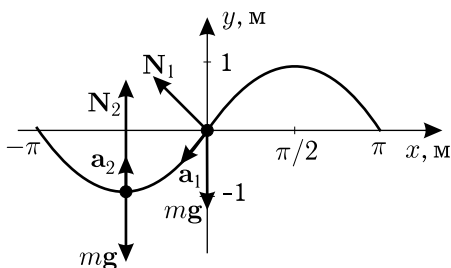
$$V_c = \frac{3mV - mV}{3m + m} = \frac{V}{2}.$$

Максимальная энергия упругой деформации будет запасена в пружине в момент, когда скорости шариков окажутся одинаковыми (в этот момент они перестают сближаться или удаляться друг от друга) и равными  $V/2$ . В итоге из закона сохранения механической энергии находим

$$W_{\max}^{\text{упр}} = \frac{4mV^2}{2} - \frac{4m(V/2)^2}{2} = \frac{3}{2}mV^2.$$

Примечание. Повторно шарик  $3m$  о стенку не ударится.

**2.118.** В момент прохождения бусинкой начала координат ее ускорение направлено вдоль проволоки. Это можно показать как прямым вычислением компонент ускорения, так и из тех соображений, что в начале координат радиус кривизны проволоки, по которой бусинка описывает свою траекторию в про-



К задаче 2.118

странстве, равен бесконечности (здесь находится точка перегиба синусоиды), и, следовательно, равно нулю нормальное ускорение. В начале координат проволока образует с осями  $x$  и  $y$  углы по  $45^\circ$ , что легко показать, взяв производную  $y'$ . Проектируя векторное уравнение второго закона Ньютона на направление силы реакции  $\mathbf{N}_1$ , находим, что в точке с координатой  $x_1 = 0$

$$N_1 = mg \cos 45^\circ = mg \frac{\sqrt{2}}{2}.$$

В точке с координатой  $x_2 = -(\pi/2)$  м у бусинки наоборот будет только нормальное ускорение, так как в этой точке силы направлены по вертикали, то есть перпендикулярно к траектории. Из закона сохранения энергии находим квадрат скорости в нижней точке:

$$V^2 = 2g\left(1 + \frac{\sqrt{2}}{2}\right).$$

Нормальное ускорение в этой точке совпадает с  $a_y$ . Вычислим  $a_y$ , используя то, что известна траектория и найдена скорость:

$$V_y = \frac{dy}{dt} = \frac{dy}{dx} \frac{dx}{dt} = y' V_x, \quad (1)$$

$$a_y = \frac{dV_y}{dt} = \frac{dV_y}{dx} \frac{dx}{dt} = y'' V_x^2 + y' \frac{dV_x}{dx} V_x. \quad (2)$$

В формулах (1) и (2) дифференцирование проведено по правилам дифференцирования сложной функции,  $y'$  и  $y''$  соответственно первая и вторая производные  $y$  по  $x$ . В точке с  $x_2 = -(\pi/2)$  м имеем  $y' = 0$ ,  $y'' = -Ak^2 \sin(-k\pi/2) = 1 \text{ м}^{-1}$ . Таким образом, ускорение  $a_y$  равно

$$a_y = 2g(1 + \frac{\sqrt{2}}{2}).$$

Сила нормального давления  $N_2$  равна

$$N_2 = mg + ma_y = mg(3 + \sqrt{2}).$$

Замечание. Ускорение  $a_y$  в нижней точке было найдено нами путем дифференцирования  $V_y$ . Вместо этого можно воспользоваться выражением  $a_y = \frac{V^2}{R}$ , в котором радиус кривизны траек-

тории  $R$  рассчитывается по формуле  $R = (1 + y'^2)^{3/2} / |y''|$ .

**2.119.** Пусть шарики, массы которых равны  $m_1$  и  $m_2$ , имеют до удара скорости  $\mathbf{V}_1$  и  $\mathbf{V}_2$ , а после удара  $\mathbf{V}'_1$  и  $\mathbf{V}'_2$  соответственно. Удар не изменит общий импульс и кинетическую энергию системы:

$$m_1 \mathbf{V}_1 + m_2 \mathbf{V}_2 = m_1 \mathbf{V}'_1 + m_2 \mathbf{V}'_2, \quad (1)$$

$$\frac{m_1 V_1^2}{2} + \frac{m_2 V_2^2}{2} = \frac{m_1 (V'_1)^2}{2} + \frac{m_2 (V'_2)^2}{2}. \quad (2)$$

Поскольку импульс системы сохраняется, скорость центра масс двух шариков также не изменится в результате удара:

$$\mathbf{V}_c = \frac{m_1 \mathbf{V}_1 + m_2 \mathbf{V}_2}{m_1 + m_2} = \text{const}. \quad (3)$$

Свяжем подвижную систему координат с центром масс. Поскольку центр масс движется равномерно, эта система координат является инерциальной. Таким образом, в центромассовой системе соотношения (1) и (2) будут выполняться. Поскольку в центромассовой системе общий импульс шаров равен нулю (см. выражение (3)), импульсы шаров в этой системе координат, как до удара, так и после равны по абсолютной величине и про-

тивоположны по направлению. Выразим кинетическую энергию любого из шаров через его импульс и массу и запишем закон сохранения энергии:

$$\frac{p_{1c}^2}{2m_1} + \frac{p_{2c}^2}{2m_2} = \frac{(p'_{1c})^2}{2m_1} + \frac{(p'_{2c})^2}{2m_2}. \quad (2')$$

Здесь  $p_{1c}$  и  $p'_{1c}$  — импульсы первого шара в центромассовой системе до и после соударения,  $p_{2c}$  и  $p'_{2c}$  — импульсы второго шара. Поскольку  $p_{1c} = p_{2c}$  и  $p'_{1c} = p'_{2c}$ , то из соотношения (2') следует, что импульс любого из шаров меняется только по направлению:  $p_{1c} = p'_{1c}$  и  $p_{2c} = p'_{2c}$ . Учитывая, что импульсы шаров равны по абсолютной величине и противоположны по направлению, величину относительной скорости можно выразить через импульс любого шара следующим образом:

$$V_{\text{отн}} = p_{1c}/m_1 + p_{1c}/m_2 = p_{1c}(1/m_1 + 1/m_2) = p'_{1c}(1/m_1 + 1/m_2). \quad (4)$$

Соотношение (4) показывает, что относительная скорость не меняется при ударе. Однако, это верно и в неподвижной системе координат, поскольку величина относительной скорости не зависит от скорости движения самой системы координат.

**2.120.** Ускорение равнялось  $3g/4$ ,  $g$  — ускорение свободного падения.

**2.121.** Давление в нижней точке в указанный момент равно  $p_0 + \frac{mg}{2S} - \left(\frac{\pi}{2} - 1\right) \rho g R - \rho V^2$ ,  $g$  — ускорение свободного падения.

**2.122.** Следует приложить силу  $\frac{14}{3}mNSV^2$ . Сила давления будет равна  $\frac{1}{12}mNSV^2$ . Максимальная мощность равна  $\frac{2}{3}mNSV^3 \left(1 + \frac{4\sqrt{2}}{9}\right)$ .

\* \* \*

**3.1.** В первом случае перельётся  $5\text{ см}^3$ , во втором  $13,5\text{ см}^3$ .

**3.2.** Сила, действующая на боковую поверхность конуса, равна  $[p_0 + \rho g(H - h/3)]S$ , где  $g$  — ускорение свободного падения.

Указание. Наиболее просто решение получается из рассмотрения равновесия «водяного» конуса тех же размеров, слегка приподнятого над дном.

**3.3.** Размер льдины находится из условия, что объём её погруженной части равен половине объёма аквариума. В итоге получаем, что размер ребра составляет  $a\sqrt[3]{5/9} \approx 0,8a$ .

**3.4.** Высота цилиндра равна  $H\rho_{\text{в}}/\rho_{\text{л}}$ , где  $\rho_{\text{в}}$  и  $\rho_{\text{л}}$  — плотности воды и льда соответственно.

**3.5.** Объём шара равен  $m/(2\rho)$ , объём погружённой части банки  $3m/(2\rho)$ , вытесняемый банкой объём увеличится на  $m/(2\rho)$ .

**3.6.** Масса дробинки составляет  $1/9$  массы льда. Объём растаявшего льда в 10 раз больше объёма дробинки.

Указание. Поскольку объём дробинки равен объёму выступающей над водой части льда, объём погруженной части равен объёму всего льда. Следовательно, условие плавания может быть записано в виде

$$\rho_{\text{в}}V_{\text{л}} = \rho_{\text{л}}V_{\text{л}} + m,$$

где  $\rho_{\text{в}}$  и  $\rho_{\text{л}}$  — плотности воды и льда,  $m$  — масса дробинки,  $V_{\text{л}}$  — объём льда. Отсюда

$$m = (\rho_{\text{в}} - \rho_{\text{л}})V_{\text{л}} = \rho_{\text{л}}V_{\text{л}}(\rho_{\text{в}}/\rho_{\text{л}} - 1) = m_{\text{л}}/9,$$

где  $m_{\text{л}} = \rho_{\text{л}}V_{\text{л}}$  — масса льда.

Чтобы определить, во сколько раз объём растаявшего льда больше объёма дробинки, запишем условие плавания после таяния

$$\rho_{\text{в}}(V'_{\text{л}} + V_{\text{д}}) = \rho_{\text{л}}V'_{\text{л}} + m,$$

где  $V'_{\text{л}}$  — объём оставшегося льда, а  $V_{\text{д}}$  — объём дробинки. Из данного соотношения и условия плавания получаем, что

$$\rho_{\text{в}}(V_{\text{л}} - V'_{\text{л}}) - \rho_{\text{в}}V_{\text{д}} = \rho_{\text{л}}(V_{\text{л}} - V'_{\text{л}}).$$

Отсюда

$$V_{\text{л}} - V'_{\text{л}} = \frac{\rho_{\text{в}}}{\rho_{\text{в}} - \rho_{\text{л}}}V_{\text{д}} = 10V_{\text{д}}.$$

**3.7.** Третий шар должен иметь массу  $1,5m$ .

**3.8.** Шары будут всплывать со скоростью  $V_0/2$ .

**3.9.** Нужно налить  $0,36\text{ л}$  воды.

**3.10.** Разница уровней равна  $3h/8$ .



**3.11.** Обозначим через  $x$  смещение стакана вниз относительно сосуда после того, как в стакан налили масло. При этом объём воды  $Sx$  ( $S$  — внешнее сечение стакана) вытесняется в кольцевой слой толщиной  $h/4$  над «старым» уровнем воды в сосуде, т. е. выполняется равенство

$$Sx = (2S - S)h/4.$$

Отсюда находим, что  $x = h/4$  и, следовательно, стакан погрузился до краев. Запишем теперь условия плавания для пустого стакана и стакана с маслом:

$$\begin{aligned} m_{\text{ст}}g &= \rho_{\text{в}}S(h/2)g, \\ (m_{\text{ст}} + m_{\text{м}})g &= \rho_{\text{в}}Shg. \end{aligned}$$

Здесь  $m_{\text{ст}}$  — масса стакана,  $m_{\text{м}}$  — масла, а  $\rho_{\text{в}}$  — плотность воды. Вычитая из нижнего равенства верхнее, получим, что  $m_{\text{м}} = \rho_{\text{в}}Sh/2$ .

Выразим в этой формуле внешнее сечение стакана  $S$  через его внутреннее сечение  $S_1$ , учитывая, что внутренний радиус  $R_1$  составляет  $5/6$  от внешнего радиуса  $R$ :

$$\begin{aligned} S &= \frac{36}{25}S_1, \\ m_{\text{м}} &= \frac{18}{25}\rho_{\text{в}}S_1h. \end{aligned}$$

Выражая плотность воды через плотность масла, получаем

$$m_{\text{м}} = 0,9\rho_{\text{м}}S_1h,$$

откуда ясно, что разница между уровнями воды в сосуде и масла в стакане равна  $0,1h$ .

**3.12.** Проще всего задачу решить из рассмотрения сил, действующих на содержимое цилиндрического сосуда. До помещения в сосуд шара сила притяжения воды к земле  $mg$  уравновешивалась силой реакции дна  $F_{\text{д}}$  (стенки цилиндра не участвуют в уравнивании вертикальных сил):

$$mg = F_{\text{д}} = \rho_0ghS, \quad (1)$$

где  $m$  — масса воды в сосуде,  $\rho_0$  — ее плотность,  $h$  — высота уровня воды. Когда в цилиндр поместили плавающий шар, то увеличилась как сила тяжести, так и сила реакции (но они по-прежнему уравниваются):

$$(m + m_{\text{ш}})g = F'_{\text{д}} = \rho_0gh'S, \quad (2)$$

$h'$  — высота нового уровня воды. Учитывая, что масса шара  $m_{\text{ш}} = \rho_0 \frac{V}{2}$  (он погрузился наполовину), и вычитая из равенства (2) равенство (1), находим, что

$$h' - h = \frac{V}{2S}.$$

Объем выступающей после заполнения полости части шара может быть найден приравнованием силы Архимеда и силы тяжести шара с водой внутри:

$$\rho_0 g V_{\text{погр}} = (m_{\text{ш}} + \rho_0 V_{\text{полости}})g,$$

откуда, учитывая, что  $m_{\text{ш}} = \rho_0 \frac{V}{2}$ , а  $V_{\text{полости}} = 0,4V$ , находим объём погруженной части шара:

$$V_{\text{погр}} = 0,9V.$$

Таким образом, над водой будет выступать одна десятая объёма шара.

Рассуждения, использованные для нахождения разности  $h' - h$ , показывают, что заполнение полости в шаре водой из этого же сосуда не приведет к изменению уровня воды в сосуде.

Примечание. При решении не учитывалось атмосферное давление, т.к. его учет приводит к появлению одинаковых членов как в левой, так и в правой частях соотношений (1), (2), т.е. не влияет на результат.

**3.13.** В сосуд можно долить  $8 \text{ дм}^3$  воды или  $7,5 \text{ дм}^3$  масла.

**3.14.** В первых двух случаях уровень воды останется равным  $h_0$ , в третьем — понизится на  $V/(4S)$ .

**3.15.** Объем полости равен  $V/8$ .

**3.16.** Высота выступающей над водой части будет равна  $3h/8$ .

**3.17.** Объем проникшей воды равен  $V/4$ .

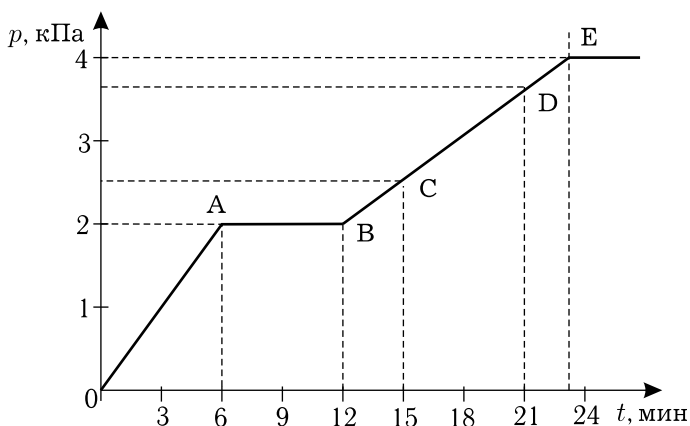
Указание. Разница уровней будет минимальной, когда площадь зеркала воды внутри буя станет равной площади поперечного сечения буя на уровне воды в водоеме.

**3.18.** В сосуд можно налить объём воды  $4,6hS$ .

**3.19.** Глубина погружения увеличится на  $0,2H$ . Глубина погружения станет равной  $7H/15$  (треть наливаемой воды выльется из сосуда через отверстие).

**3.20.** Сосуд затонет через 10 мин.

**3.21.** График зависимости давления на дно правого сосуда от времени приведен на рисунке. Прямая ОА показывает рост давления, вызванный заполнением правого сосуда (до соедини-

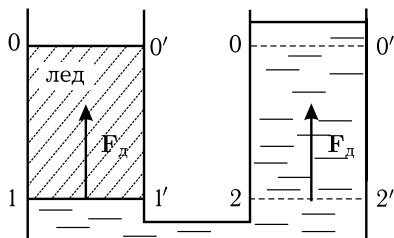


К задаче 3.21

тельной трубки). Поскольку объём половины правого (и левого) сосуда равен  $0,006 \text{ м}^3$ , заполнение такого объёма происходит за 6 мин. Далее в течение 6 мин. уровень воды в правом сосуде остаётся неизменным, ибо идёт заполнение левого сосуда (прямая АВ). Затем уровень воды одновременно растёт в правом и левом сосудах. При этом кубик остаётся неподвижным, пока сила Архимеда не достигнет значения  $mg$  ( $m$  — масса кубика). Так как плотность дерева равна  $0,6\rho_{\text{в}}$ , то нить перестанет быть натянутой, и кубик будет всплывать только после того, как уровень воды в обоих сосудах превысит уровень соединительной трубки (именно на этом уровне располагается нижняя грань кубика) на  $0,6$  ребра кубика, т. е. на  $0,06 \text{ м}$ . Поэтому до значения  $2,6 \text{ кПа}$  давление поднимается, когда вода заполнит  $\Delta h = 0,06 \text{ м}$  в правом сосуде (сечение  $0,03 \text{ м}^2$ ) и  $\Delta h = 0,06 \text{ м}$  в левом (сечение  $0,02 \text{ м}^2$ , так как  $0,01 \text{ м}^2$  «занял» кубик). Заполнение объёма  $(0,02 + 0,03) \cdot 0,6 \text{ м}^3$  происходит за 3 мин. (участок ВС). При дальнейшем заполнении сосуда кубик плавает и «следит» за подъёмом уровня воды в сосудах. До касания верхней гранью крышки левого сосуда уровни поднимутся на  $0,1 \text{ м}$ . Поэтому прямая CD показывает заполнение двух сосудов на  $\Delta h = 0,1 \text{ м}$ . Время заполнения 6 мин. В момент  $t = 21 \text{ мин.}$  верхняя грань кубика коснётся крышки, и процесс представленный на участке ДЕ, по своему характеру повторяет участок ВС. Только на участке ВС уровень поднимался на  $0,06 \text{ м}$  (на это потребовалось 3 мин.), а на участке ДЕ осталось до крышки всего  $0,04 \text{ м}$  (2 мин.). В момент  $t = 23 \text{ мин.}$  сосуды заполнены, давление достигло значения  $4 \text{ кПа}$

и далее не меняется (если продолжать наливать воду, то она выливается через край).

$$3.22. \Delta h_{\max} = \frac{2m}{S} \frac{\rho_{\text{в}} - \rho_{\text{л}}}{\rho_{\text{в}} \rho_{\text{л}}}, \quad \Delta h_{\min} = -\frac{m}{S} \frac{\rho_{\text{в}} - \rho_{\text{л}}}{\rho_{\text{в}} \rho_{\text{л}}}.$$



К задаче 3.23

**3.23.** Рассмотрим равновесие тел, находящихся в левом и правом цилиндрах выше уровней 1–1' и 2–2'. Снизу, со стороны воды, на эти тела действуют равные силы давления  $F_{\text{д}}$ . Равенство сил  $F_{\text{д}}$  очевидно: сечения 1–1' и 2–2' находятся на одном уровне и ниже этих сечений сосуды сообщаются.

(ниже 1–1' вода не замерзла).

В правом сосуде выше уровня 2–2' находится вода, которую можно мысленно разбить на массу  $m'_1$ , заключенную между уровнями 2–2' и 0–0' (объем этой массы равен объему льда), и массу  $m''_1$ , находящуюся выше уровня 0–0':

$$m'_1 = \rho_{\text{в}} \frac{m}{\rho_{\text{л}}}, \quad (1)$$

$$m''_1 = m'_1 - m = m \left( \frac{\rho_{\text{в}}}{\rho_{\text{л}}} - 1 \right). \quad (2)$$

Равенство (1) очевидно, а соотношение (2) можно понять, если представить, что масса  $m''_1$  первоначально была частью массы в левом сосуде между сечениями 1–1' и 0–0' (эта масса равнялась  $m'_1$ ), там она не «понадобилась» для наморозки массы  $m$ , а поэтому оказалась вытесненной в правый сосуд при замерзании воды в левом сосуде. Таким образом,

$$F_{\text{д}} = (m'_1 + m''_1) g = m \left( 2 \frac{\rho_{\text{в}}}{\rho_{\text{л}}} - 1 \right) g, \quad (3)$$

где  $g$  — ускорение свободного падения. Рассмотрим равновесие льда в левом сосуде. Снизу на него действует сила  $F_{\text{д}}$  (см. выражение (3)), которая уравнивает сумму сил  $mg + F_{\text{ст}}$ , где  $F_{\text{ст}}$  — направленная вниз сила, действующая со стороны стенок.

Из равенства

$$m \left( 2 \frac{\rho_{\text{в}}}{\rho_{\text{л}}} - 1 \right) g = mg + F_{\text{ст}}$$

следует, что

$$F_{\text{ст}} = 2mg \left( \frac{\rho_{\text{в}}}{\rho_{\text{л}}} - 1 \right).$$

Отметим, что результирующая сила, действующая со стороны стенок на воду в правом сосуде, равна нулю, поскольку элементарные силы давления здесь перпендикулярны стенкам цилиндра.

**3.24.** Температуру следует повысить примерно на  $77^\circ$ .

**3.25.** Температура в узком сосуде возрастет примерно на  $4^\circ$ .

**3.26.** Масса песка на чашке будет равна  $0,5\rho hS$ , где  $\rho$  — плотность воды. Чашка опустится на  $h/4$ .

**3.27.** Запишем условие равновесия стержня до погружения тел в воду

$$\rho_1 V_1 = 2\rho_2 V_2$$

и после их погружения

$$2(\rho_1 - \rho_0)V_1 = (\rho_2 - \rho_0)V_2.$$

Здесь  $V_1$ ,  $V_2$  — объёмы тел, а  $\rho_0$  — плотность воды. Отыскивая из первой формулы отношение объёмов тел

$$\frac{V_1}{V_2} = \frac{2\rho_2}{\rho_1} = 5,$$

подставляем его во вторую формулу и приходим к уравнению

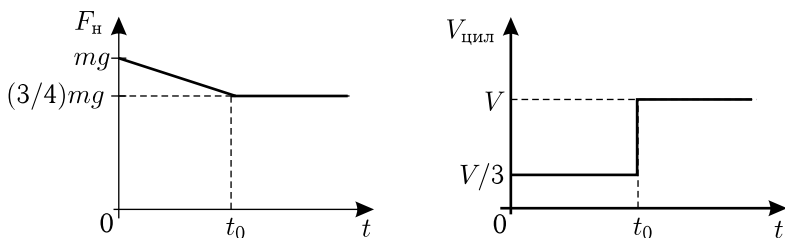
$$10\rho_1 - \rho_2 = 9\rho_0.$$

Решая это уравнение совместно с условием  $\rho_2/\rho_1 = 2,5$ , окончательно находим  $\rho_1 = 1,2\rho_0$  и  $\rho_2 = 3\rho_0$ .

**3.28.** Центр гирьки должен находиться на расстоянии  $\frac{1}{3}\sqrt{\frac{2S}{\pi}}$  от оси сосуда.

**3.29.** Поскольку уровень воды поднимается медленно, ускорения грузов можно пренебречь в любой момент времени. Отсюда следует равенство нулю суммы сил, действующих на каждый из цилиндров. Учитывая равенство масс цилиндров и идеальность нити, приходим к выводу о равенстве сил Архимеда, действующих на цилиндры. Это означает, что в любой момент 1-й цилиндр погружен вдвое глубже, чем 2-й. Поскольку смещение 1-го цилиндра вниз равно смещению 2-го вверх (нить нерастяжима), находим, что цилиндры движутся в противоположные стороны с одним и тем же значением скорости  $V_{\text{цил}} = V/3$ . Так будет продолжаться до момента  $t_0$  полного погружения 1-го цилиндра, где  $t_0 = 3h/(4V)$ ; с этого момента скорость цилиндров будет равна  $V$ . Сила натяжения  $F_{\text{н}}$  равна разности силы тяжести

и силы Архимеда для любого из цилиндров. Искомые графики приведены на рисунке.



К задаче 3.29

**3.30.** Обозначим начальные высоты столбиков ртути в цилиндрических сосудах через  $h_0$ , а новые — через  $h_1$  (в узком сосуде) и  $h_2$  (в широком). Поскольку после подъема узкого сосуда уровни ртути снова выравниваются, то выполняется соотношение

$$h_1 + h = h_2.$$

Из условия сохранения полного объема ртути следует

$$(h_2 - h_0)2S = (h_0 - h_1)S.$$

Находим из этих уравнений укорочение ртутного «проводника» в узком цилиндре

$$h_0 - h_1 = 2h/3$$

и удлинение широкого «проводника»

$$h_2 - h_0 = h/3.$$

Соответствующие изменения сопротивлений этих проводников определяются формулами

$$\Delta R_1 = -2\rho h/(3S),$$

$$\Delta R_2 = \rho h/(6S).$$

Изменение полного сопротивления цепи (с учетом того, что сопротивление ртути в трубке не меняется) составит  $\Delta R = \Delta R_1 + \Delta R_2 = -\rho h/(2S)$ .

**3.31.** Первый динамометр покажет  $0,1H$ , второй  $0,5H$ .

**3.32.** Минимальная сила равна  $\frac{mg(1 - \operatorname{tg} 15^\circ)}{\sqrt{2(1 + \operatorname{tg}^2 15^\circ)}} \approx 0,5mg$ .

Коэффициент трения равен  $\operatorname{tg} 15^\circ \approx 0,27$ .

**3.33.** Искомая сила равна

$$F = \frac{F_0}{1 - \mu h/L}.$$

Указание. В случае, когда к чемодану приложена сила  $F_0$  в нижней точке, на передний и задний выступы действует одинаковая сила реакции  $mg/2$ , где  $m$  — масса чемодана, а  $g$  — ускорение свободного падения. При этом  $F_0 = \mu mg/2 + 2\mu mg/2 = 3\mu mg/2$ . В случае, когда сила приложена к верхней точке чемодана, на передний и задний выступы действуют неодинаковые силы реакции —  $N_1$  на передний и  $N_2$  на задний. Записывая условие равенства нулю суммы действующих на чемодан сил в виде  $N_1 + N_2 = mg$  и  $F = \mu N_2 + 2\mu N_1$ , а также равенство нулю суммы моментов сил  $N_2 L + Fh = mgL/2$ , находим  $F = F_0(1 - \mu h/L)$ . Полученный ответ справедлив при  $4\mu h < L$ . При выполнении обратного неравенства чемодан начнет опрокидываться, не начав скользить.

**3.34.** Коэффициент трения должен быть не меньше, чем  $\frac{1}{\sqrt{3}}$ .

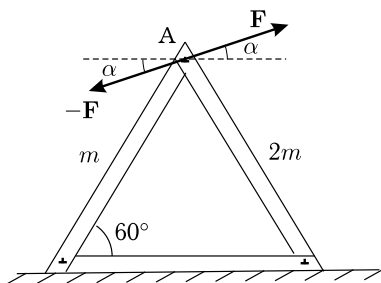
**3.35.** Коэффициент трения должен быть не меньше, чем

$$\frac{1}{2 + \operatorname{tg} 15^\circ}.$$

**3.36.** Сила натяжения нити равна  $mg/(4\sqrt{3})$ . Натяжение нити станет равным нулю при  $F = mg$ .

**3.37.** На планку в шарнирах А и С действуют растягивающие силы, каждая из которых равна  $F/(4\sqrt{3})$ .

**3.38.** Поскольку боковые линейки имеют разную массу, силы их взаимодействия в шарнире А должны быть повернуты на некоторый угол  $\alpha$  от горизонтали (см. рис.). Записывая условия равновесия для каждой из боковых линеек относительно осей, проходящих через их нижние концы, имеем:

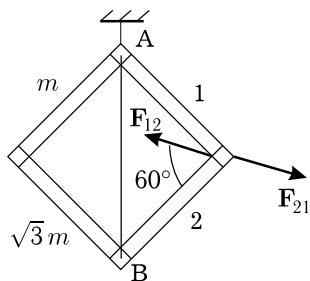


К задаче 3.38

$$FL \sin(60^\circ + \alpha) = 2mg(L/2) \cos 60^\circ,$$

$$FL \sin(60^\circ - \alpha) = mg(L/2) \cos 60^\circ.$$

Отсюда получаем, что  $\sin(60^\circ + \alpha) = 2 \sin(60^\circ - \alpha)$ , т. е.  $\alpha = 30^\circ$  и  $F = mg/2$ .

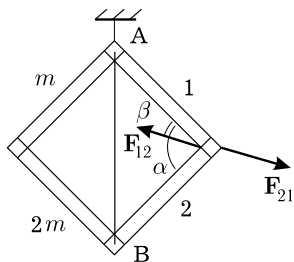


К задаче 3.39

к нулю сумму сил, действующих по вертикали на систему из двух нижних стержней, находим силу натяжения нити:

$$F = 2mg \left( \sqrt{3} - \frac{\sqrt{2}}{2} \sin 15^\circ \right) \approx 3,1mg.$$

Другой способ решения задачи основан на мысленном разделении системы на две симметричные части — правую и левую. При этом сила натяжения нити «делится» между этими частями поровну. Силы взаимодействия половин системы в точках А и В ориентированы горизонтально.



К задаче 3.40

**3.39.** Обозначим стержни правой половины конструкции через 1 и 2 (см. рис.). Записывая условия равенства нулю суммы моментов сил, действующих на стержни (для 1-го — относительно точки А, для 2-го — относительно точки В), находим направления сил взаимодействия стержней  $F_{12}$  и  $F_{21}$  (см. рис.), а также их абсолютную величину  $F_{12} = F_{21} = mg\sqrt{2}/2$ . Приравнявая

**3.40.** Обозначим стержни правой половины конструкции через 1 и 2 (см. рис.). Записывая условия равенства нулю суммы моментов сил, действующих на стержни (для 1-го — относительно точки А, для 2-го — относительно точки В) и учитывая, что 2-й стержень вдвое тяжелее 1-го, получаем:

$$\sin \alpha = 2 \sin \beta.$$

Поскольку  $\alpha + \beta = \pi/2$ , то  $\sin \alpha = 2/\sqrt{5}$ ,  $\cos \alpha = 1/\sqrt{5}$ . Из условия равновесия любого из стержней, например 2-го, которое можно записать в виде  $F_{12}L \sin \alpha = 2mg(L/2) \cos 45^\circ$  ( $L$  — длина стержня), находим  $F_{12} = F_{21} = mg\sqrt{10}/4$ . Приравнявая нулю сумму сил, действующих по вертикали на систему из двух нижних стержней, находим силу натяжения нити

$$\begin{aligned} F &= 4mg - 2F_{12} \sin(\alpha - 45^\circ) = mg \left[ 4 - \frac{\sqrt{10}}{2} \sin(\alpha - 45^\circ) \right] = \\ &= 3,5mg. \end{aligned}$$



**3.41.** Из условия равновесия груза на гладкой грани призмы находим силу натяжения нити  $T = mg \sin 45^\circ$ , где  $m$  — масса груза. На систему «призма-груз» действует вниз сила тяжести  $mg$ , а влево — сила натяжения нити  $T$ . Поскольку сила трения не может превосходить  $\mu N$ , где  $N = mg$  — сила давления призмы на опору, то для неподвижности призмы необходимо  $T \leq \mu mg$ , т. е.  $\mu \geq \sqrt{2}/2$ .

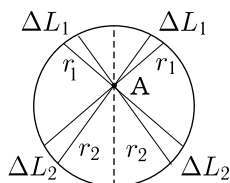
**3.42.** Клин не будет скользить при коэффициенте трения  $\mu \geq \sqrt{3}/5$ . Наименьшая длина нити, при которой клин не начинает опрокидываться, равна  $2,5h$ .

**3.43.** Наименьшее значение коэффициента трения равно  $1/\sqrt{3}$ .

**3.44.** Для проворачивания блока следует отделить  $1/6$  часть цепочки.

**3.45.** Для произвольной точки А «внутри» кольца рассмотрим гравитационное поле, создаваемое двумя симметрично расположенными парами дуг (см. рис.). Длины дуг  $\Delta L_1$  и  $\Delta L_2$ , а значит, и их массы  $\Delta m_1$  и  $\Delta m_2$  относятся как соответствующие расстояния  $r_1$  и  $r_2$ :  $\Delta m_1/\Delta m_2 = \Delta L_1/\Delta L_2 = r_1/r_2$ .

Поскольку величина гравитационного поля, создаваемого каждой дугой в точке А, пропорциональна массе дуги и обратно пропорциональна квадрату расстояния от дуги до точки А, получаем, что результирующее поле от двух пар дуг направлено по диаметру от центра кольца. Так же будет направлено и результирующее поле кольца.



К задаче 3.45

\* \* \*

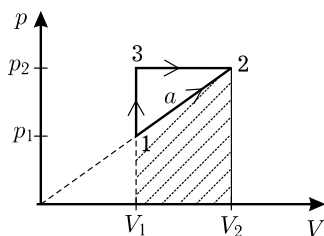
**4.1.** Установится температура  $40^\circ$ .

**4.2.** Обозначим начальные температуры первого, второго и третьего тел соответственно  $t_1$ ,  $t_2$ ,  $t_3$ , а искомую установившуюся температуру  $\Theta$ . Уравнение теплового баланса для случая, когда в контакт привели все три тела, имеет вид  $C(t_1 - \Theta) + C(t_2 - \Theta) + C(t_3 - \Theta) = 0$ , где  $C$  — теплоёмкость тела. Отсюда находим  $\Theta = (t_1 + t_2 + t_3)/3$ . Записывая далее уравнения теплового баланса для описанных в условии попарных тепловых контактов тел, находим, что  $t_1 + t_2 + t_3 = T_1 + T_2 + T_3$ . Таким образом, искомая температура равна  $\Theta = (T_1 + T_2 + T_3)/3$ .

**4.3.** Поскольку скорость теплообмена пропорциональна площади тела, то отношение времен остывания цилиндра и шарика (при равенстве их масс и удельных теплоёмкостей, а также начальных и конечных температур) будет обратно пропорционально отношению площадей их поверхностей. Таким образом, для времени остывания цилиндра получаем  $t = 10 \cdot (4\pi R^2)/(4\pi r^2)$ , где  $r$  — радиус цилиндра. Из равенства объёмов шарика и цилиндра следует, что  $r = R(4/3)^{1/3}$ . Окончательно получаем  $t = 10(3/4)^{2/3} \approx 8,3$  с.

**4.4.** Перепад температур увеличится в два раза.

**4.5.** Работа газа за цикл равна  $2R\Delta T$ , где  $R$  — молярная газовая постоянная.



К задаче 4.6

**4.6.** Изобразим процессы 1-а-2 и 1-3-2 на плоскости  $p, V$ , используя уравнение Клапейрона-Менделеева  $pV = \nu RT$ . Для процесса 1-а-2, где  $T = \alpha V^2$ , находим, что  $p = \nu R\alpha V$ , т. е. на плоскости  $p, V$  этот процесс изображается отрезком прямой, проходящей через начало координат (см. рис.). Изохорный процесс 1-3 и изобарный процесс 3-2 изображаются соответственно вертикальным и горизонтальным отрезками.

Согласно первому принципу термодинамики количество теплоты  $Q_{1-a-2}$  равно

$$\begin{aligned} Q_{1-a-2} &= U_2 - U_1 + A'_{1-a-2} = \\ &= \frac{3}{2}\nu R(T_2 - T_1) + \frac{1}{2}(p_1 + p_2)(V_2 - V_1). \end{aligned}$$

При записи разности  $U_2 - U_1$  учтено, что газ одноатомный, а работа газа найдена как площадь трапеции под отрезком 1-а-2. Поскольку  $p_1 V_2 = p_2 V_1$  (точки 1 и 2 лежат на прямой, проходящей через начало координат), найдем, что  $A'_{1-a-2} = \frac{1}{2} (p_2 V_2 - p_1 V_1) = \frac{1}{2} \nu R (T_2 - T_1)$ , откуда получим, что

$$Q_{1-a-2} = 2\nu R (T_2 - T_1). \quad (1)$$

Количество теплоты  $Q_{1-3-2}$  записываем, также используя первый принцип термодинамики:

$$\begin{aligned} Q_{1-3-2} &= U_2 - U_1 + A'_{3-2} = \frac{3}{2} \nu R (T_2 - T_1) + p_2 (V_2 - V_1) = \\ &= \frac{3}{2} \nu R (T_2 - T_1) + \nu R T_2 \left(1 - \frac{V_1}{V_2}\right). \end{aligned}$$

Поскольку в состояниях 1, 2 температура и объём газа связаны соотношением  $T = \alpha V^2$ , то

$$\frac{V_1}{V_2} = \sqrt{\frac{T_1}{T_2}}.$$

Подставляя эту формулу в выражение для  $Q_{1-3-2}$ , получаем

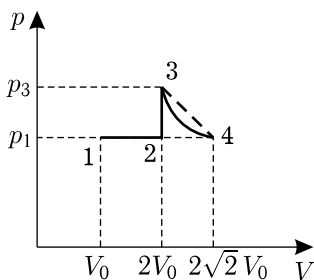
$$Q_{1-3-2} = \frac{3}{2} \nu R (T_2 - T_1) + \nu R (T_2 - \sqrt{T_1 T_2}).$$

Выразив из формулы (1)  $\nu R$  и подставив численные значения величин, находим, что

$$Q_{1-3-2} = \frac{Q_{1-a-2}}{2(T_2 - T_1)} \left[ \frac{3}{2} (T_2 - T_1) + (T_2 - \sqrt{T_1 T_2}) \right] = 2250 \text{ Дж.}$$

**4.7.** Изобразим процесс на плоскости  $p, V$  (см. рис.). Работа газа на участке 1-2 (изобара) равна  $A_{12} = p_1 V_0$ , а на участке 2-3 (изохора) равна нулю. Работу на изотермическом участке 3-4 оценим сверху как площадь трапеции (площадь под отрезком жирной штриховой прямой):

$$A_{34} < (p_1 + p_3)(2^{1/2} - 1)V_0$$



К задаче 4.7

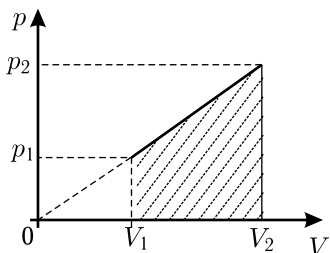
. Из уравнения Клапейрона-Менделеева для состояний 3 и 4 находим, что  $p_3 = 2^{1/2} p_1$ . В итоге получаем  $A_{34} < p_1 V_0$ . Таким образом, работа газа максимальна на участке 1-2.

**4.8.** Полученное газом количество теплоты максимально на участке 2–3.

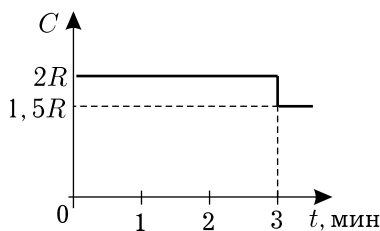
**4.9.** Записывая первый принцип термодинамики в виде

$$C\Delta T = \frac{3}{2}R\Delta T + A$$

и учитывая, что  $C = 2R$ , получим для работы выражение  $A = R\Delta T/2$ . С помощью уравнения Клапейрона–Менделеева выразим работу газа через давление и объём:  $A = \Delta(pV)/2 = [p_2V_2 - p_1V_1]/2$ .



К задаче 4.9



К задаче 4.10

Данная формула для работы газа справедлива лишь при линейной зависимости давления от объёма (см. рисунок, где работа представлена заштрихованной площадью и является разностью площадей двух треугольников). При этом из уравнения Клапейрона–Менделеева следует, что объём пропорционален  $\sqrt{T}$ , т. е. увеличивается в  $\sqrt{2}$  раз.

**4.10.** График зависимости теплоёмкости  $C$  от времени приведен на рисунке.

**4.11.** Рассмотрим бесконечно малое изменение параметров газа, для которого теплоёмкость газа можно считать постоянной. Из первого принципа термодинамики, записанного в виде

$$CdT = \frac{3}{2}RdT + pdV,$$

приходим к следующему выражению для теплоёмкости:

$$C = \frac{3}{2}R + p\frac{dV}{dT}.$$

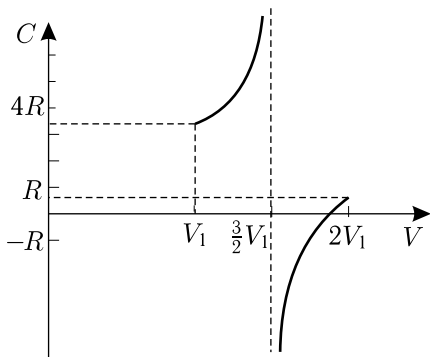
Производную  $dV/dT$  находим, используя уравнение Клапейрона–Менделеева  $pV = RT$  и зависимость  $p(V) = p_1 \frac{3V_1 - V}{2V_1}$  для рассматриваемого процесса 1–2. Исключая из этих соотношений давление и дифференцируя, находим

$$\frac{dV}{dT} = \frac{R}{p_1(3/2 - V/V_1)}.$$

Подставляя полученное выражение в формулу для теплоёмкости, окончательно получаем

$$C = \frac{3}{2}R + R \frac{3V_1 - V}{3V_1 - 2V}.$$

Соответствующий график зависимости  $C(V)$  приведен на рисунке.



К задаче 4.11

**4.12.** Наименьшее отношение давлений равно  $6/11$ .

**4.13.** Работа газа за цикл равна  $8R\Delta T/17$ .

**4.14.** Из первого принципа термодинамики для изобарного участка следует, что работа газа на этом участке составляет  $2/5$  от подведенного на этом же участке количества теплоты, т. е.  $6$  Дж. Поскольку на изохорном участке работа не совершается, то искомая работа на изотермическом участке равна разнице между работой газа за цикл и найденной работой газа на изобарном участке, т. е.  $-1$  Дж.

**4.15.** Газ получает тепло на изохорическом участке и на части линейного участка. На изохорическом участке полученное количество теплоты равно увеличению внутренней энергии газа, т. е.  $(3/2)p_0V_0$ . На наклонном участке, где  $p = p_0(3 - V/V_0)$  и  $V_0 < V < 2V_0$ , полученное газом (в алгебраическом смысле) количество теплоты находится из первого принципа термодинамики:

$$Q = -2\frac{p_0}{V_0}V^2 + \frac{15}{2}p_0V - \frac{11}{2}p_0V_0.$$

С ростом  $V$  полученное количество теплоты сначала увеличивается — до вершины параболы  $V = (15/8)V_0$ , а затем убывает (газ начинает отдавать тепло). Подставляя в приведенную выше формулу  $V = (15/8)V_0$ , находим количество теплоты, полученное

на наклонном участке:  $(49/32)p_0V_0$ , а затем и полное полученное количество теплоты:  $(97/32)p_0V_0$ . Отданное газом количество теплоты на  $p_0V_0/2$  (значение работы за цикл) меньше полученного.

**4.16.** Работа машины за один цикл равна  $\frac{\pi}{8}p_1V_1$ . КПД составляет  $\frac{2\pi}{\pi + 96} \approx 0,06$ , т.е. примерно 6%.

**4.17.** Построив с помощью миллиметровой бумаги на плоскости  $p, V$  цикл, состоящий из двух изотерм и двух изохор, можно по клеткам определить ограниченную циклом площадь. Эта площадь в выбранном масштабе даст значение максимальной работы  $A_{\max} \approx 913$  Дж.

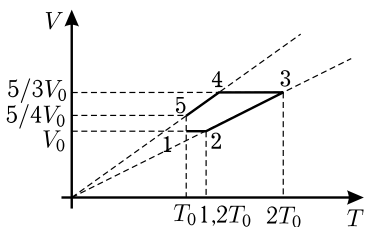
**4.18.** Смещение поршня равно  $2Q/(5pS)$ .

Примечание. Решение задачи упрощается при использовании соотношения  $p = 2u/3$ , где  $u$  — плотность внутренней энергии газа (энергия единицы объёма). Следует учитывать также, что полная энергия газа не меняется в ходе процесса.

**4.19.** Мощность нагревателя в правой части равна  $2P$ . Давление в сосуде возрастет на  $2Q/V$ .

**4.20.** Отношение большего объёма к меньшему равно  $2^{3/5}$ .

Указание. В момент достижения поршнем максимальной скорости давление газа по разные стороны от поршня будет одинаковым.



К задаче 4.21

**4.21.** Искомый процесс изображен на рисунке и состоит из изохор 1–2 и 3–4 и изобар 2–3 и 4–5. Температура в состоянии 4 равна  $4T_0/3$ . Давление на изобаре 2–3 в 1,2 раза больше давления окружающей среды, а на изобаре 4–5 составляет 0,8 от давления окружающей среды.

**4.22.** Отношение количества теплоты, прошедшего через поршень, к внутренней энергии газа равно  $\frac{5}{18}$ .

**4.23.** Температура более нагретого газа уменьшилась на ту же величину  $\Delta T$ . При закрепленном поршне увеличение температуры менее нагретого газа на  $\Delta T$  произошло бы за меньшее время.

**4.24.** Равновесная температура будет равна среднему арифметическому начальных температур, т.е. 450 К. Давление из-

менится в  $\frac{36}{37}$  раз. Теплоемкости газов одинаковы и равны  $\frac{825}{148}R \approx 5,6R$ .

**4.25.** Через поршни 2 и 3 пройдут количества теплоты  $\frac{105}{11}RT$  и  $\frac{75}{11}RT$  соответственно.

**4.26.** Поршень сдвинется вниз на расстояние  $H \frac{\sqrt{141} - 9}{20} \approx 0,14H$ .

**4.27.** Поршень опускается на  $p_0V/(mg)$ . Количество отведенного тепла равно  $p_0V$ .

**4.28.** Объем газа над верхним поршнем уменьшился в  $\frac{2}{\sqrt{21} - 3} \approx 1,26$  раза. Отведенное количество теплоты равно  $p_0V \frac{\sqrt{21} - 3}{6} \approx 0,26p_0V$ .

**4.29.** Максимальное расстояние между поршнями достигается в тот момент, когда потоки тепла через поршни равны между собой (одинаковы перепады температур на поршнях), и составляет

$$\frac{R}{2p_0S} \left( T_0 + \frac{2}{15} \frac{Q_1 - Q_2}{R} \right).$$

**4.30.** В части сосуда большего объёма давление будет  $(13/15)p_0$ , в части меньшего объёма  $(7/5)p_0$ .

Указание. Из условия изотермичности процесса можно найти перепад давлений в частях сосуда к моменту открытия клапана. Этот перепад равен  $(8/15)p_0$  и сохраняется при дальнейшем движении поршня.

**4.31.** Газу следует сообщить количество тепла  $\frac{51}{16}p_aSH$ , где  $p_a$  — атмосферное давление,  $S$  — сечение сосуда,  $H = 152$  см — высота сосуда, т. е. примерно 1 кДж.

**4.32.** Поскольку поршни могут свободно скользить в трубах, исходное равновесное состояние системы возможно только тогда, когда пружина не деформирована и начальное давление газа между поршнями равно атмосферному. После нагревания давление газа возрастает, пружина растягивается и поршни смещаются так, что меньший упирается в стопор (иначе не наступит равновесие).

Из условия равновесия для большего поршня

$$(p - p_0)2S = k\left(\frac{5}{2}L - 2L\right)$$

находим новое давление газа

$$p = p_0 + \frac{kL}{4S}.$$

Напишем уравнение Клапейрона–Менделеева для начального и конечного состояний газа:

$$p_0(2SL + SL) = RT_0,$$

$$p2S\frac{5}{2}L = RT,$$

где  $T_0$  и  $T$  — начальная и конечная температуры. Подставляя в последнее из этих соотношений найденное выражение для  $p$  и вычитая одно соотношение из другого, получаем

$$\Delta T = T - T_0 = \frac{1}{R}(2p_0SL + \frac{5}{4}kL^2).$$

Найдем теперь подведенное к газу количество теплоты  $Q$ . Из 1-го принципа термодинамики следует, что

$$Q = \frac{3}{2}R\Delta T + \frac{1}{2}k\left(\frac{L}{2}\right)^2 + p_0(2S \cdot \frac{5}{4}L - SL).$$

Смысл величин, входящих в правую часть равенства очевиден:  $\frac{3}{2}R\Delta T$  — изменение внутренней энергии газа,  $\frac{1}{2}k\left(\frac{L}{2}\right)^2$  — потенциальная энергия растянутой на  $\frac{L}{2}$  пружины,  $p_02SL$  — работа газа против силы атмосферного давления. Подставляя найденную ранее разность  $\Delta T$ , имеем окончательно, что

$$Q = 5p_0SL + 2kL^2.$$

**4.33.** Объём газа увеличится в  $\frac{9}{5}$  раз.

**4.34.** Нужно отвести количество теплоты  $\frac{19}{6}U_1$ .

**4.35.** Объём газа увеличится в  $\frac{16}{13}$  раз. Нужно отвести количество теплоты  $\frac{37}{13}Q$ .

**4.36.** Невесомый поршень сместится вверх на расстояние  $mgH/(p_0S)$ .

**4.37.** Объём газа станет равным  $0,4V$ . Температура газа между поршнем и перегородкой останется равной  $T$ . Температура газа в правой части сосуда будет  $5T/3$ .

**4.38.** Электронагреватель должен выделить количество теплоты  $4(p_0S + mg)h$ .



**4.39.** Изменение внутренней энергии  $\Delta U = -\nu(3/2)RT_0$ , работа атмосферы над газом  $A_a = \nu RT_0$ . Тепловая машина может совершить работу  $A = (5/2)(1 - \ln 2)\nu RT_0$ .

**4.40.** Плотность пара  $\rho = m/V$  выражаем из уравнения Клапейрона-Менделеева как  $\rho = pM/(RT)$ . Температуру пара  $T$  для оценки возьмем равной температуре кипения воды при атмосферном давлении 373 К. Действительно, при  $T = 373$  К давление насыщенного пара равно атмосферному, а при комнатной температуре ( $T \sim 300$  К) давление насыщенного пара много меньше атмосферного, и не будет большой ошибкой считать, что давление в половину атмосферного достигается при температурах, близких к 373 К. Учитывая также, что  $M = 0,018$  кг/моль,  $p = 50$  кПа,  $R = 8,31$  Дж/(К·моль), находим  $\rho \sim 0,3$  кг/м<sup>3</sup>.

**4.41.** Масса пара  $m$  находится из уравнения Клапейрона-Менделеева:

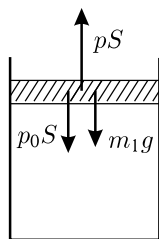
$$p_0 V = \frac{m}{M} RT.$$

Объем пара задан, а его давление  $p_0$  и температура  $T$  совпадают с давлением и температурой в помещении (поршень может свободно скользить и стенки теплопроводящие). Поэтому

$$m = \frac{p_0 V M}{RT} = \frac{10^5 \cdot 5 \cdot 10^{-3} \cdot 0,018}{8,314 \cdot 373} \approx 0,003 \text{ кг.}$$

Найдем давление пара, которое удержало бы поршень при вертикальной ориентации цилиндра (см. рис.). Из условия равновесия поршня следует:

$$pS = p_0 S + m_1 g,$$



К задаче 4.41

где  $p$  — давление пара под поршнем,  $S$  — площадь поршня,  $p_0$  — давление в помещении,  $m_1$  — масса поршня. Отсюда находим

$$p = p_0 + \frac{m_1 g}{S} = \left( 10^5 + \frac{10 \cdot 9,8}{10^{-2}} \right) \text{ Па} = 109,8 \text{ кПа.}$$

В то же время известно, что давление насыщенного пара воды при 100°C равно 760 мм рт. ст., т. е. 101,325 кПа. Поскольку это давление меньше требуемого для удержания поршня, то весь пар сконденсируется в воду, и его объем под поршнем будет равен нулю. Близок к нулю будет также и объем получившейся воды ( $\approx 3 \cdot 10^{-6}$  м<sup>3</sup>).

Обозначим температуру пара, до которой его следовало бы нагреть,  $T_1$ . Запишем уравнение Клапейрона–Менделеева для нового и первоначального состояний пара:

$$pV = \frac{m}{M}RT_1,$$

$$p_0V = \frac{m}{M}RT,$$

где  $p = p_0 + m_1g/S = 1,098 \cdot 10^5$  Па. Поделив первое соотношение на второе (объём по условию не меняется), находим, что

$$T_1 = T \frac{p}{p_0},$$

откуда

$$\Delta T = T_1 - T = T \left( \frac{p}{p_0} - 1 \right) = 373 \cdot 0,098 \approx 36,6 \text{ К}.$$

**4.42.** Масса трубы равна 25 кг.

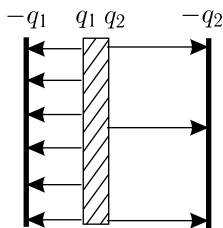
**4.43.** Концентрация пузырьков  $N$  зависит от координаты  $x$  по закону  $N(x) = \frac{\mu x}{V}$ .

\* \* \*

**5.1.** На внешнюю сферу следует поместить заряд  $2q$ .

**5.2.** Заряды на внешней и внутренней сторонах сферы равны соответственно  $2q$  и  $q$ .

**5.3.** Поскольку обкладки заземлены и тем самым соединены между собой, то разность потенциалов между ними будет равна нулю. Кроме того, не будет силовых линий электрического поля, идущих от обкладок к земле. Следовательно, на внешних сторонах обкладок заряды не появятся. На внутренние стороны обкладок придут с земли отрицательные заряды, равные по величине и противоположные по знаку зарядам на соответствующих сторонах пластины (см. рис.). Чтобы обеспечить нулевую разность потенциалов между обкладками, напряжённость поля в левом (меньшем) зазоре должна быть в два раза больше, чем в правом (большем). Значит, и заряд  $Q$  пластины распределится на ее плоскостях в той же пропорции («число» силовых линий электрического поля пропорционально заряду, на котором эти линии начинаются):  $q_1 = 2q_2$ . Учитывая, что  $q_1 + q_2 = Q$ , находим  $q_1 = 2Q/3$ ,  $q_2 = Q/3$ . Следовательно, через гальванометр  $\Gamma_1$  на пластину 1 с земли пройдет заряд  $-2Q/3$ , а через  $\Gamma_2$  на пластину 2 — заряд  $-Q/3$ .



К задаче 5.3

**5.4.** Разность потенциалов равна  $\frac{7q}{24\pi\epsilon_0 R}$ ,  $\epsilon_0$  — электрическая постоянная.

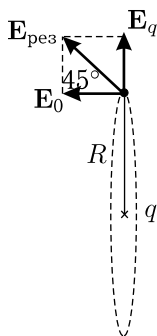
**5.5.** Напряжённость поля возрастет в  $\sqrt{2}$  раз.

**5.6.** В случае сохранения полного заряда полусферы напряжённость поля уменьшится в 4 раза. В случае сохранения поверхностной плотности заряда напряжённость поля не изменится.

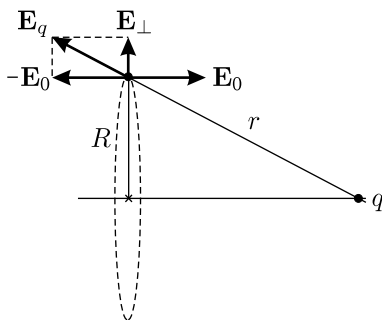
**5.7.** Искомые точки находятся на силовой линии поля напряжённостью  $E_0$ , на которой расположен заряд  $q$ . Очевидно, что в этих точках напряжённость поля заряда  $q$  равна  $E_0/2$  и направлена в одной точке по  $E_0$ , а в другой — против  $E_0$ . Расстояние  $r$  от заряда  $q$  до каждой из этих точек находим из формулы  $q/(4\pi\epsilon_0 r^2) = E_0/2$ , т.е.  $r = [q/(2\pi\epsilon_0 E_0)]^{1/2}$ , где  $\epsilon_0$  — электрическая постоянная. Искомое расстояние между точками равно  $2r = [2q/(\pi\epsilon_0 E_0)]^{1/2}$ . Поскольку вклад заряда  $q$  в потенциалы искомых точек одинаков, разность потенциалов между ними определяется только полем напряжённостью  $E_0$  и равна

$E_0 2r = [2qE_0/(\pi\epsilon_0)]^{1/2}$ . В приведенных формулах заряд подразумевался положительным. В случае отрицательного заряда достаточно  $q$  заменить на  $|q|$ .

**5.8.** По принципу суперпозиции напряжённость результирующего поля равна векторной сумме напряжённости поля  $\mathbf{E}_0$  и поля точечного заряда  $\mathbf{E}_q$ . На рисунке изображены векторы напряжённости полей  $\mathbf{E}_0$  и  $\mathbf{E}_q$  в точке искомой окружности (для  $q > 0$ ). Поскольку  $E_{\text{рез}} = \sqrt{2} E_0$  и угол между напряжённостью результирующего поля и  $\mathbf{E}_0$  равен  $45^\circ$ , то  $E_q = E_0$  и  $\mathbf{E}_q \perp \mathbf{E}_0$ . Отсюда заключаем, что точечный заряд располагается в центре искомой окружности, а ее радиус  $R$  находим из условия  $kq/R^2 = E_0$ , где  $k = 1/(4\pi\epsilon_0)$ , где  $\epsilon_0$  — электрическая постоянная. Окончательно получаем  $R = (2kq/E_0)^{1/2}$ .



К задаче 5.8



К задаче 5.9

**5.9.** По принципу суперпозиции результирующее поле равно векторной сумме поля  $\mathbf{E}_0$  и поля точечного заряда  $\mathbf{E}_q$ . Решение задачи проведём для  $q > 0$ . На рисунке изображены векторы напряжённостей полей  $\mathbf{E}_0$  и  $\mathbf{E}_q$  в точке искомой окружности. Учитывая, что  $E_\perp = E_0/2$ , находим, что

$$E_q = (E_0^2 + E_\perp^2)^{1/2} = \sqrt{5} E_0/2.$$

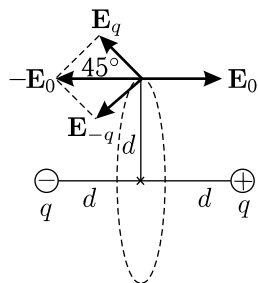
Используя формулу для напряжённости поля точечного заряда  $kq/r^2$ , где  $k = 1/(4\pi\epsilon_0)$ ,  $\epsilon_0$  — электрическая постоянная а  $r$  — расстояние от точечного заряда до точки окружности, получаем  $r = [2kq/(\sqrt{5} E_0)]^{1/2}$ .

Из подобия треугольников расстояний и напряжённостей полей имеем  $R/r = E_\perp/E_q = 1/\sqrt{5}$ , откуда находим радиус искомой окружности  $R = [2kq/(5\sqrt{5} E_0)]^{1/2}$ .

**5.10.** Положение окружности с нулевой напряжённостью суммарного поля показано на рисунке. Из условия компен-

сацией поля  $\mathbf{E}_0$  полями зарядов  $\mathbf{E}_q$  и  $\mathbf{E}_{-q}$  с учетом выражения для поля точечного заряда находим величину зарядов  $q = 4\pi\epsilon_0 2^{1/2} E_0 d^2$ , где  $\epsilon_0$  — электрическая постоянная. При уменьшении зарядов в 4 раза суммарная напряжённость электрического поля будет равна нулю в двух точках, расположенных между зарядами  $q/4$  и  $-q/4$  и смещенных от центра соединяющего заряды отрезка на расстояние

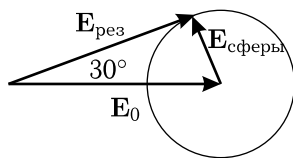
$$x = \pm d \sqrt{\frac{2\sqrt{2} + 1 - \sqrt{8\sqrt{2} + 1}}{2\sqrt{2}}} \approx \pm 0,34d.$$



К задаче 5.10

**5.11.** Заряд сферы равен  $2\pi\epsilon_0 E_0 R^2$ , где  $\epsilon_0$  — электрическая постоянная.

Указание. Существование максимального угла, меньшего  $\pi$ , между вектором напряжённости результирующего поля и вектором  $\mathbf{E}_0$  означает, что в любой точке напряжённость поля, создаваемого сферой, меньше  $\mathbf{E}_0$ . При фиксированном значении заряда сферы максимальный угол между вектором напряжённости результирующего поля и вектором  $\mathbf{E}_0$  достигается в тех точках, где напряжённость поля сферы максимальна (вне сферы вблизи ее поверхности) и ориентирована так, что результирующее поле перпендикулярно полю сферы (см. рис., где окружность показывает возможные положения концов вектора поля сферы и вектора результирующего поля). Из рисунка следует, что поле сферы должно быть направлено под углом  $120^\circ$  к полю  $\mathbf{E}_0$  и равняться  $E_0/2$ . Учитывая, что поле сферы вблизи ее поверхности равно  $q/(4\pi\epsilon_0 R^2)$ , находим заряд сферы  $q = 2\pi\epsilon_0 E_0 R^2$ .



К задаче 5.11

**5.12.**  $\alpha = \frac{\pi}{4} + \frac{\pi\sigma R}{\lambda}.$

**5.13.** После внесения в короткозамкнутый конденсатор поле между пластинами внесенного конденсатора уменьшается вдвое, такое же по величине и противоположно направленное поле возникает в зазорах между пластинами внесенного и короткозамкнутого конденсаторов. Конечная электрическая энергия системы в два раза меньше начальной энергии заряженного конденсатора, поэтому работа электрических сил равна  $CU^2/4$ .

**5.14.** ЭДС батареи равна  $\frac{Qd}{2\varepsilon_0 S}$ . Работа батареи равна  $\frac{Q^2 d}{2\varepsilon_0 S}$ ,

где  $\varepsilon_0$  — электрическая постоянная.

**5.15.** Количество выделившейся теплоты равно  $\varepsilon_0 S E^2 / (4d)$ , где  $\varepsilon_0$  — электрическая постоянная.

Указание. Для решения задачи удобно использовать энергетическое соотношение: работа батареи равна изменению запасенной электрической энергии плюс выделившееся тепло.

**5.16.** Работа внешней силы равна  $\varepsilon_0 S E^2 / (6d)$ , где  $\varepsilon_0$  — электрическая постоянная.

**5.17.** Работа равна изменению электрической энергии системы:  $A = \frac{(2q)^2}{16\varepsilon_0 R} - 2 \frac{q^2}{16\varepsilon_0 R} = \frac{q^2}{8\varepsilon_0 R}$ , где  $\varepsilon_0$  — электрическая постоянная.

**5.18.** Потенциал уменьшится в 1,2 раза.

**5.19.** Энергия электрического поля первой сферы больше на  $\frac{56\pi\sigma^2 R^3}{9\varepsilon_0}$ , где  $\varepsilon_0$  — электрическая постоянная.

**5.20.** Токи имеют следующие значения: через левый верхний резистор 4 А, через правый верхний 3 А, через центральный (перемычка) 1 А (направлен вниз).

Указание. Ток через центральный резистор, очевидно, равен 1 А и течет вниз. Ток через правый верхний резистор может быть найден из условия, что напряжение на нем равно сумме напряжений на центральном и правом нижнем резисторах. После этого ток через левый верхний резистор находится элементарно.

**5.21.** Ток во внешней цепи равен 6 А.

**5.22.** Токи в каждой паре параллельно соединенных сопротивлений распределяются обратно пропорционально этим сопротивлениям. Поэтому к точке А слева течет ток 4 А, а вправо от нее (к точке С) уходит ток 2 А. Следовательно, по перемычке АВ в направлении от А к В протекает ток 2 А. Рассуждая аналогично для точки С, находим, что ток в перемычке CD равен 1 А и течет от D к С. Напряжение на участке AC равно 8 В.

**5.23.** Минимальное сопротивление участка АВ равно  $2R/3$ , максимальное сопротивление равно  $R$ .

**5.24.** Увеличили на 10 Ом сопротивление одного из двух параллельных резисторов. Ток возрос в другом из этих двух резисторов.

**5.25.** Мощность максимальна при  $R_{\text{н}} = R/2$ .

**5.26.** Перемычка перегорит, когда напряжение источника достигнет значения 104 В. Выделяемая в цепи мощность уменьшится примерно в 1,3 раза.

**5.27.** Максимальная мощность составляет  $\frac{800}{3}$  Вт и достигается при угле  $45^\circ$  между переключкой и диаметром АВ.

**5.28.** Известно, что вольтметр показывает напряжение на самом себе. По результатам первого подключения можно сделать вывод, что сопротивление 2-го вольтметра в два раза больше сопротивления 1-го (при последовательном соединении вольтметров через них идет одинаковый ток). При втором подключении напряжение на 1-м и 2-м вольтметрах вместе составляло, очевидно,  $(18 - 7,2) \text{ В} = 10,8 \text{ В}$ . Это напряжение должно делиться между вольтметрами в той же пропорции 1:2 (через вольтметры снова течет один и тот же ток), значит 1-й вольтметр показал 3,6 В, а 2-й 7,2 В (в сумме 10,8 В). Поскольку при втором подключении показания 2-го и 3-го вольтметров оказываются одинаковыми, то их сопротивления равны. При третьем подключении вольтметров (2-й и 3-й параллельно, 1-й последовательно с ними) все вольтметры покажут по 9 В, поскольку ток, проходящий через 1-й вольтметр, поделится поровну между 2-м и 3-м.

**5.29.** Сопротивления  $R_3$  и  $R_4$  равны. Напряжение источника питания 10 В.

**5.30.** Сопротивление амперметра равно  $R/2$ , а вольтметра  $R$ .

Указание. Принять во внимание, что в первой схеме ток через амперметр больше, чем во второй, а напряжение на вольтметре меньше.

**5.31.** Напряжение источника равно 330 В.

**5.32.** Амперметры  $A_1$ ,  $A_2$  и  $A_3$  будут показывать токи 20 мА, 80 мА и 60 мА соответственно.

Указание. Вначале следует найти токи через резисторы. При расчете этих токов амперметры можно заменить проводами с нулевым сопротивлением.

**5.33.** Вольтметр  $V_1$  покажет 40 В, а показания вольтметра  $V_2$  будут нулевыми.

Указание. Поскольку сопротивления вольтметров велики, их подключение к цепи не влияет на распределение токов. Следовательно, на каждом сопротивлении будет напряжение 40 В.

**5.34.** Ток через амперметр  $I_A = 3 \text{ мА}$  течет вверх, т. к. подключенный вольтметр уменьшил сопротивление среднего участка нижней ветви. Пусть ток через два левых резистора верхней ветви равен  $I_1$ , тогда для этой ветви закон Ома имеет вид  $I_1 2R + (I_1 + I_A)R = U$ , где  $R$  — сопротивление резистора, а  $U$  — напряжение на зажимах цепи. Отсюда находим, что  $I_1 = 39 \text{ мА}$ . Обозначив ток через левый резистор нижней ветви  $I_2$ , запишем для этой ветви закон Ома:  $I_2 R + V + (I_2 - I_A)R = U$ ,

где  $V$  — напряжение на вольтметре. Поскольку правые резисторы верхней и нижней ветвей включены фактически параллельно (сопротивление амперметра пренебрежимо мало), напряжения на этих резисторах, а, значит, и токи в них одинаковы, т. е.  $I_2 - I_A = I_1 + I_A$ . Таким образом,  $I_2 = 45$  мА и  $V = U - I_2 R - (I_2 - I_A) R = 33$  В.

**5.35.** Первый и третий вольтметры показывают по 4 В, второй вольтметр показывает нулевое напряжение.

**5.36.** Напряжение источника равно 12 В.

Указание. Сопоставляя показания 1-го и 2-го вольтметров, легко понять, что сопротивление вольтметра равно сопротивлению резистора.

**5.37.** Из закона Ома для полной цепи можно составить два уравнения, соответствующих перечисленным в условии задачи вариантам включения:

$$I_1 = \frac{E}{R+r} = 1 \text{ А}, \quad I_2 = \frac{E}{r} = 6 \text{ А}.$$

Из этих уравнений находим ЭДС  $E$  и внутреннее сопротивление  $r$ :  $E = 6$  В,  $r = 1$  Ом. Мощность, выделяемая во внешней цепи, равна

$$P = I^2 R = \frac{E^2 R}{(R+r)^2}.$$

Максимальное значение мощности составляет 9 Вт и достигается при  $R = r$ , т. е. при  $R = 1$  Ом.

**5.38.**  $\frac{9}{8}P$ .

**5.39.** Из условия задачи ясно, что сопротивления резисторов, включенных в противоположные стороны квадрата, попарно равны. Обозначим их  $R_1$  (между точками AC и BD) и  $R_2$  (между точками CB и AD). Пусть напряжение сети равно  $V$ . Тогда

$$P = V^2 \left( \frac{1}{R_1} + \frac{1}{R_1 + 2R_2} \right), \quad 2P = V^2 \left( \frac{1}{R_2} + \frac{1}{2R_1 + R_2} \right).$$

Поделив эти равенства одно на другое, находим отношение сопротивлений

$$\frac{R_2}{R_1} = \frac{\sqrt{3} - 1}{2}.$$

Искомая мощность  $P'$  определяется формулой

$$P' = \frac{2V^2}{R_1 + R_2}.$$



Выражая  $V^2$ , например, из первого равенства, находим

$$P' = P \frac{2\sqrt{3}}{2 + \sqrt{3}}.$$

**5.40.** В цепи выделится мощность  $1,2P$ .

**5.41.** Мощность уменьшится в  $21/16$  раз. Вслед за AD перегорит AC. Вслед за BD перегорит AC.

**5.42.** В неоднородном участке выделяется мощность

$$P = \frac{U_1^2 \pi r^2}{\rho_1^2} \frac{\rho_1 + \rho_1}{2} L.$$

**5.43.** После замыкания ключа  $K_1$  через гальванометр пройдет заряд  $q_1 = \frac{2}{3}CE$ . После размыкания ключа  $K_1$  и замыкания  $K_2$  через гальванометр пройдет заряд  $q_2 = \frac{2}{9}CE$ .

**5.44.** Изменение заряда на верхней пластине равно  $-\frac{5}{2}CE$ .

**5.45.** При быстром увеличении расстояния между пластинами нижнего конденсатора заряд не успевает перераспределиться. Поэтому совершенная работа равна увеличению энергии нижнего конденсатора:  $A = q_0^2/(2C)$ . С течением времени заряды перераспределяются до установления на конденсаторах одинаковой разности потенциалов. Используя последнее условие, а также закон сохранения заряда, находим  $q_1 = (4/3)q_0$ ,  $q_2 = (2/3)q_0$ , где  $q_1$  и  $q_2$  — конечные заряды верхнего и нижнего конденсаторов. Полное количество теплоты равно убыли электрической энергии в ходе перераспределения зарядов:

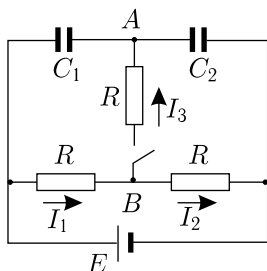
$$Q_1 + Q_2 = \frac{q_0^2}{2C} + \frac{q_0^2}{C} - \left( \frac{q_1^2}{2C} + \frac{q_2^2}{C} \right) = \frac{q_0^2}{6C}.$$

Учитывая, что через  $R_1$  и  $R_2$  в любой момент текут равные токи, имеем  $Q_1/Q_2 = R_1/R_2 = 1/2$ . В итоге  $Q_1 = q_0^2/(18C)$ ,  $Q_2 = q_0^2/(9C)$ .

**5.46.** После замыкания ключа  $K$  вначале быстро зарядится до напряжения  $E$  конденсатор  $2C$ , а другой конденсатор из-за большого сопротивления резистора останется практически незаряженным. При этом внутри батареи выделится количество теплоты  $CE^2$ . Далее будет продолжаться медленная зарядка конденсатора  $C$  при практически неизменном напряжении на конденсаторе  $2C$ . Поскольку при этом через резистор и батарею течет фактически одинаковый ток, а сопротивление резистора много больше внутреннего сопротивления батареи, почти все

количество теплоты на этом этапе выделится на резисторе и будет равно  $CE^2/2$ . Таким образом, полное количество теплоты, выделившееся в цепи, составляет  $3CE^2/2$  и  $2/3$  его выделится внутри батареи.

**5.47.** Ток, который пойдет через переключку сразу после замыкания ключа, можно найти из закона Ома для участка АВ. При этом надо учитывать, что потенциал точки А не может измениться мгновенно после замыкания ключа (заряды на конденсаторах меняются плавно), потенциал же точки В изменится скачком из-за перераспределения токов. Примем для определенности потенциал отрицательного полюса батареи за нуль. Тогда потенциал положительного полюса будет равен  $E$ , т. к. сопротивление батареи пренебрежимо мало.



К задаче 5.47

Разность потенциалов между полюсами не изменится и после замыкания ключа. Определим потенциал точки А. Поскольку заряд батареи конденсаторов равен  $C_{\text{общ}}E = (2/3)CE$ , то разность потенциалов на конденсаторе емкостью  $2C$  равна  $E/3$  и, следовательно,  $\varphi_A = E/3$ .

Обозначив токи, которые будут течь в участках цепи сразу после замыкания ключа, через  $I_1$ ,  $I_2$ ,  $I_3$  (см. рис.), составим систему уравнений

$$\begin{aligned} I_1 &= I_2 + I_3, \\ I_1 R + I_3 R &= E - \frac{E}{3} = \frac{2E}{3}, \\ I_1 R + I_2 R &= E, \end{aligned}$$

откуда и найдем искомый ток  $I_3$ :

$$I_3 = \frac{E}{9R} = 0,02 \text{ A}$$

(ток течет в направлении от В к А).

**5.48.** Сразу после замыкания ключа через батарею пойдет ток  $\frac{10}{9} \text{ A}$ .

**5.49.** Сразу после замыкания ключа, когда конденсаторы практически мгновенно зарядятся до напряжений  $E/2$ , ток через резистор будет равен  $E/(2R)$ . В момент, когда напряжение на незашунтированном конденсаторе станет равным  $3E/4$ , ток через резистор будет  $E/(4R)$  (поскольку напряжение на параллельном

резистору конденсаторе будет  $E/4$ ). В этот момент ток через батарею будет равен  $E/(8R)$ .

**Указание.** При нахождении тока через батарею следует учитывать, что после быстрой зарядки конденсаторов сумма зарядов на них остается постоянной и равной  $CE$ ,  $C$  — емкость конденсатора. При этом протекающий по резистору ток делится пополам между конденсаторами.

**5.50.** В указанный момент напряжение на втором конденсаторе равно  $E - 2U$ , а ток через батарею равен  $U/R$ .

**5.51.** Токи через батарею и перемычку будут соответственно 2 А и 11 А.

**5.52.** Через резисторы (рассматриваем их слева направо) пойдут токи  $E/(8R)$ ,  $E/(4R)$ ,  $3E/(8R)$ . Батарея совершит работу  $3CE^2$ . В резисторах (слева направо) выделятся следующие количества теплоты:  $CE^2/8$ ,  $CE^2/4$ ,  $9CE^2/8$ .

**5.53.** В первом резисторе выделится количество теплоты  $q^2/(36C)$ , во втором  $q^2/(72C)$ .

**5.54.** В первом резисторе выделится количество теплоты  $CU^2/9$ , во втором  $CU^2/18$ .

**5.55.** Выделившееся количество теплоты равно

$$\frac{(q_1 + q_2 + \dots + q_N)^2}{2NC}.$$

**5.56.** При  $R \geq 4$  Ом ток через левый диод не идет. Тогда выделяющаяся на резисторе  $R$  мощность определяется формулой

$$P = \frac{(1,6)^2 R}{(R + 4)^2} = \frac{0,64}{\left(\sqrt{R}/2 + 2/\sqrt{R}\right)^2}.$$

Максимум этого выражения достигается при  $R = 4$  Ом и составляет  $P_{\max} = 0,16$  Вт. При  $R < 4$  Ом открыты оба диода и выделяющаяся на резисторе  $R$  мощность равна

$$P = \frac{(0,8 + 1,6)^2 R}{(2R + 4)^2} = \frac{0,72}{\left(\sqrt{R/2} + \sqrt{2/R}\right)^2}.$$

Максимум  $P$  достигается теперь при  $R = 2$  Ом и составляет  $P_{\max} = 0,18$  Вт, что больше, чем  $P_{\max}$  в первом случае. Таким образом,  $P_{\max} = 0,18$  Вт при  $R = 2$  Ом.

**5.57.** Ток находим из решения системы двух уравнений

$$\begin{aligned} IR + V &= E, \\ I &= 10^{-2} \cdot V^2. \end{aligned}$$

Исключая вначале ток  $I$ , получаем квадратное уравнение для напряжения  $V$  на диоде

$$10^{-2}RV^2 + V - E = 0,$$

откуда находим

$$V = \frac{-1 \pm \sqrt{1 + 4RE \cdot 10^{-2}}}{2R \cdot 10^{-2}}.$$

Выбирая верхний знак, чтобы  $V$  было больше нуля и  $IR < E$ , и подставляя численные значения  $R$  и  $E$ , получаем  $V = 1$  В. Учитывая, что  $I = 10^{-2}V^2$ , находим  $I = 10$  мА.

Разумеется, можно решать исходную систему уравнений, сразу исключая напряжение  $V$  и получая квадратное уравнение для  $I$ .

**5.58.** Приравняем энергии шариков в начальном положении (когда они на расстоянии  $h$  друг от друга) и в момент остановки верхнего (когда шарик на расстоянии  $h/2$ ):

$$mg\frac{h}{2} + \frac{q^2}{4\pi\epsilon_0 h} = \frac{q^2}{2\pi\epsilon_0 h},$$

где  $\epsilon_0$  — электрическая постоянная. Отсюда находим, что  $\frac{q^2}{4\pi\epsilon_0 h^2} = \frac{1}{2}mg$ , и, следовательно, начальное ускорение падающего шарика равно  $g/2$ . Скорость шарика достигает максимального значения в точке, где ускорение шарика обращается в нуль (электрическая сила отталкивания уравнивает силу тяжести). Связывая законом сохранения энергии это положение с начальным, находим, что максимальная скорость равна  $\sqrt{(3 - 2\sqrt{2})gh}$ .

**5.59.** Нить составит с горизонтом угол  $\arccos(4/5) \approx 37^\circ$ . Сила натяжения будет равна  $mg$ .

**5.60.** Частицы сблизятся до наименьшего расстояния  $\frac{L}{1 + 2\pi\epsilon_0 mV^2 L/q^2}$ ,  $\epsilon_0$  — электрическая постоянная. Работа внешней силы равна  $3mV^2/2$ .

**5.61.** Наименьшая скорость равна  $\frac{3q}{\sqrt{10\pi\epsilon_0 md}}$ ,  $\epsilon_0$  — электрическая постоянная.

**5.62.** Период обращения равен  $2R^2 \sqrt{\frac{3\sqrt{3}\pi^3\epsilon_0 m}{qr}}$ ,  $\epsilon_0$  — электрическая постоянная.

**5.63.** Проекция силы  $F_x$  (ось  $x$  направлена вдоль оси кольца), действующей на пылинку со стороны кольца, пропорциональна произведению  $E_x E'_x$ , где  $E_x$  — напряжённость электрического поля кольца, а  $E'_x$  — производная по координате:  $F_x \propto E_x E'_x$ . Используя выражение для электрического поля на оси кольца

$$E_x = \frac{qx}{4\pi\epsilon_0 (x^2 + R^2)^{3/2}},$$

где  $q$  — заряд кольца,  $\epsilon_0$  — электрическая постоянная, а координата  $x$  отсчитывается от центра кольца, находим

$$F_x \propto \frac{x(R^2 - 2x^2)}{(x^2 + R^2)^4}.$$

Дифференцируя  $F_x$  по  $x$  и приравнявая производную к нулю, находим два значения  $x$ , при которых величина силы достигает локальных максимумов:  $x_1 \approx 0,29R$  и  $x_2 \approx 1,10R$ . Сравнивая значения силы в этих точках, находим, что в точке  $x_1$  сила наибольшая. Интересно отметить, что при  $x < R/\sqrt{2}$  пылинка отталкивается кольцом, а при  $x > R/\sqrt{2}$  — притягивается.

**5.64.** Заряд сферы равен  $q/4$ . Сила натяжения возрастет в  $9/8$  раз. Начальная скорость шариков должна превышать значение  $q/\sqrt{3\pi\epsilon_0 mL}$ , где  $\epsilon_0$  — электрическая постоянная.

**5.65.** Для нахождения минимальной начальной скорости  $V$  запишем закон сохранения энергии в виде

$$\frac{mV^2}{2} + \frac{q_1^2}{2C_1} + \frac{q_2^2}{2C_2} = mg\frac{d}{4} + 2\frac{(q/2)^2}{2C}.$$

Здесь  $C_1 = \frac{4\epsilon_0 S}{d}$  — емкость конденсатора, образованного нижней

обкладкой и пластинкой в начальном положении,  $C_2 = \frac{4\epsilon_0 S}{3d}$  — емкость конденсатора, образованного верхней обкладкой и пластинкой в том же положении,  $q_{1,2}$  — соответствующие заряды этих конденсаторов,  $C = \frac{2\epsilon_0 S}{d}$  — емкости конденсаторов при расположении пластинки посередине между обкладками,  $g$  — ускорение свободного падения,  $\epsilon_0$  — электрическая постоянная. Учитывая, что заряд  $q$  делится между конденсаторами  $C_1$  и  $C_2$  в отношении 3:1, находим  $q_1 = 3q/4$ ,  $q_2 = q/4$ . В результате получаем

$$V = \sqrt{\frac{gd}{2} + \frac{q^2 d}{16m\epsilon_0 S}}.$$

**5.66.** Полное разделение электронного и ионного слоев произойдет в случае, когда суммарный заряд образовавшихся ионов не превышает  $2Q$ . В момент, когда электронный слой подлетает к пластине, его энергия равна  $Q^2 d / (4\epsilon_0 S)$ , где  $\epsilon_0$  — электрическая постоянная.

**5.67.** Запишем второй закон Ньютона для частицы:

$$m \frac{\Delta V}{\Delta t} = q \frac{U}{d},$$

где  $U$  — разность потенциалов на конденсаторе. Подставляя выражение для  $U$  из закона Ома

$$U = E - IR$$

и домножая обе части уравнения движения частицы на  $\Delta t$ , приходим к соотношению

$$m\Delta V = \frac{q}{d} E \Delta t - \frac{q}{d} IR \Delta t.$$

Учитывая, что начальная скорость частицы и начальный заряд на пластинах конденсатора равнялись нулю, после суммирования в левой и правой частях уравнения получаем

$$mV = \frac{q}{d} (Et - QR).$$

Отсюда искомый заряд равен

$$Q = \frac{1}{R} \left( Et - \frac{mVd}{q} \right).$$

**5.68.** Заряд кольца равен  $m|\omega_2 - \omega_1|/B$ .

**5.69.** Направим ось  $y$  параллельно границе и перпендикулярно к магнитному полю и запишем второй закон Ньютона в проекции на эту ось:

$$m \frac{dV_y}{dt} = -qV_x B_0 \frac{x}{L}.$$

Домножая обе части уравнения на  $dt$  и используя равенство  $V_x dt = dx$ , приходим к соотношению

$$mdV_y = -\frac{qB_0}{L} x dx.$$

Интегрирование полученного уравнения с учетом того, что в точке поворота  $V_y = 0$ , дает

$$x_{\max} = \sqrt{\frac{2VL}{B_0 q/m}}.$$

**5.70.** Максимальное удаление равно  $\frac{2mV_0}{qB_0} \sqrt{1 + \frac{E_0^2}{B_0^2 V_0^2}}$ .

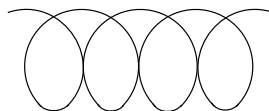
**5.71.** Максимальная кинетическая энергия равна  $2mE^2/B^2$ .

**5.72.** Минимальный радиус кривизны траектории частицы равен

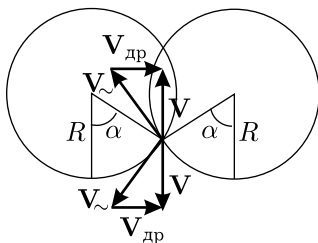
$$\frac{mV_0^2 \sin^2 \alpha}{q \sqrt{E^2 + V_0^2 B^2 \sin^2 \alpha}}.$$

**5.73.** Соответствующая условию задачи траектория движения частицы имеет вид, приведённый на рисунке.

Движение частицы является суперпозицией двух движений — дрейфа с постоянной скоростью  $V_{\text{др}} = E/B$  и равномерного вращения с циклотронной частотой  $\omega_B$  (и линейной скоростью  $V_{\sim} = \omega_B R$ ). Прохождение частицей одной и той же точки пространства с равными и противоположными скоростями может быть пояснено рисунком.



К задаче 5.73



К задаче 5.73

Точка на правой окружности (скорость в лабораторной системе отсчета направлена вертикально вверх) проходится частицей через целое число оборотов плюс доворот на угол  $2\alpha$ . С учетом этого условие возврата частицы в ту же точку пространства имеет вид

$$V_{\text{др}} t = 2R \sin \alpha,$$

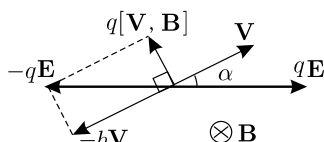
где  $t = (2\pi n + 2\alpha)/\omega_B$ ,  $n = 1, 2, 3, \dots$ . Минимальной скорости частицы соответствует  $n = 1$ . Из треугольников скоростей находим  $V_{\text{др}}/V_{\sim} = \cos \alpha$ . Тогда угол  $\alpha$  определится трансцендентным уравнением  $\text{tg } \alpha = \pi + \alpha$ . Решая это уравнение методом последовательных приближений, получаем  $\alpha \approx 77^\circ$ . В итоге для

минимальной скорости прохода точек касания витков траектории получаем

$$V = V_{\text{др}} \operatorname{tg} \alpha \approx 4,5 V_{\text{др}} = 4,5 E/B.$$

Наименьшая скорость на траектории достигается в «нижней» точке траектории и равна

$$V_{\min} = V_{\sim} - V_{\text{др}} = V_{\text{др}}(1/\cos \alpha - 1) \approx 3,6 E/B.$$



К задаче 5.74

**5.74.** Направим магнитное поле за чертеж, а электрическое вправо. При движении заряда с установившейся скоростью  $\mathbf{V}$  сумма действующих на него сил равна нулю:  $q\mathbf{E} + q[\mathbf{V}\mathbf{B}] - h\mathbf{V} = 0$ , где  $[\mathbf{V}\mathbf{B}]$  — векторное произведение

$\mathbf{V}$  и  $\mathbf{B}$ . Из рисунка очевидны как абсолютная величина установившейся скорости, так и угол  $\alpha$  между  $\mathbf{V}$  и  $\mathbf{E}$ :

$$V = \frac{qE}{\sqrt{q^2 B^2 + h^2}}, \quad \operatorname{tg} \alpha = \frac{qB}{h}.$$

**5.75.** Пусть  $\ell$  — длина замыкающей части перемычки в произвольный момент времени  $t$  (такими же будут и длины двух других сторон проводящего треугольника), тогда найдем силу тока  $I$ :

$$I = E/(R_1 3\ell).$$

При этом на перемычку действует сила Ампера

$$F_A = I\ell B = EB/(3R_1).$$

Как видим, сила Ампера оказывается постоянной, т. е. перемычка движется равноускоренно с ускорением

$$a = F_A/m = EB/(3mR_1).$$

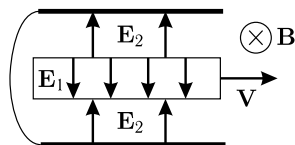
Из простых геометрических соотношений находим, что до размыкания цепи перемычка пройдет путь  $S = \ell_0 \sqrt{3}/4$ . Поскольку  $S = at^2/2$ , момент размыкания цепи определяется формулой

$$t = \sqrt{\frac{3\sqrt{3}mR_1\ell_0}{2EB}}.$$

**5.76.** Поскольку на свободные электроны, движущиеся вместе с пластиной, действует сила Лоренца, они перераспределяются в пластине так, чтобы напряжённость их собственнo-го электрического поля  $\mathbf{E}_1$  в каждой точке внутри пластины



скомпенсировала напряжённость поля силы Лоренца:  $E_1 = VB$ . Появление электрического поля  $\mathbf{E}_1$  внутри пластины приводит к появлению электрического поля  $\mathbf{E}_2$  и вне ее (см. рис.), иначе появилась бы разность потенциалов между замкнутыми обкладками. Напряжённость поля  $E_2$  находим из условия равенства нулю разности потенциалов между обкладками:  $E_2 = \frac{1}{2}E_1 = \frac{1}{2}VB$ . Используя далее известную связь между напряжённостью поля вблизи поверхности металла и плотностью заряда на ней ( $E_2 = \sigma/\varepsilon_0$ ,  $\varepsilon_0$  — электрическая постоянная), окончательно получаем  $\sigma = \varepsilon_0 VB/2$ .



К задаче 5.76

**5.77.** При решении используем выражение для ЭДС индукции

$$E_i = -\frac{\Delta\Phi}{\Delta t}.$$

Поскольку виток и провод неподвижны, то изменение магнитного потока  $\Phi$  через виток связано лишь с изменением магнитного поля провода во времени. Это поле в каждой точке пропорционально току в проводе и, следовательно, изменяется во времени также по пилообразному закону. А значит, и магнитный поток  $\Phi$  изменяется по аналогичному закону (см. рис. 1). На прямоли-

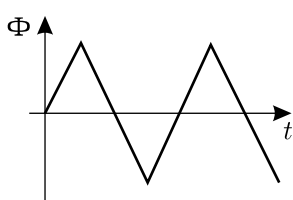


Рис. 1

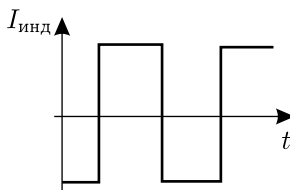


Рис. 2

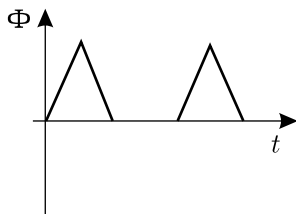


Рис. 3

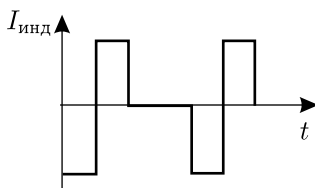


Рис. 4

К задаче 5.77

нейных участках графика величина  $\Delta\Phi/\Delta t$  постоянна и скачком изменяет знак (не меняя абсолютной величины) при переходе от одного участка к другому. Таким образом, в витке действует кусочно-постоянная знакопеременная ЭДС, вызывающая ток  $I_{\text{инд}}(t) = E_i(t)/R$  (самоиндукцией витка пренебрегаем), где  $R$  — сопротивление витка (см. рис. 2).

При включении диода в цепь провода у графика  $I(t)$  а, следовательно, и у графика  $\Phi(t)$  «отрезается» отрицательная (или положительная при другом включении диода) часть (см. рис. 3). В результате график  $I_{\text{инд}}(t)$  принимает вид, приведенный на рис. 4.

Диод, включенный в цепь витка, препятствует току в одном направлении. Следовательно, в этом случае нужно «отрезать» у графика на рис. 2 либо отрицательную, либо положительную часть (см. рис. 5).

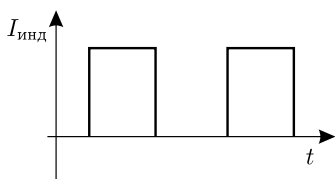


Рис. 5

К задаче 5.77

**5.78.** Максимальное значение тока, равное  $\frac{\sqrt{2}ab\omega B}{R}$ , достигается через полпериода в моменты, когда стороны  $b$  рамки пересекаются одной силовой линией магнитного поля (в эти моменты магнитный поток через поверхность, опирающуюся на рамку, равен нулю).

**5.79.** По рамке пройдет заряд  $(q_1 + q_2)/2$ .

**5.80.** Наводимая в рамке ЭДС индукции зависит как от расстояния до провода, так и от скорости рамки. При пронесении рамки с вдвое большей скоростью через одну и ту же точку ЭДС будет в 2 раза больше. Таким образом, в двух случаях движения рамки токи в ней будут отличаться в 2 раза, а выделяемые мощности — в 4 раза. Поскольку весь процесс вынесения рамки из области магнитного поля занимает вдвое меньшее время при вдвое большей скорости, количество выделившейся теплоты будет в этом случае в 2 раза больше.

**5.81.** Если  $\tau$  увеличить в 2 раза, то удвоение магнитного потока произойдет за вдвое больший промежуток времени. При этом ЭДС индукции и индукционный ток уменьшатся в 2 раза, мощность уменьшится в 4 раза, а выделившееся тепло тоже уменьшится, но не в 4, а в 2 раза, поскольку вдвое возрастает время, в течение которого выделяется тепло.

**5.82.** Выделится количество теплоты  $2B^2S^2/L$ . Пройдет заряд  $2BS/R$ .

**5.83.** По рамке пройдет заряд  $3q$ .

Указание. Прошедший по рамке заряд пропорционален изменению магнитного потока через рамку.

**5.84.** Минимальная скорость, при которой рамка преодолевает слой, равна  $l^3 B^2 / (mR)$ .

Указание. При записи второго закона Ньютона для рамки ускорение преобразовать следующим образом:

$$a_x = \frac{\Delta V_x}{\Delta t} = \frac{\Delta V_x}{\Delta x} \frac{\Delta x}{\Delta t} = \frac{\Delta V_x}{\Delta x} V_x.$$

**5.85.** Скорость рамки станет равной  $\sqrt{V^2 + \frac{\sqrt{3}}{2} \frac{I B a^2}{m}}$ .

Указание. Скорость рамки можно найти, вычислив работу силы Ампера, втягивающей рамку в полупространство с магнитным полем.

**5.86.** Рамка проникнет в область, занятую полем, на расстояние

$$b \frac{\sqrt{2} + 1}{(\alpha b)^2},$$

много большее  $b$  (поскольку  $\alpha b \ll 1$ ). Сопротивление рамки равно

$$\frac{(2 + \sqrt{2}) B_0^2 b^3}{m V_0}.$$

**5.87.** Отношение напряжённостей кулоновского и вихревого полей равно примерно  $2\pi R/d$ .

**5.88.** По закону Фарадея в рамке возникает электродвижущая сила

$$E_i = \left| \frac{d\Phi}{dt} \right| = \alpha \pi R^2.$$

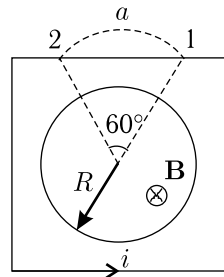
Индукционный ток  $i$ , который идет против часовой стрелки, находим из закона Ома:

$$i = \frac{\alpha \pi R^2}{r},$$

где  $r$  — сопротивление рамки. Напишем закон Ома для участка 1–2:

$$i r_{12} = \varphi_1 - \varphi_2 + E_{12}.$$

Здесь  $r_{12}$  — сопротивление участка 1–2,  $\varphi_1 - \varphi_2$  — разность потенциалов между точками 1 и 2, а  $E_{12}$  — электродвижущая



К задаче 5.88

сила на этом участке. Две особенности задачи облегчают нахождение  $E_{12}$ . Во-первых, из-за малости магнитного поля вне соленоида ЭДС на прямом участке 1–2 и на дуге 1– $a$ –2 одинаковы:  $E_{12} = E_{1a2}$ . Например, это можно понять из рассмотрения замкнутого контура 1– $a$ –2–1, ЭДС на котором равна нулю, поскольку этот контур охватывает нулевой магнитный поток. Во-вторых, вихревое поле, создаваемое переменным магнитным полем соленоида, обладает осевой симметрией, поэтому

$$E_{1a2} = \frac{1}{6} \alpha \pi R^2.$$

Связывая длину участка 1–2 с периметром рамки, получаем

$$r_{12} = \frac{r}{8 \cos 30^\circ} = \frac{r}{4\sqrt{3}}.$$

В итоге находим разность потенциалов

$$\varphi_1 - \varphi_2 \approx -0,02 \alpha \pi R^2.$$

Заметим, что полезно проанализировать задачу подробнее и определить разности потенциалов между другими парами точек (в том числе и между такими, для которых результат ясен из соображений симметрии).

**5.89.** Сразу после размыкания ключа ток через катушку не изменится (этому препятствует индуктивность катушки) и пойдет через лампу. Этот ток втрое больше того, что шел через лампу до размыкания ключа (следует из сопоставления мощностей до размыкания ключа). Поскольку мощность пропорциональна квадрату тока, то выделяющаяся в лампе мощность возрастет в 9 раз и будет равна 450 Вт.

**5.90.** Ключ был замкнут в течение времени  $10L/R$ .

**5.91.** При  $R_1 \gg R_2$  в каждом резисторе выделится количество теплоты  $CE^2/4$ . При  $R_1 \ll R_2$  в резисторе  $R_1$  тепло практически не выделяется, а в резисторе  $R_2$  выделяется тепло  $CE^2/2$ .

**5.92.** Непосредственно перед замыканием ключа  $K_2$  напряжение на катушке было  $E/2$ , а сразу после замыкания  $3E/4$ .

**5.93.** Сразу после замыкания ключа ток в резисторе, параллельном катушке, будет равен 1 А, а в двух других резисторах — по 2 А. Через большой промежуток времени токи в этих резисторах будут равны 0 и по 3 А соответственно.

**5.94.** При разомкнутом ключе ток 3 А протекает только через резистор, параллельный конденсатору. Сразу после замыкания ключа ток через резистор, параллельный катушке, равен нулю, а токи через резисторы, параллельные конденсатору, равны 3 А

каждый. Через большой промежуток времени токи через резисторы будут такими же, как и сразу после замыкания ключа.

**5.95.** Ток через батарею сразу после замыкания ключа будет  $7E/(6R)$ . Напряжения на левой и правой катушках сразу после замыкания будут  $E/3$  и  $2E/3$  соответственно.

**5.96.** До размыкания ключа магнитная энергия катушки в 25 раз больше электрической энергии конденсатора. Сразу после размыкания ключа ток через батарею будет равен 4 А. Через большой промежуток времени после размыкания ключа электрическая энергия конденсатора составит 0,32 мДж.

**5.97.** 2В (потенциал вывода катушки, соединенного с плюсом батареи, ниже потенциала другого вывода).

**5.98.** В первой катушке ток скачком возрастет до значения  $E/R$ , во второй скачком возникнет ток  $0,5E/R$  (магнитное поле этого тока направлено против магнитного поля первой катушки). После размыкания ключа  $K_1$  ток во второй катушке скачком изменит направление на противоположное и будет равен  $0,5E/R$ .

Указание. Учесть, что замыкание второй катушки фиксирует магнитный поток через нее, а следовательно, и через первую катушку.

**5.99.** Поскольку катушки идеальные (их активное сопротивление равно нулю), ток в цепи может циркулировать бесконечно долго. При этом напряжение на катушках остаётся равным нулю и, следовательно, отсутствует ток через резистор.

Что произойдёт, если из одной катушки (например, верхней) резко (за очень малое время  $\Delta t$ ) удалить сердечник и тем самым, как сказано в условии задачи, уменьшить её индуктивность вдвое? Ток через эту катушку возрастет в два раза. Действительно, из условия конечности ЭДС индукции  $E_i$ , которая определяется формулой

$$E_i = -\frac{\Delta\Phi}{\Delta t},$$

следует, что  $\Delta\Phi \rightarrow 0$  при  $\Delta t \rightarrow 0$ .

Обозначая индуктивности катушек и ток в цепи до удаления сердечника через  $L$  и  $I$ , запишем выражение для энергии магнитного поля, первоначально запасённой в цепи, в виде

$$W_m = 2\frac{LI^2}{2} = LI^2.$$

Сразу после извлечения сердечника энергия равна

$$W'_m = \frac{1}{2}LI^2 + \frac{1}{2}\left(\frac{L}{2}\right)(2I)^2 = \frac{3}{2}LI^2$$

(ток через нижнюю катушку не изменился). Энергия магнитного поля возрастает ( $W'_M > W_M$ ), поскольку при удалении сердечника совершается положительная работа (магнетик с проницаемостью, большей единицы, втягивается в область более сильного магнитного поля, т. е. внутрь катушки).

Для дальнейшего удобно токи в катушках снабдить индексами (1 — в верхней, 2 — в нижней). Поскольку катушки не обладают омическим сопротивлением, ЭДС индукции, возникающие в этих катушках, в любой момент времени равны по величине и противоположны по знаку. В противном случае токи  $I_1$  и  $I_2$  были бы бесконечными. Таким образом,

$$\frac{L}{2} \frac{\Delta I_1}{\Delta t} = -L \frac{\Delta I_2}{\Delta t},$$

откуда находим связь между изменениями токов в катушках:

$$\Delta I_1 = -2\Delta I_2.$$

Так как данное соотношение выполняется на каждом малом промежутке  $\Delta t$ , то оно будет верно и в течение всего процесса установления токов. Установившийся ток  $I'$  (он будет в катушках одинаковым, поскольку ток через резистор станет равным нулю) находится из соотношения

$$I' - 2I = -2(I' - I),$$

где учтено, что в начале процесса установления токи в первой и второй катушках были соответственно  $2I$  и  $I$ . В итоге получаем

$$I' = \frac{4}{3}I.$$

Энергия магнитного поля тока в цепи после установления тока будет равна

$$W''_M = \frac{1}{2} \left( \frac{1}{2}L \right) I'^2 + \frac{1}{2}LI'^2 = \frac{4}{3}LI^2,$$

а убыль энергии  $W'_M - W''_M$  определит количество тепла  $Q$ , которое выделится в резисторе в ходе процесса установления:

$$Q = \left( \frac{3}{2} - \frac{4}{3} \right) LI^2 = \frac{1}{6}LI^2.$$

Рассмотрим теперь процесс медленного возвращения сердечника в катушку. Напряжение на резисторе равно ЭДС индукции в любой из катушек  $|E_i| = |\Delta\Phi/\Delta t|$ . Количество теплоты, выделяю-

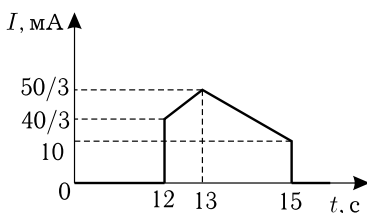
щееся в резисторе за малый промежуток времени  $\Delta t$ , запишем в виде

$$\Delta Q = I_R^2 R \Delta t = |E_i| I_R \Delta t = I_R |\Delta \Phi|,$$

где  $I_R$  — ток через резистор. Полное количество тепла, которое выделится при возвращении сердечника, находится путём суммирования всех  $\Delta Q$  (интегрирования по времени). При медленном возвращении сердечника в катушку ЭДС индукции в катушках будут близки к нулю, а значит близким к нулю будет и ток  $I_R$ . В то же время сумма  $|\Delta \Phi|$  конечна (равна полному изменению потока через любую катушку). Поэтому выделившееся на резисторе количество теплоты близко к нулю.

Таким образом, тепло в цепи выделялось только на этапе установления тока после резкого удаления сердечника и выделившееся количество теплоты составило  $Q = \frac{LI^2}{6}$ .

**5.100.** График зависимости тока через лампу от времени представлен на рисунке. Полный заряд, прошедший через лампу, равен  $\frac{125}{3} 10^{-3}$  Кл.

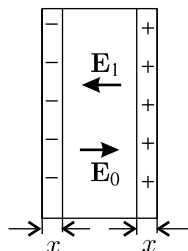


К задаче 5.100

**5.101.** Мощность уменьшилась в 1,6 раза.

**5.102.** В результате смещения электронов на расстояние  $x$  относительно ионов под действием поля напряжённостью  $E_0$  на границах плазменного слоя возникнут заряды противоположного знака с поверхностной плотностью  $\pm \sigma = \pm e N x$ , где  $e$  — модуль заряда электрона, а  $N$  — концентрация электронов (см. рис.).

В равновесном состоянии поле этих зарядов  $E_1 = \sigma / \epsilon_0$  ( $\epsilon_0$  — электрическая постоянная) компенсирует внешнее поле  $E_0$  внутри плазменного слоя, т.е.  $E_1 = E_0$ . Из данного условия находим концентрацию электронов  $N = \epsilon_0 E_0 / (e x)$ . Колебания электронного слоя относительно ионного (после выключения поля  $E_0$ ) происходят под действием квазиупругой силы со стороны ионного слоя  $F_x = -e^2 N^2 x d / \epsilon_0$ , где  $d$  — толщина слоя, а  $x$  считается теперь знакопеременной величиной. Подставляя данное выражение в уравнение второго закона Ньютона для электронного слоя



К задаче 5.102

$Ma_x = F_x$ , где  $M = mNd$  — масса слоя на единицу площади его поверхности и  $m$  — заряд электрона, приходим к уравнению гармонического осциллятора  $x'' + \omega^2 x = 0$  с собственной частотой  $\omega = (e^2 N / m \varepsilon_0)^{1/2}$ . На данной частоте и будут происходить колебания.

**5.103.** Максимальная напряжённость результирующего электрического поля равна  $3E_0$  и достигается в двух точках, расположенных вне плазменного шара вблизи его поверхности на силовой линии поля  $E_0$ , идущей вдоль диаметра шара. Частота малых колебаний равна  $\sqrt{\frac{e^2 N}{3m\varepsilon_0}}$ ,  $\varepsilon_0$  — электрическая постоянная.



\* \* \*

**6.1.** Амплитуда колебаний равна  $(2mg/k) \sqrt{1 + \pi^2/8}$ .

**6.2.** Грузы следует сместить на  $\frac{L\sqrt{2}}{\pi(2n+1)}$ , где  $n = 0, 1, 2, \dots$

**6.3.** Брусок колеблется с амплитудой  $\mu mg/(2k)$  и периодом  $2\pi\sqrt{m/k}$ . Действующая на брусок сила трения все время направлена вправо и равна  $0,5\mu mg$ .

Указание. Прежде всего необходимо понять, что брусок не проскальзывает по доске. Записывая второй закон Ньютона для каждого из тел, можно убедиться, что сила трения постоянна по величине и по направлению.

**6.4.** С помощью закона сохранения механической энергии находим амплитуды колебаний грузов:

$$A_1 = \sqrt{\frac{2E_0}{k}}, \quad A_2 = \sqrt{\frac{E_0}{2k}}.$$

Частота колебаний груза 2 в два раза больше частоты  $\omega = \sqrt{k/m}$  колебаний груза 1. Выбирая нуль оси  $x$  в месте нахождения груза 1 при недеформированной пружине и учитывая начальные условия, записываем законы движения грузов:

$$x_1 = -A_1 \sin \omega t, \quad x_2 = 2\sqrt{\frac{2E_0}{k}} + A_2 \cos 2\omega t.$$

Расстояние между грузами  $\Delta x = x_2 - x_1$  меняется со временем по закону

$$\Delta x = 2\sqrt{\frac{2E_0}{k}} + A_2 \cos 2\omega t + A_1 \sin \omega t$$

и достигает минимального значения

$$(\Delta x)_{\min} = 2\sqrt{\frac{2E_0}{k}} - A_2 - A_1 = \sqrt{\frac{E_0}{2k}}$$

в те моменты времени, когда  $\cos 2\omega t$  и  $\sin \omega t$  одновременно становятся равными  $-1$ , т.е. при  $t = 3\pi/(2\omega) + 2\pi n/\omega$ , где  $n = 0, 1, 2, 3, \dots$

**6.5.** Включение на полпериода постоянной силы  $F_0$  смещает положение равновесия на  $F_0/k$ , поэтому точка остановки груза после первого включения силы отстоит от его положения при недеформированной пружине на  $A_0 + 2F_0/k$ . Это и будет амплитудой колебаний после однократного действия силы  $F_0$ . После 5 таких включений и выключений силы  $F_0$  амплитуда будет равна

$A_0 + 10F_0/k$ . Максимальная скорость груза, которая достигается при прохождении положения равновесия, будет равна

$$\sqrt{\frac{k}{m}} \left( A_0 + 2\frac{F_0}{k} \right)$$

(после одного включения);

$$\sqrt{\frac{k}{m}} \left( A_0 + 10\frac{F_0}{k} \right)$$

(после 5 включений).

**6.6.** Перемещение доски равно  $2\mu mg/k$ , если  $V > \mu g\sqrt{m/k}$  и  $\mu mg/k + V\sqrt{m/k}$ , если  $V < \mu g\sqrt{m/k}$  ( $g$  — ускорение свободного падения).

**6.7.** Сила должна действовать в течение времени  $t = \frac{\pi}{3}\sqrt{\frac{m}{k}}$ .

Указание. Для решения задачи удобно использовать энергетическое соотношение: работа силы  $F$  равна упругой энергии пружины в положении крайнего отклонения груза. Следует также учитывать, что действие постоянной силы  $F$  не влияет на период колебаний, а приводит лишь к смещению положения равновесия на  $F/k$ .

**6.8.** При первом движении вверх (до максимальной высоты) груз проходит путь  $(9/2)mg/k$ .

**6.9.** Плоскость нужно поместить на  $A/2$  ниже положения равновесия.

Указание. Поскольку при отражении от плоскости скорость шарика меняется на противоположную, движение над плоскостью будет совпадать с движением в отсутствие плоскости, а движение ниже плоскости ( $1/3$  периода  $T$ ) «пропадет». Таким образом, время  $t$  движения шарика от положения равновесия до плоскости будет составлять  $T/12$ . За это время шарик проходит расстояние  $x = A\sin(2\pi t/T) = A\sin(\pi/6) = A/2$ . Это и есть искомое расстояние.

**6.10.** Направим ось  $x$  вниз и примем, что в начальный момент  $x = 0$  для верхнего груза. Если бы нить не обрывалась, то движение грузов представляло бы собой гармонические колебания около положения равновесия  $x = 2mg/k$  (отсчёт ведём по верхнему грузу), в котором сила упругости, равная  $kx$ , уравновешивает силу тяжести  $2mg$ . При этом координата верхнего груза изменялась бы во времени по закону

$$x(t) = \frac{2mg}{k} - \frac{2mg}{k} \cos \omega t,$$

где  $\omega = \sqrt{k/(2m)}$ , а его скорость и ускорение, соответственно, как

$$v_x(t) = g\sqrt{\frac{2m}{k}} \sin \omega t,$$

$$a_x(t) = g \cos \omega t.$$

Зависимость силы натяжения нити  $T$  от времени проще всего найти из второго закона Ньютона для нижнего груза (ускорения обоих грузов, если нить не оборвалась, очевидно, одинаковы):

$$T = mg(1 - \cos \omega t).$$

Отсюда видно, что сила  $T$  достигает максимального значения  $3mg/2$  при  $\cos \omega t = -0,5$ , т. е. в момент времени  $t_1 = \frac{2\pi}{3\omega}$ . В этот момент нижний груз отрывается. Далее следует рассматривать задачу о движении на пружине одного верхнего груза, имеющего в точке  $x_1 = x(t_1) = 3mg/k$  скорость  $v_1 = v_x(t_1) = g\sqrt{\frac{3m}{2k}}$ .

Максимальное удлинение пружины можно найти из закона сохранения энергии, учитывая, что в крайнем нижнем положении (обозначим эту координату через  $x_2$ ) скорость груза обращается в нуль:

$$\frac{mv_1^2}{2} + \frac{kx_1^2}{2} + mg(x_2 - x_1) = \frac{kx_2^2}{2},$$

(потенциальная энергия груза в поле тяжести отсчитывается здесь от крайнего нижнего положения). Подставляя выражения для  $x_1$  и  $v_1$ , приводим это уравнение к виду

$$x_2^2 - \frac{2mg}{k}x_2 - \frac{9m^2g^2}{2k^2} = 0,$$

откуда находим

$$x_2 = \frac{mg}{k} \left( 1 \pm \sqrt{\frac{11}{2}} \right).$$

Выбирая верхний знак (иначе  $x_2 < 0$ ), окончательно получаем, что

$$x_2 = \frac{mg}{k} \left( 1 + \sqrt{\frac{11}{2}} \right).$$

Величина  $x_2$  равна, очевидно, максимальному удлинению пружины.

**6.11.** Собака приблизится на расстояние

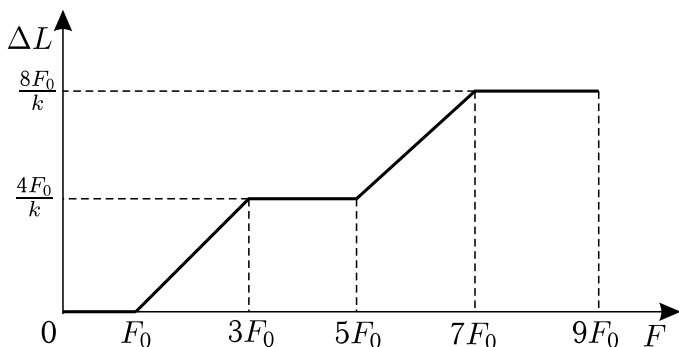
$$V\sqrt{\frac{M+m}{k}} \times \left( \frac{m}{M+m} + \frac{3\pi}{2} \right).$$

**6.12.** Если  $a > \mu g$ , то груз сразу начнет проскальзывать по ленте и амплитуда колебаний будет равна  $\mu mg/k$  ( $g$  — ускорение свободного падения). Если  $a < \mu g$ , то проскальзывание начнется после смещения кубика на расстояние  $(\mu g - a)m/k$  и амплитуда возникших колебания будет равна  $(m/k)\sqrt{(2\mu g - a)a}$ .

**6.13.** Максимальная скорость равна  $2V_0$ , а максимальная упругая сила равна  $\mu mg + V_0\sqrt{km}$ .

**6.14.** Искомый график приведен на рисунке, где обозначено  $F_0 = \mu mg$  ( $g$  — ускорение свободного падения). Для объяснения графика заметим прежде всего, что окончательная остановка тела после обращения в нуль его скорости достигается только в интервале

$$\frac{F - F_0}{k} \leq x \leq \frac{F + F_0}{k}, \quad (1)$$



К задаче 6.14

где  $x$  — смещение тела от исходного положения (очевидно,  $x$  и равно искомому растяжению  $\Delta L$ ). Действительно, после остановки тела в этом интервале сила трения покоя компенсирует сумму сил  $\mathbf{F}$  и  $\mathbf{F}_{\text{упр}}$  ( $F_{\text{упр}} = kx$  — упругая сила) и удержит тело в состоянии покоя.

Если  $0 \leq F \leq F_0$ , то тело, очевидно, не сдвинется и  $x = 0$ . При  $F_0 < F \leq 3F_0$  тело совершит полпериода гармоническо-

го колебания относительно точки равновесия  $x_p = (F - F_0)/k$  и остановится в точке

$$x_1 = 2x_p = 2\frac{F - F_0}{k}, \quad (2)$$

которая удовлетворяет условию (1) (первый наклонный участок на рисунке). При  $3F_0 < F \leq 5F_0$  координата первой остановки тела по-прежнему определяется формулой (2), однако теперь  $x_1$  не удовлетворяет условию (1), и тело пойдет в обратную сторону. Совершив полпериода колебания относительно новой точки равновесия  $x'_p = (F + F_0)/k$ , тело остановится в точке

$$x_2 = x_1 - 2(x_1 - x'_p) = \frac{4F_0}{k},$$

попадающей в интервал (1) (второй горизонтальный участок на рисунке). Рассуждая аналогично, находим, что при  $5F_0 < F \leq 7F_0$  тело остановится в точке

$$x_3 = 2\frac{F - 3F_0}{k}$$

(второй наклонный участок на рисунке) и т. д.

**6.15.** Амплитуда колебаний уменьшилась в  $\sqrt[4]{2}$  раз.

**6.16.** Проекция силы на горизонтальную ось, направленную вдоль спицы, должна быть равна

$$F_x = \frac{mg}{2}\alpha_0 \cos\left(\sqrt{\frac{3g}{2L}}t + \varphi\right),$$

где  $\varphi$  определяется начальными условиями. Частоты собственных колебаний системы равны  $\sqrt{(3 \pm \sqrt{3})g/L}$ .

**6.17.** Минимальное значение скорости, равное  $\sqrt{\mu g L}$  ( $g$  — ускорение свободного падения), находится из условия, что при пересечении первым грузом правой границы шероховатой полосы скорости грузов близки к нулю и пружина не деформирована. Это достигается при дискретных значениях жёсткости пружины:

$$k = \frac{\pi^2 \mu mg}{2L} n^2,$$

где  $n = 1, 2, 3, \dots$

**6.18.** На верхнем участке второй закон Ньютона в проекции на ось  $x$  приводит к уравнению, которое отличается от уравнения

гармонического осциллятора только наличием константы в правой части:

$$x'' + \frac{g \sin \alpha}{L} x = g \sin \alpha,$$

где  $g$  — ускорение свободного падения.

Решение данного уравнения имеет вид

$$x = L \left[ 1 - \cos \left( t \sqrt{\frac{g \sin \alpha}{L}} \right) \right].$$

При этом скорость кубика  $v_x$  изменяется по закону

$$v_x = \sqrt{gL \sin \alpha} \cdot \sin \left( t \sqrt{\frac{g \sin \alpha}{L}} \right).$$

Обе формулы справедливы до момента  $t_0 = \frac{\pi}{2} \sqrt{\frac{L}{g \sin \alpha}}$ , после которого кубик попадает на нижний участок. На этом участке движение кубика описывается уравнением

$$x'' + \frac{g \sin \alpha}{L} x = 2g \sin \alpha$$

Учитывая, что скорость кубика не меняется в точке перехода  $x = L$ , запишем решение на нижнем участке

$$x = L \left[ 2 + \sqrt{2} \cos \left( t \sqrt{\frac{g \sin \alpha}{L}} + \frac{3\pi}{4} \right) \right].$$

Сила трения, действующая на клин со стороны стола, равна произведению массы кубика на горизонтальную составляющую ускорения кубика:

$$F_{\text{тр}} = mg \sin \alpha \cos \alpha \cos \left( t \sqrt{\frac{g \sin \alpha}{L}} \right)$$

при  $0 < t \leq \frac{\pi}{2} \sqrt{\frac{L}{g \sin \alpha}}$  (в этом случае кубик движется по верхнему участку),

$$F_{\text{тр}} = \sqrt{2} mg \sin \alpha \cos \alpha \cos \left( t \sqrt{\frac{g \sin \alpha}{L}} - \frac{\pi}{4} \right)$$

при  $\frac{\pi}{2} \sqrt{\frac{L}{g \sin \alpha}} < t < \frac{3\pi}{4} \sqrt{\frac{L}{g \sin \alpha}}$  (кубик движется по нижнему участку).

В соответствии с этими формулами нетрудно построить иско-  
мый график.

**6.19.** Рассмотрим два поршня, газ между ними и соединя-  
ющий стержень как одно «тело» массой  $5m$  (массой газа прене-  
брегаем). Равновесие этого «тела» обеспечивается тем, что  
полная сила со стороны атмосферы  $p_0 S$ , действующая влево,  
компенсируется равной силой  $p_0 S$  со стороны уступа в сечении,  
где соединяются трубы (давление газа между поршнями в равно-  
весии равно  $p_0$ ). Учитывая, что  $T = \text{const}$ , при малом смещении  $x$   
связанных поршней ( $x > 0$  для смещения вправо) получаем

$$p_0 \left( S \frac{L}{2} + 2S \frac{L}{2} \right) = (p_0 + \Delta p) \left[ S \left( \frac{L}{2} - x \right) + 2S \left( \frac{L}{2} + x \right) \right],$$

где  $\Delta p$  — соответствующее изменение давления газа. Прене-  
брегая малыми членами с  $\Delta p \cdot x$ , находим  $\Delta p = -2p_0 x / (3L)$ .  
Поскольку возвращающая сила  $F_x = \Delta p \cdot S$ , для периода колеба-  
ний в итоге получим

$$T = \pi \sqrt{\frac{30mL}{p_0 S}}.$$

**6.20.** В равновесном положении переключка находится  
на расстоянии  $x = \frac{ELB}{2mg\lambda \operatorname{tg} \alpha}$  от нижнего горизонтального  
участка цепи, содержащего батарею. Период колебаний  
равен  $T = \frac{\pi}{g \sin \alpha} \sqrt{\frac{2ELB \cos \alpha}{m\lambda}}$ .

**6.21.** Минимальное значение амплитуды тока  $\pi/30 \approx 105$  мА.

**6.22.** Максимальный заряд конденсатора  $2CE/3$ .

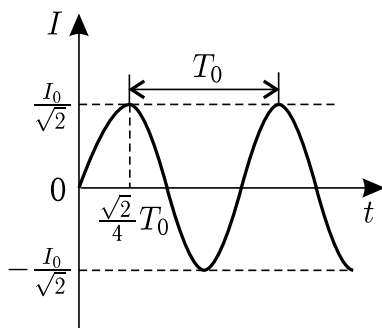
**6.23.** Вид графика зависит от полярности включения диода.  
В том случае, когда в течение первой четверти периода колеба-  
ний диод оказывается закрытым, график имеет следующий вид:

Если же полярность включения диода такова, что он открыва-  
ется с самого начала колебательного процесса, то график имеет  
иной вид:

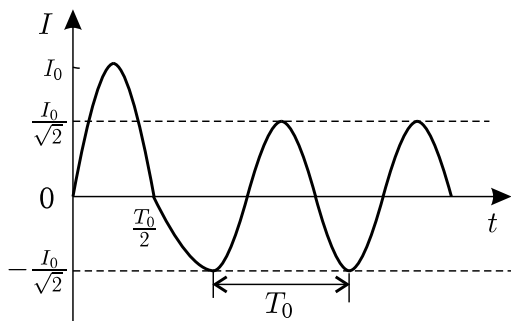
**6.24.** Частота генератора равна  $1/\sqrt{LC}$ . Амплитуда за-  
ряда  $2CE_0$ .

**6.25.** Искомый график имеет вид, представленный на ри-  
сунке. Здесь  $t_1 = \frac{\pi}{2} \sqrt{2LC}$ ,  $t_2 = \frac{\pi}{2} (\sqrt{2LC} + \sqrt{3LC})$ . Начиная  
с момента  $t = t_2$  заряд  $q$  меняется по гармоническому закону  
с амплитудой  $q_0/\sqrt{6}$  и периодом  $2\pi\sqrt{LC}$ .

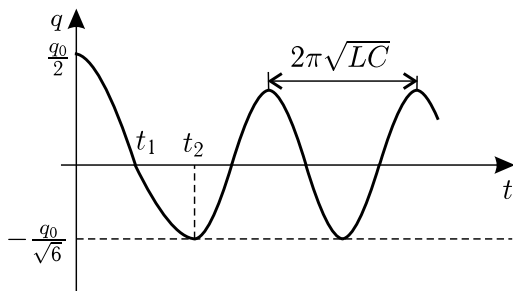
**6.26.** Зависимость заряда конденсатора  $q$  от времени пока-  
зана на рисунке ( $\omega = 1/\sqrt{LC}$ ). Начиная с момента  $t = \pi/(3\omega)$



К задаче 6.23



К задаче 6.23

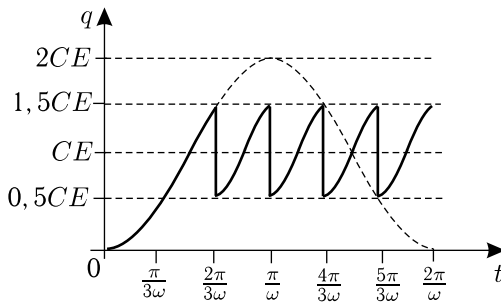


К задаче 6.25

заряд меняется периодически с периодом  $\pi/(3\omega)$ . Штриховой линией показана синусоидальная зависимость  $q(t) = CE(1 - \cos \omega t)$ , отвечающая колебаниям в контуре в отсутствие неоновой лампы.



Средний (за большое время) ток через батарею равен  $\frac{3E}{\pi} \sqrt{\frac{C}{L}}$ .



К задаче 6.26

**6.27.** Амплитуда тока стала равной  $I_0 \sqrt{\frac{5}{8}}$ .

**6.28.** Заряд на конденсаторе достигнет максимального значения  $I_0 \sqrt{\frac{LC}{2}}$  через время  $\frac{\pi}{2} \sqrt{\frac{LC}{2}}$ .

Учебное издание

*БАКУНОВ Михаил Иванович  
БИРАГОВ Сергей Борисович*

## **ОЛИМПИАДНЫЕ ЗАДАЧИ ПО ФИЗИКЕ**

Редактор *И.В. Авилова*  
Оригинал-макет: *Ю.В. Владимирова*  
Оформление переплета: *Д.Б. Белуха*

Подписано в печать 14.07.2014. Формат 60×90/16. Бумага офсетная.  
Печать офсетная. Усл. печ. л. 13,75. Уч.-изд. л. 15,125.  
Тираж 500 экз. Заказ №

Издательская фирма «Физико-математическая литература»  
МАИК «Наука/Интерпериодика»  
117342, Москва, ул. Бутлерова, 17 Б  
E-mail: [fizmat@maik.ru](mailto:fizmat@maik.ru), [fmlsale@maik.ru](mailto:fmlsale@maik.ru);  
<http://www.fml.ru>

Отпечатано с электронных носителей издательства  
в ООО «Чебоксарская типография № 1»  
428019, г. Чебоксары, пр. И. Яковлева, 15  
Тел.: (8352) 28-77-98, 57-01-87  
Сайт: [www.volga-print.ru](http://www.volga-print.ru)

ISBN 978-5-9221-1473-8



9 785922 114738